

泊発電所3号炉 有効性評価 比較表

付録3 重大事故等対策の有効性評価に係るシビアアクシデント解析コードについて（添付3 溶融炉心とコンクリートの相互作用について）

女川原子力発電所2号炉	泊発電所3号炉	相違理由
<p>(3) 溶融プールークラスト間の熱伝達係数の感度解析</p> <p>感度解析ケースを表5-3に示す。熱伝達係数の不確かさ幅の中で、床方向への熱伝達を大きくしたケースと壁方向への熱伝達を大きくしたケースの解析結果を図5-3-1a、図5-3-1b、図5-3-2a、図5-3-2b及び表5-5に示す。</p> <p>床方向への熱伝達を大きくすると、床方向へ侵食量は増えており、壁方向の侵食は若干減少している。壁方向への熱伝達を大きくすると、壁方向へ侵食量は増えており、床方向の侵食はあまり変わらない。</p> <p>溶融プールの熱伝達係数の不確かさ幅の範囲では、コンクリート侵食量への影響は小さい。</p>	<p>また、感度解析ケースの方が、溶融炉心の冷却が遅くなっていることから、溶融炉心とコンクリートの熱流束については、高い値が継続しているため、コンクリート侵食が進み、コンクリート侵食深さはベースケースが約3mmであるのに対して、感度解析ケースでは約18cmとなった。</p> <p><u>評価</u></p> <p>溶融炉心の拡がり面積が制限された場合の解析を実施し、コンクリート侵食に対する感度を確認した。溶融炉心の拡がり面積が制限された場合、コンクリート侵食が約18cmとなった。ただし、本感度解析は、極端な条件で局所的に溶融炉心が堆積するよう設定しており、実機条件よりも厳しい条件を与えるものである。</p> <p>※水—溶融炉心間の熱流束の上限値として設定している0.8MW/m<sup>2</sup>は大気圧下での条件であり、原子炉格納容器圧力は大気圧より大きいことから、熱流束も大きくなる。</p> <p>(4) 水—溶融炉心間の熱伝達係数</p> <p><u>解析条件</u></p> <p>水と溶融炉心の熱伝達には、Kutatladze相関式型の限界熱流束モデルを使用しており、ベースケースでは、水による冷却を伴った溶融炉心とコンクリートの相互作用に関する実験に基づき大気圧条件で0.8MW/m<sup>2</sup>に相当する値を使用している。</p> <p>なお、溶融炉心が原子炉下部キャビティ水に落下する際は、溶融炉心と原子炉下部キャビティ水の間で熱伝達が行われ、それにより溶融炉心が冷却されるとともに、原子炉下部キャビティ床に堆積する際に溶融炉心表面にクラストが形成されると考えられている。したがって、溶融炉心落下直後は熱流束が比較的高い状態が持続され、この間に溶融炉心の保有する熱は原子炉下部キャビティ水によって除熱される。その後、溶融炉心表面にクラストが形成された状態になると、熱流束は低下していく。</p> <p>また、CCI実験においても、溶融物への注水直後は高い熱流束が確認され、その後クラストが冷却されて熱流束も低下する結果が得られているとともに、クラストが自重及び原子炉下部キャビティ水の水頭などによる破損により、原子炉下部キャビティ水と直接接触することで再び高い熱流束が得られている。さらに、実機スケールの現象ではクラストにひび割れが生じることが文献<sup>14</sup>で示されており、高温の溶融炉心と上面水プールが再度直接接触して、高い熱流束が生じる現象が継続的に発生すると判断できる。</p> <p><sup>14</sup> M. T. Farmer et al., "Status of the Melt Coolability and Concrete Interaction (MCCI) Program at Argonne National Laboratory", Proc. of ICAPP'05, Korea, (2005)</p> <p>本パラメータについては、実験で観測された最大の熱流束を考慮したケース、実験で観測されたクラスト形成時の熱流束を考慮したケース、パルク冷却時、クラスト全体固化時、コンクリー</p>	<p>※異方性の影響は“添付資料7.2.5.3 コンクリート侵食の侵食異方性について”に記載</p>

泊発電所3号炉 有効性評価 比較表

付録3 重大事故等対策の有効性評価に係るシビアアクシデント解析コードについて（添付3 溶融炉心とコンクリートの相互作用について）

女川原子力発電所2号炉	泊発電所3号炉	相違理由
	<p>ト混入時の各フェーズを考慮したケース、実験で観測された安定クラスト形成後に更に温度が低下した時点を考慮した実機条件としては仮想的なケースの4ケースの感度解析を実施する。</p> <p>感度解析ケース1では、CCI実験において観測されている初期のパルク冷却期間中の熱流束である3MW/m<sup>2</sup>を適用する。なお、常に高い熱流束が維持されるのではなく、溶融炉心の温度が低下した場合には、熱流束は崩壊熱を除去できる熱流束に制限される。</p> <p>感度解析ケース2では、上記の原子炉下部キャビティへの落下直後の高い熱流束や、クラストの破損による内部の溶融炉心と原子炉下部キャビティ水との直接接触を考慮せず、CCI-2及びCCI-3実験において初期のピークを除外した熱流束である0.5MW/m<sup>2</sup>を選定する。</p> <p>ここで、以下の理由によりCCI-1実験については、感度解析の条件設定の際の検討対象から除外することとした。</p> <p>CCI実験では、コンクリート侵食開始後に注水しており、クラストと溶融物の間に空洞が形成されている。これは、実験のような小スケールでは壁と壁の間でクラストが強固につながり、クラストブリッジが形成され、その下でコンクリート侵食により溶融物の液位が低下するためである。一方、実機スケールではクラストの自重及び水の水頭によりクラストが破損し、本実験のような空洞は生じないと考えられる。CCI-1実験はクラストの形成後、約10分の時点でクラスト破損が生じ、熱流束が約3MW/m<sup>2</sup>まで再上昇しているが、これはクラストと溶融物の間に形成された空洞の影響が大きく現れたケースであり、クラストが破損するまでは空洞の形成により熱流束が小さく、クラストが破損した後に破損箇所から水が流入し、高温の溶融物と水が直接接触することによって熱流束が大きくなったものである。実機スケールでは、このような空洞は形成されないと考えられるため、感度解析の条件設定の際の検討対象から除外することとした。</p> <p>感度解析ケース3では、次のように熱流束を設定する。</p> <p>まず、溶融炉心内部が溶融状態の場合、クラストは破損、浸水を繰り返し、安定したクラストは形成されないと考えられる。したがって、部分的にも溶融炉心から水へ、高い熱流束での伝熱となると考えられる。この時の現象は、小規模実験で溶融物へ注水を開始した時点と同等と考えられ、MACE実験、CCI実験では1MW/m<sup>2</sup>以上の値が観測されている。溶融炉心の落下直後は、高温の溶融炉心と原子炉下部キャビティ水の直接接触により、更に高い熱流束が得られると考えられるが、本感度解析では、内部に溶融部が存在する間の熱流束として、一律に0.8MW/m<sup>2</sup>を適用する。</p> <p>次に、溶融炉心全体が固化した後の挙動においては、原子炉下部キャビティへの落下直後の高い熱流束や、クラストの破損による内部の溶融炉心と原子炉下部キャビティ水との直接接触を考慮せず、CCI-2及びCCI-3実験において初期のピークを除外した熱流束である0.5MW/m<sup>2</sup>を選定する。</p> <p>次に、コンクリート混入がある場合のドライアウト熱流束については、SSWICS実験において確認されており、コンクリートの混入割合が約15%に達した場合にドライアウト熱流束は約0.125MW/m<sup>2</sup>となっている。15%までの間は、ドライアウト熱流束はほぼ直線的に低下しており、コンクリート混入割合が約15%以上の場合には、ドライアウト熱流束はほぼ一定となっている。</p>	

泊発電所3号炉 有効性評価 比較表

付録3 重大事故等対策の有効性評価に係るシビアアクシデント解析コードについて（添付3 溶融炉心とコンクリートの相互作用について）

女川原子力発電所2号炉	泊発電所3号炉	相違理由								
<p>表5-3 溶融プールークラスト間の熱伝達係数のベースケースと感度解析ケース</p> <table border="1"> <thead> <tr> <th>パラメータ</th><th>ベースケース (有効性評価)</th><th>感度解析ケース</th><th>根拠</th></tr> </thead> <tbody> <tr> <td>③溶融プールークラスト間の熱伝達係数</td><td>溶融プールが完全な液相の場合の対流熱伝達係数として 床方向： 壁方向：</td><td>(1) 床： 壁： 壁：推奨入力値 (2) 床： 壁： 壁：床の1/4 (1)の逆とした。)</td><td>(1) 床：壁の1/4 (CCI-3 実験反映) 壁：推奨入力値 (2) 床：推奨入力値 壁：床の1/4 (1)の逆とした。)</td></tr> </tbody> </table> <p>本資料のうち枠囲みの内容は商業機密に属しますので公開できません。</p>	パラメータ	ベースケース (有効性評価)	感度解析ケース	根拠	③溶融プールークラスト間の熱伝達係数	溶融プールが完全な液相の場合の対流熱伝達係数として 床方向：  壁方向： 	(1) 床：  壁：  壁：推奨入力値 (2) 床：  壁：  壁：床の1/4 (1)の逆とした。)	(1) 床：壁の1/4 (CCI-3 実験反映) 壁：推奨入力値 (2) 床：推奨入力値 壁：床の1/4 (1)の逆とした。)	<p>本感度解析では、コンクリート侵食量に応じて、上記のSSWICS 実験において確認された熱流束を使用する。</p> <p>感度解析ケース4では、WETCOR、MACE、CCI 実験においてクラスト全体が固化して温度が低下した状態の熱流束である <math>0.2\text{MW/m}^2</math> を適用する。これについて、溶融炉心は、溶融状態で原子炉下部キャビティ水と直接接触するため、溶融炉心落下直後は高い熱流束が得られると考えられるが、本感度解析は溶融炉心落下直後から、安定化クラスト形成後の熱流束を仮定しているという点で、仮想的なケースであると言える。</p>	
パラメータ	ベースケース (有効性評価)	感度解析ケース	根拠							
③溶融プールークラスト間の熱伝達係数	溶融プールが完全な液相の場合の対流熱伝達係数として 床方向：  壁方向： 	(1) 床：  壁：  壁：推奨入力値 (2) 床：  壁：  壁：床の1/4 (1)の逆とした。)	(1) 床：壁の1/4 (CCI-3 実験反映) 壁：推奨入力値 (2) 床：推奨入力値 壁：床の1/4 (1)の逆とした。)							

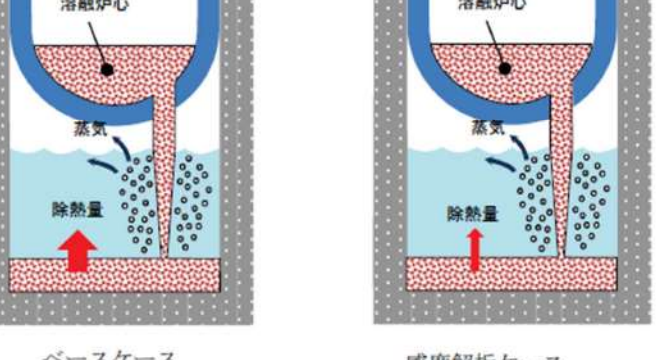
項目	Kutateladze 係数	設定根拠
ベースケース	0.1 ( $0.8\text{MW/m}^2$ 相当 <sup>(注)</sup> )	水による冷却を伴った溶融炉心とコンクリートの相互作用に関する実験に基づく値
感度解析ケース1	0.375 ( $3\text{MW/m}^2$ 相当 <sup>(注)</sup> )	CCI-2 実験で初期ピークを模擬した熱流束値
感度解析ケース2	0.0625 ( $0.5\text{MW/m}^2$ 相当 <sup>(注)</sup> )	CCI-2,3 実験で初期ピーク値を除外した熱流束値
感度解析ケース3	溶融物存在時 0.1 ( $0.8\text{MW/m}^2$ 相当 <sup>(注)</sup> ) 全体固化時 0.0625 ( $0.5\text{MW/m}^2$ 相当 <sup>(注)</sup> ) コンクリート15%混入時 0.015625 ( $0.125\text{MW/m}^2$ 相当 <sup>(注)</sup> )	溶融物存在時はベースケースと同様。全体固化時は感度解析ケース2と同様。コンクリート混入時はSSWICS 実験での熱流束値
感度解析ケース4	0.025 ( $0.2\text{MW/m}^2$ 相当 <sup>(注)</sup> )	WETCOR、MACE、CCI 実験においてクラスト全体が固化して温度が低下した状態の熱流束値

(注) 大気圧条件

## 泊発電所 3号炉 有効性評価 比較表

付録3 重大事故等対策の有効性評価に係るシビアアクシデント解析コードについて（添付3 溶融炉心とコンクリートの相互作用について）

**赤字**：設備、運用又は体制の相違（設計方針の相違）  
**青字**：記載箇所又は記載内容の相違（記載方針の相違）  
**緑字**：記載表現、設備名称の相違（実質的な相違なし）

女川原子力発電所2号炉	泊発電所3号炉	相違理由
	 <p style="text-align: center;">ベースケース</p> <p style="text-align: center;">感度解析ケース</p>	

泊発電所3号炉 有効性評価 比較表

付録3 重大事故等対策の有効性評価に係るシビアアクシデント解析コードについて（添付3 溶融炉心とコンクリートの相互作用について）

女川原子力発電所2号炉	泊発電所3号炉	相違理由								
<p>(4) 石灰岩系コンクリートを想定した参考解析</p> <p>解析条件を表5-4に示す。コンクリートの組成や物性は、表4-1及び表4-2に示す値を使用している。石灰岩系コンクリートを想定した場合の解析結果を図5-4a, 図5-4b, 図5-4c, 図5-4d及び表5-5に示す。石灰岩系コンクリートの場合、床方向及び壁方向の侵食量は若干増加しているが、感度は小さい。また、原子炉格納容器内のガスマル分率もベースケースと同様な結果となる。このケースのようにコンクリート侵食量が小さい場合は、石灰岩系コンクリートの影響は小さい。</p> <p style="text-align: center;">表5-4 コンクリート種類を変えた参考解析条件</p> <table border="1" style="width: 100%; border-collapse: collapse; text-align: center;"> <thead> <tr> <th style="width: 15%;">パラメータ</th><th style="width: 15%;">ベースケース (有効性評価)</th><th style="width: 15%;">参考解析ケース</th><th style="width: 15%;">根拠</th></tr> </thead> <tbody> <tr> <td>コンクリート種類</td><td>玄武岩系</td><td>石灰岩系</td><td>ガス発生の影響を確認する。</td></tr> </tbody> </table>	パラメータ	ベースケース (有効性評価)	参考解析ケース	根拠	コンクリート種類	玄武岩系	石灰岩系	ガス発生の影響を確認する。	<p>感度解析ケース4では、溶融炉心と水の熱流束について、約0.3MW/m<sup>2</sup>で推移しており、ベースケースの限界熱流束（約1.3MW/m<sup>2</sup>）に比べて低い値となっている。これは、Kutateladze係数を小さくしたこと、溶融炉心から水への熱流束が小さく評価された結果であり、感度解析ケースでは概ね一定の熱流束が継続している。溶融炉心とコンクリートの熱流束については、最初のピーク値が最も高く、この時点でも最もコンクリートが熱せられており、感度解析ケースでは、0.1MW/m<sup>2</sup>前後の熱流束が継続している。その結果、コンクリートの侵食深さはベースケースの解析結果である約3mmに比べて増加し、約20cmとなった。崩壊熱は時間の経過に伴い減衰し、水による除熱量は前述のとおり概ね一定の値が維持されるため、その結果、約8時間の時点でコンクリート表面温度は融点を下回りコンクリート侵食は停止する。</p> <p><u>評価</u></p> <p>水-溶融炉心間の熱流束に対する感度解析を実施し、コンクリート侵食に対する感度を確認した。感度解析ケース1、2、3においては、有意なコンクリート侵食には至らず、その不確かさが有効性評価の結果へ与える影響は小さい。一方、溶融炉心落下直後から、安定化クラスト形成後の熱流束を仮定した条件のケース4では、コンクリート侵食が有意に進む結果となった。ただし、本ケースは、前述のとおり、溶融炉心落下直後の高い熱流束の状態を無視した仮想的なケースであり、現実的に起こり得るものではないと考える。</p> <p style="text-align: right;">※コンクリート組成に関する感度解析は基本的考え方の6.5.9に記載</p> <p>(5) 感度解析パラメータの組合せ</p> <p>MCCIは、原子炉下部キャビティ底に堆積した溶融炉心が周囲のコンクリートや原子炉下部キャビティ水と伝熱する過程でさまざまなパターンの不確かさが考えられること、また直接的な実験例が少なく知見が不十分であることから「4. 不確かさに関する整理」にて抽出したパラメータの組合せを考慮し、感度解析を実施する。</p> <p><u>解析条件</u></p> <p style="text-align: right;">※BWRは個々の感度解析のみ実施しているが、PWRでは個々の感度を持つパラメーターを組み合わせ、</p>	
パラメータ	ベースケース (有効性評価)	参考解析ケース	根拠							
コンクリート種類	玄武岩系	石灰岩系	ガス発生の影響を確認する。							

泊発電所3号炉 有効性評価 比較表

付録3 重大事故等対策の有効性評価に係るシビアアクシデント解析コードについて（添付3 溶融炉心とコンクリートの相互作用について）

女川原子力発電所2号炉	泊発電所3号炉	相違理由
	<p>解析条件の設定に当たっては、「5 感度解析と評価（3）溶融炉心の拡がり面積」において設定した条件に則り、溶融炉心の拡がりの形態に着目し、拡がりのケースとして以下の2ケースとなるよう各パラメータを組み合わせた感度解析を実施した。</p> <ul style="list-style-type: none"> <li>・ 落下時に冷却されず高温のまま床に到達するケース</li> <li>・ 落下時に細粒化などにより冷却が進むケース</li> </ul> <p>感度解析の組合せとして、「落下時に冷却されず高温のまま床に到達するケース」では、細粒化が進みにくくなるよう設定するため、エントレインメント係数を推奨範囲の最小値とし、溶融炉心の拡がり面積としては、原子炉下部キャビティ床面積を設定した。</p> <p>一方、「落下時に細粒化などにより冷却が進むケース」では、細粒化が進みやすくなるよう設定するため、エントレインメント係数は推奨範囲の最大値とし、溶融炉心の拡がり面積としては、「5 感度解析と評価（3）溶融炉心の拡がり面積」で設定した面積とした。</p> <p>なお、水深については不確かさの範囲では結果への影響が小さいため、ベースケースの値を使用する。また、水－溶融炉心間の熱流束については、両ケースとも不確かさとして重畠させることとし、現実的な不確かさの幅を確認する観点から、「5 感度解析と評価（4）水－溶融炉心間の熱伝達係数」の感度解析ケース3の熱流束を使用する。</p> <p>以上から、パラメータの組合せとして次表の2ケースを考える。</p>	最も厳しい影響を確認している

泊発電所3号炉 有効性評価 比較表

付録3 重大事故等対策の有効性評価に係るシビアアクシデント解析コードについて（添付3 溶融炉心とコンクリートの相互作用について）

女川原子力発電所2号炉			泊発電所3号炉			相違理由
表5-5 MCC I 感度解析結果の一覧						
ケース	パラメータ設定	コンクリート侵食量	項目	パラメータ	設定値	設定根拠
有効性評価 (ベースケース)	・エントレインメント係数: <span style="background-color: black; color: black;">■</span> ・上面熱流束: 約 800kW/m <sup>2</sup> @ 1ata (F <sub>chz</sub> =0.1 デフォルト) 圧力依存性考慮 ・溶融プールからクラストへの熱伝達係数 床: <span style="background-color: black; color: black;">■</span> 壁: <span style="background-color: black; color: black;">■</span> ・コンクリート組成及び物性値: 玄武岩系	床面: 2.4cm 壁面: 2.3cm	ベース ケース	代替格納容器 スプレイ作動	炉心溶融後 30 分	運転員等操作余裕時間として設定
	①-1 エントレインメント係数 小 エントレインメント係数: <span style="background-color: black; color: black;">■</span>	床面: 3.6cm 壁面: 3.5cm		エントレインメント係数	<span style="background-color: black; color: black;">■</span>	当該変数推奨範囲の最確値
	①-2 エントレインメント係数 大 エントレインメント係数: <span style="background-color: black; color: black;">■</span>	床面: 1.7cm 壁面: 1.7cm		溶融炉心の 拡がり面積	原子炉下部キャビティ 床面積の 1/1	原子炉下部キャビティ区画床全面とする
	② 上面熱流束 下限 800kW/m <sup>2</sup> 一定	床面: 22.5cm 壁面: 21.6cm		Kutateladze 係数	0.1 (0.8 MW/m <sup>2</sup> 相当 (註)) 水による冷却を伴った溶融炉心とコンクリートの相互作用に関する実験に基づく値	
③-1 溶融プール熱伝達 床方向大	溶融プール熱伝達係数 床: <span style="background-color: black; color: black;">■</span> 壁: <span style="background-color: black; color: black;">■</span>	床面: 2.4cm 壁面: 2.2cm	感度解析 ケース 1	代替格納容器 スプレイ作動	炉心溶融後 30 分	運転員等操作余裕時間として設定
	③-2 溶融プール熱伝達 壁方向大 床: <span style="background-color: black; color: black;">■</span> 壁: <span style="background-color: black; color: black;">■</span>	床面: 2.1cm 壁面: 2.4cm		エントレインメント係数	<span style="background-color: black; color: black;">■</span>	当該変数推奨範囲の最小値
(参考解析) 石灰岩系コンクリート	溶融プール熱伝達係数 コンクリート組成及び物性値: 石灰岩系	床面: 2.8cm 壁面: 2.8cm		溶融炉心の 拡がり面積	原子炉下部キャビティ 床面積の 1/1	原子炉下部キャビティ区画床全面とする
	溶融炉心の 拡がり面積	溶融物存在時 0.1 (0.8 MW/m <sup>2</sup> 相当 (註)) 全体固化時 0.0625 (0.5 MW/m <sup>2</sup> 相当 (註)) コンクリート 15%混入時 0.015625 (0.125 MW/m <sup>2</sup> 相当 (註))		Kutateladze 係数	溶融物存在時 0.1 (0.8 MW/m <sup>2</sup> 相当 (註)) 全体固化時 0.0625 (0.5 MW/m <sup>2</sup> 相当 (註)) コンクリート 15%混入時 0.015625 (0.125 MW/m <sup>2</sup> 相当 (註))	CCI 実験、SSWICS 実験に基づく熱流束を設定
	溶融炉心の 拡がり面積	溶融物存在時 0.1 (0.8 MW/m <sup>2</sup> 相当 (註)) 全体固化時 0.0625 (0.5 MW/m <sup>2</sup> 相当 (註)) コンクリート 15%混入時 0.015625 (0.125 MW/m <sup>2</sup> 相当 (註))		代替格納容器 スプレイ作動	炉心溶融後 30 分	運転員等操作余裕時間として設定
感度解析 ケース 2	エントレインメント係数	<span style="background-color: black; color: black;">■</span>		エント雷インメント係数	<span style="background-color: black; color: black;">■</span>	当該変数推奨範囲の最大値
	溶融炉心の 拡がり面積	原子炉下部キャビティ 床面積の約 1/10 から落下量に応じて拡大		溶融炉心の 拡がり面積	原子炉下部キャビティ 床面積の約 1/10 から落下量に応じて拡大	落下時に細粒化などにより冷却が進む
	Kutateladze 係数	溶融物存在時 0.1 (0.8 MW/m <sup>2</sup> 相当 (註)) 全体固化時 0.0625 (0.5 MW/m <sup>2</sup> 相当 (註)) コンクリート 15%混入時 0.015625 (0.125 MW/m <sup>2</sup> 相当 (註))		Kutateladze 係数	溶融物存在時 0.1 (0.8 MW/m <sup>2</sup> 相当 (註)) 全体固化時 0.0625 (0.5 MW/m <sup>2</sup> 相当 (註)) コンクリート 15%混入時 0.015625 (0.125 MW/m <sup>2</sup> 相当 (註))	CCI 実験、SSWICS 実験に基づく熱流束を設定
(注) 大気圧条件			枠囲みの内容は商業機密に属しますので公開できません。			

泊発電所3号炉 有効性評価 比較表

付録3 重大事故等対策の有効性評価に係るシビアアクシデント解析コードについて（添付3 溶融炉心とコンクリートの相互作用について）

女川原子力発電所2号炉	泊発電所3号炉	相違理由
	<p><u>解析結果</u></p> <p>図5-5-1～5-5-9に、本感度解析の結果を示す。</p> <p>感度解析ケース1は、溶融炉心落下時に冷却されず高温のまま床に到達するケースであり、水一溶融炉心間の熱流束は、ベースケースでは、溶融炉心が原子炉下部キャビティに落下する毎に、大気圧条件相当で <math>0.8\text{MW/m}^2</math> であるのに対して、感度解析ケース1では、最初の落下時に大気圧条件相当で <math>0.8\text{MW/m}^2</math> に達するものの、その後は瞬時に全体が固化するため、大気圧条件相当で <math>0.5\text{MW/m}^2</math> となる。このため、溶融炉心温度、コンクリート表面温度はベースケースよりも高温の期間が若干長く維持される。その結果、コンクリート侵食深さはわずかに増加する程度であり、ベースケースが約3mm、感度解析ケース1が約4mmとなった。なお、感度解析ケース1では、原子炉下部キャビティでの水素生成量がベースケースに比べてわずかながら減少した。具体的には、ベースケースではMCCIによる水素発生量が約3kg、細粒化によるジルコニウム-水反応による水素発生量が約18kgであるのに対して、感度解析ケース1では、MCCIによる水素発生量が約4kg、細粒化によるジルコニウム-水反応量による水素発生量が約11kgとなった。これは、感度解析ケース1においてエントレインメント係数を小さくしたことから、細粒化によるジルコニウム-水反応量が少なくなったためである。</p> <p>感度解析ケース2は、溶融炉心落下時に細粒化などにより冷却が進むケースであり、水一溶融炉心間の熱流束について、ベースケースに比べて、溶融炉心の拡がり面積を制限することで、溶融炉心と水の接触面積が小さくなり、その結果、溶融炉心の単位時間当たりの除熱量が小さくなつたことで、熱流束が高く維持される時間が長くなっている。また、溶融炉心温度、コンクリート表面温度もベースケースに比べて高温の期間が長く維持され、特にコンクリート表面は融点温度に達している期間が長く、この間にコンクリート侵食が継続する。その後、コンクリート表面温度の低下に伴い、コンクリート侵食は停止する。その結果、コンクリート侵食深さは約19cmとなったが、原子炉下部キャビティ底面からのコンクリート厚さは数メートルあり、侵食深さは十分小さいことを確認した。最終的な原子炉格納容器内の水素濃度は約6vol%（ドライ条件換算）にとどまり、水素処理装置（静的触媒式水素再結合装置（PAR）及び電気式水素燃焼装置（イグナイタ））による処理が可能なレベルに収まっている結果となっている。感度解析ケース2においては、コンクリート侵食深さが増加したことにより水素発生量は約53kgとなり、また、エントレインメント係数を大きくしたことにより、細粒化によるジルコニウム-水反応量が大きくなり、水素発生量は約23kgとなった。表5に水素発生量の内訳を示す。表5に示すとおり、MCCIによる水素発生は原子炉容器破損後30分に顕著であり、その後、コンクリート侵食の停止に伴い水素発生も停止する。その結果、水素発生量としては、MCCIにより約6%増加しており、原子炉容器内及び原子炉容器外で反応するジルコニウム量を足すと、全炉心内のジルコニウム量の約37.9%が水と反応する結果となっている。これについて、MCCIにより発生する水素は、すべてジルコニウムに起因するものであることを確認した。また、追加発生となる水素については、水素処理装置（PAR及びイグナイタ）を使用することで処理が可能である。</p>	

泊発電所3号炉 有効性評価 比較表

付録3 重大事故等対策の有効性評価に係るシビアアクシデント解析コードについて（添付3 溶融炉心とコンクリートの相互作用について）

女川原子力発電所2号炉	泊発電所3号炉				相違理由
表5 水素発生量の内訳					
	時刻	RV破損前	RV破損後30分	RV破損後10時間	
原子炉容器内	Zr	257.6kg (29.2%)	257.6kg (29.2%)	257.6kg (29.2%)	
	ステンレス	21.4kg (2.4%)	21.6kg (2.5%)	22.9kg (2.6%)	
	小計	279.0kg (31.6%)	279.3kg (31.6%)	280.5kg (31.8%)	
	Zr	0.0kg (0.0%)	11.9kg (1.3%)	23.46kg (2.7%)	
	ステンレス	0.0kg (0.0%)	0.0kg (0.0%)	0.0kg (0.0%)	
	小計	0.0kg (0.0%)	11.9kg (1.3%)	23.46kg (2.7%)	
	Zr	0.0kg (0.0%)	47.5kg (5.4%)	53.0kg (6.0%)	
	ステンレス	0.0kg (0.0%)	0.0kg (0.0%)	0.0kg (0.0%)	
	小計	0.0kg (0.0%)	47.5kg (5.4%)	53.0kg (6.0%)	
MCCI	Zr	257.6kg (29.2%)	317.1kg (35.9%)	334.1kg (37.9%)	
	ステンレス	21.4kg (2.4%)	21.6kg (2.5%)	22.9kg (2.6%)	
	小計	279.0kg (31.6%)	338.7kg (38.4%)	356.9kg (40.4%)	
合計	Zr	257.6kg (29.2%)	317.1kg (35.9%)	334.1kg (37.9%)	
	ステンレス	21.4kg (2.4%)	21.6kg (2.5%)	22.9kg (2.6%)	
	小計	279.0kg (31.6%)	338.7kg (38.4%)	356.9kg (40.4%)	

※（ ）内は全炉心Zr量の100%が反応した場合の水素発生量（約882.6kg）に対する割合を示す。

評価

感度解析パラメータの組合せを考慮した場合、溶融炉心落下時に冷却されず高温のまま床に到達するケースでは、コンクリート侵食に対する感度は小さく、その不確かさが有効性評価へ与える影響は小さい。溶融炉心落下時に細粒化などにより冷却が進むケースでは、コンクリート侵食は約19cmとなった。ただし、本感度解析は、溶融炉心の拡がり面積として、極端な条件で局的に溶融炉心が堆積するよう設定していることから、実機条件よりも厳しい条件を与えたものである。

泊発電所3号炉 有効性評価 比較表

付録3 重大事故等対策の有効性評価に係るシビアアクシデント解析コードについて（添付3 溶融炉心とコンクリートの相互作用について）

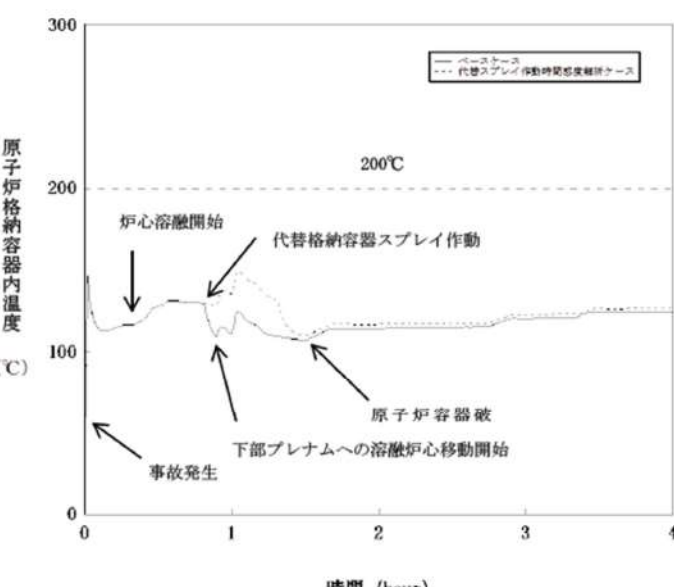
女川原子力発電所2号炉	泊発電所3号炉	相違理由
<p>「本製品（又はサービス）には、米国電力研究所（The Electric Power Research Institute）の出資により電力産業用に開発された技術が取り入れられています。」</p>	<p>「本製品（又はサービス）には、米国電力研究所（the Electric Power Research Institute）の出資により電力産業用に開発された技術が取り入れられています。」</p> 	

図 5-1-1 代替格納容器スプレイ作動時刻感度解析（1）

泊発電所3号炉 有効性評価 比較表

付録3 重大事故等対策の有効性評価に係るシビアアクシデント解析コードについて（添付3 溶融炉心とコンクリートの相互作用について）

女川原子力発電所2号炉	泊発電所3号炉	相違理由

図 5-1-2 代替格納容器スプレイ作動時刻感度解析（2）

泊発電所3号炉 有効性評価 比較表

付録3 重大事故等対策の有効性評価に係るシビアアクシデント解析コードについて（添付3 溶融炉心とコンクリートの相互作用について）

女川原子力発電所2号炉	泊発電所3号炉	相違理由
	<p>図 5-1-3 代替格納容器スプレイ作動時刻感度解析（3）</p>	

赤字：設備、運用又は体制の相違（設計方針の相違）  
 青字：記載箇所又は記載内容の相違（記載方針の相違）  
 緑字：記載表現、設備名称の相違（実質的な相違なし）

泊発電所3号炉 有効性評価 比較表

付録3 重大事故等対策の有効性評価に係るシビアアクシデント解析コードについて（添付3 溶融炉心とコンクリートの相互作用について）

女川原子力発電所2号炉	泊発電所3号炉	相違理由												
	<p>The graph plots 'ベースマット侵食深さ (m)' (Erosion depth of base plate) on the y-axis (0 to 4) against '時間 (hour)' (Time) on the x-axis (0 to 4). Two curves are shown: a solid line for the '標準ケース' (Standard Case) and a dashed line for the '代替スプレー作動時間感度解析ケース' (Alternative spray operation timing sensitivity analysis case). The standard case curve starts at approximately 1.2 m at 1 hour and rises to about 1.5 m at 2 hours. The alternative case curve starts at 0 m at 1 hour and remains near zero until 2 hours, then rises sharply to about 1.2 m at 2.5 hours.</p> <table border="1"> <caption>Data points estimated from Figure 5-1-4</caption> <thead> <tr> <th>時間 (hour)</th> <th>標準ケース (m)</th> <th>代替スプレー作動時間感度解析ケース (m)</th> </tr> </thead> <tbody> <tr> <td>1.0</td> <td>1.2</td> <td>0.0</td> </tr> <tr> <td>2.0</td> <td>1.5</td> <td>0.0</td> </tr> <tr> <td>2.5</td> <td>-</td> <td>1.2</td> </tr> </tbody> </table>	時間 (hour)	標準ケース (m)	代替スプレー作動時間感度解析ケース (m)	1.0	1.2	0.0	2.0	1.5	0.0	2.5	-	1.2	
時間 (hour)	標準ケース (m)	代替スプレー作動時間感度解析ケース (m)												
1.0	1.2	0.0												
2.0	1.5	0.0												
2.5	-	1.2												

図 5-1-4 代替格納容器スプレー作動時刻感度解析（4）

泊発電所3号炉 有効性評価 比較表

付録3 重大事故等対策の有効性評価に係るシビアアクシデント解析コードについて（添付3 溶融炉心とコンクリートの相互作用について）

女川原子力発電所2号炉	泊発電所3号炉	相違理由
	<p>図 5-1-5 代替格納容器スプレイ作動時刻感度解析（5）</p>	

泊発電所3号炉 有効性評価 比較表

付録3 重大事故等対策の有効性評価に係るシビアアクシデント解析コードについて（添付3 溶融炉心とコンクリートの相互作用について）

女川原子力発電所2号炉	泊発電所3号炉	相違理由
	<p>図 5-1-6 代替格納容器スプレイ作動時刻感度解析（6）</p>	

赤字：設備、運用又は体制の相違（設計方針の相違）  
 青字：記載箇所又は記載内容の相違（記載方針の相違）  
 緑字：記載表現、設備名称の相違（実質的な相違なし）

泊発電所3号炉 有効性評価 比較表

付録3 重大事故等対策の有効性評価に係るシビアアクシデント解析コードについて（添付3 溶融炉心とコンクリートの相互作用について）

女川原子力発電所2号炉	泊発電所3号炉	相違理由

図 5-1-7 代替格納容器スプレイ作動時刻感度解析（7）

泊発電所3号炉 有効性評価 比較表

付録3 重大事故等対策の有効性評価に係るシビアアクシデント解析コードについて（添付3 溶融炉心とコンクリートの相互作用について）

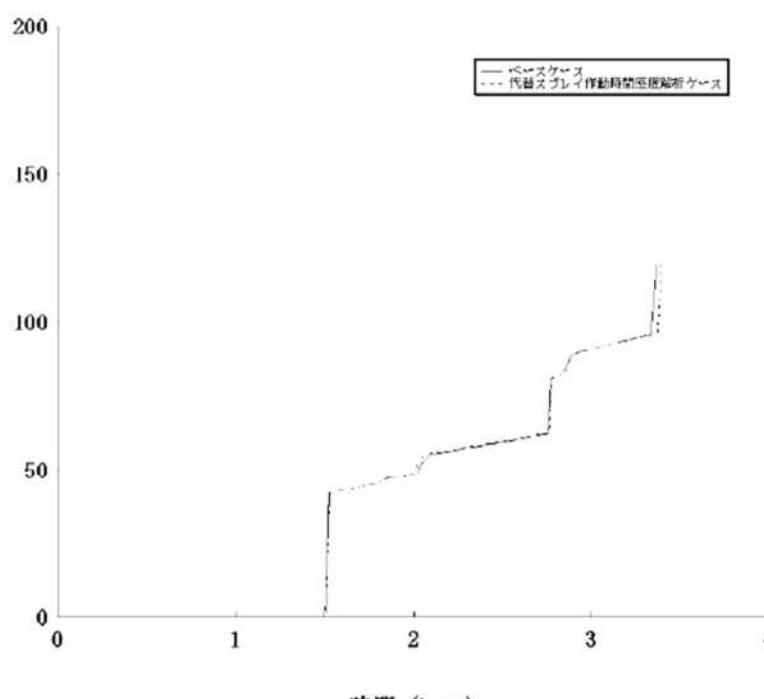
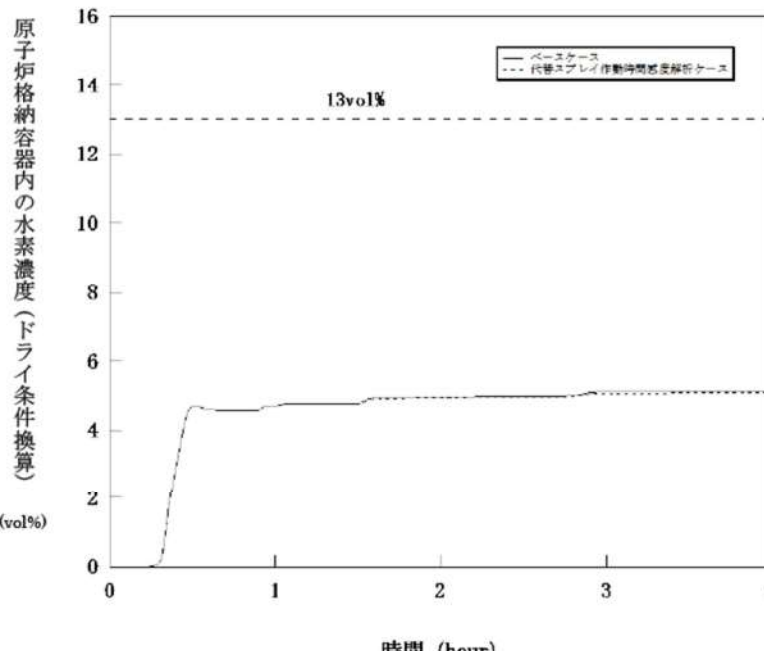
女川原子力発電所2号炉	泊発電所3号炉	相違理由																								
	 <table border="1"> <caption>Data extracted from Figure 5-1-8</caption> <thead> <tr> <th>時間 (hour)</th> <th>ベースケース (t)</th> <th>代替スプレイ作動時間感度解析ケース (t)</th> </tr> </thead> <tbody> <tr><td>0.0</td><td>0</td><td>0</td></tr> <tr><td>1.0</td><td>~20</td><td>~20</td></tr> <tr><td>2.0</td><td>~50</td><td>~50</td></tr> <tr><td>2.8</td><td>~80</td><td>~80</td></tr> <tr><td>3.0</td><td>~90</td><td>~90</td></tr> <tr><td>3.5</td><td>~110</td><td>~130</td></tr> <tr><td>4.0</td><td>~110</td><td>~110</td></tr> </tbody> </table>	時間 (hour)	ベースケース (t)	代替スプレイ作動時間感度解析ケース (t)	0.0	0	0	1.0	~20	~20	2.0	~50	~50	2.8	~80	~80	3.0	~90	~90	3.5	~110	~130	4.0	~110	~110	
時間 (hour)	ベースケース (t)	代替スプレイ作動時間感度解析ケース (t)																								
0.0	0	0																								
1.0	~20	~20																								
2.0	~50	~50																								
2.8	~80	~80																								
3.0	~90	~90																								
3.5	~110	~130																								
4.0	~110	~110																								

図 5-1-8 代替格納容器スプレイ作動時刻感度解析（8）

泊発電所3号炉 有効性評価 比較表

付録3 重大事故等対策の有効性評価に係るシビアアクシデント解析コードについて（添付3 溶融炉心とコンクリートの相互作用について）

女川原子力発電所2号炉	泊発電所3号炉	相違理由
	 <p>図 5-1-9 代替格納容器スプレイ作動時刻感度解析（9）</p>	

赤字：設備、運用又は体制の相違（設計方針の相違）  
 青字：記載箇所又は記載内容の相違（記載方針の相違）  
 緑字：記載表現、設備名称の相違（実質的な相違なし）

泊発電所3号炉 有効性評価 比較表

付録3 重大事故等対策の有効性評価に係るシビアアクシデント解析コードについて（添付3 溶融炉心とコンクリートの相互作用について）

女川原子力発電所2号炉	泊発電所3号炉	相違理由
	<p>図 5-2-1 溶融炉心の細粒化割合感度解析（1）</p>	

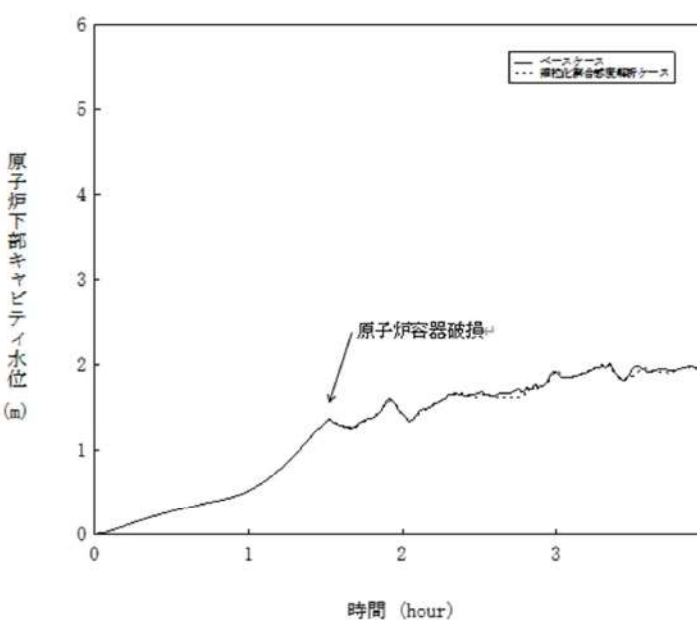
泊発電所3号炉 有効性評価 比較表

付録3 重大事故等対策の有効性評価に係るシビアアクシデント解析コードについて（添付3 溶融炉心とコンクリートの相互作用について）

女川原子力発電所2号炉	泊発電所3号炉	相違理由
	<p>図 5-2-2 溶融炉心の細粒化割合感度解析（2）</p>	

泊発電所3号炉 有効性評価 比較表

付録3 重大事故等対策の有効性評価に係るシビアアクシデント解析コードについて（添付3 溶融炉心とコンクリートの相互作用について）

女川原子力発電所2号炉	泊発電所3号炉	相違理由
	 <p>図 5-2-3 溶融炉心の細粒化割合感度解析（3）</p>	

泊発電所3号炉 有効性評価 比較表

付録3 重大事故等対策の有効性評価に係るシビアアクシデント解析コードについて（添付3 溶融炉心とコンクリートの相互作用について）

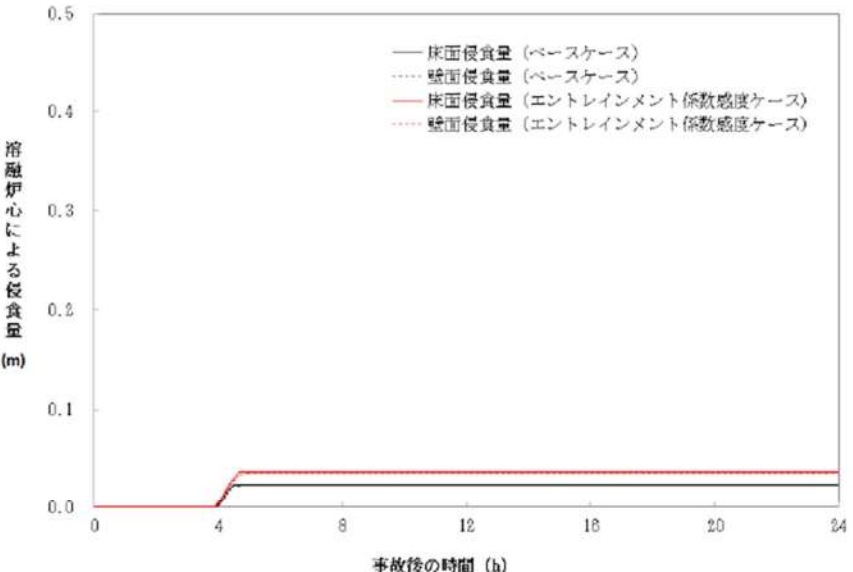
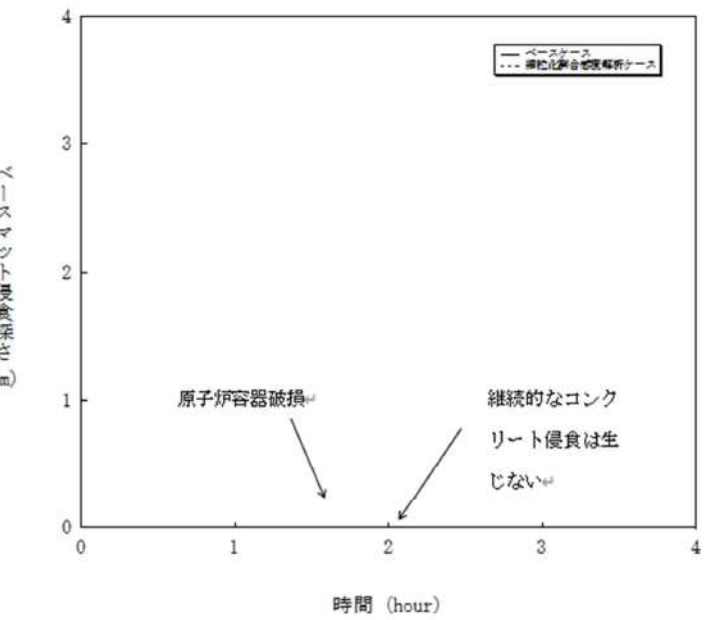
女川原子力発電所2号炉	泊発電所3号炉	相違理由
 <p>溶融炉心による侵食量 (m)</p> <p>事故後の時間 (h)</p> <p>— 床面侵食量 (ベースケース)      - - - 壁面侵食量 (ベースケース)      — 床面侵食量 (エントレインメント係数感度ケース)      - - - 壁面侵食量 (エントレインメント係数感度ケース)</p>	 <p>ベースマッシュ侵食深さ (m)</p> <p>時間 (hour)</p> <p>—— ベースケース      - - - 細粒化率合せ液導管ケース</p> <p>原子炉容器破損</p> <p>維続的なコンクリート侵食は生じない</p>	

図 5-1-1a コンクリート侵食量の比較（エントレインメント係数□）

本資料のうち枠囲みの内容は商業機密に属しますので公開できません。

図 5-2-4 溶融炉心の細粒化割合感度解析 (4)

泊発電所3号炉 有効性評価 比較表

付録3 重大事故等対策の有効性評価に係るシビアアクシデント解析コードについて（添付3 溶融炉心とコンクリートの相互作用について）

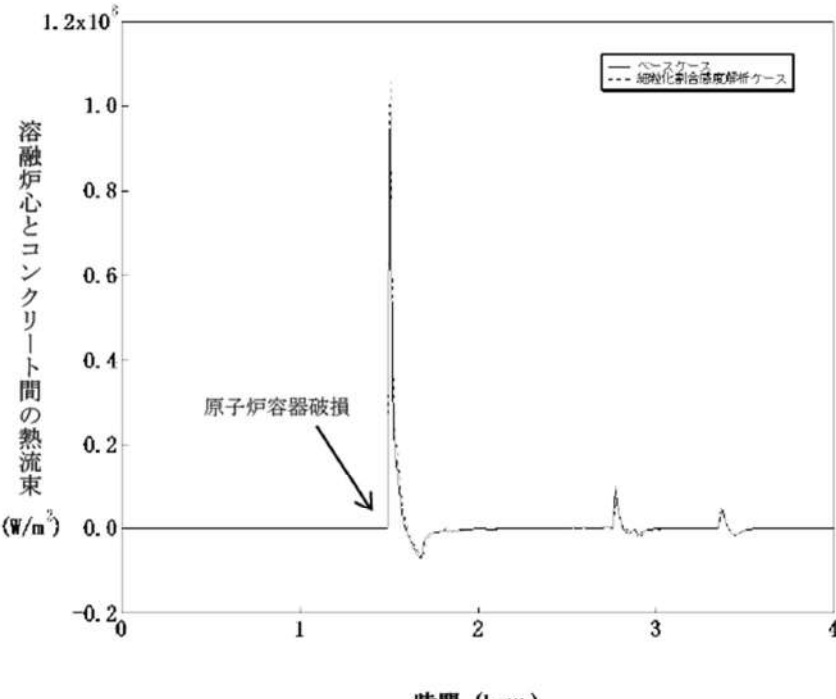
女川原子力発電所2号炉	泊発電所3号炉	相違理由
	<p>溶融炉心と水間の熱流束 (W/m<sup>2</sup>)</p> <p>時間 (hour)</p> <p>原子炉容器破損</p> <p>— ベースケース --- 細粒化割合感度解析ケース</p>	

図 5-2-5 溶融炉心の細粒化割合感度解析（5）

赤字：設備、運用又は体制の相違（設計方針の相違）  
 青字：記載箇所又は記載内容の相違（記載方針の相違）  
 緑字：記載表現、設備名称の相違（実質的な相違なし）

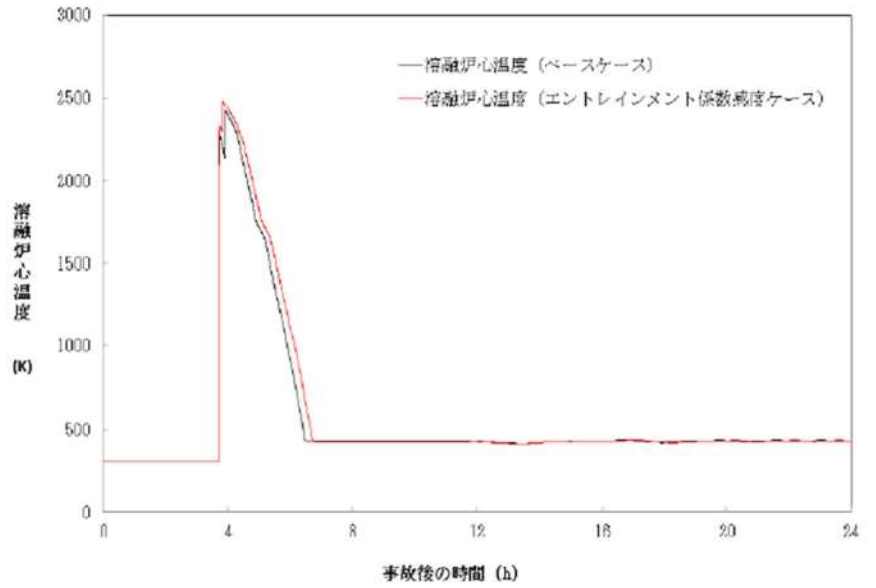
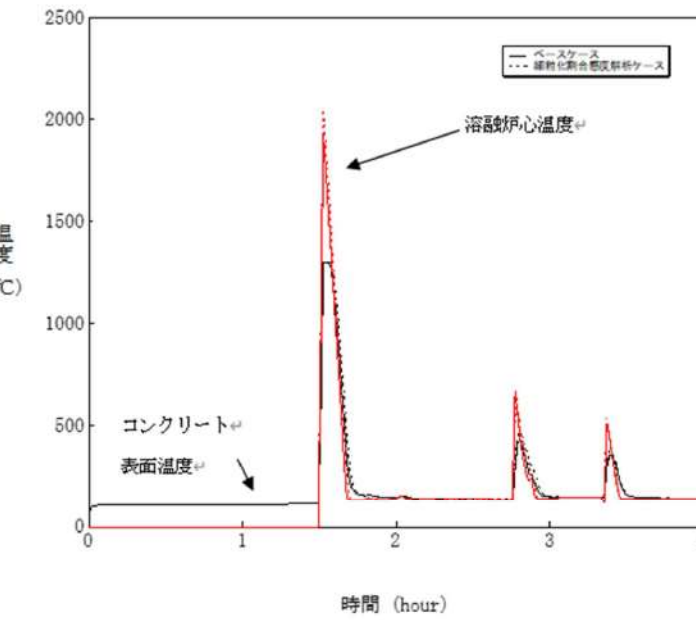
泊発電所3号炉 有効性評価 比較表

付録3 重大事故等対策の有効性評価に係るシビアアクシデント解析コードについて（添付3 溶融炉心とコンクリートの相互作用について）

女川原子力発電所2号炉	泊発電所3号炉	相違理由
	 <p>図 5-2-6 溶融炉心の細粒化割合感度解析（6）</p>	

泊発電所3号炉 有効性評価 比較表

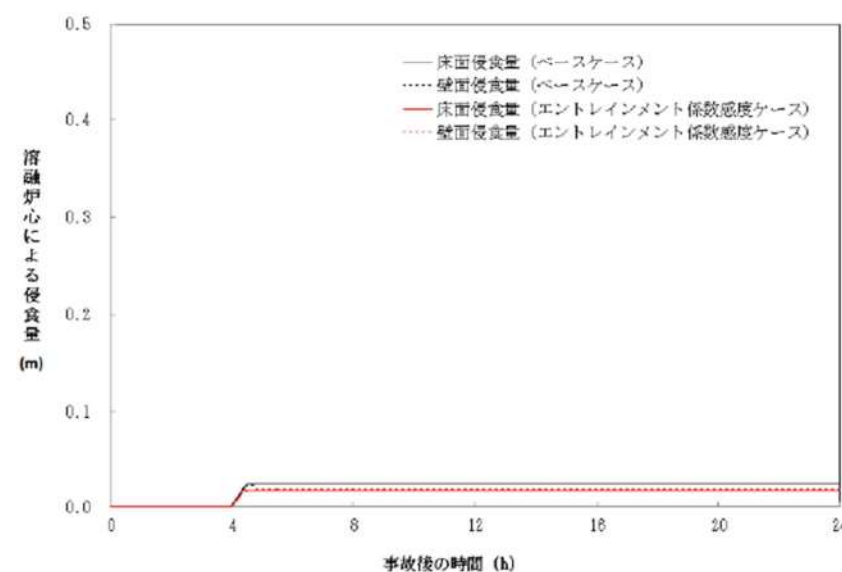
付録3 重大事故等対策の有効性評価に係るシビアアクシデント解析コードについて（添付3 溶融炉心とコンクリートの相互作用について）

女川原子力発電所2号炉	泊発電所3号炉	相違理由
 <b>図 5-1-1b 溶融炉心温度の比較 (エントレインメント係数 [ ] )</b> <div style="border: 1px solid black; padding: 5px; margin-top: 10px;">                     本資料のうち枠囲みの内容は商業機密に 属しますので公開できません。                 </div>	 <b>図 5-2-7 溶融炉心の細粒化割合感度解析 (7)</b>	

赤字：設備、運用又は体制の相違（設計方針の相違）  
 青字：記載箇所又は記載内容の相違（記載方針の相違）  
 緑字：記載表現、設備名称の相違（実質的な相違なし）

泊発電所3号炉 有効性評価 比較表

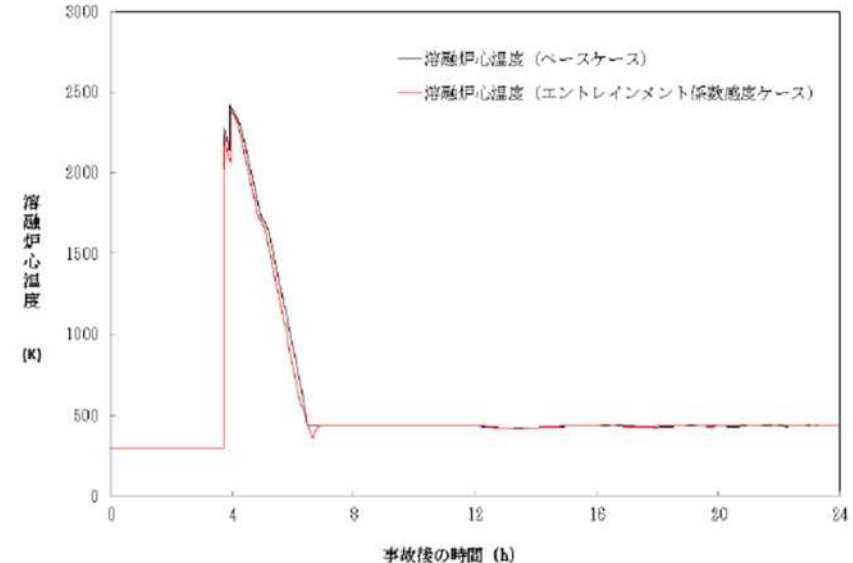
付録3 重大事故等対策の有効性評価に係るシビアアクシデント解析コードについて（添付3 溶融炉心とコンクリートの相互作用について）

女川原子力発電所2号炉	泊発電所3号炉	相違理由
 図 5-1-2a コンクリート侵食量の比較（エントレインメント係数 [ ] ）		

本資料のうち枠囲みの内容は商業機密に  
属しますので公開できません。

泊発電所3号炉 有効性評価 比較表

付録3 重大事故等対策の有効性評価に係るシビアアクシデント解析コードについて（添付3 溶融炉心とコンクリートの相互作用について）

女川原子力発電所2号炉	泊発電所3号炉	相違理由
 <p>溶融炉心温度 (K)</p> <p>事故後の時間 (h)</p> <p>— 溶融炉心温度 (ベースケース)      — 溶融炉心温度 (エントレインメント係数考慮ケース)</p> <p>図 5-1-2b 溶融炉心温度の比較 (エントレインメント係数 [REDACTED])</p> <div style="border: 1px solid black; padding: 5px; width: fit-content;">                     本資料のうち枠囲みの内容は商業機密に 属しますので公開できません。                 </div>		

赤字：設備、運用又は体制の相違（設計方針の相違）  
 青字：記載箇所又は記載内容の相違（記載方針の相違）  
 緑字：記載表現、設備名称の相違（実質的な相違なし）

泊発電所3号炉 有効性評価 比較表

付録3 重大事故等対策の有効性評価に係るシビアアクシデント解析コードについて（添付3 溶融炉心とコンクリートの相互作用について）

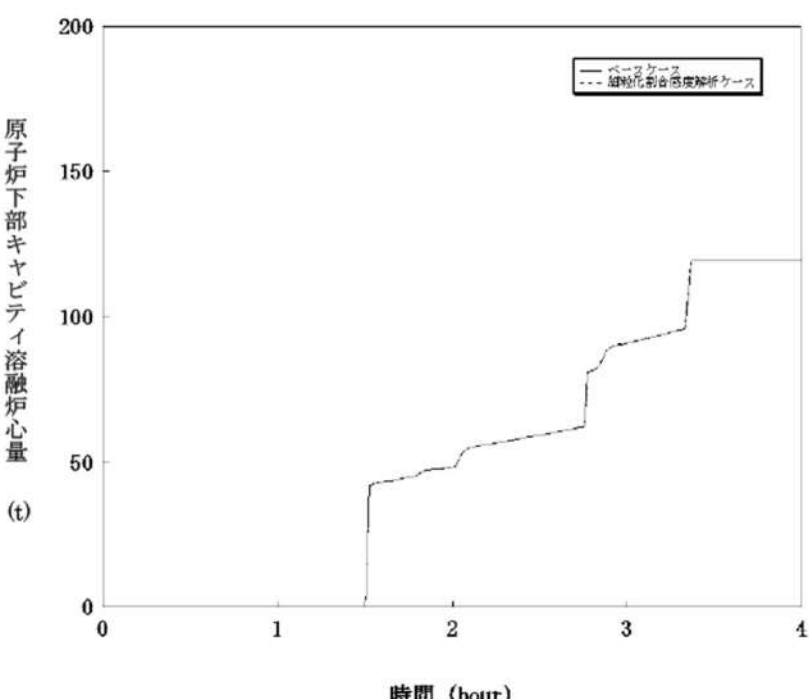
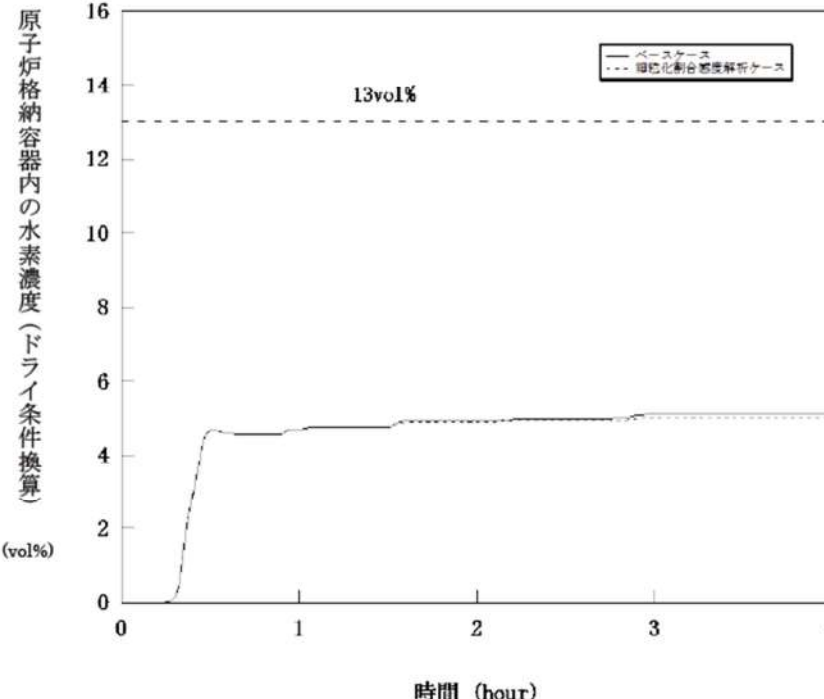
女川原子力発電所2号炉	泊発電所3号炉	相違理由																								
	 <table border="1"> <caption>Data extracted from Figure 5-2-8</caption> <thead> <tr> <th>時間 (hour)</th> <th>ベーシック (kg)</th> <th>細粒化割合感度解析ケース (kg)</th> </tr> </thead> <tbody> <tr><td>0.0</td><td>0</td><td>0</td></tr> <tr><td>1.5</td><td>40</td><td>40</td></tr> <tr><td>2.0</td><td>50</td><td>50</td></tr> <tr><td>2.5</td><td>65</td><td>65</td></tr> <tr><td>3.0</td><td>85</td><td>85</td></tr> <tr><td>3.5</td><td>120</td><td>120</td></tr> <tr><td>4.0</td><td>120</td><td>120</td></tr> </tbody> </table>	時間 (hour)	ベーシック (kg)	細粒化割合感度解析ケース (kg)	0.0	0	0	1.5	40	40	2.0	50	50	2.5	65	65	3.0	85	85	3.5	120	120	4.0	120	120	
時間 (hour)	ベーシック (kg)	細粒化割合感度解析ケース (kg)																								
0.0	0	0																								
1.5	40	40																								
2.0	50	50																								
2.5	65	65																								
3.0	85	85																								
3.5	120	120																								
4.0	120	120																								

図 5-2-8 溶融炉心の細粒化割合感度解析（8）

赤字：設備、運用又は体制の相違（設計方針の相違）  
 青字：記載箇所又は記載内容の相違（記載方針の相違）  
 緑字：記載表現、設備名称の相違（実質的な相違なし）

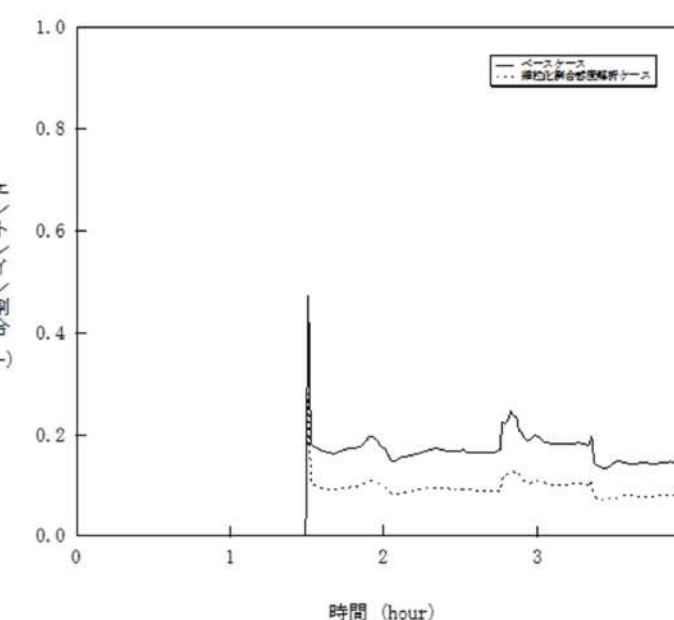
泊発電所3号炉 有効性評価 比較表

付録3 重大事故等対策の有効性評価に係るシビアアクシデント解析コードについて（添付3 溶融炉心とコンクリートの相互作用について）

女川原子力発電所2号炉	泊発電所3号炉	相違理由																								
	 <p>原子炉格納容器内の水素濃度（ドライ条件換算）(vol%)</p> <p>時間 (hour)</p> <table border="1"> <caption>Estimated data from Figure 5-2-9</caption> <thead> <tr> <th>時間 (hour)</th> <th>ベースケース (vol%)</th> <th>細粒化割合感度解析ケース (vol%)</th> </tr> </thead> <tbody> <tr><td>0.0</td><td>0</td><td>0</td></tr> <tr><td>0.5</td><td>0</td><td>~5</td></tr> <tr><td>1.0</td><td>~5</td><td>~5</td></tr> <tr><td>1.5</td><td>~5</td><td>~5</td></tr> <tr><td>2.0</td><td>~5</td><td>~5</td></tr> <tr><td>3.0</td><td>~5</td><td>~5</td></tr> <tr><td>4.0</td><td>~5</td><td>~5</td></tr> </tbody> </table> <p>図 5-2-9 溶融炉心の細粒化割合感度解析（9）</p>	時間 (hour)	ベースケース (vol%)	細粒化割合感度解析ケース (vol%)	0.0	0	0	0.5	0	~5	1.0	~5	~5	1.5	~5	~5	2.0	~5	~5	3.0	~5	~5	4.0	~5	~5	
時間 (hour)	ベースケース (vol%)	細粒化割合感度解析ケース (vol%)																								
0.0	0	0																								
0.5	0	~5																								
1.0	~5	~5																								
1.5	~5	~5																								
2.0	~5	~5																								
3.0	~5	~5																								
4.0	~5	~5																								

泊発電所3号炉 有効性評価 比較表

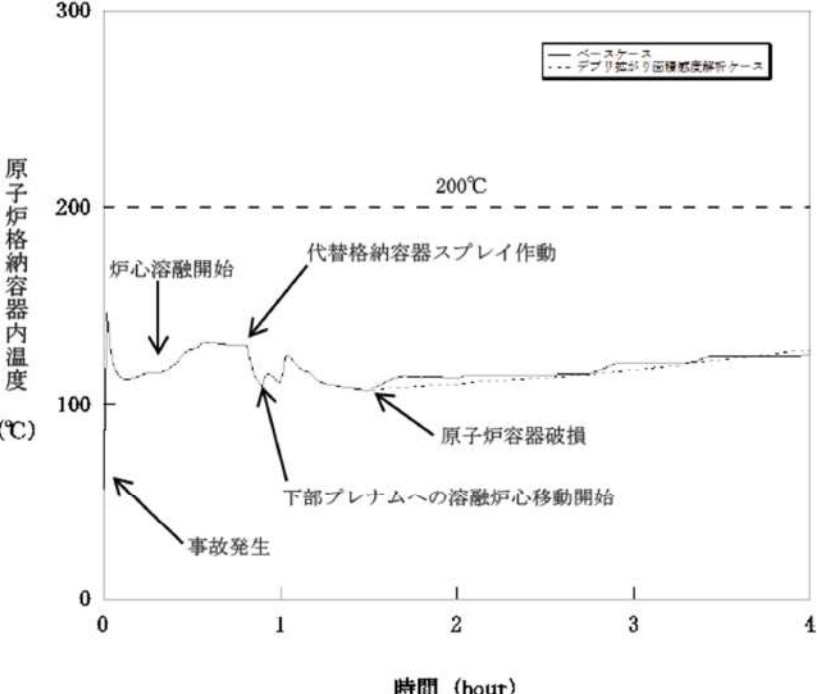
付録3 重大事故等対策の有効性評価に係るシビアアクシデント解析コードについて（添付3 溶融炉心とコンクリートの相互作用について）

女川原子力発電所2号炉	泊発電所3号炉	相違理由
	 <p>図 5-2-10 溶融炉心の細粒化割合感度解析（10）</p>	

赤字：設備、運用又は体制の相違（設計方針の相違）  
 青字：記載箇所又は記載内容の相違（記載方針の相違）  
 緑字：記載表現、設備名称の相違（実質的な相違なし）

泊発電所3号炉 有効性評価 比較表

付録3 重大事故等対策の有効性評価に係るシビアアクシデント解析コードについて（添付3 溶融炉心とコンクリートの相互作用について）

女川原子力発電所2号炉	泊発電所3号炉	相違理由
	 <p>図 5-3-1 溶融炉心の拡がり面積感度解析（1）</p>	

赤字：設備、運用又は体制の相違（設計方針の相違）  
 青字：記載箇所又は記載内容の相違（記載方針の相違）  
 緑字：記載表現、設備名称の相違（実質的な相違なし）

泊発電所3号炉 有効性評価 比較表

付録3 重大事故等対策の有効性評価に係るシビアアクシデント解析コードについて（添付3 溶融炉心とコンクリートの相互作用について）

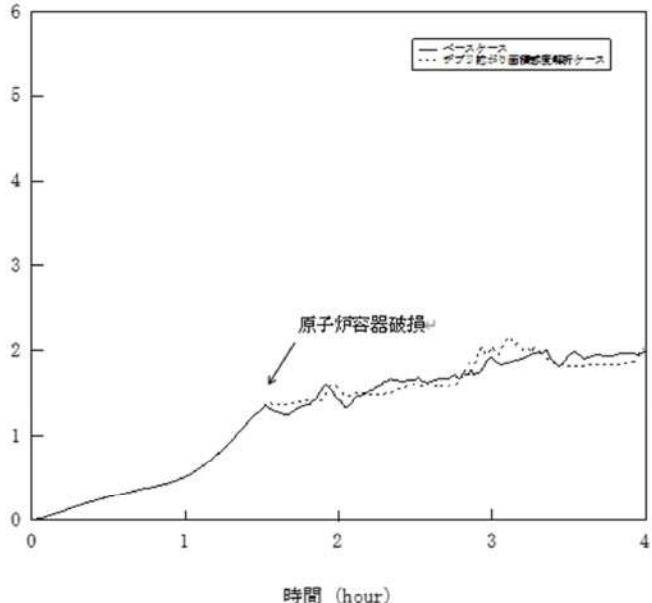
女川原子力発電所2号炉	泊発電所3号炉	相違理由

図 5-3-2 溶融炉心の拡がり面積感度解析（2）

赤字：設備、運用又は体制の相違（設計方針の相違）  
 青字：記載箇所又は記載内容の相違（記載方針の相違）  
 緑字：記載表現、設備名称の相違（実質的な相違なし）

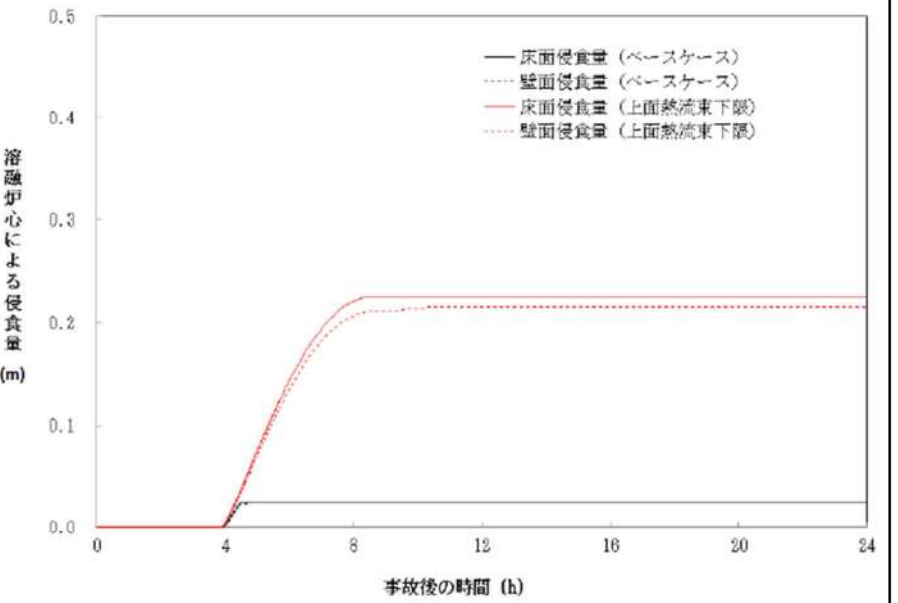
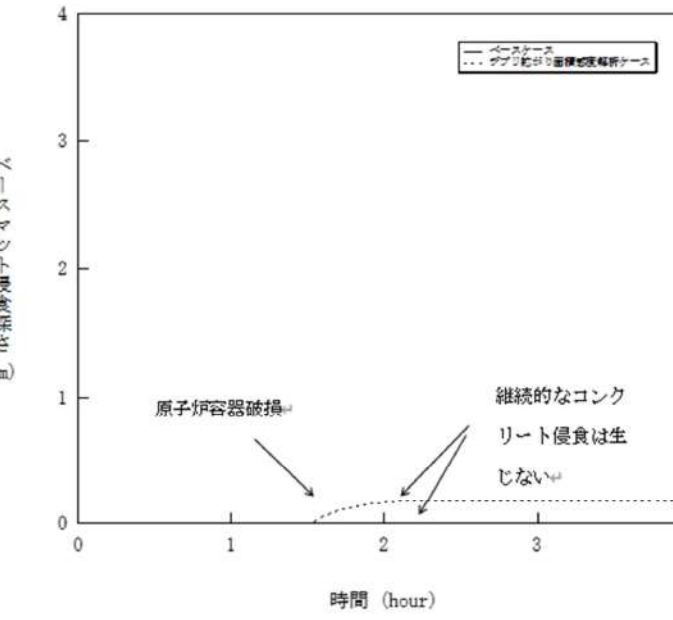
泊発電所3号炉 有効性評価 比較表

付録3 重大事故等対策の有効性評価に係るシビアアクシデント解析コードについて（添付3 溶融炉心とコンクリートの相互作用について）

女川原子力発電所2号炉	泊発電所3号炉	相違理由
	 <p>図 5-3-3 溶融炉心の拡がり面積感度解析（3）</p>	

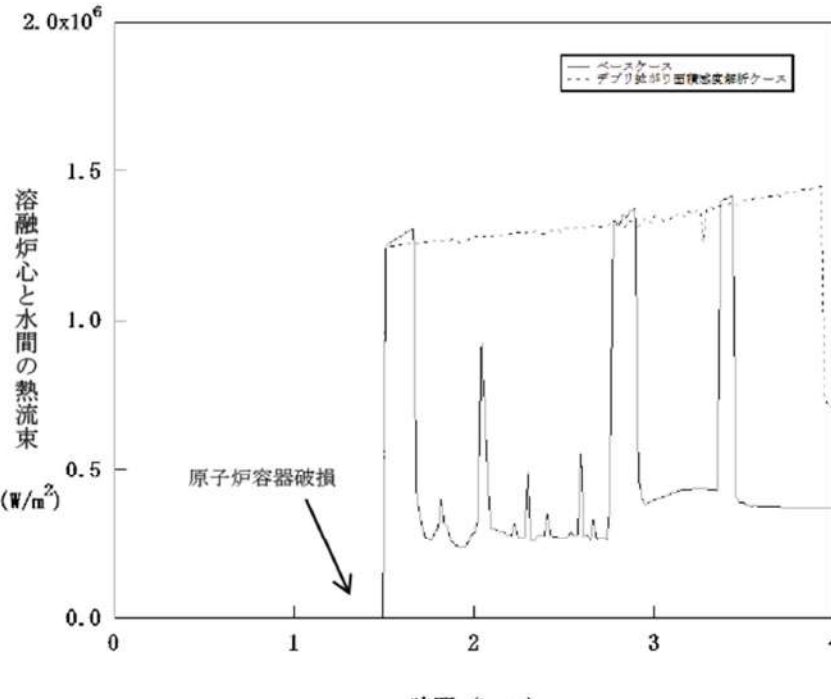
泊発電所3号炉 有効性評価 比較表

付録3 重大事故等対策の有効性評価に係るシビアアクシデント解析コードについて（添付3 溶融炉心とコンクリートの相互作用について）

女川原子力発電所2号炉	泊発電所3号炉	相違理由
 <p>溶融炉心による侵食量 (m)</p> <p>— 床面侵食量（ベースケース）      .... 壁面侵食量（ベースケース）      — 床面侵食量（上面熱流束下限）      .... 壁面侵食量（上面熱流束下限）</p> <p>事故後の時間 (h)</p> <p>図 5-2a コンクリート侵食量の比較（上面熱流束 <math>800\text{ kW/m}^2</math> 一定）</p>	 <p>ベースマッシュ侵食深さ (m)</p> <p>— ベースケース      ... マッシュ拡がり面積感度解析ケース</p> <p>時間 (hour)</p> <p>原子炉容器破損</p> <p>維続的なコンクリート侵食は生じない</p> <p>図 5-3-4 溶融炉心の拡がり面積感度解析 (4)</p>	

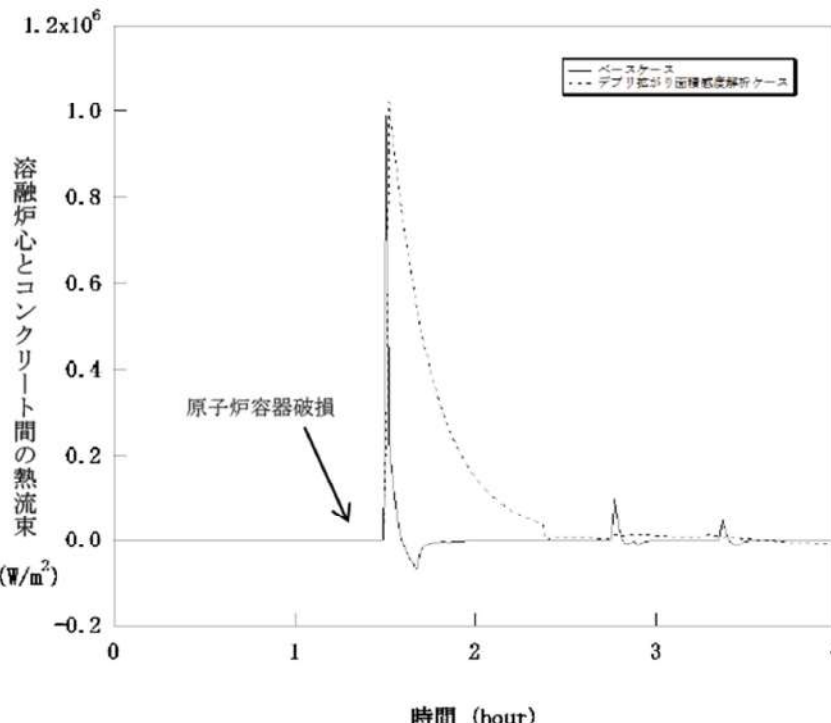
泊発電所3号炉 有効性評価 比較表

付録3 重大事故等対策の有効性評価に係るシビアアクシデント解析コードについて（添付3 溶融炉心とコンクリートの相互作用について）

女川原子力発電所2号炉	泊発電所3号炉	相違理由
	 <p>図 5-3-5 溶融炉心の拡がり面積感度解析（5）</p>	

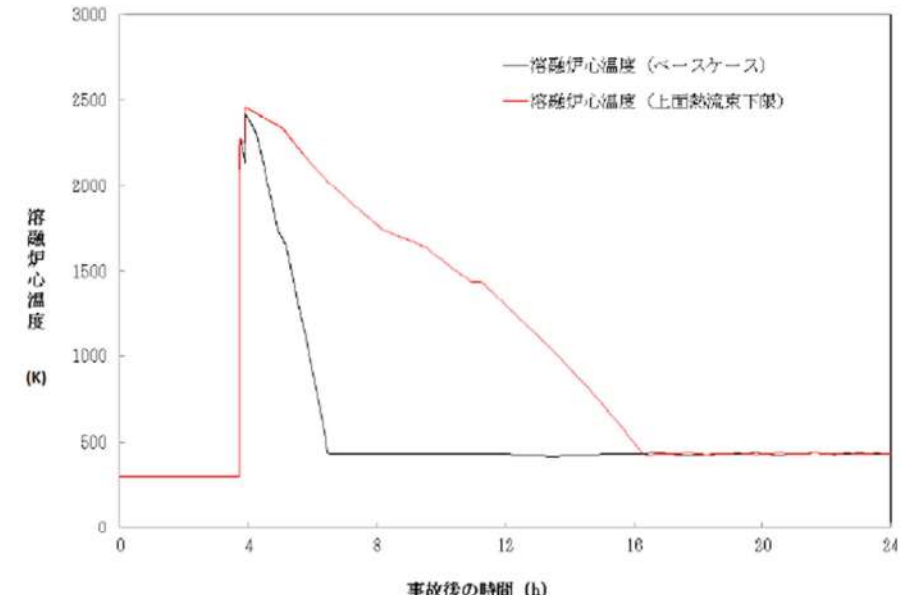
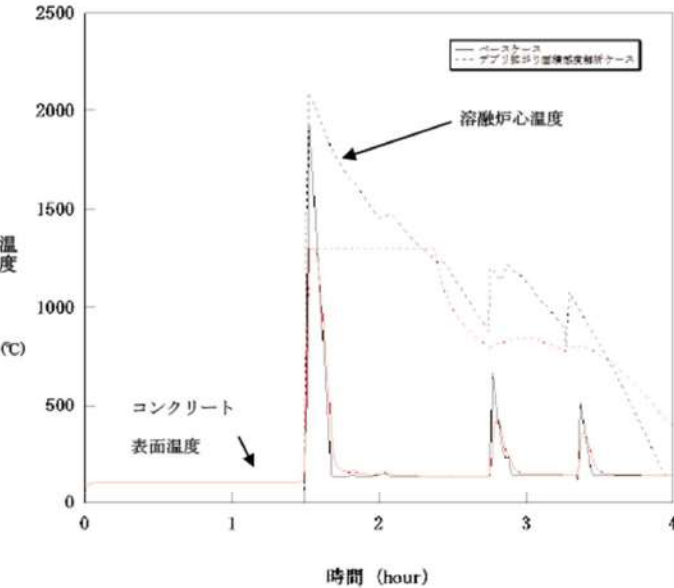
泊発電所3号炉 有効性評価 比較表

付録3 重大事故等対策の有効性評価に係るシビアアクシデント解析コードについて（添付3 溶融炉心とコンクリートの相互作用について）

女川原子力発電所2号炉	泊発電所3号炉	相違理由
	 <p>図 5-3-6 溶融炉心の拡がり面積感度解析（6）</p>	

泊発電所3号炉 有効性評価 比較表

付録3 重大事故等対策の有効性評価に係るシビアアクシデント解析コードについて（添付3 溶融炉心とコンクリートの相互作用について）

女川原子力発電所2号炉	泊発電所3号炉	相違理由
 <p>図 5-2b 溶融炉心温度の比較（上面熱流束 <math>800\text{kW/m}^2</math> 一定）</p>	 <p>図 5-3-7 溶融炉心の拡がり面積感度解析（7）</p>	

赤字：設備、運用又は体制の相違（設計方針の相違）  
 青字：記載箇所又は記載内容の相違（記載方針の相違）  
 緑字：記載表現、設備名称の相違（実質的な相違なし）

泊発電所3号炉 有効性評価 比較表

付録3 重大事故等対策の有効性評価に係るシビアアクシデント解析コードについて（添付3 溶融炉心とコンクリートの相互作用について）

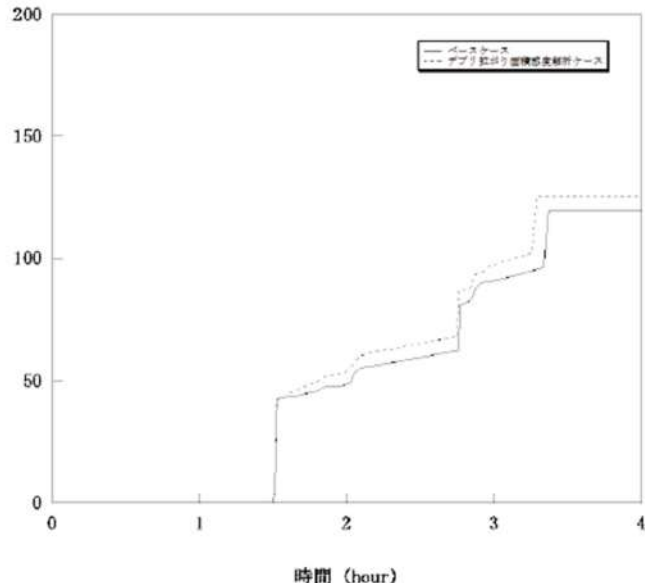
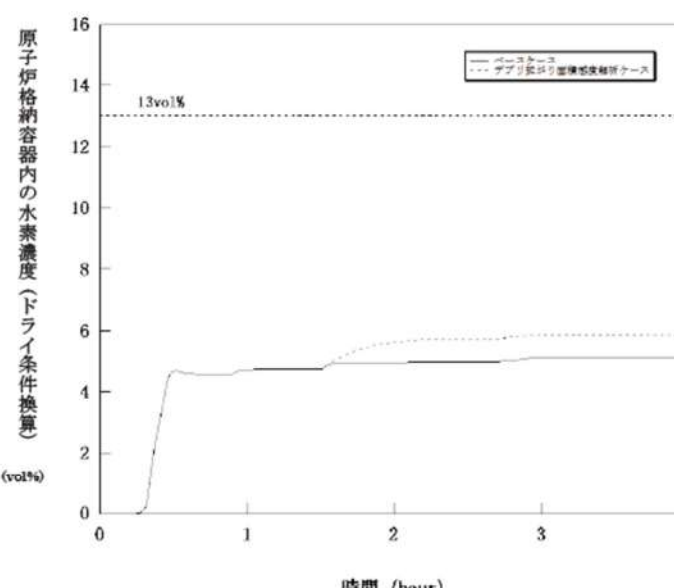
女川原子力発電所2号炉	泊発電所3号炉	相違理由																					
	 <table border="1"> <caption>Data extracted from Figure 5-3-8</caption> <thead> <tr> <th>時間 (hour)</th> <th>ベースケース (t)</th> <th>ダブリ拡がり面積感度解析ケース (t)</th> </tr> </thead> <tbody> <tr><td>0 - 1.5</td><td>0</td><td>0</td></tr> <tr><td>1.5 - 2.0</td><td>~40</td><td>~40</td></tr> <tr><td>2.0 - 2.5</td><td>~60</td><td>~60</td></tr> <tr><td>2.5 - 3.0</td><td>~80</td><td>~80</td></tr> <tr><td>3.0 - 3.5</td><td>~100</td><td>~100</td></tr> <tr><td>3.5 - 4.0</td><td>~120</td><td>~120</td></tr> </tbody> </table>	時間 (hour)	ベースケース (t)	ダブリ拡がり面積感度解析ケース (t)	0 - 1.5	0	0	1.5 - 2.0	~40	~40	2.0 - 2.5	~60	~60	2.5 - 3.0	~80	~80	3.0 - 3.5	~100	~100	3.5 - 4.0	~120	~120	
時間 (hour)	ベースケース (t)	ダブリ拡がり面積感度解析ケース (t)																					
0 - 1.5	0	0																					
1.5 - 2.0	~40	~40																					
2.0 - 2.5	~60	~60																					
2.5 - 3.0	~80	~80																					
3.0 - 3.5	~100	~100																					
3.5 - 4.0	~120	~120																					

図 5-3-8 溶融炉心の拡がり面積感度解析（8）

赤字：設備、運用又は体制の相違（設計方針の相違）  
 青字：記載箇所又は記載内容の相違（記載方針の相違）  
 緑字：記載表現、設備名称の相違（実質的な相違なし）

泊発電所3号炉 有効性評価 比較表

付録3 重大事故等対策の有効性評価に係るシビアアクシデント解析コードについて（添付3 溶融炉心とコンクリートの相互作用について）

女川原子力発電所2号炉	泊発電所3号炉	相違理由
	 <p>図 5-3-9 溶融炉心の拡がり面積感度解析（9）</p>	

泊発電所3号炉 有効性評価 比較表

付録3 重大事故等対策の有効性評価に係るシビアアクシデント解析コードについて（添付3 溶融炉心とコンクリートの相互作用について）

女川原子力発電所2号炉	泊発電所3号炉	相違理由

図 5-4-1 水－溶融炉心間の熱伝達係数感度解析（1）

泊発電所3号炉 有効性評価 比較表

付録3 重大事故等対策の有効性評価に係るシビアアクシデント解析コードについて（添付3 溶融炉心とコンクリートの相互作用について）

女川原子力発電所2号炉	泊発電所3号炉	相違理由

図 5-4-2 水－溶融炉心間の熱伝達係数感度解析（2）

泊発電所3号炉 有効性評価 比較表

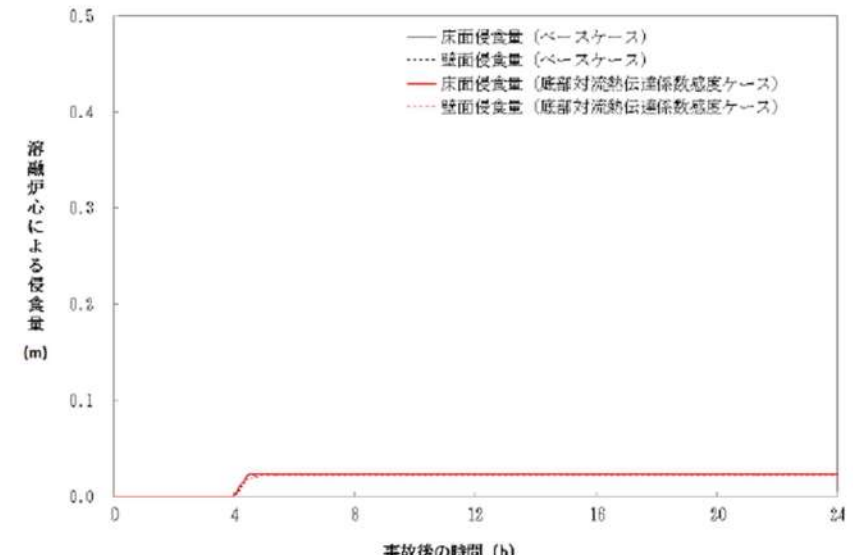
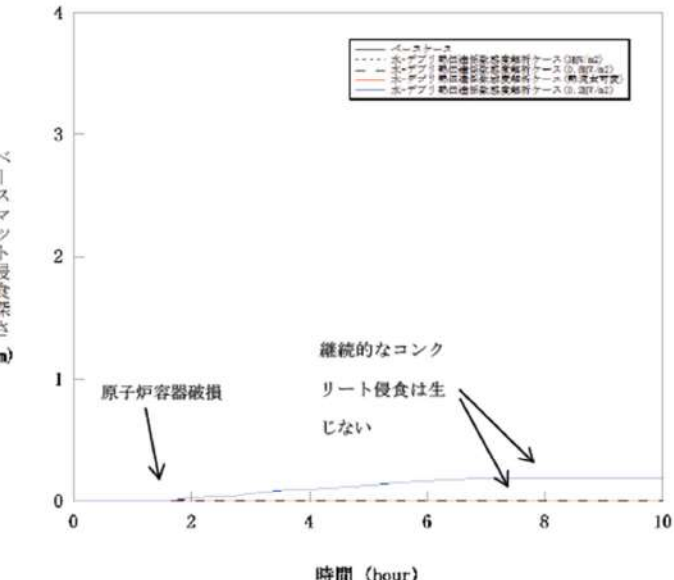
付録3 重大事故等対策の有効性評価に係るシビアアクシデント解析コードについて（添付3 溶融炉心とコンクリートの相互作用について）

女川原子力発電所2号炉	泊発電所3号炉	相違理由

図 5-4-3 水－溶融炉心間の熱伝達係数感度解析（3）

泊発電所3号炉 有効性評価 比較表

付録3 重大事故等対策の有効性評価に係るシビアアクシデント解析コードについて（添付3 溶融炉心とコンクリートの相互作用について）

女川原子力発電所2号炉	泊発電所3号炉	相違理由
 <p>図 5-3-1a コンクリート侵食量の比較（床方向対流熱伝達係数大）</p>	 <p>図 5-4-4 水－溶融炉心間の熱伝達係数感度解析（4）</p>	

泊発電所3号炉 有効性評価 比較表

付録3 重大事故等対策の有効性評価に係るシビアアクシデント解析コードについて（添付3 溶融炉心とコンクリートの相互作用について）

女川原子力発電所2号炉	泊発電所3号炉	相違理由

図 5-4-5 水-溶融炉心間の熱伝達係数感度解析（5）

泊発電所3号炉 有効性評価 比較表

付録3 重大事故等対策の有効性評価に係るシビアアクシデント解析コードについて（添付3 溶融炉心とコンクリートの相互作用について）

女川原子力発電所2号炉	泊発電所3号炉	相違理由

図 5-4-6 水—溶融炉心間の熱伝達係数感度解析（6）

泊発電所3号炉 有効性評価 比較表

付録3 重大事故等対策の有効性評価に係るシビアアクシデント解析コードについて（添付3 溶融炉心とコンクリートの相互作用について）

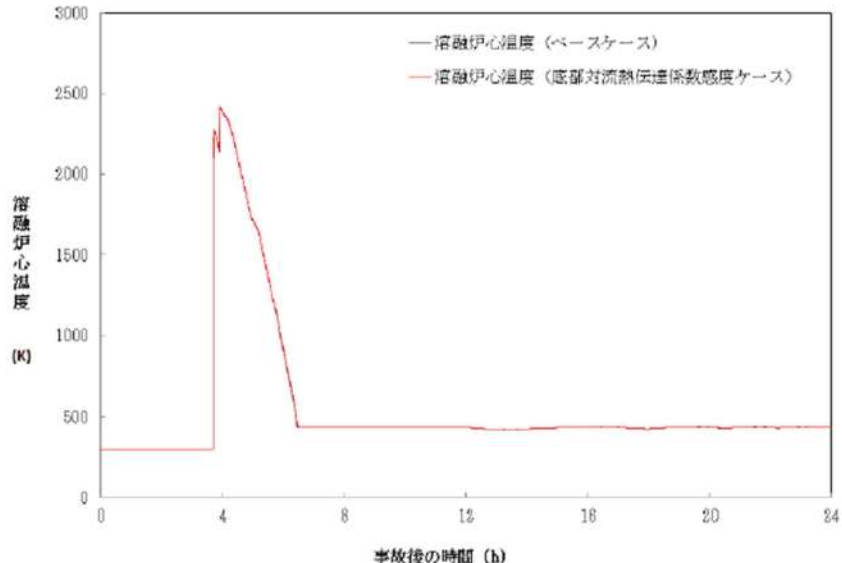
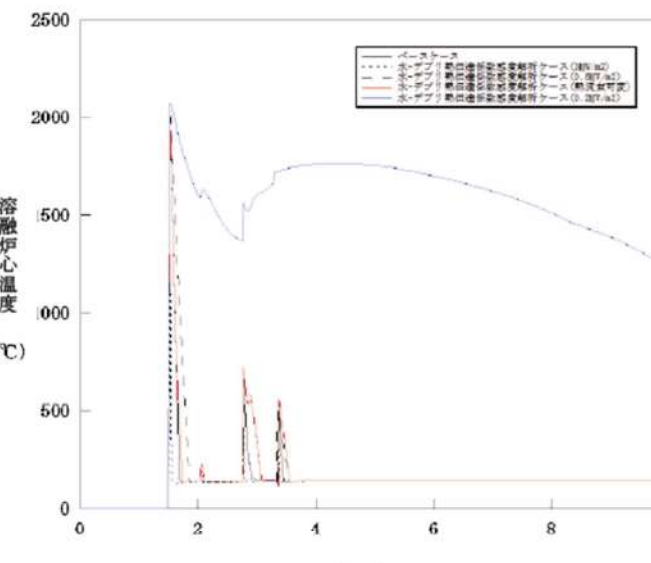
女川原子力発電所2号炉	泊発電所3号炉	相違理由
 <p>溶融炉心温度 (K)</p> <p>溶融炉心温度 (ベースケース)</p> <p>溶融炉心温度 (底面対流熱伝達係数感度ケース)</p> <p>事故後の時間 (h)</p>	 <p>溶融炉心温度 (°C)</p> <p>時間 (hour)</p> <ul style="list-style-type: none"> <li>ベースケース</li> <li>水-チップ熱伝導率敏感度解析ケース (OHV-H2)</li> <li>水-チップ熱伝導率敏感度解析ケース (OHV-H1)</li> <li>水-チップ熱伝導率敏感度解析ケース (OHV-H3)</li> <li>水-チップ熱伝導率敏感度解析ケース (OHV-H4)</li> </ul>	

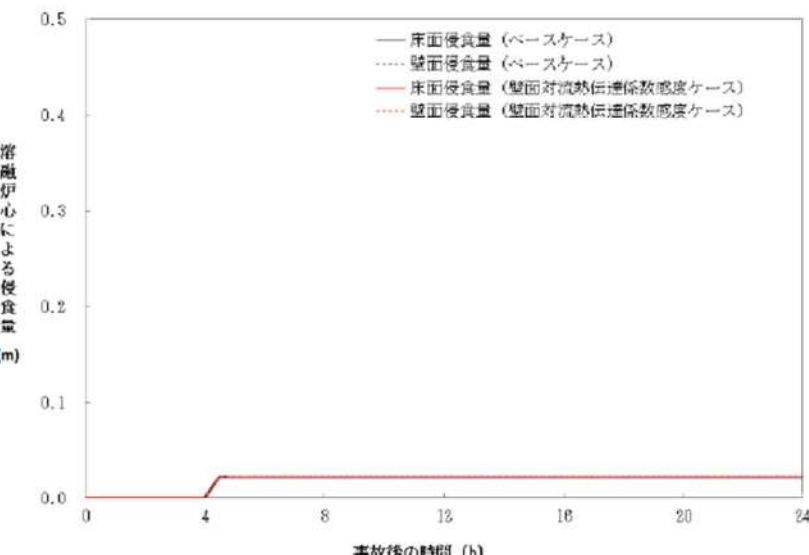
図 5-3-1b 溶融炉心温度の比較（床方向対流熱伝達係数大）

図 5-4-7 水－溶融炉心間の熱伝達係数感度解析（7）

赤字：設備、運用又は体制の相違（設計方針の相違）  
 青字：記載箇所又は記載内容の相違（記載方針の相違）  
 緑字：記載表現、設備名称の相違（実質的な相違なし）

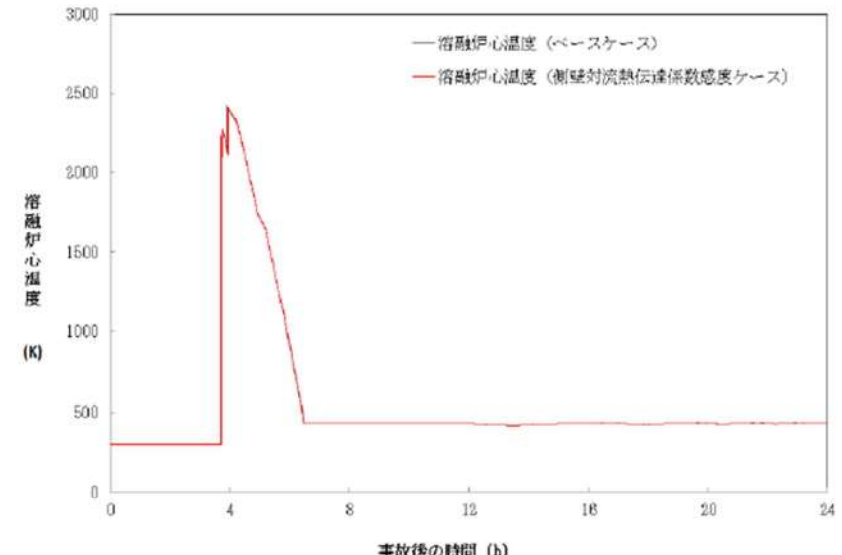
泊発電所3号炉 有効性評価 比較表

付録3 重大事故等対策の有効性評価に係るシビアアクシデント解析コードについて（添付3 溶融炉心とコンクリートの相互作用について）

女川原子力発電所2号炉	泊発電所3号炉	相違理由																																																																																																																			
 <p>図 5-3-2a コンクリート侵食量の比較（壁方向対流熱伝達係数大）</p> <p>Y-axis: 墓融炉心による侵食量 (m) (0.0 to 0.5)    X-axis: 事故後の時間 (h) (0 to 24)</p> <table border="1"> <thead> <tr> <th>時間 (h)</th> <th>床面侵食量 (ベースケース) (m)</th> <th>壁面侵食量 (ベースケース) (m)</th> <th>床面侵食量 (壁面対流熱伝達係数高) (m)</th> <th>壁面侵食量 (壁面対流熱伝達係数高) (m)</th> </tr> </thead> <tbody> <tr> <td>0</td> <td>0.00</td> <td>0.00</td> <td>0.00</td> <td>0.00</td> </tr> <tr> <td>4</td> <td>0.00</td> <td>0.00</td> <td>0.00</td> <td>0.00</td> </tr> <tr> <td>5</td> <td>0.00</td> <td>0.00</td> <td>0.00</td> <td>0.00</td> </tr> <tr> <td>6</td> <td>0.00</td> <td>0.00</td> <td>0.00</td> <td>0.00</td> </tr> <tr> <td>7</td> <td>0.00</td> <td>0.00</td> <td>0.00</td> <td>0.00</td> </tr> <tr> <td>8</td> <td>0.00</td> <td>0.00</td> <td>0.00</td> <td>0.00</td> </tr> <tr> <td>9</td> <td>0.00</td> <td>0.00</td> <td>0.00</td> <td>0.00</td> </tr> <tr> <td>10</td> <td>0.00</td> <td>0.00</td> <td>0.00</td> <td>0.00</td> </tr> <tr> <td>11</td> <td>0.00</td> <td>0.00</td> <td>0.00</td> <td>0.00</td> </tr> <tr> <td>12</td> <td>0.00</td> <td>0.00</td> <td>0.00</td> <td>0.00</td> </tr> <tr> <td>13</td> <td>0.00</td> <td>0.00</td> <td>0.00</td> <td>0.00</td> </tr> <tr> <td>14</td> <td>0.00</td> <td>0.00</td> <td>0.00</td> <td>0.00</td> </tr> <tr> <td>15</td> <td>0.00</td> <td>0.00</td> <td>0.00</td> <td>0.00</td> </tr> <tr> <td>16</td> <td>0.00</td> <td>0.00</td> <td>0.00</td> <td>0.00</td> </tr> <tr> <td>17</td> <td>0.00</td> <td>0.00</td> <td>0.00</td> <td>0.00</td> </tr> <tr> <td>18</td> <td>0.00</td> <td>0.00</td> <td>0.00</td> <td>0.00</td> </tr> <tr> <td>19</td> <td>0.00</td> <td>0.00</td> <td>0.00</td> <td>0.00</td> </tr> <tr> <td>20</td> <td>0.00</td> <td>0.00</td> <td>0.00</td> <td>0.00</td> </tr> <tr> <td>21</td> <td>0.00</td> <td>0.00</td> <td>0.00</td> <td>0.00</td> </tr> <tr> <td>22</td> <td>0.00</td> <td>0.00</td> <td>0.00</td> <td>0.00</td> </tr> <tr> <td>23</td> <td>0.00</td> <td>0.00</td> <td>0.00</td> <td>0.00</td> </tr> <tr> <td>24</td> <td>0.00</td> <td>0.00</td> <td>0.00</td> <td>0.00</td> </tr> </tbody> </table>	時間 (h)	床面侵食量 (ベースケース) (m)	壁面侵食量 (ベースケース) (m)	床面侵食量 (壁面対流熱伝達係数高) (m)	壁面侵食量 (壁面対流熱伝達係数高) (m)	0	0.00	0.00	0.00	0.00	4	0.00	0.00	0.00	0.00	5	0.00	0.00	0.00	0.00	6	0.00	0.00	0.00	0.00	7	0.00	0.00	0.00	0.00	8	0.00	0.00	0.00	0.00	9	0.00	0.00	0.00	0.00	10	0.00	0.00	0.00	0.00	11	0.00	0.00	0.00	0.00	12	0.00	0.00	0.00	0.00	13	0.00	0.00	0.00	0.00	14	0.00	0.00	0.00	0.00	15	0.00	0.00	0.00	0.00	16	0.00	0.00	0.00	0.00	17	0.00	0.00	0.00	0.00	18	0.00	0.00	0.00	0.00	19	0.00	0.00	0.00	0.00	20	0.00	0.00	0.00	0.00	21	0.00	0.00	0.00	0.00	22	0.00	0.00	0.00	0.00	23	0.00	0.00	0.00	0.00	24	0.00	0.00	0.00	0.00		
時間 (h)	床面侵食量 (ベースケース) (m)	壁面侵食量 (ベースケース) (m)	床面侵食量 (壁面対流熱伝達係数高) (m)	壁面侵食量 (壁面対流熱伝達係数高) (m)																																																																																																																	
0	0.00	0.00	0.00	0.00																																																																																																																	
4	0.00	0.00	0.00	0.00																																																																																																																	
5	0.00	0.00	0.00	0.00																																																																																																																	
6	0.00	0.00	0.00	0.00																																																																																																																	
7	0.00	0.00	0.00	0.00																																																																																																																	
8	0.00	0.00	0.00	0.00																																																																																																																	
9	0.00	0.00	0.00	0.00																																																																																																																	
10	0.00	0.00	0.00	0.00																																																																																																																	
11	0.00	0.00	0.00	0.00																																																																																																																	
12	0.00	0.00	0.00	0.00																																																																																																																	
13	0.00	0.00	0.00	0.00																																																																																																																	
14	0.00	0.00	0.00	0.00																																																																																																																	
15	0.00	0.00	0.00	0.00																																																																																																																	
16	0.00	0.00	0.00	0.00																																																																																																																	
17	0.00	0.00	0.00	0.00																																																																																																																	
18	0.00	0.00	0.00	0.00																																																																																																																	
19	0.00	0.00	0.00	0.00																																																																																																																	
20	0.00	0.00	0.00	0.00																																																																																																																	
21	0.00	0.00	0.00	0.00																																																																																																																	
22	0.00	0.00	0.00	0.00																																																																																																																	
23	0.00	0.00	0.00	0.00																																																																																																																	
24	0.00	0.00	0.00	0.00																																																																																																																	

泊発電所3号炉 有効性評価 比較表

付録3 重大事故等対策の有効性評価に係るシビアアクシデント解析コードについて（添付3 溶融炉心とコンクリートの相互作用について）

女川原子力発電所2号炉	泊発電所3号炉	相違理由
 図 5-3-2b 溶融炉心温度の比較（壁方向対流熱伝達係数大）		

泊発電所3号炉 有効性評価 比較表

付録3 重大事故等対策の有効性評価に係るシビアアクシデント解析コードについて（添付3 溶融炉心とコンクリートの相互作用について）

女川原子力発電所2号炉	泊発電所3号炉	相違理由
	<p>図 5-4-8 水－溶融炉心間の熱伝達係数感度解析（8）</p>	

赤字：設備、運用又は体制の相違（設計方針の相違）  
 青字：記載箇所又は記載内容の相違（記載方針の相違）  
 緑字：記載表現、設備名称の相違（実質的な相違なし）

泊発電所3号炉 有効性評価 比較表

付録3 重大事故等対策の有効性評価に係るシビアアクシデント解析コードについて（添付3 溶融炉心とコンクリートの相互作用について）

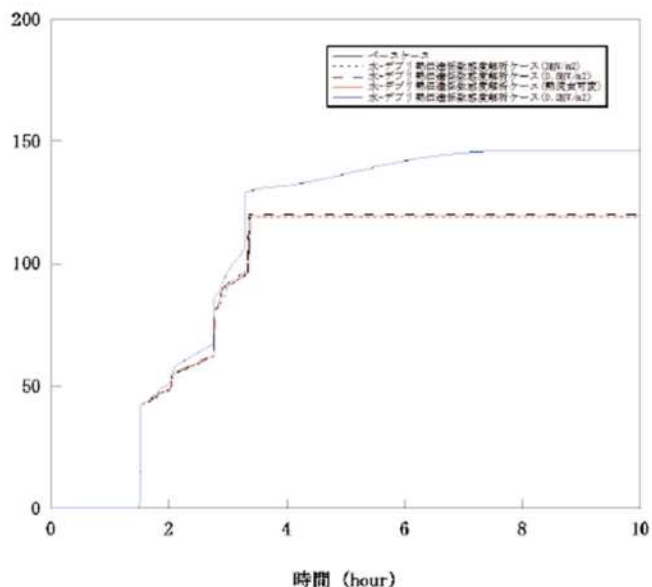
女川原子力発電所2号炉	泊発電所3号炉	相違理由																																																
	 <table border="1"> <caption>Data extracted from Figure 5-4-9</caption> <thead> <tr> <th>時間 (hour)</th> <th>ベースケース (kg)</th> <th>水-ダブル熱伝達係数変更時行ケース (0.3kW/m²)</th> <th>水-ダブル熱伝導率変更時行ケース (0.3W/m²)</th> <th>水-ダブル熱伝導率変更時行ケース (熱流束可変)</th> <th>水-ダブル熱伝導率変更時行ケース (0.3kT/m²)</th> </tr> </thead> <tbody> <tr> <td>0</td> <td>0</td> <td>0</td> <td>0</td> <td>0</td> <td>0</td> </tr> <tr> <td>2</td> <td>45</td> <td>45</td> <td>45</td> <td>45</td> <td>45</td> </tr> <tr> <td>3</td> <td>85</td> <td>85</td> <td>85</td> <td>85</td> <td>85</td> </tr> <tr> <td>4</td> <td>130</td> <td>130</td> <td>130</td> <td>130</td> <td>130</td> </tr> <tr> <td>6</td> <td>145</td> <td>145</td> <td>145</td> <td>145</td> <td>145</td> </tr> <tr> <td>8</td> <td>148</td> <td>148</td> <td>148</td> <td>148</td> <td>148</td> </tr> <tr> <td>10</td> <td>148</td> <td>148</td> <td>148</td> <td>148</td> <td>148</td> </tr> </tbody> </table>	時間 (hour)	ベースケース (kg)	水-ダブル熱伝達係数変更時行ケース (0.3kW/m²)	水-ダブル熱伝導率変更時行ケース (0.3W/m²)	水-ダブル熱伝導率変更時行ケース (熱流束可変)	水-ダブル熱伝導率変更時行ケース (0.3kT/m²)	0	0	0	0	0	0	2	45	45	45	45	45	3	85	85	85	85	85	4	130	130	130	130	130	6	145	145	145	145	145	8	148	148	148	148	148	10	148	148	148	148	148	
時間 (hour)	ベースケース (kg)	水-ダブル熱伝達係数変更時行ケース (0.3kW/m²)	水-ダブル熱伝導率変更時行ケース (0.3W/m²)	水-ダブル熱伝導率変更時行ケース (熱流束可変)	水-ダブル熱伝導率変更時行ケース (0.3kT/m²)																																													
0	0	0	0	0	0																																													
2	45	45	45	45	45																																													
3	85	85	85	85	85																																													
4	130	130	130	130	130																																													
6	145	145	145	145	145																																													
8	148	148	148	148	148																																													
10	148	148	148	148	148																																													

図 5-4-9 水-溶融炉心間の熱伝達係数感度解析（9）

泊発電所3号炉 有効性評価 比較表

付録3 重大事故等対策の有効性評価に係るシビアアクシデント解析コードについて（添付3 溶融炉心とコンクリートの相互作用について）

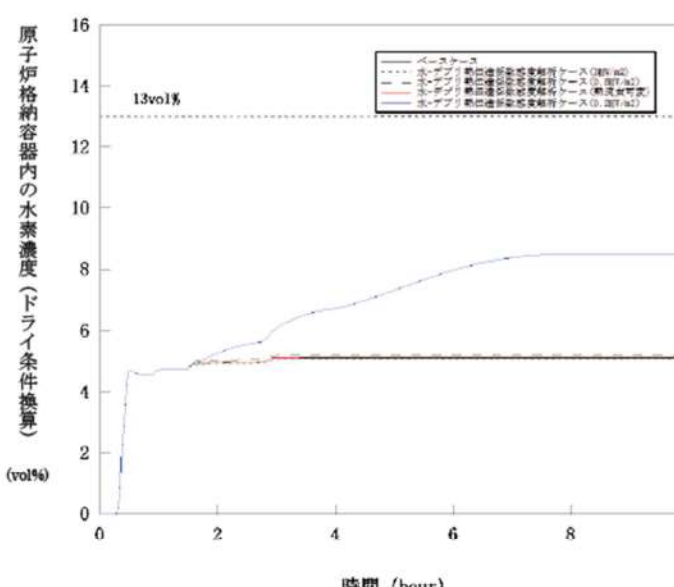
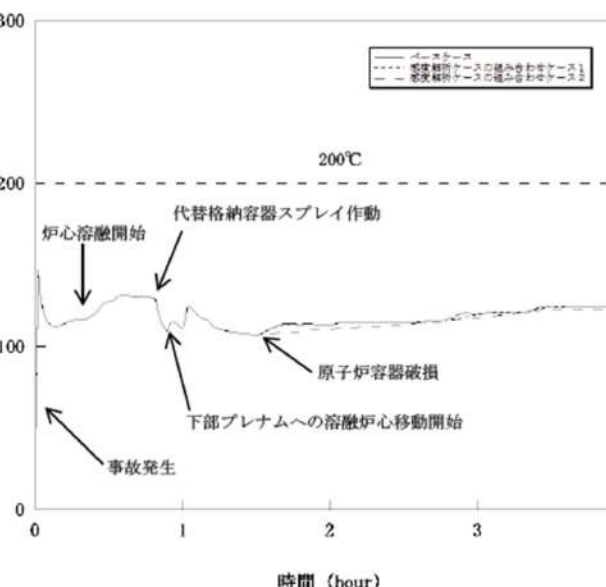
女川原子力発電所2号炉	泊発電所3号炉	相違理由																																													
	 <p>原子炉格納容器内の水素濃度（ドライ条件換算）(vol%)</p> <p>時間 (hour)</p> <p>13vol%</p> <p>ベースケース 水-ドブリ 水-クラン 水-アブリ</p> <table border="1"> <caption>Estimated data from Figure 5-4-10</caption> <thead> <tr> <th>時間 (hour)</th> <th>ベースケース (vol%)</th> <th>水-ドブリ (vol%)</th> <th>水-クラン (vol%)</th> <th>水-アブリ (vol%)</th> </tr> </thead> <tbody> <tr><td>0.0</td><td>0.0</td><td>0.0</td><td>0.0</td><td>0.0</td></tr> <tr><td>0.5</td><td>4.5</td><td>4.5</td><td>4.5</td><td>4.5</td></tr> <tr><td>1.0</td><td>5.0</td><td>5.0</td><td>5.0</td><td>5.0</td></tr> <tr><td>2.0</td><td>5.5</td><td>5.5</td><td>5.5</td><td>5.5</td></tr> <tr><td>4.0</td><td>7.0</td><td>7.0</td><td>7.0</td><td>7.0</td></tr> <tr><td>6.0</td><td>8.5</td><td>8.5</td><td>8.5</td><td>8.5</td></tr> <tr><td>8.0</td><td>8.8</td><td>8.8</td><td>8.8</td><td>8.8</td></tr> <tr><td>10.0</td><td>8.8</td><td>8.8</td><td>8.8</td><td>8.8</td></tr> </tbody> </table>	時間 (hour)	ベースケース (vol%)	水-ドブリ (vol%)	水-クラン (vol%)	水-アブリ (vol%)	0.0	0.0	0.0	0.0	0.0	0.5	4.5	4.5	4.5	4.5	1.0	5.0	5.0	5.0	5.0	2.0	5.5	5.5	5.5	5.5	4.0	7.0	7.0	7.0	7.0	6.0	8.5	8.5	8.5	8.5	8.0	8.8	8.8	8.8	8.8	10.0	8.8	8.8	8.8	8.8	
時間 (hour)	ベースケース (vol%)	水-ドブリ (vol%)	水-クラン (vol%)	水-アブリ (vol%)																																											
0.0	0.0	0.0	0.0	0.0																																											
0.5	4.5	4.5	4.5	4.5																																											
1.0	5.0	5.0	5.0	5.0																																											
2.0	5.5	5.5	5.5	5.5																																											
4.0	7.0	7.0	7.0	7.0																																											
6.0	8.5	8.5	8.5	8.5																																											
8.0	8.8	8.8	8.8	8.8																																											
10.0	8.8	8.8	8.8	8.8																																											

図 5-4-10 水-溶融炉心間の熱伝達係数感度解析（10）

泊発電所3号炉 有効性評価 比較表

付録3 重大事故等対策の有効性評価に係るシビアアクシデント解析コードについて（添付3 溶融炉心とコンクリートの相互作用について）

女川原子力発電所2号炉	泊発電所3号炉	相違理由
	 <p>図 5-5-1 感度解析ケースの組合せ（1）</p>	

赤字：設備、運用又は体制の相違（設計方針の相違）  
 青字：記載箇所又は記載内容の相違（記載方針の相違）  
 緑字：記載表現、設備名称の相違（実質的な相違なし）

泊発電所3号炉 有効性評価 比較表

付録3 重大事故等対策の有効性評価に係るシビアアクシデント解析コードについて（添付3 溶融炉心とコンクリートの相互作用について）

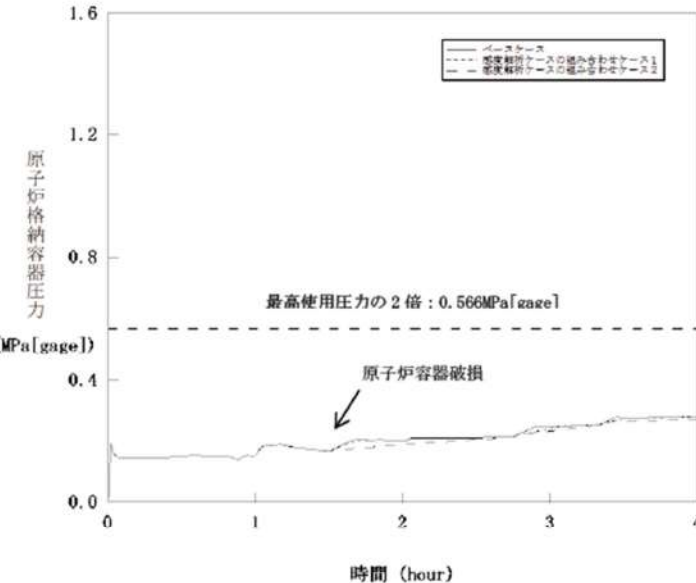
女川原子力発電所2号炉	泊発電所3号炉	相違理由
	 <p>The graph plots '原子炉格納容器圧力 (MPa[gage])' on the y-axis (0.0 to 1.6) against '時間 (hour)' on the x-axis (0 to 4). It shows two curves: a solid line for 'ベースケース' and a dashed line for '感度解析ケース'. A horizontal dashed line at approximately 0.566 MPa is labeled '最高使用圧力の2倍: 0.566MPa[gage]'. An arrow points to a peak in the solid line at approximately 1.7 hours, labeled '原子炉容器破損'.</p>	

図 5-5-2 感度解析ケースの組合せ（2）

赤字：設備、運用又は体制の相違（設計方針の相違）  
 青字：記載箇所又は記載内容の相違（記載方針の相違）  
 緑字：記載表現、設備名称の相違（実質的な相違なし）

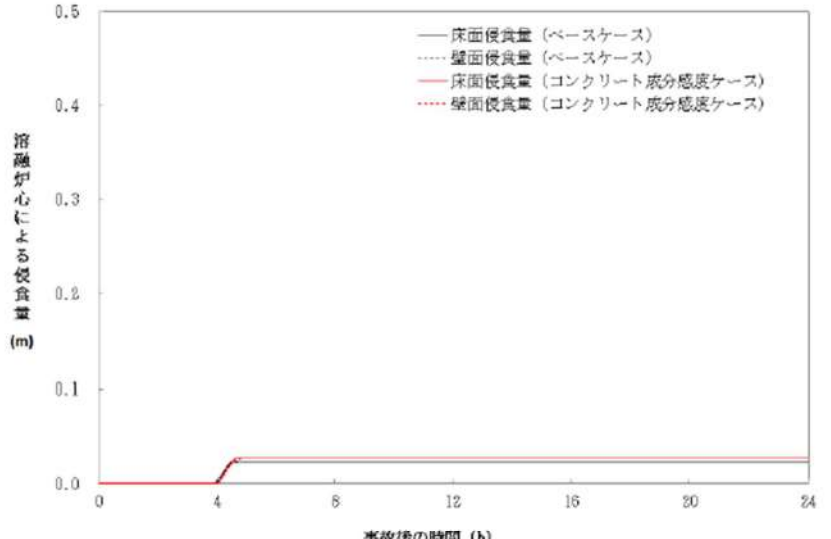
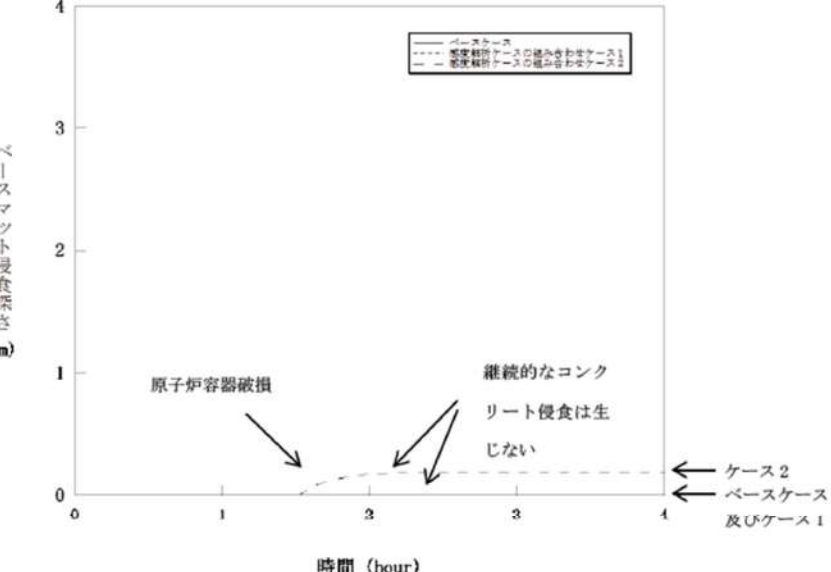
泊発電所3号炉 有効性評価 比較表

付録3 重大事故等対策の有効性評価に係るシビアアクシデント解析コードについて（添付3 溶融炉心とコンクリートの相互作用について）

女川原子力発電所2号炉	泊発電所3号炉	相違理由
	<p>図 5-5-3 感度解析ケースの組合せ（3）</p>	

泊発電所3号炉 有効性評価 比較表

付録3 重大事故等対策の有効性評価に係るシビアアクシデント解析コードについて（添付3 溶融炉心とコンクリートの相互作用について）

女川原子力発電所2号炉	泊発電所3号炉	相違理由
 <p>図 5-4a コンクリート侵食量の比較（石灰岩系コンクリート）</p>	 <p>図 5-5-4 感度解析ケースの組合せ（4）</p>	<p>※コンクリート組成に関する感度解析は基本的考え方の6.5.9に記載</p>

泊発電所3号炉 有効性評価 比較表

付録3 重大事故等対策の有効性評価に係るシビアアクシデント解析コードについて（添付3 溶融炉心とコンクリートの相互作用について）

女川原子力発電所2号炉	泊発電所3号炉	相違理由
	<p>図 5-5-5 感度解析ケースの組合せ（5）</p>	

泊発電所3号炉 有効性評価 比較表

付録3 重大事故等対策の有効性評価に係るシビアアクシデント解析コードについて（添付3 溶融炉心とコンクリートの相互作用について）

女川原子力発電所2号炉	泊発電所3号炉	相違理由

図 5-5-6 感度解析ケースの組合せ（6）

泊発電所3号炉 有効性評価 比較表

付録3 重大事故等対策の有効性評価に係るシビアアクシデント解析コードについて（添付3 溶融炉心とコンクリートの相互作用について）

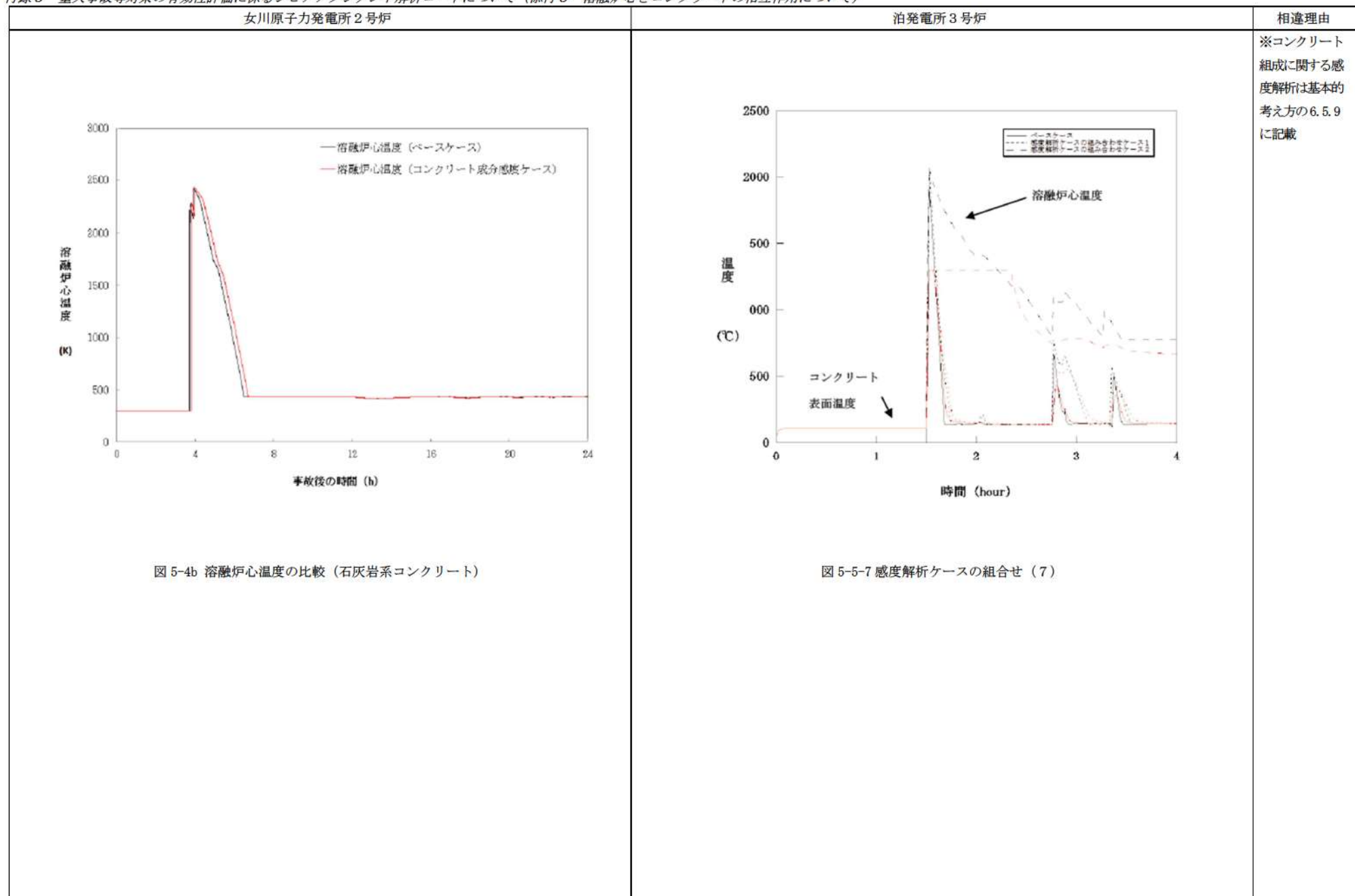


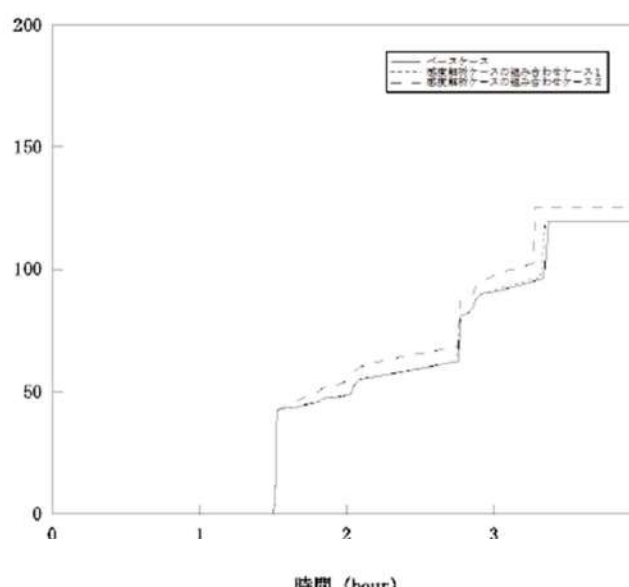
図 5-4b 溶融炉心温度の比較（石灰岩系コンクリート）

図 5-5-7 感度解析ケースの組合せ（7）

赤字：設備、運用又は体制の相違（設計方針の相違）  
 青字：記載箇所又は記載内容の相違（記載方針の相違）  
 緑字：記載表現、設備名称の相違（実質的な相違なし）

泊発電所3号炉 有効性評価 比較表

付録3 重大事故等対策の有効性評価に係るシビアアクシデント解析コードについて（添付3 溶融炉心とコンクリートの相互作用について）

女川原子力発電所2号炉	泊発電所3号炉	相違理由
	 <p>原子炉下部キャビティ溶融炉心量 (t)</p> <p>時間 (hour)</p>	<p>図 5-5-8 感度解析ケースの組合せ（8）</p>

赤字：設備、運用又は体制の相違（設計方針の相違）  
 青字：記載箇所又は記載内容の相違（記載方針の相違）  
 緑字：記載表現、設備名称の相違（実質的な相違なし）

泊発電所3号炉 有効性評価 比較表

付録3 重大事故等対策の有効性評価に係るシビアアクシデント解析コードについて（添付3 溶融炉心とコンクリートの相互作用について）

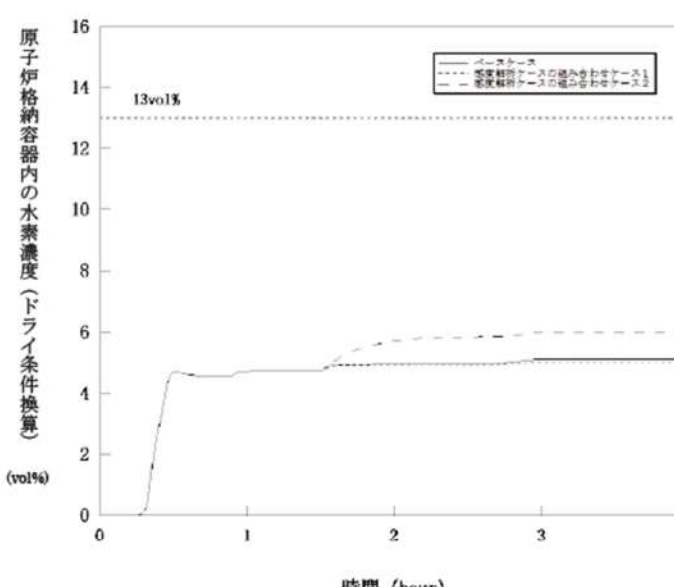
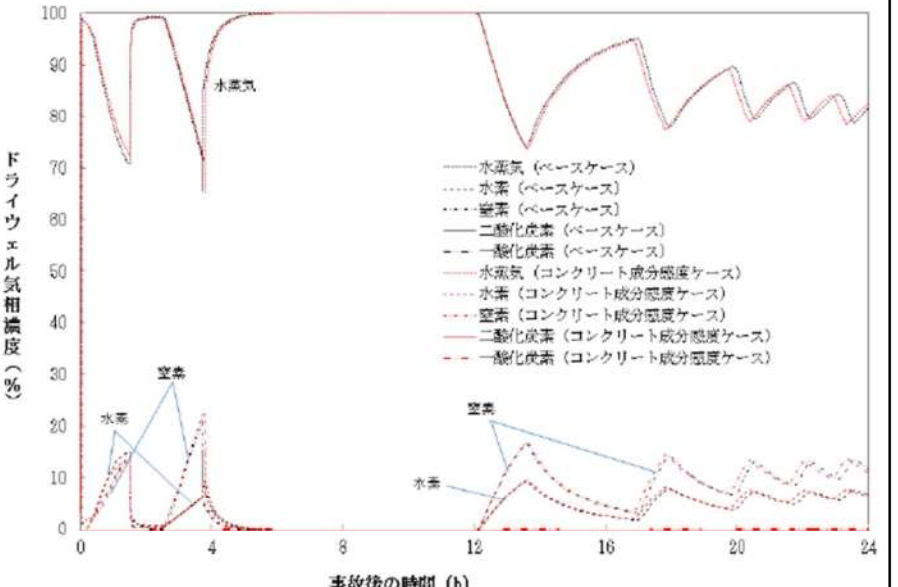
女川原子力発電所2号炉	泊発電所3号炉	相違理由																								
	 <p>The graph plots '原子炉格納容器内の水素濃度(ドライ条件換算) (vol%)' on the y-axis (0 to 16) against '時間 (hour)' on the x-axis (0 to 4). Two curves are shown: a solid line for 'ベースケース' and a dashed line for '感度解析ケースの組合せ(9)'. Both curves start at 0 vol% at 0 hours. The 'ベースケース' curve rises sharply to about 5 vol% by 0.5 hours, then levels off. The '感度解析ケースの組合せ(9)' curve rises more gradually, reaching approximately 6 vol% by 2 hours and plateauing.</p> <table border="1"> <caption>Estimated data points from Figure 5-5-9</caption> <thead> <tr> <th>時間 (hour)</th> <th>ベースケース (vol%)</th> <th>感度解析ケースの組合せ(9) (vol%)</th> </tr> </thead> <tbody> <tr><td>0.0</td><td>0</td><td>0</td></tr> <tr><td>0.5</td><td>5</td><td>0</td></tr> <tr><td>1.0</td><td>5</td><td>0</td></tr> <tr><td>1.5</td><td>5</td><td>0</td></tr> <tr><td>2.0</td><td>5</td><td>6</td></tr> <tr><td>3.0</td><td>5</td><td>6</td></tr> <tr><td>4.0</td><td>5</td><td>6</td></tr> </tbody> </table>	時間 (hour)	ベースケース (vol%)	感度解析ケースの組合せ(9) (vol%)	0.0	0	0	0.5	5	0	1.0	5	0	1.5	5	0	2.0	5	6	3.0	5	6	4.0	5	6	
時間 (hour)	ベースケース (vol%)	感度解析ケースの組合せ(9) (vol%)																								
0.0	0	0																								
0.5	5	0																								
1.0	5	0																								
1.5	5	0																								
2.0	5	6																								
3.0	5	6																								
4.0	5	6																								

図 5-5-9 感度解析ケースの組合せ（9）

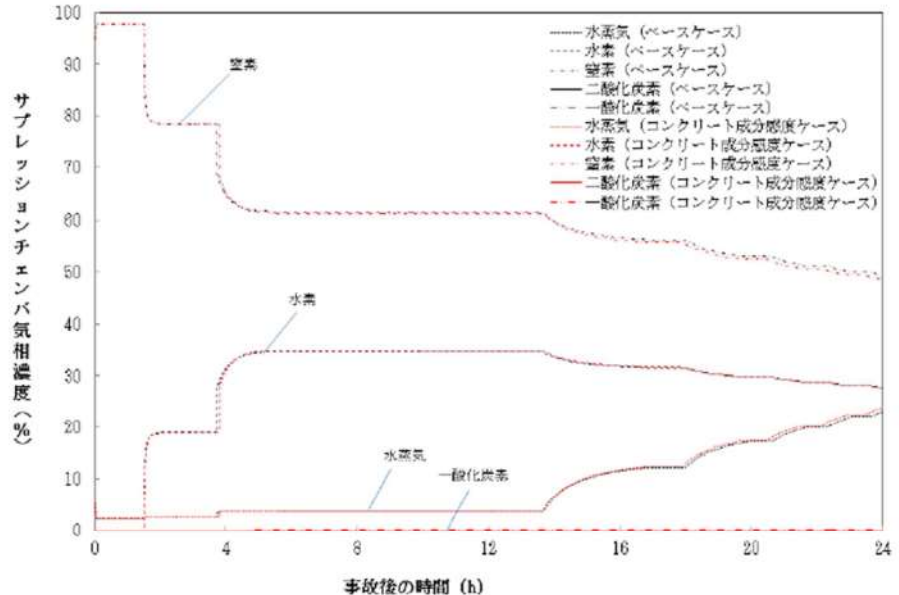
泊発電所3号炉 有効性評価 比較表

付録3 重大事故等対策の有効性評価に係るシビアアクシデント解析コードについて（添付3 溶融炉心とコンクリートの相互作用について）

女川原子力発電所2号炉	泊発電所3号炉	相違理由
 <p>Figure 5-4c shows the dry well gas mole fraction (%) versus time (h) for limestone concrete. The graph displays four main components: water vapor, oxygen, nitrogen, and carbon dioxide. The oxygen level (solid blue line) starts at approximately 20%, drops sharply to near zero by 4 hours, and remains low. The nitrogen level (dashed red line) starts at approximately 80%, drops to about 70% by 4 hours, and then fluctuates between 70% and 80%. The carbon dioxide level (dotted green line) starts at approximately 10%, peaks at about 20% around 12 hours, and then fluctuates between 10% and 15%. The water vapor level (solid orange line) starts at approximately 10%, peaks at about 20% around 4 hours, and then fluctuates between 10% and 15%.</p> <p>図 5-4c ドライウェルガスモル分率（石灰岩系コンクリート）</p>		※コンクリート組成に関する感度解析は基本的考え方の6.5.9に記載

泊発電所3号炉 有効性評価 比較表

付録3 重大事故等対策の有効性評価に係るシビアアクシデント解析コードについて（添付3 溶融炉心とコンクリートの相互作用について）

女川原子力発電所2号炉	泊発電所3号炉	相違理由
 <p>図 5-4d サプレッションチェンバガスモル分率（石灰岩系コンクリート）</p>		※コンクリート組成に関する感度解析は基本的考え方の6.5.9に記載

泊発電所3号炉 有効性評価 比較表

付録3 重大事故等対策の有効性評価に係るシビアアクシデント解析コードについて（添付3 溶融炉心とコンクリートの相互作用について）

女川原子力発電所2号炉	泊発電所3号炉	相違理由
<p><b>6. まとめ</b></p> <p>MCCIに関する種々の実験から得られた知見等に基づきMCCIの各過程における不確かさの分析を行い、不確かさがあり、評価結果に影響するモデルパラメータとして、エントレインメント係数、上面熱流束を抽出した。また、二次元侵食実験結果で確認されている侵食の異方性については、いまだ十分な解明が行われておらず、実機のウェット条件でも起こるのかは不明であるが、念のために異方性の影響をみるために、溶融プールから床方向と壁方向への熱伝達係数の感度解析を行った。これらのパラメータの感度解析以外に、コンクリート種類を玄武岩系コンクリートから石灰岩系コンクリートに変更した場合の解析も参考に実施し、コンクリート侵食量への影響を確認した。</p> <p>BWR 5, Mark-I 改プラントの有効性評価に使用しているノミナル条件を設定したベースケースでは、コンクリート侵食量は 2.4cm であった。</p> <p>エントレインメント係数の感度解析結果より、水中での粒子化によるクエンチ効果に差が出て、床上に堆積した溶融炉心温度に影響し、コンクリート侵食量に影響するが、その影響は小さかった。</p> <p>上面熱流束の感度解析結果より、上面熱流束は、床上に堆積した溶融炉心温度に大きく影響し、コンクリート侵食量に大きく影響する結果となった。</p> <p>玄武岩系コンクリートに見られる床方向と壁方向のコンクリート侵食の異方性の影響を確認するため、溶融プールから床方向と壁方向への熱分配の異方性として扱い、溶融プールークラスト間の熱伝達係数を変えて、床方向への熱伝達が大きい場合と壁方向への熱伝達が大きい場合の感度を調べた。その結果、熱伝達の大きい方向の侵食量が大きくなり、侵食の異方性が確認された。ただし、ノミナル条件の場合のように侵食量が小さい場合は、侵食量に大きな感度がないことがわかった。</p> <p>感度解析の結果、コンクリート侵食量に対して上面熱流束の感度が支配的であることが確認された。上面熱流束を想定される下限値とした場合でも、コンクリート侵食量は、22.5cm 程度に収まることが確認された。</p> <p>また、実験で確認されている侵食面における侵食の不均一性については、MAAP モデルのベンチマーク解析結果から、実験の侵食面における侵食のばらつきが、MAAP コードによる予測侵食量の 20% の範囲内に収まっていることが確認され、上面熱流束の感度に比べて影響が小さいことが確認された。</p> <p>また参考として、他の条件を同一として玄武岩系コンクリートから石灰岩系コンクリートに変更した解析も実施したところ、侵食量に大きな感度はなかった。また、ガス発生の影響も顕著には見られなかった。</p>	<p><b>6 まとめ</b></p> <p>MCCIに関する種々の実験から得られた知見等に基づき不確かさの要因の分析を行い、不確かさへの影響する項目を抽出した。これらの項目を対象に感度解析を行いコンクリート侵食への影響を確認した。</p> <ul style="list-style-type: none"> <li>・原子炉下部キャビティ水深</li> <li>・Ricou-Spalding のエントレインメント係数</li> <li>・溶融炉心の拡がり</li> <li>・水—溶融炉心間の熱伝達係数</li> </ul> <p>感度解析の結果、原子炉下部キャビティ水深、Ricou-Spalding のエントレインメント係数及び水—溶融炉心間の熱伝達係数については、コンクリート侵食深さへの感度は小さく、重大事故対策の有効性評価の結果に影響は与えないことを確認した。</p> <p>溶融炉心の拡がりについては、溶融炉心が過熱度を持ち連続的に原子炉下部キャビティ床へ落下すること等から、原子炉下部キャビティ床面積相当に拡がると考えられるが、溶融炉心が原子炉下部キャビティ水中に落下した際に冷却が進み局所的に堆積するよう仮定して解析を行った場合でも、コンクリート侵食は約 18cm にとどまる結果となった。</p> <p>感度解析パラメータを組み合わせた場合の感度解析でもコンクリート侵食は約 19cm となつたが、原子炉下部キャビティ底面のコンクリート厚さは数メートルであり、侵食深さは十分小さいことが確認できた。この規模のコンクリート侵食が発生する場合でも、原子炉格納容器内の水素濃度は約 6vol%（ドライ条件換算）にとどまり、水素処理装置（PAR 及びイグナイタ）による処理が可能なレベルに収まっている結果となっている。また、MCCIにより発生する水素は、すべてジルコニウムに起因するものであることを確認した。</p>	

泊発電所3号炉 有効性評価 比較表

付録3 重大事故等対策の有効性評価に係るシビアアクシデント解析コードについて（添付3 溶融炉心とコンクリートの相互作用について）

女川原子力発電所2号炉	泊発電所3号炉	相違理由
<p>最後に、MCCIに関係する現象は、複雑な多成分・多相熱伝達現象であり、現状でも知見が十分であるとは言えない。また事前水張り時の落下デブリの冷却性を直接調べた実験例が殆どないことから、今後も継続して検討を進め、新たな知見が出た場合には適宜評価に反映するように努めることが重要であると考えられる。</p>	<p>以上のことから、物理現象を踏まえた不確かさを考慮すると、コンクリート侵食については、溶融炉心の拡がりが影響を与えることが明らかとなった。一方、厳しい条件を組み合わせた場合においても、最終的にコンクリート侵食が停止し得ることから、原子炉下部キャビティ水による溶融炉心の冷却の効果も確認できた。しかしながら、この分野は複雑な多成分及び多相熱伝達現象であり知見が不十分であること、また直接的な実験例が少ないとから、今後も継続して検討を進め、知見の拡充に努めることが重要であると考えられる。</p>	

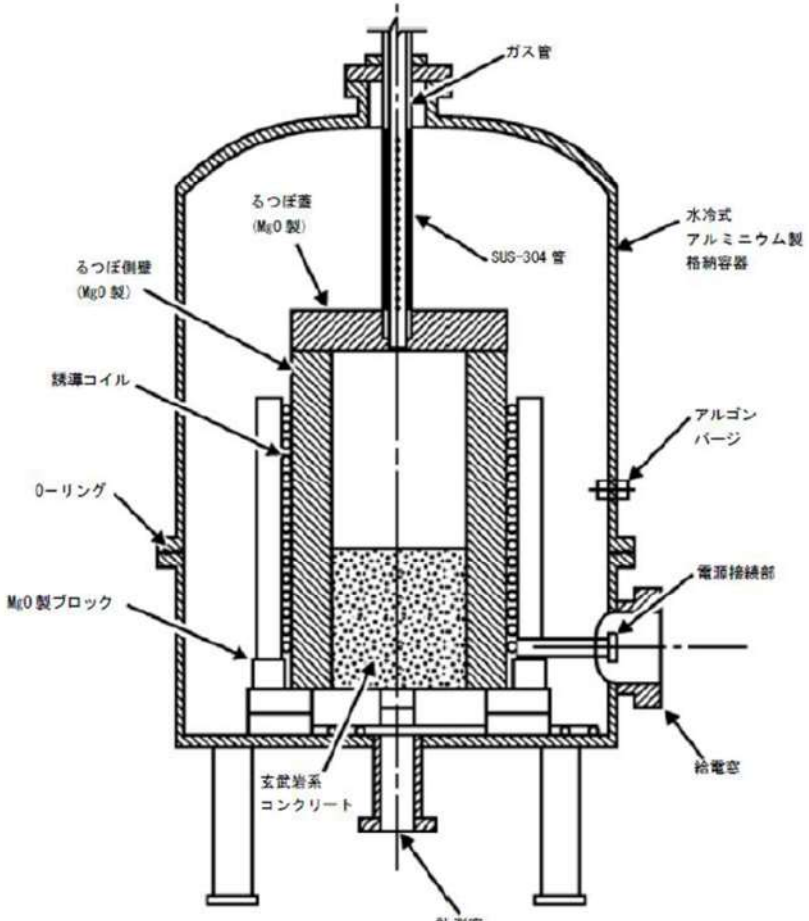
泊発電所3号炉 有効性評価 比較表

付録3 重大事故等対策の有効性評価に係るシビアアクシデント解析コードについて（添付3 溶融炉心とコンクリートの相互作用について）

女川原子力発電所2号炉	泊発電所3号炉	相違理由
<p style="text-align: center;">付録</p> <p>付録1 ドライ条件でのMCC I 実験</p> <p>デブリとして UO<sub>2</sub> コリウムを用い、崩壊熱を模擬し、注水を行っていないドライ条件の実験として、米国サンディア国立研究所 (SNL) の SURC 実験、米国アルゴンヌ国立研究所 (ANL) の ACE 実験及び独カールスルーエ研究所 (KfK) で実施された BETA 実験がある。以下にそれぞれの実験について説明する。これらの実験は、実機におけるMCC I 継続の影響の検討に参考となる。</p> <p>(1) SURC 実験（米国 SNL）<sup>[4][23][34]</sup></p> <p>MCC I 時の伝熱、化学反応、ガス及びエアロゾルの放出等を調べ、CORCON 等の解析コードを検証・改良することを目的に SNL にて 4 回実験が実施された。そのうち実機と同様の組成の UO<sub>2</sub> デブリを使用した実験は 2 回実施された (SURC-1, 2。他の 2 回の実験は模擬デブリとして SUS304 が使用された)。実験装置の概要を付図 1-1 に示すが、直径 40cm のコンクリート試験体 (SURC-1 実験では石灰岩系 (米国で使用されている)、SURC-2 実験では玄武岩系のコンクリートを使用) を入れた MgO 製の円筒容器に約 250kg の模擬デブリ (組成 : UO<sub>2</sub> 69%, ZrO<sub>2</sub> 22%, Zr 9%) を誘導加熱して溶融させてコンクリートとの反応を継続させた。SURC-2 のコンクリートの侵食深さの変化を付図 1-2 に示すが、侵食速度は 1 時間に 20cm 程度となっている。</p> <p>また、SURC-4 は、コード比較のための国際標準問題 (ISP-24)<sup>[5]</sup> に選定され、実験データと種々の解析の比較が行われている。200kg のステンレス鋼と模擬 FP (Te: 0.5kg, La<sub>2</sub>O<sub>3</sub>: 1.17kg, CeO<sub>2</sub>: 1.23kg, BaO: 1.1kg) が、コンクリート侵食が開始するまで加熱され、侵食開始後 14 分経ってから約 0.5 秒間に追加的に 20kg のジルコニウムが溶融物に添加されている。SURC-4 のコンクリートの侵食深さの変化を付図 1-3 に示すが、侵食速度は約 55 分の時点で 24.5~27.5cm で、MAAP 解析結果とよい一致を示している。なお、SURC-4 実験では外周部のコンクリート侵食深さが大きくなっているが、これは実験では外周部から誘導加熱して溶融物を加熱しているため、外周部の溶融物への入熱量が大きくなることが原因と考えられる。したがって、MAAP との相違は、実験固有の原因と考えられるため、ベンチマーク解析の観点からは問題とはならないと考えられる。</p>	<p style="text-align: center;">【泊では本文 3. に記載】</p>	

泊発電所3号炉 有効性評価 比較表

付録3 重大事故等対策の有効性評価に係るシビアアクシデント解析コードについて（添付3 溶融炉心とコンクリートの相互作用について）

女川原子力発電所2号炉	泊発電所3号炉	相違理由
 <p>付図 1-1 SURC 実験装置<sup>[23]</sup></p>		

泊発電所3号炉 有効性評価 比較表

付録3 重大事故等対策の有効性評価に係るシビアアクシデント解析コードについて（添付3 溶融炉心とコンクリートの相互作用について）

女川原子力発電所2号炉	泊発電所3号炉	相違理由
<p>付図 1-2 SURC-2 実験の侵食深さ<sup>[23]</sup></p>		
<p>付図 1-3 SURC-4 実験の侵食深さとMAAP解析との比較<sup>[23]</sup></p>		

泊発電所3号炉 有効性評価 比較表

付録3 重大事故等対策の有効性評価に係るシビアアクシデント解析コードについて（添付3 溶融炉心とコンクリートの相互作用について）

女川原子力発電所2号炉		泊発電所3号炉	相違理由
(2)ACE 実験（米国 ANL） <sup>[3][23][34]</sup>			※3.1 (1) に記載

MCCIにおける熱水力学的及び化学的プロセスを検証し関連コードのデータベースを拡充することを目的に、国際プログラムとしてACE(Advanced Containment Experiments)計画の一部として実施された。Phase-CでMCCI時のFPエアロゾル放出の定量化の目的で実験が実施された。実験装置の概要を付図1-4に示す。実炉組成の約300kgの模擬デブリを使用し、タンゲステン電極により直接通電により加熱し溶融させている。コンクリート侵食はベースマット中にある熱電対によりモニターされている。実験マトリックスを付表1-1に示すが、実験はコンクリートの種類やデブリの組成を替えて実施された。

L2実験のコンクリートの侵食深さのMAAP解析との比較を付図1-5に示すが、MAAP解析結果とよい一致を示している。

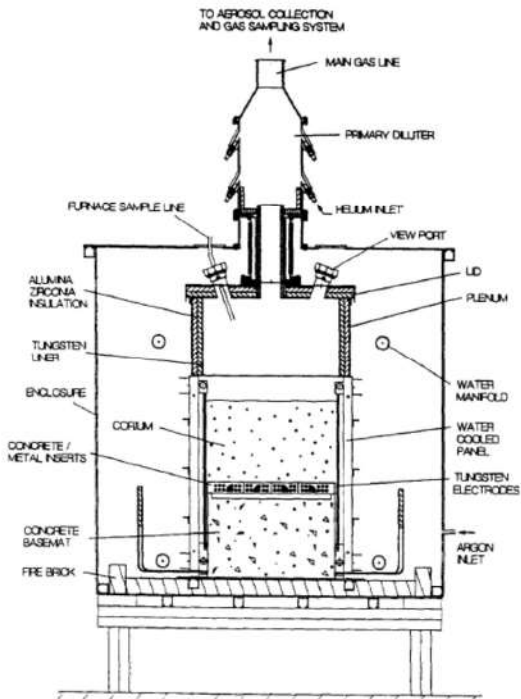
付表1-1 ACE/MCCI 実験マトリックス<sup>[23]</sup>

Test	Concrete Type <sup>a</sup>	Decay Heat Generation W/kg of UO <sub>2</sub>	Corium Mixture	Initial Zr Oxidation %	Absorber Material
L5	L/S	325	PWR	100	none
L2	S	450	PWR	70	none
L1	L/S	350	PWR	70	none
L6	S	350	PWR	30	Ag, In
L4	Serp/S <sup>b</sup>	250	BWR	50	B <sub>4</sub> C
L7	L/S	250	BWR	70	B <sub>4</sub> C
L8	L/L	350/150 <sup>c</sup>	PWR	70	Ag, In

a. Concrete type:  
L/S: limestone/common sand  
S: siliceous  
L/L: limestone/limestone

泊発電所3号炉 有効性評価 比較表

付録3 重大事故等対策の有効性評価に係るシビアアクシデント解析コードについて（添付3 溶融炉心とコンクリートの相互作用について）

女川原子力発電所2号炉	泊発電所3号炉	相違理由
 <p>付図1-4 ACE/MCCI 実験装置<sup>[3]</sup></p> <p>出典：MAAP4 User's Manual, EPRI</p> <p>付図1-5 ACE-L2 実験とMAAP 解析の侵食深さの比較<sup>[34]</sup></p>		

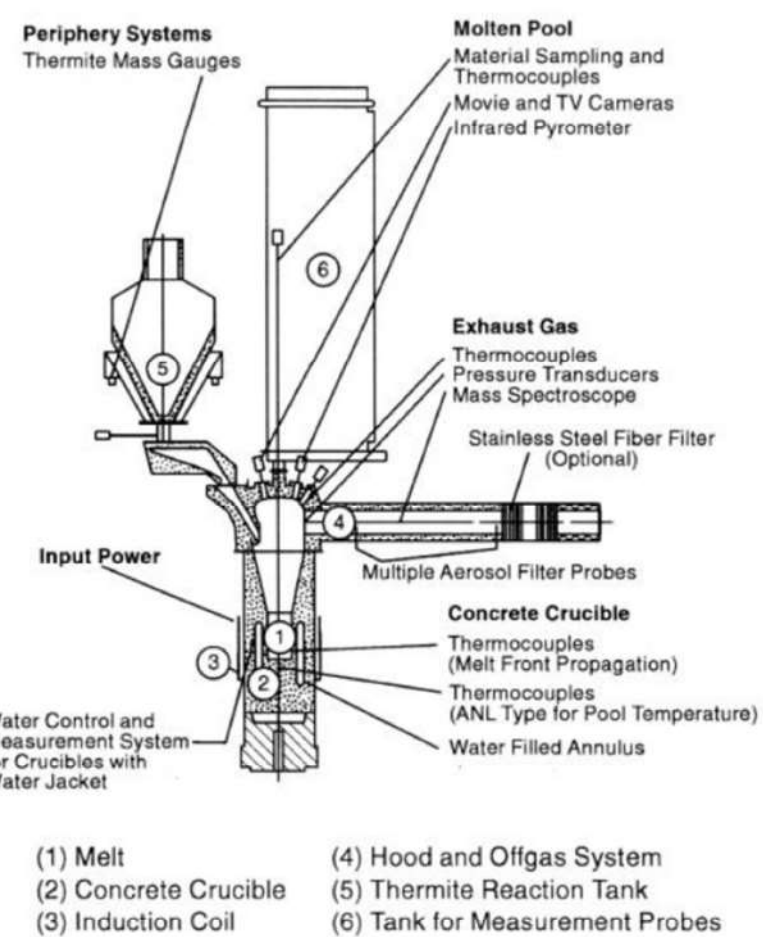
泊発電所3号炉 有効性評価 比較表

付録3 重大事故等対策の有効性評価に係るシビアアクシデント解析コードについて（添付3 溶融炉心とコンクリートの相互作用について）

女川原子力発電所2号炉	泊発電所3号炉	相違理由
<p>(3) BETA 実験（独 KfK）<sup>[6][34]</sup></p> <p>MCCI 解析コードの侵食挙動やエアロゾル生成挙動の検証用のデータベースを拡充することを目的として、独 KfK で実施された。実験装置の概要を付図 1-6 に示す。テルミット反応により金属溶融物 (Fe, Cr, Ni, Zr) と酸化物溶融物 (Al<sub>2</sub>O<sub>3</sub>, SiO<sub>2</sub>, CaO) を生成させて、玄武岩系コンクリート製のるっぽに落下させて、るっぽ内の溶融物は、誘導加熱により加熱している。ベースマット中にある熱電対により二次元のコンクリート侵食挙動が確認できるようになっている。溶融物として Zr を多く含む溶融物を用いた実験シリーズの実験マトリックス(V5.1～V5.3)を付表 1-2 に示す。</p> <p>実験後のコンクリート侵食状況を示す模式図を、付図 1-7 に示す。壁方向よりは、床方向の侵食量が大きくなっている。溶融物に含まれる Zr によりコンクリート成分の SiO<sub>2</sub> が還元され、Si や SiO の生成が確認されている。V5.1 実験と V5.2 実験のコンクリートの侵食深さのMAAP 解析との比較<sup>[34]</sup>を付図 1-8 及び付図 1-9 に示すが、MAAP 解析結果とよい一致を示している。このMAAP のベンチマーク解析により、二次元侵食に関わるパラメータ設定の妥当性が判断されている。</p>		※3.1 (15) に 記載

泊発電所3号炉 有効性評価 比較表

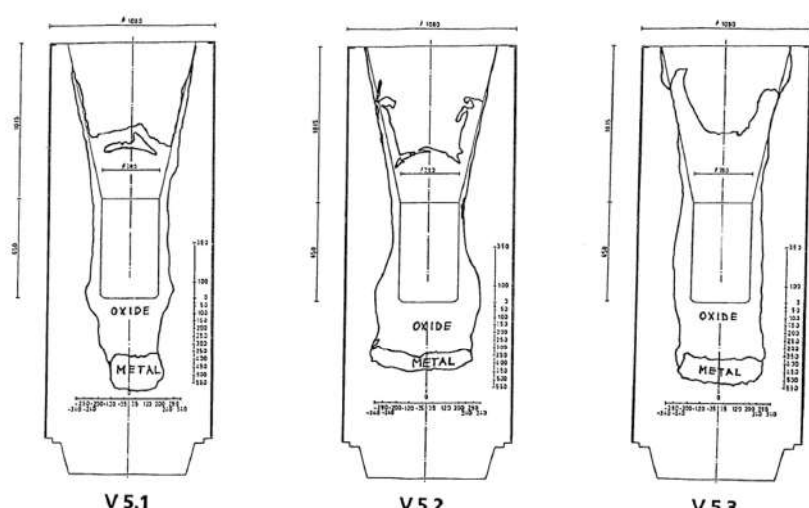
付録3 重大事故等対策の有効性評価に係るシビアアクシデント解析コードについて（添付3 溶融炉心とコンクリートの相互作用について）

女川原子力発電所2号炉	泊発電所3号炉	相違理由
 <p>The diagram illustrates the BETA experimental setup for investigating the interaction between molten fuel and concrete. It shows a central concrete crucible (2) containing a melt (1). An induction coil (3) provides input power. A water control and measurement system (4) is used for crucibles with water jackets. Various measurement probes and sensors are deployed: thermocouples for melt front propagation and pool temperature, multiple aerosol filter probes, a stainless steel fiber filter (optional), and a hood and offgas system (4). The molten pool (6) is monitored using material sampling and thermocouples, along with movie and TV cameras and an infrared pyrometer. Thermite mass gauges (5) are also present.</p> <p>(1) Melt          (2) Concrete Crucible          (3) Induction Coil          (4) Hood and Offgas System          (5) Thermite Reaction Tank          (6) Tank for Measurement Probes</p>		

付図 1-6 BETA 実験装置<sup>[34]</sup>

泊発電所3号炉 有効性評価 比較表

付録3 重大事故等対策の有効性評価に係るシビアアクシデント解析コードについて（添付3 溶融炉心とコンクリートの相互作用について）

女川原子力発電所2号炉					泊発電所3号炉	相違理由
付表1-2 BETA 実験マトリックス <sup>[6]</sup>						
BETA Test	Initial Melt, ~ 2200 K	Fission Product Mock-ups and Additives	Planned Heating Power	Main Objectives		
V 5.1	300 kg Fe + Cr + Ni 80 kg Zry-4 50 kg Al <sub>2</sub> O <sub>3</sub> + SiO <sub>2</sub> + CaO	none	400 kW	PWR: Zr chemistry, consequences on erosion and aerosol release		
V 5.2	as V 5.1	1 kg Mo, 0.5 kg ZrTe <sub>2</sub> , 1.5 kg CeO <sub>2</sub> , 1 kg BaO, 0.5 kg La <sub>2</sub> O <sub>3</sub> , 0.5 kg SrO, 6 kg B <sub>4</sub> C in steel containers	200 kW	BWR with B <sub>4</sub> C absorber, low power: Zr chemistry and related processes		
V 5.3	as V 5.1	1 kg Mo, 1 kg CeO <sub>2</sub> , 1 kg BaO, 0.5 kg La <sub>2</sub> O <sub>3</sub> , 0.5 kg SrO, 6 kg B <sub>4</sub> C in steel containers	800 kW	BWR with B <sub>4</sub> C absorber, high power: Zr chemistry and related processes		
						
付図1-7 BETA 実験後のコンクリート侵食状況を示す模式図 <sup>[6]</sup>						

泊発電所3号炉 有効性評価 比較表

付録3 重大事故等対策の有効性評価に係るシビアアクシデント解析コードについて（添付3 溶融炉心とコンクリートの相互作用について）

女川原子力発電所2号炉	泊発電所3号炉	相違理由
<p>本資料のうち、枠囲みの内容は商業機密に属しますので公開できません。</p> 		
<p>付図1-8 BETA-V5.1 実験とMAAP解析の侵食深さの比較 [34]</p> 		

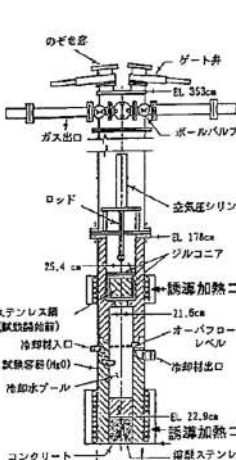
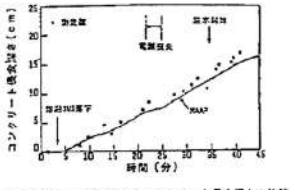
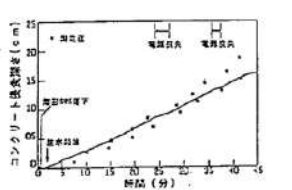
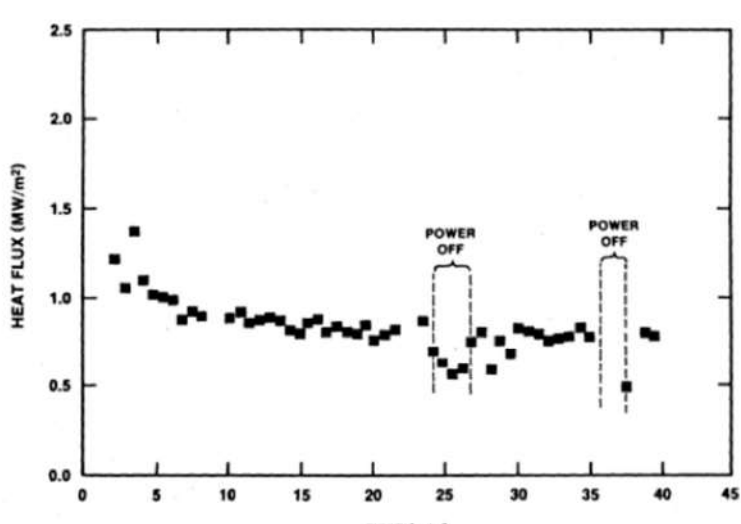
泊発電所3号炉 有効性評価 比較表

付録3 重大事故等対策の有効性評価に係るシビアアクシデント解析コードについて（添付3 溶融炉心とコンクリートの相互作用について）

女川原子力発電所2号炉	泊発電所3号炉	相違理由
<b>付録2 注水を伴ったMCCI実験</b> <p>注水を伴う実験（溶融物上に冷却水を注水した実験）としては、SNLで実施された SWISS 実験及び WETCOR 実験、ANL (EPRI) の主催で実施された MACE 実験及び OECD/MCCI 実験、原子力発電技術機構 (NUPEC) により実施された COTELS 実験がある。</p> <p>以下の実験の知見を示す。</p> <ul style="list-style-type: none"> <li>(1) SWISS 実験（米国サンディア研究所(SNL)）</li> <li>(2) WETCOR 実験（米国サンディア研究所(SNL)）</li> <li>(3) MACE 実験（米国アルゴンヌ研究所(ANL)）</li> <li>(4) COTELS 実験（日本 原子力発電技術機構（NUPEC））</li> <li>(5) OECD/MCCI 実験（米国アルゴンヌ研究所(ANL)）</li> </ul> <p>(1) SWISS 実験（米国 SNL）<sup>[7]</sup></p> <p>高周波加熱によりステンレスを溶融させ、溶融したステンレスとコンクリートとの反応中に注水し、溶融物の冷却性を調べる実験が2回行われた。実験結果2回とも同様の結果となっており、メルト上面に安定なクラストが形成されてメルト内部に冷却水が浸入しにくくなり、メルトによりコンクリートの侵食が継続した（付図2-1 参照）。ただし、本実験はメルトの発熱が実機で想定される値より1桁程度大きいことや100%ステンレスであるため模擬崩壊熱に加え、水—金属反応の発熱が加わったことも一因と分析されている。またコリウムより上方水プールへの熱流束は約 800kW/m<sup>2</sup> 程度であった（付図2-2 参照）。</p>	<p>【泊では本文3.に記載】</p>	

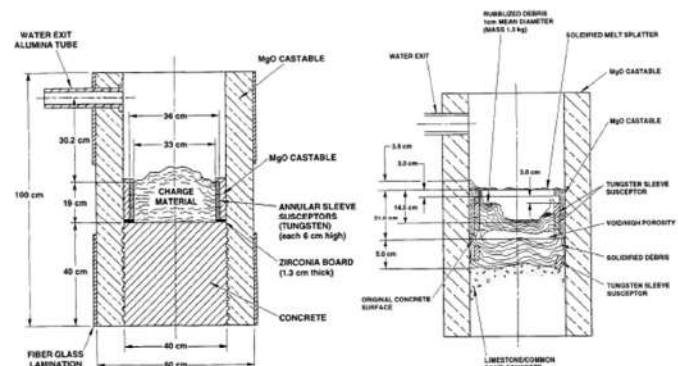
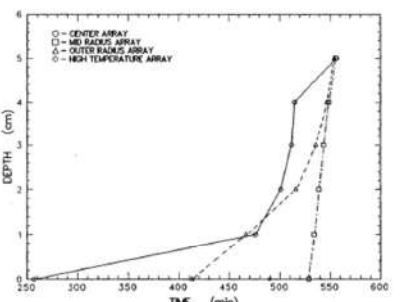
泊発電所3号炉 有効性評価 比較表

付録3 重大事故等対策の有効性評価に係るシビアアクシデント解析コードについて（添付3 溶融炉心とコンクリートの相互作用について）

女川原子力発電所2号炉	泊発電所3号炉	相違理由
<p>実験条件：45kgのSUSを内径21.6cmのコンクリート上に溶融させた状態で落下して注水を実施。比出力1.6kW/kg SUS</p>  <p>SWISS-1 実験におけるコンクリート侵食深さの比較</p>  <p>SWISS-2 実験におけるコンクリート侵食深さの比較</p>  <p>実験装置の概要 (SWISS実験) 実験結果および解析結果の比較 (SWISS実験)</p> <p>付図2-1 SWISS 実験の実験装置とコンクリート侵食深さの実験と解析（MAPP）の比較<sup>[7]</sup></p> <p>HEAT FLUX (MW/m<sup>2</sup>)</p> <p>TIME (min)</p>  <p>付図2-2 SWISS-2 実験の水プールへの熱流束<sup>[7]</sup></p>		

泊発電所3号炉 有効性評価 比較表

付録3 重大事故等対策の有効性評価に係るシビアアクシデント解析コードについて（添付3 溶融炉心とコンクリートの相互作用について）

女川原子力発電所2号炉	泊発電所3号炉	相違理由
<p>(2) WETCOR 実験（米国 SNL）<sup>[8]</sup></p> <p>Al<sub>2</sub>O<sub>3</sub> と CaO の酸化物混合溶融物 34kg を用いてコンクリートとの反応中に注水し溶融物の冷却性を調べる実験が行われた（付図 2-3 参照）。SWISS 実験と同様の理由によりコンクリートの侵食が継続した。コンクリート侵食速度は SWISS 実験と比べて約 1/3 に低下している。水プールへの熱流束は溶融時に 520kW/m<sup>2</sup> 程度、凝固時に 200kW/m<sup>2</sup> 程度であった。</p>  <p>(実験装置の概要)</p> <p>(実験後の状態の模式図)</p>  <p>(上部クラストの様子)</p>  <p>(コンクリート侵食の時間変化)</p>		※3.1 (4) に記載

付図 2-3 WETCOR 実験結果<sup>[8]</sup>

泊発電所3号炉 有効性評価 比較表

付録3 重大事故等対策の有効性評価に係るシビアアクシデント解析コードについて（添付3 溶融炉心とコンクリートの相互作用について）

女川原子力発電所2号炉	泊発電所3号炉	相違理由																																																																
<p>(3) MACE 実験（米国 ANL）<sup>[3][9][10][20]</sup></p> <p>MACE 実験（Melt Attack and Coolability Experiment）は、米国電力研究所（EPRI）が主催する原子炉格納容器内溶融炉心冷却性に関する国際協力計画である。この実験では、溶融炉心がコンクリート床に落下した後に、溶融炉心の上に注水する状況を模擬しており、大規模実験が含まれていることと、実機相当の UO<sub>2</sub> 及び ZrO<sub>2</sub> を主成分とする溶融炉心模擬物を用いて、さらに、直接通電加熱により崩壊熱の発生を模擬していることが特徴である。</p> <p>実験装置の概要を付図 2-4 に示す。MACE 実験では規模の異なる M0, M1b, M3b, M4 の 4 回の実験が実施されており、その主要条件を付表 2-1 に示す。M0 実験のみコンクリートの側壁で、その他は MgO が用いられている。</p> <p>M3b と M4 の実験結果を付図 2-5 及び付図 2-6 に示す。いずれのケースもコンクリート侵食が継続する結果となっている。実験後の溶融炉心模擬物の固化状況を見ると、メルト上部に安定クラストが形成され側壁に固定化されており、クラスト下部に空洞が見られ、クラストと溶融物とが分離した状態になっている。メルトから冷却水への熱流束を見ると、注水直後の短期間は、大きい熱流束となっているが、安定クラストが形成されクラストと溶融物が分離したと想定される状況では、熱流束は低下している。安定クラストの形成と</p> <p>メルトとの分離によりクラストの下にあるデブリの冷却が阻害される結果となったと分析されている。しかしながら、デブリの長期的な冷却に関与し得るメカニズムとして、クラストに生じる亀裂等への浸水及びコンクリート分解ガスによるクラスト開口部からのデブリの噴出が確認されている。</p> <p>付表 2-1 MACE 実験の主要条件<sup>[20]</sup></p> <table border="1"> <thead> <tr> <th></th><th>M0</th><th>M1b</th><th>M3</th><th>M4</th></tr> </thead> <tbody> <tr> <td>溶融炉心模擬物重量 (kg)</td><td>130</td><td>480</td><td>1800</td><td>480</td></tr> <tr> <td rowspan="4">コンクリート床</td><td>UO<sub>2</sub></td><td>56</td><td>65</td><td>57</td></tr> <tr> <td>ZrO<sub>2</sub></td><td>11</td><td>13</td><td>29</td><td>29</td></tr> <tr> <td>Zr</td><td>4</td><td>3</td><td>-</td><td>-</td></tr> <tr> <td>その他 (コンクリート 成分等)</td><td>29</td><td>19</td><td>14</td><td>14</td></tr> <tr> <td>溶融炉心模擬物深さ (m)</td><td>0.15</td><td>0.25</td><td>0.2</td><td>0.3</td></tr> <tr> <td>溶融炉心模擬物初期温度 (K)</td><td>2000</td><td>2350</td><td>2250</td><td>2280</td></tr> <tr> <td>溶融炉心模擬物初期発热量 (kW)</td><td>100</td><td>130</td><td>300</td><td>130</td></tr> <tr> <td>コンクリートの種類</td><td>石灰岩系</td><td>石灰岩系</td><td>石灰岩系</td><td>ケイ酸系</td></tr> <tr> <td>コンクリート床面積 (m<sup>2</sup>)</td><td>0.3×0.3</td><td>0.5×0.5</td><td>1.2×1.2</td><td>0.5×0.5</td></tr> <tr> <td>コンクリート床の深さ (m)</td><td>0.35</td><td>0.55</td><td>0.55</td><td>0.55</td></tr> <tr> <td>水位 (m)</td><td>0.5</td><td>0.5</td><td>0.5</td><td>0.5</td></tr> </tbody> </table>		M0	M1b	M3	M4	溶融炉心模擬物重量 (kg)	130	480	1800	480	コンクリート床	UO <sub>2</sub>	56	65	57	ZrO <sub>2</sub>	11	13	29	29	Zr	4	3	-	-	その他 (コンクリート 成分等)	29	19	14	14	溶融炉心模擬物深さ (m)	0.15	0.25	0.2	0.3	溶融炉心模擬物初期温度 (K)	2000	2350	2250	2280	溶融炉心模擬物初期発热量 (kW)	100	130	300	130	コンクリートの種類	石灰岩系	石灰岩系	石灰岩系	ケイ酸系	コンクリート床面積 (m <sup>2</sup> )	0.3×0.3	0.5×0.5	1.2×1.2	0.5×0.5	コンクリート床の深さ (m)	0.35	0.55	0.55	0.55	水位 (m)	0.5	0.5	0.5	0.5	※3.1 (5) に記載
	M0	M1b	M3	M4																																																														
溶融炉心模擬物重量 (kg)	130	480	1800	480																																																														
コンクリート床	UO <sub>2</sub>	56	65	57																																																														
	ZrO <sub>2</sub>	11	13	29	29																																																													
	Zr	4	3	-	-																																																													
	その他 (コンクリート 成分等)	29	19	14	14																																																													
溶融炉心模擬物深さ (m)	0.15	0.25	0.2	0.3																																																														
溶融炉心模擬物初期温度 (K)	2000	2350	2250	2280																																																														
溶融炉心模擬物初期発热量 (kW)	100	130	300	130																																																														
コンクリートの種類	石灰岩系	石灰岩系	石灰岩系	ケイ酸系																																																														
コンクリート床面積 (m <sup>2</sup> )	0.3×0.3	0.5×0.5	1.2×1.2	0.5×0.5																																																														
コンクリート床の深さ (m)	0.35	0.55	0.55	0.55																																																														
水位 (m)	0.5	0.5	0.5	0.5																																																														

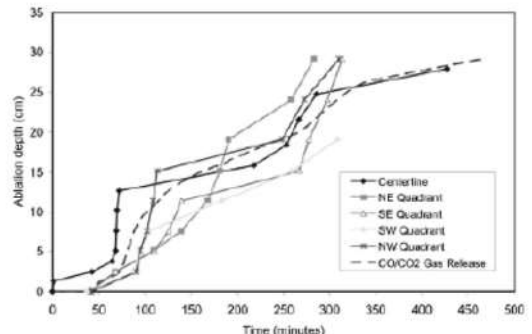
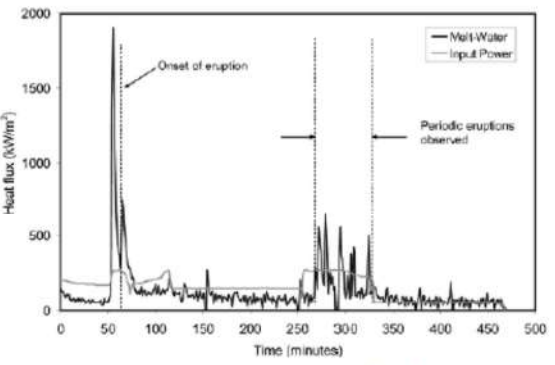
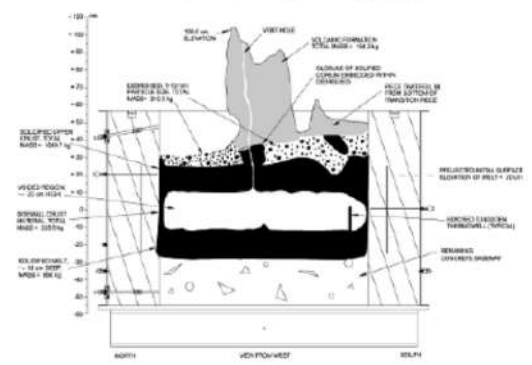
泊発電所3号炉 有効性評価 比較表

付録3 重大事故等対策の有効性評価に係るシビアアクシデント解析コードについて（添付3 溶融炉心とコンクリートの相互作用について）

女川原子力発電所2号炉	泊発電所3号炉	相違理由
<p>付図 2-4 MACE 及び OECD/MCCI 実験装置<sup>[9]</sup></p>		

泊発電所3号炉 有効性評価 比較表

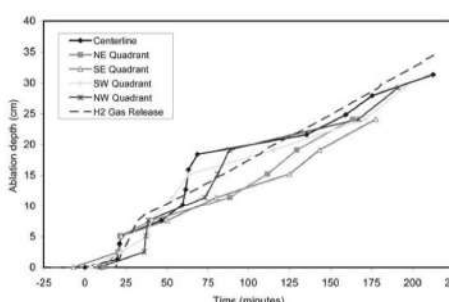
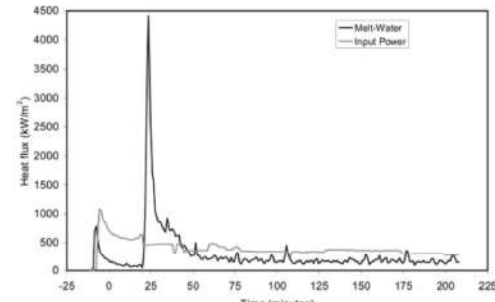
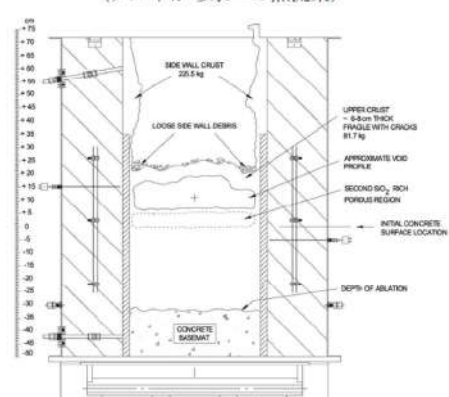
付録3 重大事故等対策の有効性評価に係るシビアアクシデント解析コードについて（添付3 溶融炉心とコンクリートの相互作用について）

女川原子力発電所2号炉	泊発電所3号炉	相違理由
 <p>（軸方向侵食データ）</p>  <p>（メルトから水への熱流束）</p>  <p>（実験後状態の模式）</p>		

付図2-5 MACE-M3b 実験結果<sup>[10]</sup>

泊発電所3号炉 有効性評価 比較表

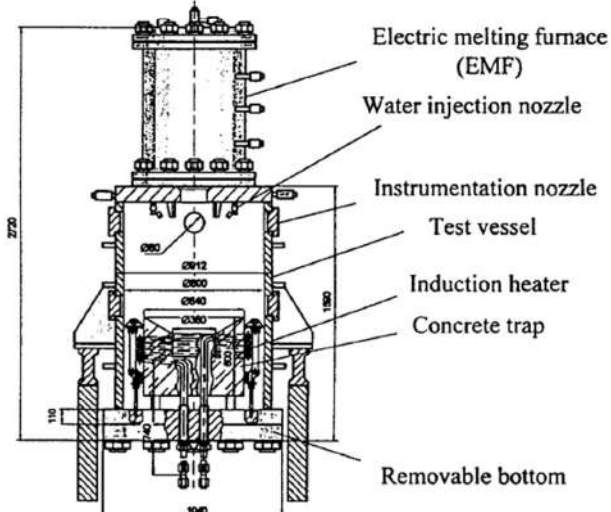
付録3 重大事故等対策の有効性評価に係るシビアアクシデント解析コードについて（添付3 溶融炉心とコンクリートの相互作用について）

女川原子力発電所2号炉	泊発電所3号炉	相違理由
 <p>(軸方向侵食データ)</p>  <p>(メルトから水への熱流束)</p>  <p>(実験後状態の模式)</p>		

付図2-6 MACE-M4 実験結果<sup>[10]</sup>

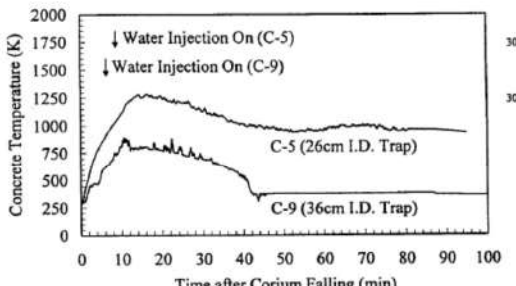
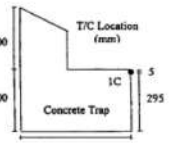
泊発電所3号炉 有効性評価 比較表

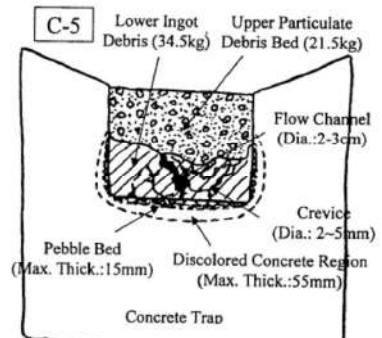
付録3 重大事故等対策の有効性評価に係るシビアアクシデント解析コードについて（添付3 溶融炉心とコンクリートの相互作用について）

女川原子力発電所2号炉	泊発電所3号炉	相違理由
<p>(4) COTELS 実験（日本NUPEC）<sup>[1][11]</sup></p> <p>プール水中に実機組成のUO<sub>2</sub>コリウムを落下させる実験（F C I）とコンクリート上に落下したUO<sub>2</sub>コリウムに注水する実験（M C C I）を実施している。付図2-7にコンクリート上のUO<sub>2</sub>コリウムに注水する実験の実験装置を示す。約60kgの実機組成のUO<sub>2</sub>コリウムを電気炉で加熱溶融させ、玄武岩系のコンクリート床上に落下させ、その後高周波誘導加熱によりコンクリート上のコリウムを加熱して崩壊熱を模擬している。側壁と床面の両方の侵食を考慮しており、コリウムの高さと直径の比を実験パラメータとしている。注水後にコンクリート温度は低下している。また、侵食深さは2cm程度であった。また、付図2-8に実験後に固化したコリウムの断面を観察した結果を示すが、上部は粒子状になつておらず、下部はインゴット状になっているのが観察されている。また、インゴット状の部分にはひび割れや流路が見られる。</p> <p>COTELS 実験では、いずれもデブリによるコンクリート侵食が生じているが、先行の SWISS, WETCOR, MACE とは異なり、コンクリート侵食は停止している。これは、以下の理由と分析されている。</p> <ul style="list-style-type: none"> <li>・デブリの粒子化と塊状デブリ上への粒子化デブリの堆積</li> <li>・デブリとコンクリートとの境界における粗骨材を主体とする多孔質層の形成</li> <li>・粗骨材層及び塊状デブリに形成された流路への浸水</li> </ul> <p>溶融物から水プールへの熱流束は水プールへの熱流束は100～650kW/m<sup>2</sup>程度であったが、これらの熱流束は限界熱流束よりも低く、水が更に高い除熱能力を有する可能性があることが示唆されている。</p>  <p>付図2-7 COTELS 実験装置（コンクリート上のUO<sub>2</sub>コリウムに注水する実験）<sup>[11]</sup></p>		※3.1 (8) に記載

泊発電所3号炉 有効性評価 比較表

付録3 重大事故等対策の有効性評価に係るシビアアクシデント解析コードについて（添付3 溶融炉心とコンクリートの相互作用について）

女川原子力発電所2号炉	泊発電所3号炉	相違理由
 <p>Concrete Temperature (K)</p> <p>Time after Corium Falling (min)</p> <p>↓ Water Injection On (C-5) ↓ Water Injection On (C-9)</p> <p>C-5 (26cm I.D. Trap) C-9 (36cm I.D. Trap)</p> <p>(コンクリート床温度変化)</p>  <p>T/C Location (mm)</p> <p>IC</p> <p>Concrete Trap</p> <p>320 300 295 5</p>		



(実験後のコリウム断面の模式図)

付図2-8 COTELS C-5 実験の結果<sup>[11]</sup>

泊発電所3号炉 有効性評価 比較表

付録3 重大事故等対策の有効性評価に係るシビアアクシデント解析コードについて（添付3 溶融炉心とコンクリートの相互作用について）

女川原子力発電所2号炉	泊発電所3号炉	相違理由
(5) OECD/MCCI 実験（米国 ANL） <sup>[10][12][13][36][38][41]</sup>  OECD/MCCI 実験は、MACE 実験や COTELS 実験の注水を伴う MCCI 実験で同定された個々のデブリ冷却メカニズムや火山型クラストの冷却性（付図 2-9 及び付図 2-10 参照）を定量的に解明することを目的として、以下の実験が実施された。  ① クラスト浸水・強度実験（SSWICS 実験）  SSWICS 実験は、クラスト内への浸水メカニズムと浸水による除熱量、さらにクラスト強度を調べるために実施された。実験装置の構造を付図 2-11 に示し、実験条件一覧を付表 2-2 に示す。テスト部内の非侵食性の床面上で、テルミット反応により UO <sub>2</sub> , ZrO <sub>2</sub> 及びコンクリート成分を主成分とするデブリ模擬溶融物を生成しその上に注水する。崩壊熱とコンクリート分解気体の発生は模擬しない過渡クエンチ実験である。最大除熱量はクラスト上面におけるドライアウト熱流束により評価される。実験結果より、安定なクラストは形成されず、クラスト内に冷却材が浸入することにより、熱伝導律速以上の熱流束を期待することができるとしている。さらに、SSWICS 実験で得られたドライアウト熱流束を実機の事故シーケンス解析において直接的に適用できるよう、Lister/Epstein のドライアウト熱流束モデルへの適応が行われた。実験結果とこれに基づいた Lister/Epstein モデルによる予測の比較を付図 2-12 に示す。この実験結果及びこれらに基づいた予測値によれば、コンクリートを全く含有しないデブリに対する上面水プールへのドライアウト熱流束は、約 400kW/m <sup>2</sup> であり、コンクリート含有とともに熱流束は低下し、含有率 15% 程度以上では約 100kW/m <sup>2</sup> となっている。  ② 溶融物噴出実験（MET 実験）  コンクリート分解気体がクラストの開口部を通過する際に、気体に随伴されてクラスト上面に噴出するデブリ量の定量化を目的としている。クラスト浸水実験と同様に、テスト部内の非侵食性の床面上で、テルミット反応により UO <sub>2</sub> , ZrO <sub>2</sub> 及びコンクリート成分を主成分とするデブリ模擬溶融物を生成しその上に注水する。クラスト浸水実験との違いは、本実験においては直接通電加熱により崩壊熱を模擬すること及び非侵食性床面に設けた多数の細孔からコンクリート分解気体を模擬する非凝縮性気体を供給している。テスト部で発生する水蒸気量の変化と実験後分析から得られるデブリ噴出量に基づいて、供給気体流量と噴出量の関係を評価している。  ③ 長期二次元コンクリート侵食実験（CCI 実験）  デブリによる長期的な床部及び側壁の侵食挙動を明らかにすることを目的に実施された。実験装置のテスト部の構造を付図 2-13 に示し、実験条件一覧を付表 2-3 に示す。テルミット反応により生成した UO <sub>2</sub> , ZrO <sub>2</sub> 及びコンクリート成分を主成分とするデブリ模擬溶融物を直接通電により加熱している。電極がある 2 面は非侵食性の側壁を採用し、残りの 2 面をコンクリートにより製作している。使用するコンクリートは実験により種類が変えられている。注水なしの条件で、側壁のコンクリートの最大侵食深さが 30cm に達するまで侵食を継続した後に注水を行い、注水後、最大侵食深さが 35cm に到達した時点で実験を終了している。実験装置に荷重負荷装置を設置し、注水後		※3.1 (12) に記載
		※3.1 (11) に記載
		※3.1 知見の整理 (12) に記載

泊発電所3号炉 有効性評価 比較表

付録3 重大事故等対策の有効性評価に係るシビアアクシデント解析コードについて（添付3 溶融炉心とコンクリートの相互作用について）

女川原子力発電所2号炉	泊発電所3号炉	相違理由
<p>に形成されるクラストに荷重を与えて、クラストの機械的強度に関するデータを得ている（付図2-14参照）。コンクリート種類を変えて3回実験が行われている。CCI-I実験のコンクリート組成を付表2-4に示す。CCI-I実験のデブリ-水間の熱流束を付図2-15に示し、溶融物の平均温度を付図2-16に示す。また、実験後の侵食状態の模式図を付図2-17に示す。石灰岩系コンクリートの場合、床方向と側壁方向の侵食は同程度となっているのに対し、玄武岩系コンクリートの場合、側壁方向の侵食が床方向より大きくなっている。付表2-5に示すように、侵食率から側壁方向と床方向の熱流束が推定されている。CCI-2実験（石灰岩系コンクリート）の場合、側壁方向と床方向は同程度と推定されているのに対し、CCI-3実験（玄武岩系コンクリート）の場合、側壁方向の熱流束は、床方向より4倍程度大きいと推定されている。</p> <p>④ クラスト破損実験</p> <p>本実験は上記①③の実験に付随して実施されており、①のSSWICS実験で形成されたクラストの冷却後破損強度を調べる実験と、③の二次元侵食実験の間に高温状態で破損させる実験の2種の実験が行われている。</p> <p>前者の実験では、クラスト浸水実験で形成された直径約30cmのクラストに荷重を加えて、クラストの強度を測定している。低温クラスト破損実験装置の概要を付図2-18に示す。クラスト上面の中央部に集中荷重を与え、クラスト破損時の荷重からクラストの機械的強度（破損時にクラストに発生する最大の応力）を評価している。クラスト上に堆積する冷却水層及び噴出デブリの荷重に起因してクラスト内に発生する応力と、本実験から得られるクラストの機械的強度を比較することにより、実機規模においては、クラストは破損し下部の溶融物と接触する可能性が高いことが示されている。</p> <p>後者の二次元侵食実験では、注水前の高温状態で突き棒（lance）によりクラストが破損する荷重を測定し、注水後にも再度突き棒によりクラストが破損する荷重を測定している。これにより、現実に近い状態でのクエンチ前後のクラスト強度が確認され、クエンチ後は、クラスト強度が大きく低下することが確認された。</p> <p>OECD/MCCI実験結果から以下の知見が得られている。</p> <ul style="list-style-type: none"> <li>・ガス噴出は、安定なクラストの形成を阻害し、熱伝達を促進する。</li> <li>・クラストが冷却されると、亀裂が生じクラスト強度は大幅に低下する。</li> <li>・クラストの亀裂により冷却水が内部に浸入し、デブリの冷却が促進される。</li> <li>・溶融物の噴出により、多孔質の粒子状ベッドが形成される。</li> <li>・コンクリートタイプにより侵食異方性がみられる。</li> </ul> <p>これらの知見は、CORQUENCHコード等に反映される予定である。</p> <p>また、CCI-I実験について、MAPコードによりベンチマーク解析が行われている<sup>[35]</sup>。</p>		※3.1 知見の整理（13）に記載

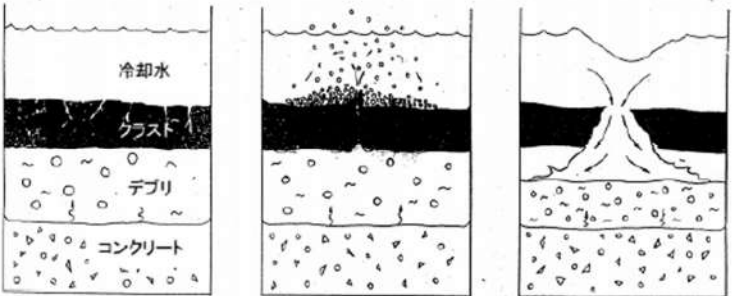
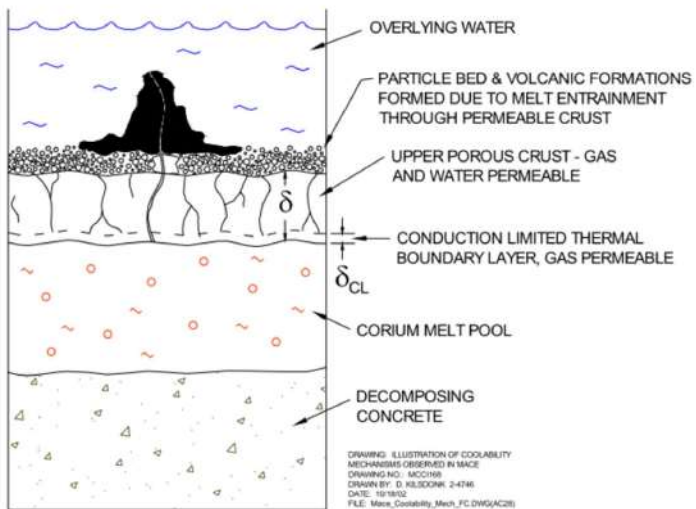
泊発電所3号炉 有効性評価 比較表

付録3 重大事故等対策の有効性評価に係るシビアアクシデント解析コードについて（添付3 溶融炉心とコンクリートの相互作用について）

女川原子力発電所2号炉	泊発電所3号炉	相違理由
CCI-2 実験（石灰岩系コンクリート）のベンチマーク解析では、固化効果項の影響を除いて対流熱伝達係数のサーベイが可能なように、対流熱伝達係数として床方向と側壁方向ともに $300\text{W/m}^2\text{-K}$ 、固化効果項の指数 $n$ に 0 が設定されている。ここで $300\text{W/m}^2\text{-K}$ は、実際のMCC I 時の対流熱伝達係数は、固化割合を考慮すると、完全液相状態の値よりも 1 衍程度小さい値（付図 2-19 において固化割合が 60%程度の値）になることを考慮して設定されている。また、CCI-2 実験では、床方向と側壁方向の熱流束が同程度と推定されていることから、対流熱伝達係数も同じ値が設定されている。この設定を用いた解析により、コリウム温度の変化（付図 2-20 参照）は、実験データと良く合っている。また、床方向の侵食量は（付図 2-21 参照）、実験では注水前には 25cm 程度侵食されているのに対し、MAAP 解析では 33cm 程度の侵食量となっている。側壁方向の侵食量は（付図 2-22 参照）、実験では注水前には 29cm 程度侵食されているのに対し、MAAP 解析では 33cm 程度の侵食量となっている。		※3.1 (11) に 記載
CCI-3 実験（玄武岩系コンクリート）のベンチマーク解析では、対流熱伝達係数として床方向に $80\text{W/m}^2\text{-K}$ 、側壁方向に $300\text{W/m}^2\text{-K}$ 、 $n$ に 0 が設定されている。ここで、 $80\text{W/m}^2\text{-K}$ は、CCI-3 実験では、床方向の熱流束が側壁方向の 1/4 程度と推定されていることから、床方向の対流熱伝達係数を側壁方向の 1/4 程度として設定されている。この設定により、コリウム温度の変化（付図 2-23 参照）は、より実験データに近くなっている。また、床方向の侵食量は（付図 2-24 参照）、実験では注水前には 5 cm 程度侵食されているのに対し、MAAP 解析では 5.7 cm 程度の侵食量となっている。側壁方向の侵食量は（付図 2-25 参照）、実験では注水前には 29cm 程度侵食されているのに対し、MAAP 解析では 27cm 程度の侵食量となっている。		
CCI I 実験を対象にしたMAAP ベンチマーク解析により、対流熱伝達係数を適切に設定することにより侵食量がおおむね合うことが確認されている。また、侵食の異方性を扱うためには、床方向と側壁方向の対流熱伝達係数の比率の設定が重要であることが示されている。		

泊発電所3号炉 有効性評価 比較表

付録3 重大事故等対策の有効性評価に係るシビアアクシデント解析コードについて（添付3 溶融炉心とコンクリートの相互作用について）

女川原子力発電所2号炉	泊発電所3号炉	相違理由
 <p>(a) クラストへの浸水      (b) デブリの噴出      (c) クラストの破損</p> <p>付図 2-9 想定されているデブリ冷却メカニズム<sup>[38]</sup></p>  <p>DRAWING: ILLUSTRATION OF COOLABILITY MECHANISMS OBSERVED IN NICE DRAWING NUMBER: 2-476      DRAWN BY: D. KILGOURN 2-476      DATE: 10/10/02      FILE: Mater_Coolability_Mech_FC.DWG(AC2R)</p> <p>付図 2-10 想定されている火山型クラストの模式図<sup>[12]</sup></p>		

泊発電所3号炉 有効性評価 比較表

付録3 重大事故等対策の有効性評価に係るシビアアクシデント解析コードについて（添付3 溶融炉心とコンクリートの相互作用について）

女川原子力発電所2号炉							泊発電所3号炉	相違理由	
Parameter	Test Number								
	1	2	3	4	5	6	7		
Melt composition (wt % UO <sub>2</sub> /ZrO <sub>2</sub> /Cr/concrete)	61/25/6/8	61/25/6/8	61/25/6/8	48/20/9/23	56/23/7/14	56/23/6/14	64/26/6/4		
Concrete type	LCS	SIL	LCS	LCS	LCS	SIL	LCS		
Melt mass (kg)	75	75	75	60	68	68	80		
Melt diameter / depth (cm)	30 / 15	30 / 15	30 / 15	30 / 15	30 / 15	30 / 15	30 / 15		
Basemat type	Inert	Inert	Inert	Inert	Inert	Inert	Inert		
Initial melt temperature (°C)	~2300	~2100	~2100	~2100	~2100	~1950	~2100		
Initial vessel and coolant temperature (°C)	20	20	100	100	100	100	100		
System pressure (bar)	1	1	4	4	4	1	4		
Water injection period (sec)	665	760	183	195	622	215	194		
Water injection flowrate (lpm)	4	4	12	13	6	14	13		
Water injected (liters)	33	39	34	40	61	47	40		
Condensate collected over course of test (kg)	24.7	16.1	28.9	21.9	22.7	27.6	31.4		
Test duration (hours)	2.2	1.2	1.8	2.4	2.6	3.9	1.4		

付表 2-2 SSWICS 実験（デブリ冷却実験）条件一覧<sup>[12]</sup>

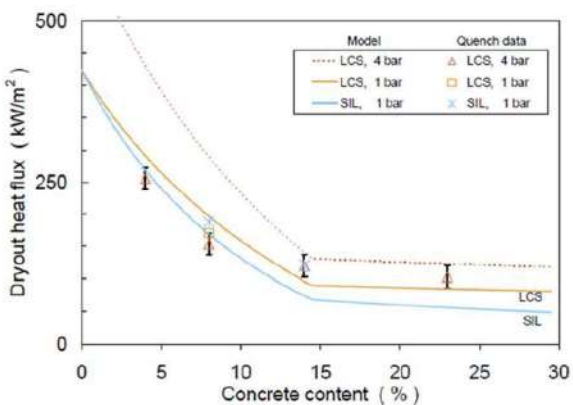
泊発電所 3号炉 有効性評価 比較表

### 付録3 重大事故等対策の有効性評価に係るシビアアクシデント解析コードについて（添付3 溶融炉心とコンクリートの相互作用について）

女川原子力発電所 2号炉	泊発電所 3号炉	相違理由
<p>付図 2-11 小規模浸水・クラスト強度実験 (SSWICS) 装置<sup>[12]</sup></p>		

泊発電所3号炉 有効性評価 比較表

付録3 重大事故等対策の有効性評価に係るシビアアクシデント解析コードについて（添付3 溶融炉心とコンクリートの相互作用について）

女川原子力発電所2号炉	泊発電所3号炉	相違理由
 <p>付図 2-12 SSWICS 実験データと Lister/Epstein モデルのドライアウト熱流束の比較<sup>[12]</sup></p>		

付表 2-3 CCI 実験（二次元コンクリート侵食実験）条件一覧<sup>[12]</sup>

Parameter	Specification for Test:		
	CCI-1	CCI-2	CCI-3
Corium	PWR + 8 wt% SIL	PWR + 8 wt% LCS	PWR + 15 wt% SIL
Concrete type <sup>a</sup>	SIL (US-type)	LCS	SIL (EU-type)
Basemat cross-section	50 cm x 50 cm	50 cm x 50 cm	50 cm x 50 cm
Initial melt mass (depth)	400 kg (25 cm)	400 kg (25 cm)	375 kg (25 cm)
Test section sidewall construction	Nonelectrode walls: concrete Electrode walls: Inert	Nonelectrode walls: concrete Electrode walls: Inert	Nonelectrode walls: concrete Electrode walls: Inert
Lateral/Axial ablation limit	35/35 cm	35/35 cm	35/35 cm
System pressure	Atmospheric	Atmospheric	Atmospheric
Melt formation tech.	Chemical reaction (~30 s)	Chemical reaction (~30 s)	Chemical reaction (~30 s)
Initial melt temperature	1950 °C	1880 °C	1950 °C
Melt heating technique	DEH	DEH	DEH
Power supply operation prior to water addition	Constant @ 150 kW	Constant @ 120 kW	Constant @ 120 kW
Criteria for water addition	1) 5.5 hours of operation with DEH input, or 2) lateral/axial ablation reaches 30 cm	1) 5.5 hours of operation with DEH input, or 2) lateral/axial ablation reaches 30 cm	1) 5.5 hours of operation with DEH input, or 2) lateral/axial ablation reaches 30 cm
Inlet water flowrate/temp.	2 lps/20 °C	2 lps/20 °C	2 lps/20 °C
Water depth over melt	50 ± 5 cm	50 ± 5 cm	50 ± 5 cm
Power supply operation after water addition	Constant voltage	Constant voltage	Constant voltage
Test termination criteria	1) Melt temperature falls below concrete solidus, 2) ablation is arrested, or 3) 35 cm ablation limit is reached.	1) Melt temperature falls below concrete solidus, 2) ablation is arrested, or 3) 35 cm ablation limit is reached.	1) Melt temperature falls below concrete solidus, 2) ablation is arrested, or 3) 35 cm ablation limit is reached.
Operational Summary	Successful: non-symmetrical ablation behavior	Successful: symmetrical ablation behavior	Successful: symmetrical ablation behavior

<sup>a</sup>SIL denotes siliceous concrete, LCS denotes Limestone/Common Sand concrete.

泊発電所3号炉 有効性評価 比較表

付録3 重大事故等対策の有効性評価に係るシビアアクシデント解析コードについて（添付3 溶融炉心とコンクリートの相互作用について）

女川原子力発電所2号炉				泊発電所3号炉	相違理由																																																																
付表2-4 CCI 実験に使用されたコンクリートの組成 <sup>[12]</sup>																																																																					
<table border="1"> <thead> <tr> <th>Oxide</th> <th>CCI-1 Wt%</th> <th>CCI-2 Wt%</th> <th>CCI-3 Wt%</th> </tr> </thead> <tbody> <tr><td>Al<sub>2</sub>O<sub>3</sub></td><td>0.77</td><td>2.49</td><td>3.53</td></tr> <tr><td>CaO</td><td>8.54</td><td>25.88</td><td>16.79</td></tr> <tr><td>Fe<sub>2</sub>O<sub>3</sub></td><td>0.79</td><td>1.39</td><td>1.49</td></tr> <tr><td>MgO</td><td>0.60</td><td>11.47</td><td>0.85</td></tr> <tr><td>MnO</td><td>0.00</td><td>0.03</td><td>0.04</td></tr> <tr><td>K<sub>2</sub>O</td><td>0.12</td><td>0.55</td><td>0.81</td></tr> <tr><td>SiO<sub>2</sub></td><td>82.48</td><td>21.61</td><td>59.91</td></tr> <tr><td>Na<sub>2</sub>O</td><td>0.00</td><td>0.31</td><td>0.66</td></tr> <tr><td>SrO</td><td>0.00</td><td>0.00</td><td>0.04</td></tr> <tr><td>TiO<sub>2</sub></td><td>0.051</td><td>0.135</td><td>0.155</td></tr> <tr><td>SO<sub>3</sub></td><td>0.514</td><td>0.505</td><td>0.434</td></tr> <tr><td>CO<sub>2</sub></td><td>0.901</td><td>29.71</td><td>9.80</td></tr> <tr><td>H<sub>2</sub>O, Free</td><td>1.808</td><td>3.255</td><td>2.293</td></tr> <tr><td>H<sub>2</sub>O, Bound</td><td>1.92</td><td>1.11</td><td>1.40</td></tr> <tr><td>Total</td><td>98.48</td><td>98.47</td><td>98.19</td></tr> </tbody> </table>				Oxide	CCI-1 Wt%	CCI-2 Wt%	CCI-3 Wt%	Al <sub>2</sub> O <sub>3</sub>	0.77	2.49	3.53	CaO	8.54	25.88	16.79	Fe <sub>2</sub> O <sub>3</sub>	0.79	1.39	1.49	MgO	0.60	11.47	0.85	MnO	0.00	0.03	0.04	K <sub>2</sub> O	0.12	0.55	0.81	SiO <sub>2</sub>	82.48	21.61	59.91	Na <sub>2</sub> O	0.00	0.31	0.66	SrO	0.00	0.00	0.04	TiO <sub>2</sub>	0.051	0.135	0.155	SO <sub>3</sub>	0.514	0.505	0.434	CO <sub>2</sub>	0.901	29.71	9.80	H <sub>2</sub> O, Free	1.808	3.255	2.293	H <sub>2</sub> O, Bound	1.92	1.11	1.40	Total	98.48	98.47	98.19		
Oxide	CCI-1 Wt%	CCI-2 Wt%	CCI-3 Wt%																																																																		
Al <sub>2</sub> O <sub>3</sub>	0.77	2.49	3.53																																																																		
CaO	8.54	25.88	16.79																																																																		
Fe <sub>2</sub> O <sub>3</sub>	0.79	1.39	1.49																																																																		
MgO	0.60	11.47	0.85																																																																		
MnO	0.00	0.03	0.04																																																																		
K <sub>2</sub> O	0.12	0.55	0.81																																																																		
SiO <sub>2</sub>	82.48	21.61	59.91																																																																		
Na <sub>2</sub> O	0.00	0.31	0.66																																																																		
SrO	0.00	0.00	0.04																																																																		
TiO <sub>2</sub>	0.051	0.135	0.155																																																																		
SO <sub>3</sub>	0.514	0.505	0.434																																																																		
CO <sub>2</sub>	0.901	29.71	9.80																																																																		
H <sub>2</sub> O, Free	1.808	3.255	2.293																																																																		
H <sub>2</sub> O, Bound	1.92	1.11	1.40																																																																		
Total	98.48	98.47	98.19																																																																		
付表2-5 CCI 実験の側壁方向／床方向の侵食率と熱流束の推定値 <sup>[12]</sup>																																																																					
Test	Concr. Type	Lateral Ablation	Axial Ablation	Lateral-Axial Heat Flux Ratio	Data Points Utilized for Ablation Rate Estimates																																																																
CCI-1	SIL (US)	N: 39.1	395	26.1	N Lateral: (19.1 cm, 51 min) (29.2 cm, 66 min) S Lateral: (7.6 cm, 54 min) (5.1 cm, 35 min) Axial: (7.6 cm, 53 min) (1.3 cm, 39 min)																																																																
		S: 8.4	86																																																																		
CCI-2	LCS	4.0	58	4.0	Lateral: (19.1 cm, 148 min) (29.2 cm, 302 min) Axial: (15.2 cm, 107 min) (24.1 cm, 240 min)																																																																
CCI-3	SIL (EU)	10.0	97	2.5	Lateral: (19.1 cm, 47 min) (29.2 cm, 107 min) Axial: (2.5 cm, 117 min) (5.1 cm, 178 min)																																																																

<sup>a</sup>Heat flux ratio not evaluated for this test due to large asymmetry in lateral cavity erosion.

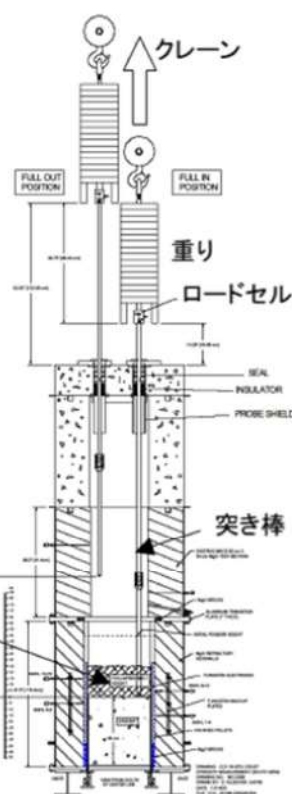
泊発電所3号炉 有効性評価 比較表

付録3 重大事故等対策の有効性評価に係るシビアアクシデント解析コードについて（添付3 溶融炉心とコンクリートの相互作用について）

女川原子力発電所2号炉	泊発電所3号炉	相違理由
 付図 2-13 CCI 実験のテスト部 <sup>[12]</sup>		

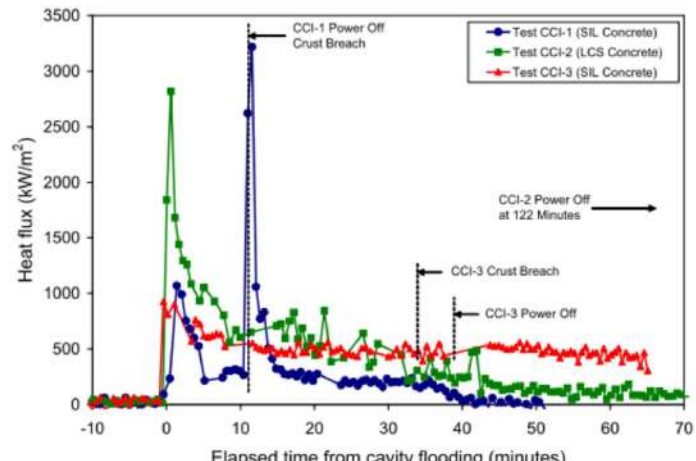
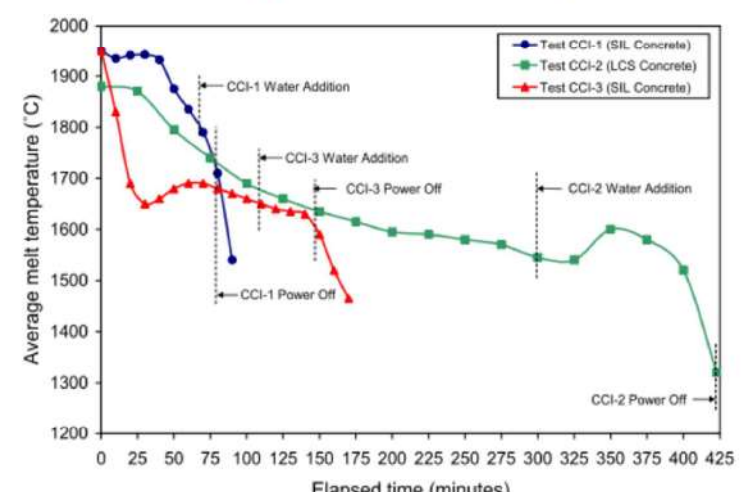
泊発電所3号炉 有効性評価 比較表

付録3 重大事故等対策の有効性評価に係るシビアアクシデント解析コードについて（添付3 溶融炉心とコンクリートの相互作用について）

女川原子力発電所2号炉	泊発電所3号炉	相違理由
 <p>付図 2-14 長期二次元侵食実験におけるクラスト破壊／強度測定装置<sup>[41]</sup></p>		

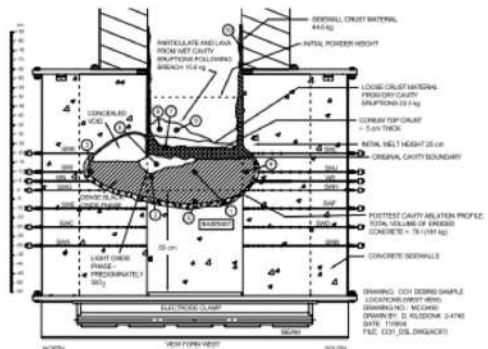
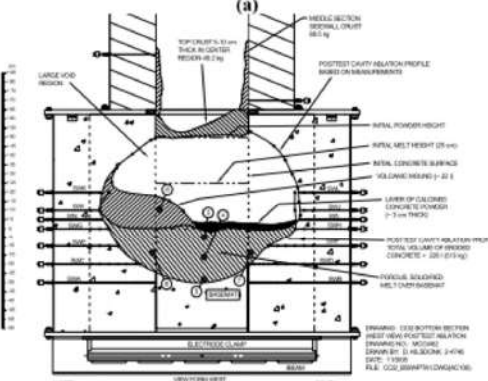
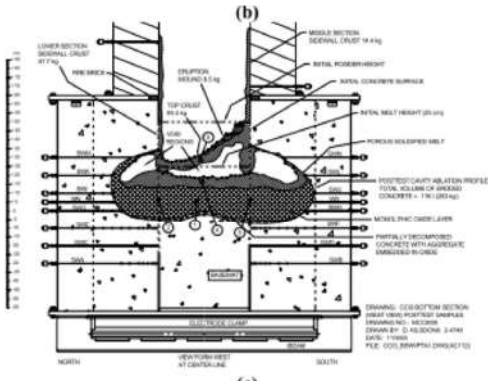
泊発電所3号炉 有効性評価 比較表

付録3 重大事故等対策の有効性評価に係るシビアアクシデント解析コードについて（添付3 溶融炉心とコンクリートの相互作用について）

女川原子力発電所2号炉	泊発電所3号炉	相違理由
 <p>付図 2-15 C C I 実験におけるデブリー水間の熱流束<sup>[12]</sup></p> <p>This graph shows heat flux (kW/m²) over time (minutes) for three CCI tests. The y-axis ranges from 0 to 3500 kW/m², and the x-axis ranges from -10 to 70 minutes. Three curves are shown: Test CCI-1 (SIL Concrete) in blue, Test CCI-2 (LCS Concrete) in green, and Test CCI-3 (SIL Concrete) in red. All curves show a sharp peak at approximately 0 minutes, followed by a gradual decline. The CCI-1 curve has a secondary peak around 12 minutes. Annotations indicate 'CCI-1 Power Off Crust Breach' at ~12 min, 'CCI-2 Power Off at 122 Minutes' at ~122 min, 'CCI-3 Crust Breach' at ~35 min, and 'CCI-3 Power Off' at ~40 min.</p>		
 <p>付図 2-16 C C I 実験における溶融物平均温度<sup>[12]</sup></p> <p>This graph shows average melt temperature (°C) over time (minutes) for three CCI tests. The y-axis ranges from 1200 to 2000 °C, and the x-axis ranges from 0 to 425 minutes. Three curves are shown: Test CCI-1 (SIL Concrete) in blue, Test CCI-2 (LCS Concrete) in green, and Test CCI-3 (SIL Concrete) in red. All curves show a sharp initial drop followed by a plateau. Annotations indicate 'CCI-1 Water Addition' at ~75 min, 'CCI-3 Water Addition' at ~125 min, 'CCI-3 Power Off' at ~145 min, 'CCI-2 Water Addition' at ~300 min, and 'CCI-2 Power Off' at ~425 min.</p>		

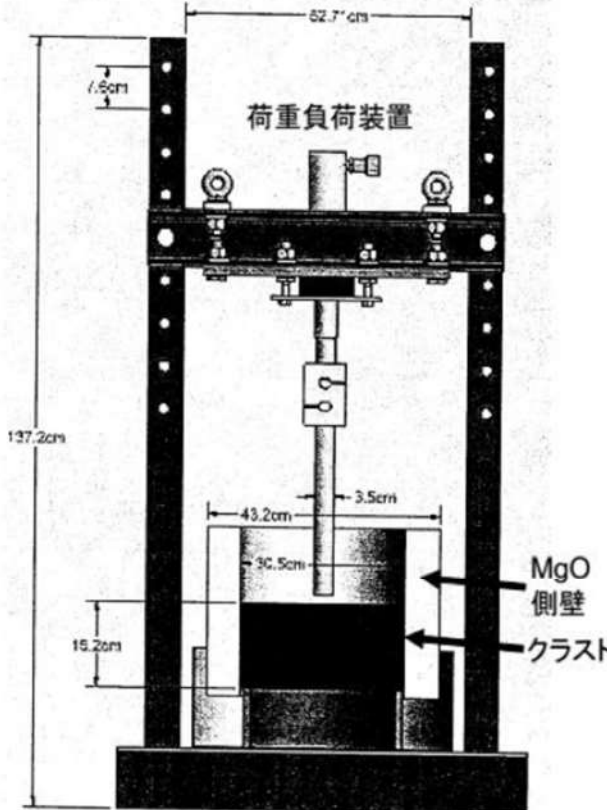
泊発電所3号炉 有効性評価 比較表

付録3 重大事故等対策の有効性評価に係るシビアアクシデント解析コードについて（添付3 溶融炉心とコンクリートの相互作用について）

女川原子力発電所2号炉	泊発電所3号炉	相違理由
   <p>(a) CCI-1, (b) CCI-2, (c) CCI-3</p> <p>付図 2-17 C C I 実験における侵食状態の模式図 [12]</p> <p>(a) CCI-1, (b) CCI-2, (c) CCI-3</p>		

泊発電所3号炉 有効性評価 比較表

付録3 重大事故等対策の有効性評価に係るシビアアクシデント解析コードについて（添付3 溶融炉心とコンクリートの相互作用について）

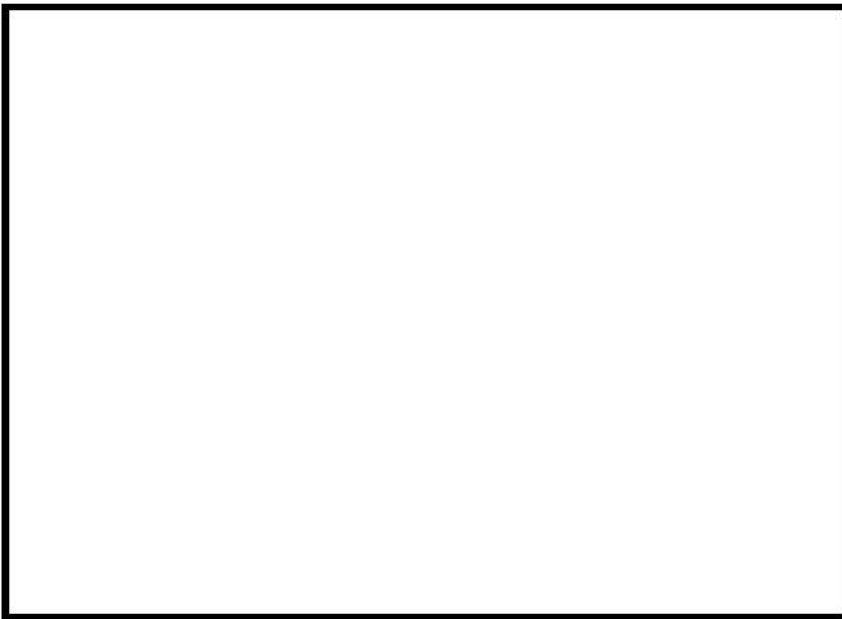
女川原子力発電所2号炉	泊発電所3号炉	相違理由
		

付図 2-18 クラスト浸水実験の実験後の低温クラスト強度測定装置<sup>[38]</sup>

赤字：設備、運用又は体制の相違（設計方針の相違）  
青字：記載箇所又は記載内容の相違（記載方針の相違）  
緑字：記載表現、設備名称の相違（実質的な相違なし）

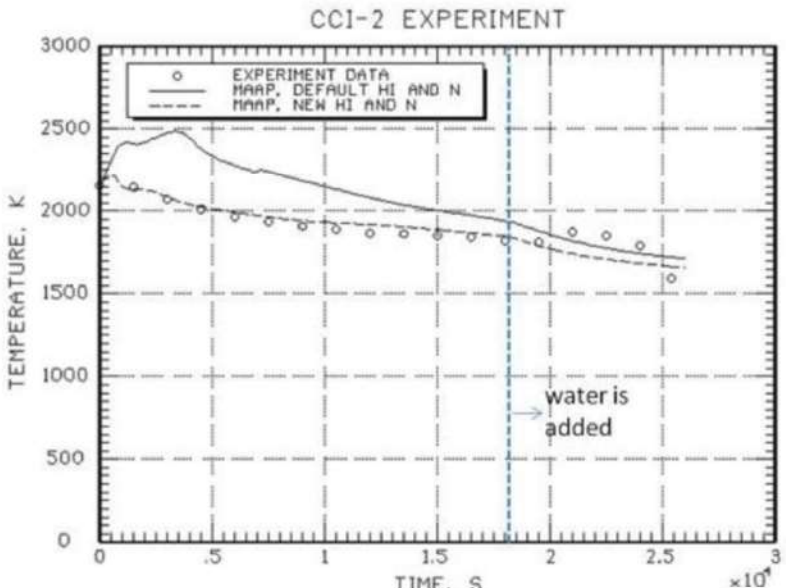
泊発電所3号炉 有効性評価 比較表

付録3 重大事故等対策の有効性評価に係るシビアアクシデント解析コードについて（添付3 溶融炉心とコンクリートの相互作用について）

女川原子力発電所2号炉	泊発電所3号炉	相違理由
<p>本資料のうち、枠囲みの内容は商業機密に 属しますので公開できません。</p>  <p>付図 2-19 溶融プールからクラストへの対流熱伝達係数</p>		

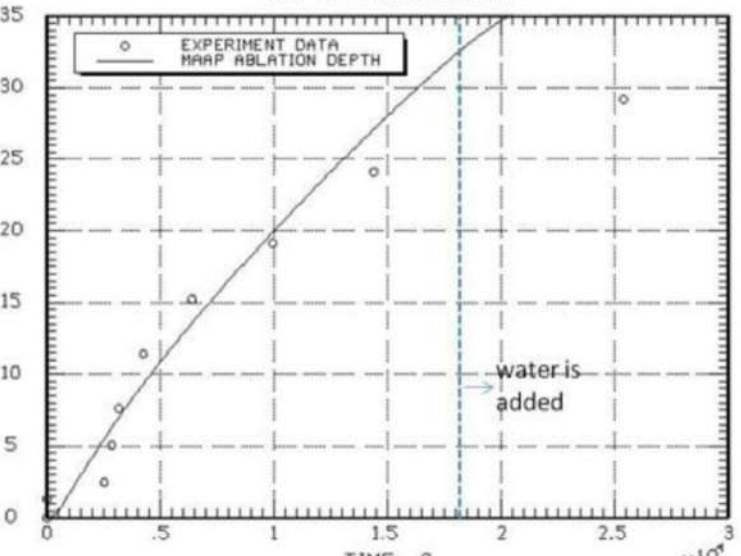
泊発電所3号炉 有効性評価 比較表

付録3 重大事故等対策の有効性評価に係るシビアアクシデント解析コードについて（添付3 溶融炉心とコンクリートの相互作用について）

女川原子力発電所2号炉	泊発電所3号炉	相違理由
 <p>付図 2-20 CCI-2 実験のコリウム温度の実験データと MAAP 解析結果の比較<sup>[35]</sup>      (MAAP New 熱伝達係数 (破線) : 床方向 300W/m<sup>2</sup>-K, 側壁方向 300W/m<sup>2</sup>-K, n=0)</p>		

泊発電所3号炉 有効性評価 比較表

付録3 重大事故等対策の有効性評価に係るシビアアクシデント解析コードについて（添付3 溶融炉心とコンクリートの相互作用について）

女川原子力発電所2号炉	泊発電所3号炉	相違理由																														
<p style="text-align: center;">CCI-2 EXPERIMENT</p>  <table border="1"> <caption>Data points estimated from the graph</caption> <thead> <tr> <th>Time (s)</th> <th>Axial Ablation Depth (cm)</th> </tr> </thead> <tbody> <tr><td>0.0</td><td>0.0</td></tr> <tr><td>0.2</td><td>2.0</td></tr> <tr><td>0.4</td><td>4.0</td></tr> <tr><td>0.6</td><td>6.0</td></tr> <tr><td>0.8</td><td>8.0</td></tr> <tr><td>1.0</td><td>10.0</td></tr> <tr><td>1.2</td><td>12.0</td></tr> <tr><td>1.4</td><td>14.0</td></tr> <tr><td>1.6</td><td>16.0</td></tr> <tr><td>1.8</td><td>18.0</td></tr> <tr><td>2.0</td><td>22.0</td></tr> <tr><td>2.2</td><td>26.0</td></tr> <tr><td>2.4</td><td>29.0</td></tr> <tr><td>2.6</td><td>31.0</td></tr> </tbody> </table> <p>付図 2-21 CCI-2 実験の床方向侵食の実験データとMAPP解析結果の比較<sup>[35]</sup></p>	Time (s)	Axial Ablation Depth (cm)	0.0	0.0	0.2	2.0	0.4	4.0	0.6	6.0	0.8	8.0	1.0	10.0	1.2	12.0	1.4	14.0	1.6	16.0	1.8	18.0	2.0	22.0	2.2	26.0	2.4	29.0	2.6	31.0		
Time (s)	Axial Ablation Depth (cm)																															
0.0	0.0																															
0.2	2.0																															
0.4	4.0																															
0.6	6.0																															
0.8	8.0																															
1.0	10.0																															
1.2	12.0																															
1.4	14.0																															
1.6	16.0																															
1.8	18.0																															
2.0	22.0																															
2.2	26.0																															
2.4	29.0																															
2.6	31.0																															

泊発電所3号炉 有効性評価 比較表

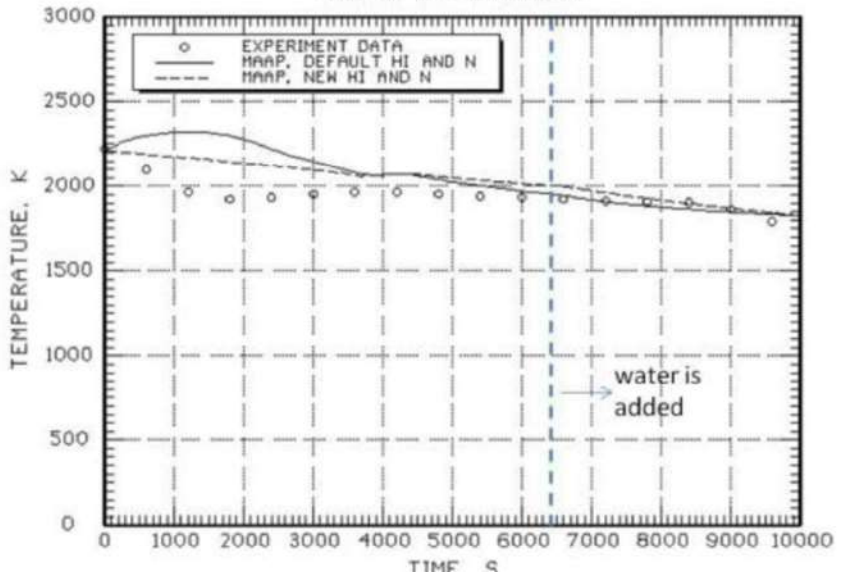
付録3 重大事故等対策の有効性評価に係るシビアアクシデント解析コードについて（添付3 溶融炉心とコンクリートの相互作用について）

女川原子力発電所2号炉	泊発電所3号炉	相違理由																																																
<p style="text-align: center;">CCI-2 EXPERIMENT</p> <table border="1"> <caption>Data extracted from Figure 2-22: CCI-2 Experiment</caption> <thead> <tr> <th>TIME, S</th> <th>EXPERIMENT, NORTH SIDE (cm)</th> <th>EXPERIMENT, SOUTH SIDE (cm)</th> <th>MAAP ABLATION DEPTH (cm)</th> </tr> </thead> <tbody> <tr><td>0.0</td><td>0.0</td><td>0.0</td><td>0.0</td></tr> <tr><td>0.2</td><td>2.0</td><td>1.0</td><td>1.0</td></tr> <tr><td>0.4</td><td>5.0</td><td>3.0</td><td>3.0</td></tr> <tr><td>0.6</td><td>8.0</td><td>5.0</td><td>5.0</td></tr> <tr><td>0.8</td><td>12.0</td><td>8.0</td><td>8.0</td></tr> <tr><td>1.0</td><td>15.0</td><td>12.0</td><td>12.0</td></tr> <tr><td>1.2</td><td>18.0</td><td>15.0</td><td>15.0</td></tr> <tr><td>1.4</td><td>22.0</td><td>18.0</td><td>18.0</td></tr> <tr><td>1.6</td><td>25.0</td><td>22.0</td><td>22.0</td></tr> <tr><td>1.8</td><td>28.0</td><td>25.0</td><td>25.0</td></tr> <tr><td>2.0</td><td>30.0</td><td>28.0</td><td>28.0</td></tr> </tbody> </table>	TIME, S	EXPERIMENT, NORTH SIDE (cm)	EXPERIMENT, SOUTH SIDE (cm)	MAAP ABLATION DEPTH (cm)	0.0	0.0	0.0	0.0	0.2	2.0	1.0	1.0	0.4	5.0	3.0	3.0	0.6	8.0	5.0	5.0	0.8	12.0	8.0	8.0	1.0	15.0	12.0	12.0	1.2	18.0	15.0	15.0	1.4	22.0	18.0	18.0	1.6	25.0	22.0	22.0	1.8	28.0	25.0	25.0	2.0	30.0	28.0	28.0		
TIME, S	EXPERIMENT, NORTH SIDE (cm)	EXPERIMENT, SOUTH SIDE (cm)	MAAP ABLATION DEPTH (cm)																																															
0.0	0.0	0.0	0.0																																															
0.2	2.0	1.0	1.0																																															
0.4	5.0	3.0	3.0																																															
0.6	8.0	5.0	5.0																																															
0.8	12.0	8.0	8.0																																															
1.0	15.0	12.0	12.0																																															
1.2	18.0	15.0	15.0																																															
1.4	22.0	18.0	18.0																																															
1.6	25.0	22.0	22.0																																															
1.8	28.0	25.0	25.0																																															
2.0	30.0	28.0	28.0																																															

付図 2-22 CCI-2 実験の側壁方向侵食の実験データとMAAP 解析結果の比較<sup>[36]</sup>

泊発電所3号炉 有効性評価 比較表

付録3 重大事故等対策の有効性評価に係るシビアアクシデント解析コードについて（添付3 溶融炉心とコンクリートの相互作用について）

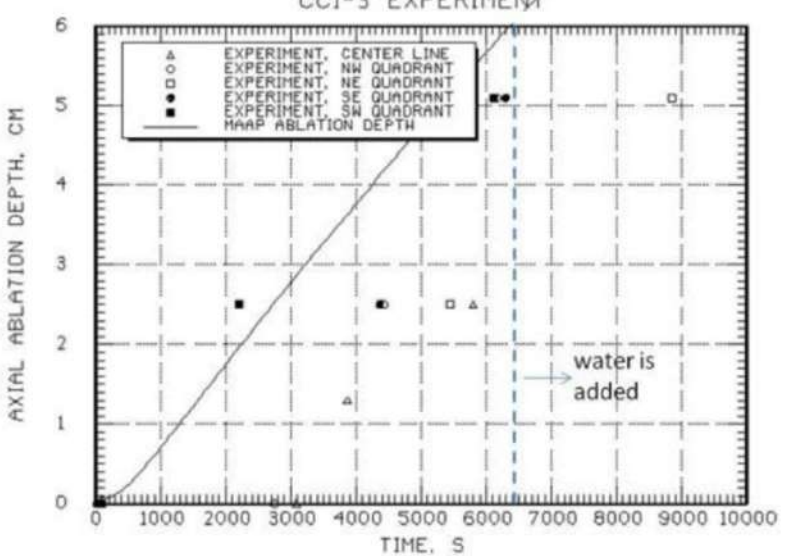
女川原子力発電所2号炉	泊発電所3号炉	相違理由
<p style="text-align: center;">CCI-3 EXPERIMENT</p>  <p>EXPERIMENT DATA          MAAP, DEFAULT HI AND N          MAAP, NEW HI AND N</p> <p>TEMPERATURE, K</p> <p>TIME, S</p> <p>water is added</p>		

付図2-23 CCI-3 実験のコリウム温度の実験データとMAAP解析結果の比較<sup>[35]</sup>

(MAAP New 熱伝達係数（破線）：床方向  $80\text{W/m}^2\text{-K}$ ，側壁方向  $300\text{W/m}^2\text{-K}$ ,  $n=0$ ）

泊発電所3号炉 有効性評価 比較表

付録3 重大事故等対策の有効性評価に係るシビアアクシデント解析コードについて（添付3 溶融炉心とコンクリートの相互作用について）

女川原子力発電所2号炉	泊発電所3号炉	相違理由
 <p>付図 2-24 CCI-3 実験の床方向侵食の実験データとMAAP解析結果の比較<sup>[35]</sup></p>		

泊発電所3号炉 有効性評価 比較表

付録3 重大事故等対策の有効性評価に係るシビアアクシデント解析コードについて（添付3 溶融炉心とコンクリートの相互作用について）

女川原子力発電所2号炉	泊発電所3号炉	相違理由
<p>付図 2-25 CCI-3 実験の側壁方向侵食の実験データとMAPP 解析結果の比較<sup>[35]</sup></p>		

泊発電所3号炉 有効性評価 比較表

付録3 重大事故等対策の有効性評価に係るシビアアクシデント解析コードについて（添付3 溶融炉心とコンクリートの相互作用について）

女川原子力発電所2号炉	泊発電所3号炉	相違理由
<p>付録3 溶融物の水中落下時の粒子化実験と解析モデル</p> <p>溶融物が水中に落下した場合の粒子化現象については、主に溶融炉心と冷却材の相互作用（FC I）を調べるために行われてきた。ここでは、以下の実験についての知見を述べる。</p> <p>(1) FARO 実験（イタリア JRC-ISPRA）  (2) COTELS-FCI 実験（日本 NUPEC）  (3) DEFOR 実験（スウェーデン KTH）</p> <p>また、MAAPコードでは、溶融炉心が原子炉圧力容器下部プレナム水等に落下する場合の粒子化割合を評価しており、Ricou-Spalding 相関式又は Saito の相関式が用いられている。ここではこれらの相関式の元になった実験についても説明する。</p> <p>(1) FARO 実験（イタリア JRC-ISPRA）<sup>[1][14]</sup></p> <p>主に原子炉圧力容器内で溶融物が炉心から下部プレナムの水プールに落下した場合の水蒸気爆発発生の可能性を調べることを目的とした実験で、当初は高圧での実験を対象としてきたが、後に低圧での実験が3ケース実施された。高圧実験装置の構成は、FARO るつぼと実験容器 TERMOS（内径：710mm、体積：1.5m<sup>3</sup>）である（付図3-1 参照）。低圧実験装置ではFATと呼ばれる実験容器の中に TERMOS と同一内径の円筒容器が置かれ、観測窓が設置された。実験手順は原則的に高圧実験も低圧実験も同様で、FARO るつぼで生成された溶融コリウムは一度リリースベッセルに保持し、その底部にあるフランプ又は弁を開放して溶融物を水プールに落下させる。高圧実験ではリリースベッセルは溶融物落下速度を調整するために加圧可能である。ほとんどの実験は酸化物コリウム（80wt%UO<sub>2</sub>+20wt%ZrO<sub>2</sub>）で実施され、テストL11のみが金属Zrを含むコリウム（77wt%UO<sub>2</sub>+19wt%ZrO<sub>2</sub>+4wt%Zr）が用いられた。また、多くの実験は高圧・飽和水条件で実施されたが、近年は低圧・サブクール水条件でも3ケース実施されてきている。主な実験パラメータは、初期圧力（0.2~6 MPa）、コリウム質量（18~177kg）、水深（87cm~2.05m）、サブクール度（飽和~124K）、コリウム組成（1ケースのみ金属Zrを4.1wt%追加）である（付表3-1 参照）</p> <p>実験からの主な知見は以下のとおりである。</p> <ul style="list-style-type: none"> <li>高圧・飽和水実験、低圧・サブクール実験の何れにおいても水蒸気爆発は発生していなかった。</li> <li>いずれの実験においても、コリウムの一部が粒子化し、一部はパンケーキ状としてプール底部に堆積した。プール水中に設置した熱電対の測定結果より、一部のコリウムはジェット状でプール底面に衝突したと推定されている（付図3-2 参照）。</li> <li>粒子化割合は、ほとんどの実験でプール水深に依存し、高圧飽和水実験の水深1m程度で落下コリウムの約50%が粒子化したが、コリウムに少量の金属Zr（4.1wt%）を添加した場合と低圧のサブクール水の実験では100%近くが粒子化した（付図3-3 参照）。</li> </ul>	【泊では本文3.に記載】	※3.1 (7) に記載

泊発電所3号炉 有効性評価 比較表

付録3 重大事故等対策の有効性評価に係るシビアアクシデント解析コードについて（添付3 溶融炉心とコンクリートの相互作用について）

女川原子力発電所2号炉	泊発電所3号炉	相違理由
<ul style="list-style-type: none"> <li>粒子の質量中央径は比較的大きく、3.2~4.8mmの範囲であり、実験パラメータ（初期圧力、水深、コリウム落下速度、サブクール度）に依存していない。</li> </ul>		

付表3-1 FARO 実験マトリックス<sup>[14]</sup>

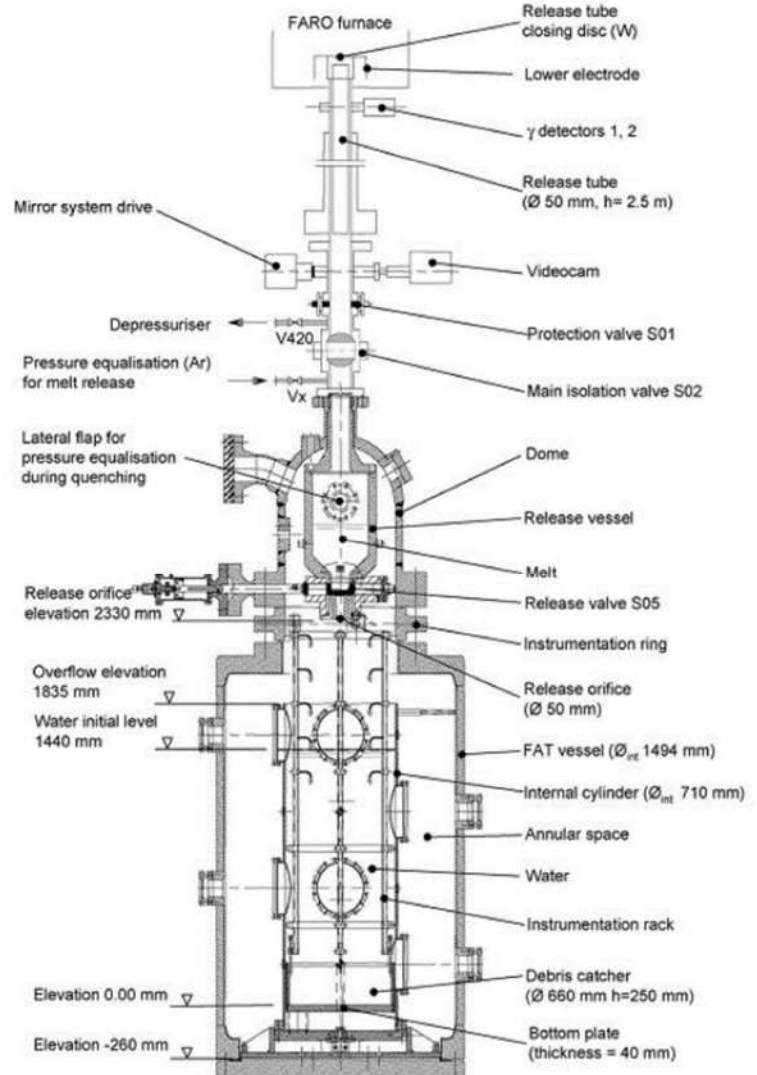
FARO LWR test series—main experimental conditions and debris data												
Test	L-06	L-08	L-11	L-14	L-19	L-20	L-24	L-27	L-28	L-29	L-31	L-33
<b>Experimental conditions</b>												
Cerium composition <sup>a</sup>	A	A	B	A	A	A	A	A	A	A	A	
Melt mass <sup>b</sup> (kg)	18	44	151	125	157	96	177	117	175	39	92	100 <sup>c</sup>
Melt temperature (K)	2923	3023	2823	3123	3073	3173	3023	3023	3052	3070	2990	3070
Melt release diameter <sup>d</sup> (mm)	100	100	100	100	100	100	100	100	50	50	50	50
Melt fall height in gas (m)	1.83	1.53	1.09	1.04	1.99	1.12	1.07	0.73	0.89	0.74	0.77	0.77
System pressure (MPa)	5	5.8	5	5	5	2	0.5	0.5	0.5	0.2	0.2	0.4
Gas phase	Steam/Ar	Steam/Ar	Steam/Ar	Steam/Ar	Steam <sup>e</sup>	Argon	Argon	Argon				
Water depth (m)	0.87	1.00	2.00	2.05	1.10	1.97	2.02	1.47	1.44	1.48	1.45	1.60
Water temperature (K)	539	536	535	537	536	486	425	424	424	297	291	293
Water subcooling (K)	0	12	2	0	1	0	0	1	1	97	104	124
Water Mass (kg)	120	255	608	623	330	660	719	536	517	492	481	625
<b>Debris bed data<sup>f</sup></b>												
Hard debris, cake (kg, %)	6, 33	14, 32	0, 0	20, 16	77, 49	21, 22	27, 16	26, 23	77, 48	39, 100	0, 0	8, 8
Loose debris (kg, %)	12, 67	30, 68	146, 100	105, 84	80, 51	73, 78	141, 84	70, 77	84, 52	0, 0	83, 100	89, 92
Mean loose debris size (mm)	4.5	3.8	3.5	4.8	3.7	4.4	2.6	Nd <sup>g</sup>	3.0	—	3.4	2.6 <sup>h</sup>

\* A: 80 wt % UO<sub>2</sub>-20 wt % ZrO<sub>2</sub>; B: 77 wt % UO<sub>2</sub>-19 wt % ZrO<sub>2</sub>-4 wt % Zr.

赤字：設備、運用又は体制の相違（設計方針の相違）  
 青字：記載箇所又は記載内容の相違（記載方針の相違）  
 緑字：記載表現、設備名称の相違（実質的な相違なし）

泊発電所3号炉 有効性評価 比較表

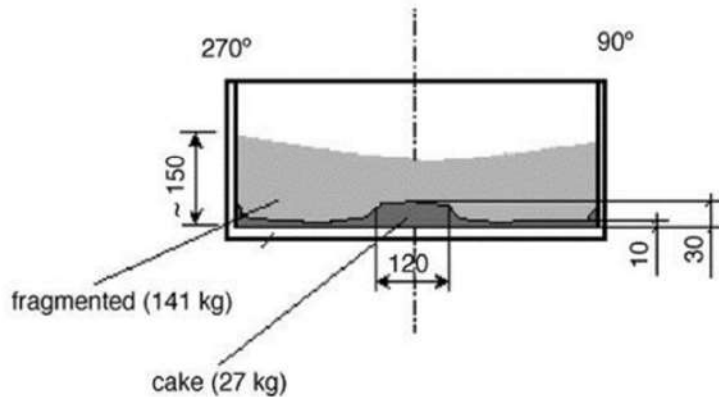
付録3 重大事故等対策の有効性評価に係るシビアアクシデント解析コードについて（添付3 溶融炉心とコンクリートの相互作用について）

女川原子力発電所2号炉	泊発電所3号炉	相違理由
 <p>付図 3-1 FARO 実験装置 (L-27 実験) [14]</p>		

赤字：設備、運用又は体制の相違（設計方針の相違）  
 青字：記載箇所又は記載内容の相違（記載方針の相違）  
 緑字：記載表現、設備名称の相違（実質的な相違なし）

泊発電所3号炉 有効性評価 比較表

付録3 重大事故等対策の有効性評価に係るシビアアクシデント解析コードについて（添付3 溶融炉心とコンクリートの相互作用について）

女川原子力発電所2号炉	泊発電所3号炉	相違理由
 <p>fragmented (141 kg)</p> <p>cake (27 kg)</p> <p>~150</p> <p>270°</p> <p>90°</p> <p>120</p> <p>10</p> <p>30</p>		

付図3-2 FARO L-24 実験後のデブリの堆積状態（数値単位 mm）<sup>[14]</sup>

赤字：設備、運用又は体制の相違（設計方針の相違）  
 青字：記載箇所又は記載内容の相違（記載方針の相違）  
 緑字：記載表現、設備名称の相違（実質的な相違なし）

泊発電所3号炉 有効性評価 比較表

付録3 重大事故等対策の有効性評価に係るシビアアクシデント解析コードについて（添付3 溶融炉心とコンクリートの相互作用について）

女川原子力発電所2号炉	泊発電所3号炉	相違理由
 <p>(a) View of the debris as found</p>   <p>(b) View of the cake after partial removal of loose debris      (c) View of blocks after breaking the cake</p> <p>付図3-3 FARO/L-33 実験後のデブリ取り出し段階ごとのデブリ状態<sup>[14]</sup>      (低圧、サブクール水)</p>		

泊発電所3号炉 有効性評価 比較表

付録3 重大事故等対策の有効性評価に係るシビアアクシデント解析コードについて（添付3 溶融炉心とコンクリートの相互作用について）

女川原子力発電所2号炉										泊発電所3号炉	相違理由
<p>(2) COTELS-FCI 実験（日本 NUPEC）<sup>[1][15]</sup></p> <p>本実験は、原子炉圧力容器外でのF C I 挙動を調べるために実施された。UO<sub>2</sub>混合物を溶融物として用い、その成分は原子炉内構造物のみならず、原子炉圧力容器下部ヘッド内の下部構造物も考慮して設定されている。付図 3-4 に COTELS-FCI 実験装置の概要を示す。実験装置は、UO<sub>2</sub>混合物を溶融させる電気炉とその下に溶融物と水との相互作用を調べるメルトレシーバより構成されている。電気炉は、グラファイト製るつぼと高周波誘導加熱コイルにより構成されている。グラファイト製るつぼは最高温度 3200K で、60kg の UO<sub>2</sub>混合物を加熱溶融可能である。るつぼ下部には、溶融物を落下させるための穴を設けるプラグ破壊装置が設置され、UO<sub>2</sub>混合物が溶融後、瞬時に直径 5 cm の穴が作ることが可能である。メルトレシーバは、高さ約 2.5m、外径約 90cm で円筒状をしており、メルトレシーバの中には、高さが可変のメルトキャッチャーが設置されており、メルトキャッチャーの高さを変化させることによりプール水深を変化させる実験を実施しており、雰囲気体積は変化させないように考慮されている。メルトキャッチャーの中心部は、実炉の格納容器床面を模擬するために厚さ 3 cm のコンクリートが設置され、溶融コリウム／水／コンクリート間の相互作用を調べることが可能となっている。なお、コンクリートの成分は日本と同じ玄武岩系である。実験マトリックスと主な結果を付表 3-2 に示す。</p>											※3.1 (8) に記載

付表 3-2 COTELS-FCI 実験マトリックス<sup>[1]</sup>

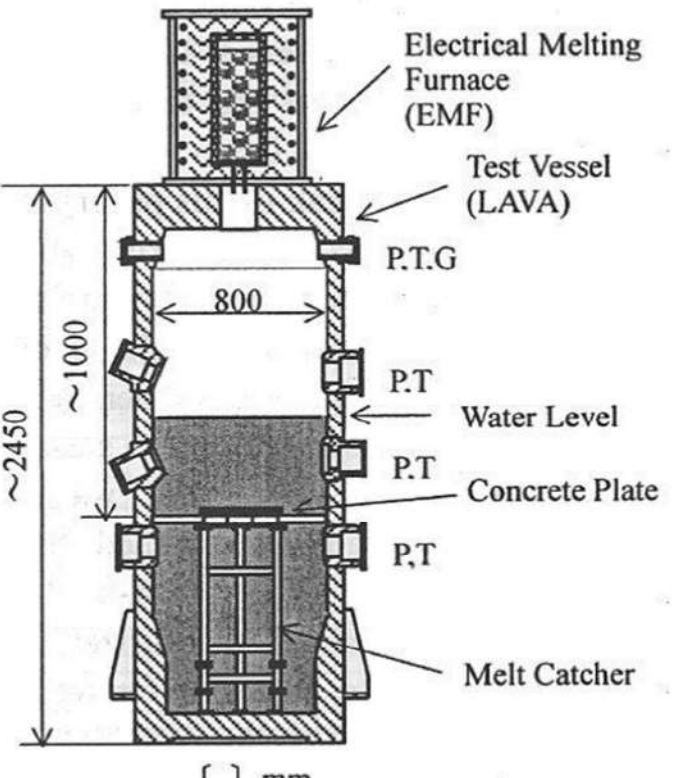
Run No.	A1	A4	A5	A6	A7	A8	A9	A10	A11
コリウム組成 (*1)	B	B	B	B	B	B	B	B	B
落下コリウム量, kg	56.3	27.0	55.4	53.1	24.9	47.7	57.1	55.0	53
プール水深, m	0.4	0.4	0.4	0.4	1.0	0.4	0.9	0.4	0.8
水サブクール度, K	0	8	12	21	0	21	0	21	86
初気圧, MPa	0.20	0.30	0.25	0.21	0.18	0.45	0.21	0.47	0.27
雰囲気ガス組成	Steam	Steam	Steam N <sub>2</sub> 20%	Steam	Steam	Steam	Steam	Steam	Ar
差圧, MPa (*2)	0.03	0.03	0.01	~0	~0	0.67(*3)	0.02	0.14	0.13
ピーク圧力, MPa	1.34	1.04	0.62	0.88	(*4)	1.83	0.92	3.85	1.08
インゴットコリウム, kg	5	2.5	4.2	6.5	0	0	3.8	0	4
質量中央径, mm	6.7	6.2	7.5	7.2	8.2	5.2	7.0	0.38	4.8

\*1)コリウム組成

B: UO<sub>2</sub>:55wt%+Zr:25%+ZrO<sub>2</sub>:5%+SS:15%

泊発電所3号炉 有効性評価 比較表

付録3 重大事故等対策の有効性評価に係るシビアアクシデント解析コードについて（添付3 溶融炉心とコンクリートの相互作用について）

女川原子力発電所2号炉	泊発電所3号炉	相違理由
 <p>P: Pressure, T: Temperature, G: Gas sampling line</p> <p>付図 3-4 COTELS-FCI 実験装置<sup>[15]</sup></p>		

泊発電所3号炉 有効性評価 比較表

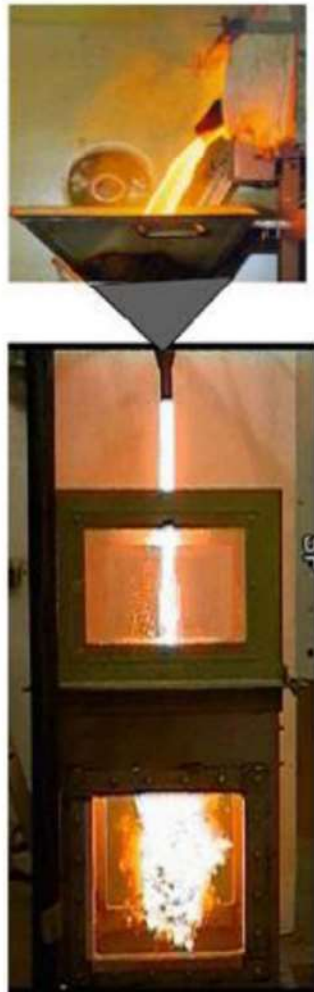
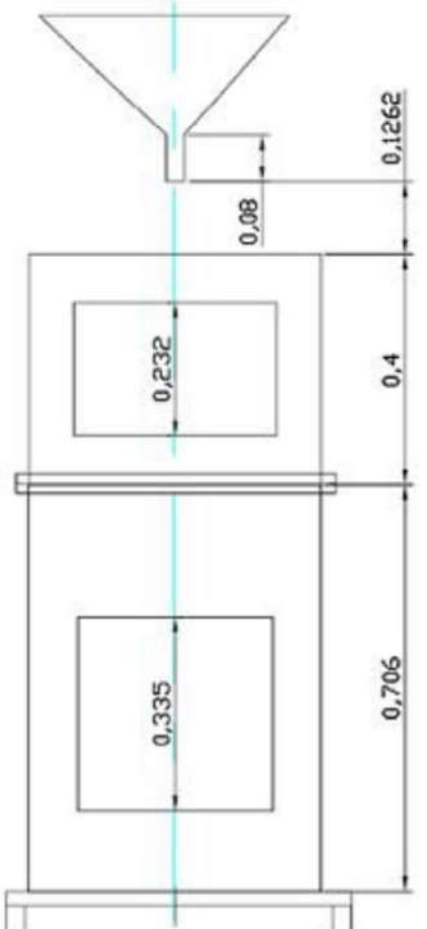
付録3 重大事故等対策の有効性評価に係るシビアアクシデント解析コードについて（添付3 溶融炉心とコンクリートの相互作用について）

女川原子力発電所2号炉	泊発電所3号炉	相違理由																																																															
<p>(3) DEFOR 実験（スウェーデン KTH）<sup>[16]</sup></p> <p>水張り時のデブリ冷却性を調べる目的で実施されている。溶融物の粒子化について、水サブクール、水深、メルト成分、過熱度等の影響を調べるために、溶融物の落下実験が実施されている。実験装置を付図3-5に示すが、上から、誘導加熱炉、メルト容器、冷却タンクより成り、冷却タンクはガラス張りで粒子化の観察が可能となっている。溶融物はメルト容器下部のノズルから重力落下により水中に落下する。DEFOR-E 実験の実験マトリックスを付表3-3に示すが、6ケースの溶融物はCaO-B<sub>2</sub>O<sub>3</sub>（密度 2500kg/m<sup>3</sup>）の酸化物が使用されており、1ケースはより重量の大きいW<sub>0.3</sub>-CaO（密度 5000～8000kg/m<sup>3</sup>）が使用されている。</p> <p>実験結果より、粒子化挙動は、水サブクールと水深の影響が大きいとしている。実験後のデブリ状態例を付図3-6に示すが、平均ポロシティは0.55～0.7程度と大きい値が得られている。主な結果を付表3-3に併せて示す。</p> <p style="text-align: center;">付表3-3 DEFOR-E 実験マトリックス<sup>[16]</sup></p> <p>Experimental conditions and the measured porosity in the DEFOR-E tests.</p> <table border="1" style="width: 100%; border-collapse: collapse; text-align: center;"> <thead> <tr> <th rowspan="2">Parameter/property</th> <th colspan="7">No.</th> </tr> <tr> <th>1</th> <th>2</th> <th>3</th> <th>4</th> <th>5</th> <th>6</th> <th>7</th> </tr> </thead> <tbody> <tr> <td>Melt volume, l</td> <td>3.5</td> <td>7.0</td> <td>3.5</td> <td>3.5</td> <td>3.5</td> <td>3.5</td> <td>2.5</td> </tr> <tr> <td>Melt initial temp., °C</td> <td>1200</td> <td>1300</td> <td>1350</td> <td>1350</td> <td>1200</td> <td>1250</td> <td>1280</td> </tr> <tr> <td>Coolant volume, l</td> <td>163</td> <td>163</td> <td>163</td> <td>100</td> <td>100</td> <td>163</td> <td>163</td> </tr> <tr> <td>Coolant initial temp., °C</td> <td>13</td> <td>11</td> <td>85</td> <td>15</td> <td>83</td> <td>88</td> <td>7</td> </tr> <tr> <td>Water pool depth, cm</td> <td>65</td> <td>65</td> <td>65</td> <td>40</td> <td>40</td> <td>65</td> <td>65</td> </tr> <tr> <td>Measured porosity, %</td> <td>60</td> <td>77</td> <td>74</td> <td>56</td> <td>50</td> <td>68</td> <td>65</td> </tr> </tbody> </table>	Parameter/property	No.							1	2	3	4	5	6	7	Melt volume, l	3.5	7.0	3.5	3.5	3.5	3.5	2.5	Melt initial temp., °C	1200	1300	1350	1350	1200	1250	1280	Coolant volume, l	163	163	163	100	100	163	163	Coolant initial temp., °C	13	11	85	15	83	88	7	Water pool depth, cm	65	65	65	40	40	65	65	Measured porosity, %	60	77	74	56	50	68	65		※3.1(10)に記載
Parameter/property		No.																																																															
	1	2	3	4	5	6	7																																																										
Melt volume, l	3.5	7.0	3.5	3.5	3.5	3.5	2.5																																																										
Melt initial temp., °C	1200	1300	1350	1350	1200	1250	1280																																																										
Coolant volume, l	163	163	163	100	100	163	163																																																										
Coolant initial temp., °C	13	11	85	15	83	88	7																																																										
Water pool depth, cm	65	65	65	40	40	65	65																																																										
Measured porosity, %	60	77	74	56	50	68	65																																																										

赤字：設備、運用又は体制の相違（設計方針の相違）  
 青字：記載箇所又は記載内容の相違（記載方針の相違）  
 緑字：記載表現、設備名称の相違（実質的な相違なし）

泊発電所 3号炉 有効性評価 比較表

付録3 重大事故等対策の有効性評価に係るシビアアクシデント解析コードについて（添付3 溶融炉心とコンクリートの相互作用について）

女川原子力発電所 2号炉	泊発電所 3号炉	相違理由
 <small>付図 3-5 DEFOR-E 実験装置<sup>[16]</sup></small>		

赤字：設備、運用又は体制の相違（設計方針の相違）  
青字：記載箇所又は記載内容の相違（記載方針の相違）  
緑字：記載表現、設備名称の相違（実質的な相違なし）

泊発電所3号炉 有効性評価 比較表

付録3 重大事故等対策の有効性評価に係るシビアアクシデント解析コードについて（添付3 溶融炉心とコンクリートの相互作用について）

女川原子力発電所2号炉	泊発電所3号炉	相違理由
 DEFOR-E1  DEFOR-E4  DEFOR-E7 付図3-6 DEFOR-E 実験後のデブリ状態 <sup>[16]</sup>		

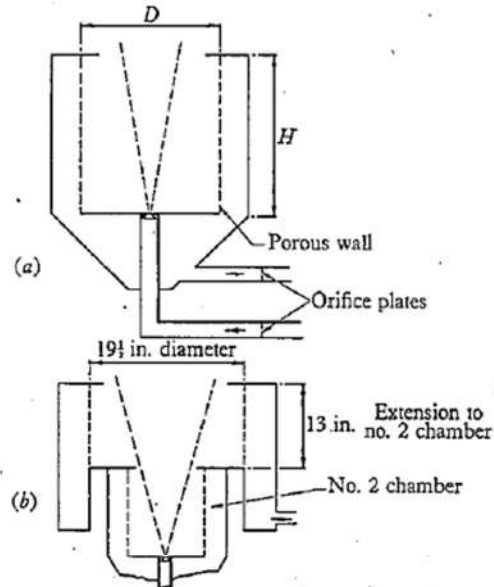
泊発電所3号炉 有効性評価 比較表

付録3 重大事故等対策の有効性評価に係るシビアアクシデント解析コードについて（添付3 溶融炉心とコンクリートの相互作用について）

女川原子力発電所2号炉	泊発電所3号炉	相違理由
<p>(4) 溶融物落下時の水中での粒子化割合の解析モデル</p> <p>水中落下時の溶融物の粒子化現象について、これまで種々の実験的研究が行われており、また粒子化割合については相関式も提案されている。ここでは、粒子化現象に関する相関式を用いて、溶融炉心ジェットのペデスタル水プールの条件に対する粒子化割合を評価した。相関式として、MAAPコードで使用されている以下の二つの式を用いて計算を行った。</p> <ul style="list-style-type: none"> <li>• Ricou-Spalding の相関式</li> <li>• Saito の相関式</li> </ul> <p>a) Ricou-Spalding の粒子化相関式<sup>[25][34]</sup></p> <p>Ricou-Spalding の相関式は、空気中へガスジェットを噴出させたエントレインメント実験から得られたもので（実験装置は付図 3-7 参照）、周囲の流体（空気）がガスジェットによってエントレインされ（巻き込まれ）、ジェット質量流量が距離とともに増加することを相関づけた整理式である。式の検証例を付図 3-8 に示す。</p> <p>これをメルトジェットのブレークアップに適用するため、周囲の流体（水）がメルトジェットにエントレインされると考え、そのエントレインされた分だけメルトジェットが侵食され粒子化するとして、円柱ジェットのエントレインメント速度（m/s）を、次式で与えている（付図 3-9 参照）。</p> $m_{ent} = E_o \left( \frac{\rho_w}{\rho_{aj}} \right)^{1/2} u_{aj}$ <p>ここで、 <math>E_o</math> : エントレインメント係数  <math>u_{aj}</math> : ジェット速度 [m/s]  <math>\rho_{aj}</math> : ジェット密度 [kg/m³]  <math>\rho_w</math> : 水密度 [kg/m³]</p>		※添付2 3. 2 (2) に記載

泊発電所3号炉 有効性評価 比較表

付録3 重大事故等対策の有効性評価に係るシビアアクシデント解析コードについて（添付3 溶融炉心とコンクリートの相互作用について）

女川原子力発電所2号炉	泊発電所3号炉	相違理由												
 <p>FIGURE 1. (a) Leading dimensions of three chambers.      (b) Dimensions of extension to no. 2 chamber.</p> <table border="1"> <caption>Entrainment chamber</caption> <thead> <tr> <th>No.</th> <th>1</th> <th>2</th> <th>3</th> </tr> </thead> <tbody> <tr> <td>H in.</td> <td>8.7</td> <td>13</td> <td>3</td> </tr> <tr> <td>D in.</td> <td>5.8</td> <td>8.9</td> <td>8.9</td> </tr> </tbody> </table> <p>付図3-7 Ricou-Spalding のエントレイメント実験装置<sup>[25]</sup></p>	No.	1	2	3	H in.	8.7	13	3	D in.	5.8	8.9	8.9		
No.	1	2	3											
H in.	8.7	13	3											
D in.	5.8	8.9	8.9											

泊発電所 3号炉 有効性評価 比較表

付録3 重大事故等対策の有効性評価に係るシビアアクシデント解析コードについて（添付3 溶融炉心とコンクリートの相互作用について）

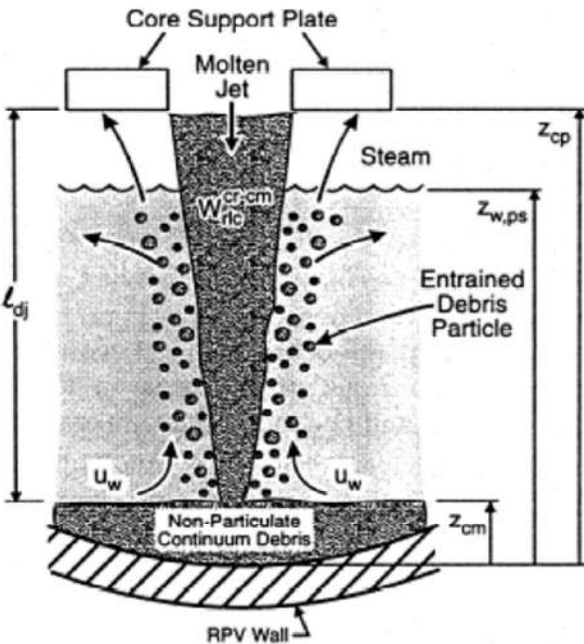
女川原子力発電所 2号炉	泊発電所 3号炉	相違理由
<p>Figure 5 is a scatter plot showing the entrainment rate <math>m/m_0</math> on the y-axis (ranging from 0 to 500) versus the dimensionless parameter <math>\frac{x}{d_0} \left( \frac{\rho_1}{\rho_0} \right)^{\frac{1}{2}}</math> on the x-axis (ranging from 0 to 1600). The data points are categorized by symbol: (a) solid circles for air into air; (b) plus signs for propane and carbon dioxide into air; (c) open circles for hydrogen into air; and (d) triangles for entrainment chamber inverted. A regression line is drawn through the data points, labeled with the equation:</p> $\frac{m}{m_0} = 0.32 \times \frac{x}{d_0} \left( \frac{\rho_1}{\rho_0} \right)^{\frac{1}{2}}$		

FIGURE 5. Entrainment rate for isothermal jets. Experimental results: (a) ●, air into air; (b) +, propane and carbon dioxide into air; (c), ○, hydrogen into air; (△, entrainment chamber inverted).

付図 3-8 Ricou-Spalding の相關式の検証例<sup>[25]</sup>

泊発電所3号炉 有効性評価 比較表

付録3 重大事故等対策の有効性評価に係るシビアアクシデント解析コードについて（添付3 溶融炉心とコンクリートの相互作用について）

女川原子力発電所2号炉	泊発電所3号炉	相違理由
 <p>Fig. 3. Molten debris jet breakup and quenching.</p> <p>付図3-9 溶融デブリのジェットブレークアップとクエンチの概念<sup>[34]</sup></p>		

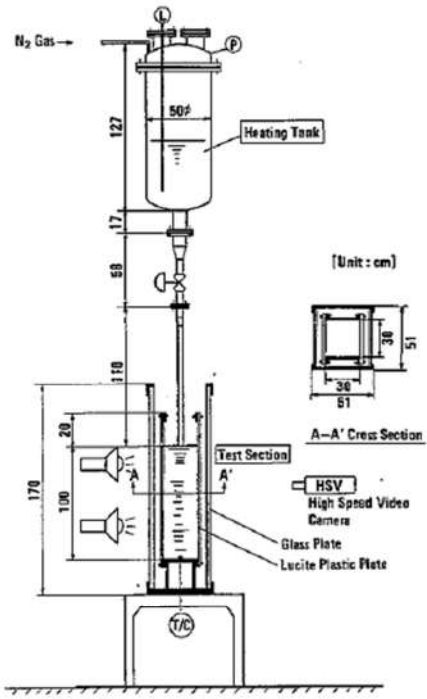
泊発電所3号炉 有効性評価 比較表

付録3 重大事故等対策の有効性評価に係るシビアアクシデント解析コードについて（添付3 溶融炉心とコンクリートの相互作用について）

女川原子力発電所2号炉	泊発電所3号炉	相違理由
<p>b) Saito の相関式<sup>[26]</sup></p> <p>フレオン 11 あるいは液体窒素の中に高温水ジェットを吹き込む実験により、ジェットのブレークアップ長さに関する相関式を導出している。実験装置を付図 3-10 に示す。実験条件は、ノズル直径 5～40mm、ジェット速度 2.5～15m/s である。実験結果は、付図 3-11 にまとめられ、それに基づき下記相関式が導かれた。</p> $\frac{L}{D_j} = 2.1 \times \left( \frac{\rho_j}{\rho_c} \right)^{0.5} \times F_r^{0.5}$ <p>ここで、 <math>F_r</math> : フルード数 <math>= \frac{V_j^2}{(g \times D_j)}</math></p> <p><math>L</math> : ジェットのブレークアップ長さ [m]  <math>D_j</math> : ジェット直径 [m]  <math>\rho_j</math> : ジェット密度 [kg/m<sup>3</sup>]  <math>\rho_c</math> : 冷却材密度 [kg/m<sup>3</sup>]  <math>V_j</math> : ジェット速度 [m/s]  <math>g</math> : 重力加速度 [m/s<sup>2</sup>]</p>		

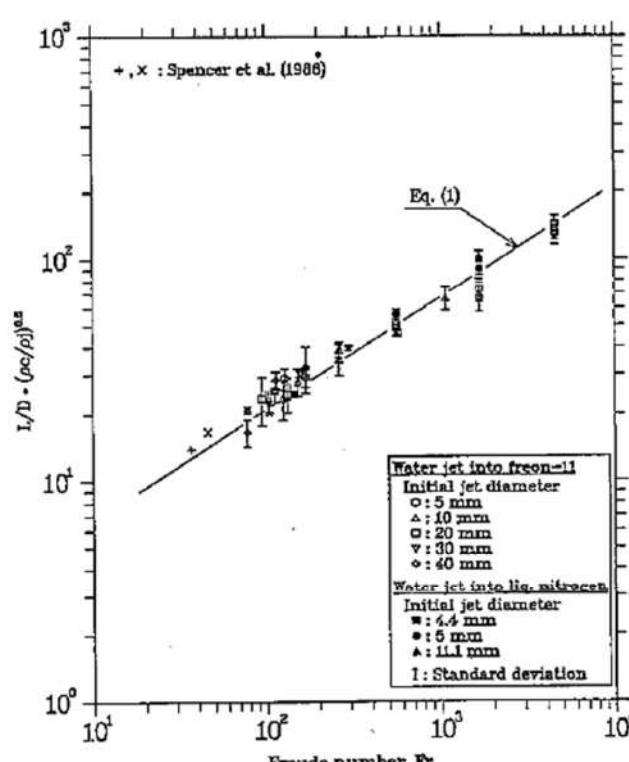
泊発電所3号炉 有効性評価 比較表

付録3 重大事故等対策の有効性評価に係るシビアアクシデント解析コードについて（添付3 溶融炉心とコンクリートの相互作用について）

女川原子力発電所2号炉	泊発電所3号炉	相違理由
 <p>Fig. 1 JET-I experimental facility</p> <p>付図 3-10 Saito らの実験装置<sup>[33]</sup></p>		

泊発電所3号炉 有効性評価 比較表

付録3 重大事故等対策の有効性評価に係るシビアアクシデント解析コードについて（添付3 溶融炉心とコンクリートの相互作用について）

女川原子力発電所2号炉	泊発電所3号炉	相違理由
 <p>Fig. 8 Experimental correlation for jet mean penetration length</p> <p>付図 3-11 Saito らの実験結果<sup>[33]</sup></p>		

泊発電所3号炉 有効性評価 比較表

付録3 重大事故等対策の有効性評価に係るシビアアクシデント解析コードについて（添付3 溶融炉心とコンクリートの相互作用について）

女川原子力発電所2号炉	泊発電所3号炉	相違理由
<p>c) 相関式の適用性に関する検討<sup>[33]</sup></p> <p>Ricou-Spalding の相関式は、ガスジェットの空気中でのガス巻き込み現象に基づき作成された相関式であるため、溶融炉心物質ジェットの水中での粒子化現象への適用性の確認のため、ALPHA-MJB 実験、FARO-TERMOS 実験を対象に比較計算された結果を示す。</p> <p>あわせて Saito の相関式との比較も示す。Saito の相関式ではジェットのブレークアップ長さが与えられるので、ジェットの突入から消滅までジェット径が直線的に減少すると仮定して粒子化割合が求められている。</p> <p>(a) ALPHA-MJB 実験</p> <p>水中に鉛一ピスマスの溶融物を落下させた実験であり、密度や速度といった計算条件は付表 3-4 の値が用いられている。実験結果と計算結果の比較を付図 3-12 及び付図 3-13 に示す。実験結果は、ジェットブレークアップ長さとして記載されている水深を、粒子化割合 100% として記す。Ricou-Spalding 相関式における係数 <math>E_0</math> の値は、MAAP 推奨値 <span style="background-color: black; color: black;">[REDACTED]</span> を使用することで、実験結果及び Saito の相関式とよく一致する結果が得られている。</p> <div style="border: 1px solid black; padding: 5px; margin-top: 10px;"> <p>本資料のうち、枠囲みの内容は商業機密に 属しますので公開できません。</p> </div>		

泊発電所3号炉 有効性評価 比較表

付録3 重大事故等対策の有効性評価に係るシビアアクシデント解析コードについて（添付3 溶融炉心とコンクリートの相互作用について）

女川原子力発電所2号炉					泊発電所3号炉	相違理由
付表3-4 ALPHA-MJB 実験の検証解析条件 <sup>[33]</sup>						
ケース	溶融物密度 (kg/m <sup>3</sup> )	水密度 (kg/m <sup>3</sup> )	ジェット径 (m)	ジェット速度 (m/s)		
MJB01	10453	958	0.03	3.05		
MJB02	↑	↑	0.021	2.86		
(補足) 溶融物密度は鉛－ビスマス 500K での値を使用						
						
付図3-12 ALPHA-MJB01 実験結果との比較 <sup>[33]</sup>						
本資料のうち、枠囲みの内容は商業機密に属しますので公開できません。						

泊発電所3号炉 有効性評価 比較表

付録3 重大事故等対策の有効性評価に係るシビアアクシデント解析コードについて（添付3 溶融炉心とコンクリートの相互作用について）

女川原子力発電所2号炉	泊発電所3号炉	相違理由
<p>付図 3-13 ALPHA-MJB02 実験結果との比較<sup>[33]</sup></p> <p>(b) FARO-TERMOS 実験</p> <p>水中に実機燃料組成を模擬した溶融物を落下させた実験であり、密度、速度等の条件は付表 3-5 の値が用いられている。実験結果と計算結果の比較を付図 3-14、付図 3-15、付図 3-16、付図 3-17、付図 3-18 及び付図 3-19 に示す。実験結果は水プール水深に対する粒子化割合として示されている。計算結果は、実験結果とよく合っているか粒子化割合を小さく評価している。なお、Ricou-Spalding 相関式における係数 E_0 の値は  が使用されている。</p> <p>付表 3-5 FARO-TERMOS 実験の検証解析条件<sup>[33]</sup></p>		

本資料のうち、枠囲みの内容は商業機密に  
属しますので公開できません。

赤字：設備、運用又は体制の相違（設計方針の相違）  
青字：記載箇所又は記載内容の相違（記載方針の相違）  
緑字：記載表現、設備名称の相違（実質的な相違なし）

泊発電所3号炉 有効性評価 比較表

付録3 重大事故等対策の有効性評価に係るシビアアクシデント解析コードについて（添付3 溶融炉心とコンクリートの相互作用について）

女川原子力発電所2号炉	泊発電所3号炉	相違理由
		
付図 3-14 FARO-L06 実験結果との比較 <sup>[33]</sup>		
		
付図 3-15 FARO-L08 実験結果との比較 <sup>[33]</sup>		
<p>本資料のうち、枠囲みの内容は商業機密に 属しますので公開できません。</p>		

赤字：設備、運用又は体制の相違（設計方針の相違）  
青字：記載箇所又は記載内容の相違（記載方針の相違）  
緑字：記載表現、設備名称の相違（実質的な相違なし）

泊発電所3号炉 有効性評価 比較表

付録3 重大事故等対策の有効性評価に係るシビアアクシデント解析コードについて（添付3 溶融炉心とコンクリートの相互作用について）

女川原子力発電所2号炉	泊発電所3号炉	相違理由
		
付図 3-16 FARO-L11 実験結果との比較 <sup>[33]</sup>		
		
付図 3-17 FARO-L14 実験結果との比較 <sup>[33]</sup>		
<p>本資料のうち、枠囲みの内容は商業機密に 属しますので公開できません。</p>		

赤字：設備、運用又は体制の相違（設計方針の相違）  
青字：記載箇所又は記載内容の相違（記載方針の相違）  
緑字：記載表現、設備名称の相違（実質的な相違なし）

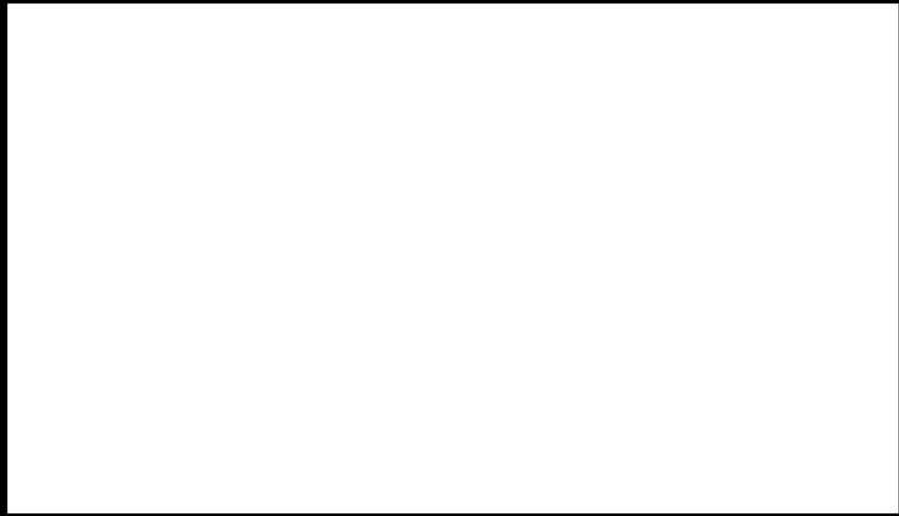
泊発電所3号炉 有効性評価 比較表

付録3 重大事故等対策の有効性評価に係るシビアアクシデント解析コードについて（添付3 溶融炉心とコンクリートの相互作用について）

女川原子力発電所2号炉	泊発電所3号炉	相違理由
付図 3-18 FARO-L19 実験結果との比較 <sup>[33]</sup> 		
付図 3-19 FARO-L20 実験結果との比較 <sup>[33]</sup> <div style="border: 1px solid black; padding: 5px;"><p>本資料のうち、枠囲みの内容は商業機密に 属しますので公開できません。</p></div>		

泊発電所3号炉 有効性評価 比較表

付録3 重大事故等対策の有効性評価に係るシビアアクシデント解析コードについて（添付3 溶融炉心とコンクリートの相互作用について）

女川原子力発電所2号炉	泊発電所3号炉	相違理由
<p>d) 格納容器ペデスタル水張り水深に対する粒子化割合の評価<sup>[33]</sup>  Ricou-Spalding の相関式及び Saito の相関式に基づき、大気圧飽和状態の水プールを想定し、水深とジェット直径及びジェット速度をパラメータとして粒子化割合を整理されたものを付図 3-20、付図 3-21 及び付図 3-22 に示す。</p>  <p>付図 3-20 Ricou-Spalding 相関式による粒子化割合のマップ<sup>[33]</sup></p> <div style="border: 1px solid black; padding: 5px;"> <p>本資料のうち、枠囲みの内容は商業機密に属しますので公開できません。</p> </div>		

赤字：設備、運用又は体制の相違（設計方針の相違）  
青字：記載箇所又は記載内容の相違（記載方針の相違）  
緑字：記載表現、設備名称の相違（実質的な相違なし）

泊発電所3号炉 有効性評価 比較表

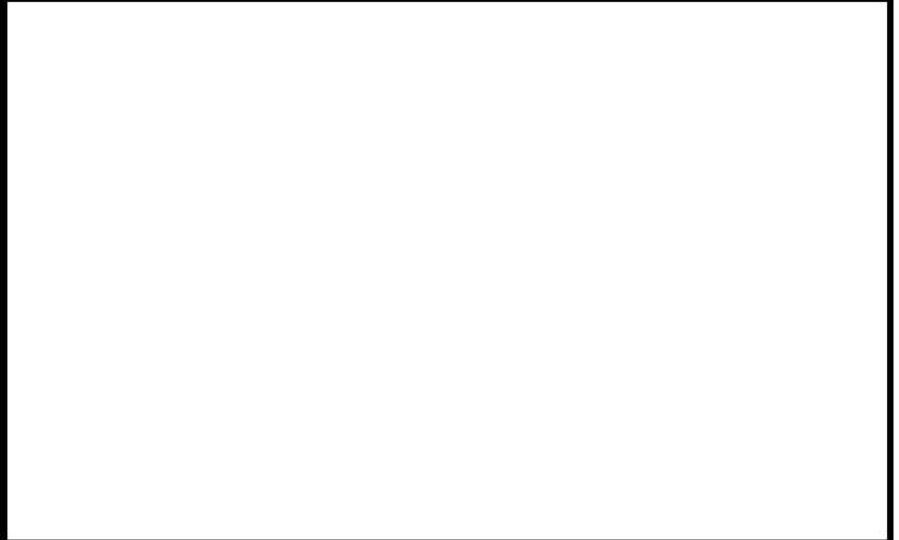
付録3 重大事故等対策の有効性評価に係るシビアアクシデント解析コードについて（添付3 溶融炉心とコンクリートの相互作用について）

女川原子力発電所2号炉	泊発電所3号炉	相違理由
 <p>付図3-21 Saito の相関式による粒子化割合のマップ (<math>V_j=5.0\text{m/s}</math>) [33]</p> <p>本資料のうち、枠囲みの内容は商業機密に 属しますので公開できません。</p>		

赤字：設備、運用又は体制の相違（設計方針の相違）  
青字：記載箇所又は記載内容の相違（記載方針の相違）  
緑字：記載表現、設備名称の相違（実質的な相違なし）

泊発電所3号炉 有効性評価 比較表

付録3 重大事故等対策の有効性評価に係るシビアアクシデント解析コードについて（添付3 溶融炉心とコンクリートの相互作用について）

女川原子力発電所2号炉	泊発電所3号炉	相違理由
 <p>付図3-22 Saito の相関式による粒子化割合のマップ (<math>V_j=10.0\text{m/s}</math>) [33]</p> <p>本資料のうち、枠囲みの内容は商業機密に属しますので公開できません。</p>		

泊発電所3号炉 有効性評価 比較表

付録3 重大事故等対策の有効性評価に係るシビアアクシデント解析コードについて（添付3 溶融炉心とコンクリートの相互作用について）

女川原子力発電所2号炉	泊発電所3号炉	相違理由																																																		
<p>付録4 溶融物の拡がり実験</p> <p>溶融物の拡がり挙動に関して、付表4-1に示す実験的研究が実施されている。この中で水が存在する場合の溶融物の拡がりに関する主要な知見について以下に整理する。</p> <p>付表4-1 溶融物拡がりに関する主な実験<sup>[27]</sup></p> <table border="1" style="width: 100%; border-collapse: collapse; text-align: center;"> <thead> <tr> <th>実験名</th><th>実施国</th><th>拡がり形状</th><th>溶融物</th><th>その他</th></tr> </thead> <tbody> <tr> <td>BNL<sup>[18]</sup></td><td>米国</td><td>2D</td><td>Pb</td><td>ドライ、ウェット</td></tr> <tr> <td>SPREAD<sup>[19]</sup></td><td>日本</td><td>1D, 2D</td><td>ステンレススチール</td><td>ドライ、ウェット</td></tr> <tr> <td>CORINE<sup>[36]</sup></td><td>フランス</td><td>2D</td><td>グリセロール他</td><td>ドライ、ウェット</td></tr> <tr> <td>VULCANO</td><td>フランス</td><td>2D</td><td>コリウム</td><td>ドライ</td></tr> <tr> <td>KATS<sup>[23]</sup></td><td>ドイツ</td><td>1D, 2D</td><td>テルミット</td><td>ドライ、ウェット</td></tr> <tr> <td>COMAS</td><td>ドイツ</td><td>1D, 2D</td><td>コリウム</td><td>ドライ</td></tr> <tr> <td>ISPRRA</td><td>EU JRAC</td><td>2D</td><td>コリウム</td><td>ドライ</td></tr> <tr> <td>S3E<sup>[27]</sup></td><td>スウェーデン</td><td>1D, 2D</td><td>模擬物（ウッズメタル等）</td><td>ドライ、ウェット</td></tr> <tr> <td>PULiMS<sup>[21]</sup></td><td></td><td>2D</td><td>模擬物(B<sub>2</sub>O<sub>3</sub>-W<sub>0</sub><sub>3</sub>等)</td><td>ウェット</td></tr> </tbody> </table> <p>(1) Mark-I型格納容器のシェルアタックに関する研究<sup>[17][18][19][20]</sup></p> <p>Mark-I型格納容器のシェルアタックに関してROAAM手法による確率論的評価<sup>[17]</sup>が行われており、その中で水張り時のデブリの拡がりの評価が行われている。溶融物拡がり挙動解析には、MELTSPREADコードが使用されている。溶融物の拡がり挙動には、溶融物落下流量、溶融物成分、溶融物過熱度が主に影響するとされている。</p> <p>米国BNLでは、溶融物として鉛を使用した小規模な拡がり実験を、ドライ条件とウェット条件で行っている<sup>[18]</sup>。溶融物の過熱度と水深が、デブリ拡がり挙動において重要であること、溶融物の拡がりは、水への熱伝達による溶融物の温度挙動と、溶融物の流体力学的挙動により制限されることが示されている。</p>	実験名	実施国	拡がり形状	溶融物	その他	BNL <sup>[18]</sup>	米国	2D	Pb	ドライ、ウェット	SPREAD <sup>[19]</sup>	日本	1D, 2D	ステンレススチール	ドライ、ウェット	CORINE <sup>[36]</sup>	フランス	2D	グリセロール他	ドライ、ウェット	VULCANO	フランス	2D	コリウム	ドライ	KATS <sup>[23]</sup>	ドイツ	1D, 2D	テルミット	ドライ、ウェット	COMAS	ドイツ	1D, 2D	コリウム	ドライ	ISPRRA	EU JRAC	2D	コリウム	ドライ	S3E <sup>[27]</sup>	スウェーデン	1D, 2D	模擬物（ウッズメタル等）	ドライ、ウェット	PULiMS <sup>[21]</sup>		2D	模擬物(B <sub>2</sub> O <sub>3</sub> -W <sub>0</sub> <sub>3</sub> 等)	ウェット	<p>泊発電所3号炉</p> <p>添付3-1 溶融炉心の水中での拡がり評価について</p> <p>1.はじめに 溶融炉心が原子炉下部キャビティ水中に落下した場合、実機条件では水深に対するジェット径が相対的に大きいため、落下過程において溶融炉心の一部は細粒化するものの、その大部分が連続層として水中に堆積すると考えられる。本資料では、水中での溶融炉心の拡がり挙動について説明し、実機に適用した場合の評価について説明する。</p>	<p>※BWR特有の評価</p>
実験名	実施国	拡がり形状	溶融物	その他																																																
BNL <sup>[18]</sup>	米国	2D	Pb	ドライ、ウェット																																																
SPREAD <sup>[19]</sup>	日本	1D, 2D	ステンレススチール	ドライ、ウェット																																																
CORINE <sup>[36]</sup>	フランス	2D	グリセロール他	ドライ、ウェット																																																
VULCANO	フランス	2D	コリウム	ドライ																																																
KATS <sup>[23]</sup>	ドイツ	1D, 2D	テルミット	ドライ、ウェット																																																
COMAS	ドイツ	1D, 2D	コリウム	ドライ																																																
ISPRRA	EU JRAC	2D	コリウム	ドライ																																																
S3E <sup>[27]</sup>	スウェーデン	1D, 2D	模擬物（ウッズメタル等）	ドライ、ウェット																																																
PULiMS <sup>[21]</sup>		2D	模擬物(B <sub>2</sub> O <sub>3</sub> -W <sub>0</sub> <sub>3</sub> 等)	ウェット																																																

## 泊発電所3号炉 有効性評価 比較表

付録3 重大事故等対策の有効性評価に係るシビアアクシデント解析コードについて（添付3 溶融炉心とコンクリートの相互作用について）

赤字：設備、運用又は体制の相違（設計方針の相違）  
 青字：記載箇所又は記載内容の相違（記載方針の相違）  
 緑字：記載表現、設備名称の相違（実質的な相違なし）

女川原子力発電所2号炉	泊発電所3号炉	相違理由
<p style="text-align: center;"><b>【比較のため掲載順を入れ替えた】</b></p> <p>(3) KTHの溶融物拡がり研究<sup>[21][27]</sup></p> <p>また、水中での溶融物拡がり挙動を調べる PULiMS 実験<sup>[21]</sup>が実施されている。この実験では、浅い水プール（水深 20cm）へ溶融した <math>\text{Bi}_2\text{O}_3\text{-W}_0_3</math> 合金を流入させ、その拡がり挙動が観察された。実験装置を付図 4-7 に示し、実験条件を付表 4-4 に示す。水中へ流入した溶融物の拡がりの様子を付図 4-8 に示す。また、固化したデブリ層の性状を付図 4-9 に示す。固化したデブリ層は 3 層を形成し、デブリ層下面とコンクリートは密着せずギャップが存在しており、水又は蒸気が存在していた可能性がある。3 層の最下層は薄い 1.5~2mm のケーキ（クラスト）層で空隙はなく、中間層は割れ目や細長い孔が含まれている。最上部は不規則な構造で高多孔性である。</p> <p>スウェーデン KTH では、溶融物拡がりの小規模実験として、S3E 実験<sup>[27]</sup>が行われている。種々の溶融物と冷却材の組合せ（例 ウッズメタルー水、塩 (<math>\text{NaNO}_3\text{-KNO}_3</math>) 一パラフィン）で溶融物温度、溶融物流量等をパラメータに、溶融物の拡がり挙動に関するデータが取られている。溶融物が冷却される過程において、低密度の多孔質の層が形成される結果が得られており、溶融物の流れにより、この多孔質層が持ち上げられ、流量（慣性力）によって決定される距離まで拡がる挙動を示した。</p> <p>国内BWR産業界では、SPREAD 実験<sup>[19][20]</sup>が実施されている。溶融物として約 2000K に加熱したステンレススチールを用い、溶融物落下流量、水深、溶融物過熱度等を変化させて、格納容器模擬試験体（一次元形状と二次元形状の 2 種類、二次元形状は付図 4-1 を参照）に放出し、溶融物の拡がり挙動に関する基礎的なデータを収集した。実験条件を付表 4-2 に示す。また、溶融物の拡がりを解析する SPREAD コードが開発されている。溶融物が重力で拡がると仮定し、熱源として崩壊熱及び化学反応を考慮し、床コンクリートや上面の水プールへの伝熱を考慮し、質量、運動量及びエネルギーのバランスを解くことにより、溶融物の移動速度と溶融物厚さを求めている。（付図 4-2 参照）このモデルでは、流動限界固相率を超えた時点で流動が停止すると仮定されており、実験データを再現する流動限界固相率として 55% が使用されている。二次元体系に対する実験結果と解析結果の比較を付図 4-3 に示すが、よい一致が示されている。</p>	<p>2. 水中の拡がり挙動に関する実験的知見と考察</p> <p>スウェーデン王立工科大学（KTH）では、水中での溶融物拡がり挙動を調べる PULiMS 試験<sup>[1]</sup>を実施している。この実験では、浅い水プールへ溶融した <math>\text{Bi}_2\text{O}_3\text{-W}_0_3</math> 合金を流入させ、その拡がり挙動を観察した。水中へ流入した溶融物は、水との熱伝達により徐々に固化し、ある程度床上を拡がる結果となった。固化した溶融炉心層は 3 層を形成し、溶融炉心層下面とコンクリートは密着せずギャップが存在しており（図 2.1）、水又は蒸気が存在していた可能性がある。3 層の最下層は薄い 1.5~2mm のケーキ（クラスト）層で空隙無し、中間層は割れ目や細長い孔を含む。最上部は不規則な構造で高多孔性である。</p> <p>スウェーデン王立工科大学（KTH）において実施された S3E 実験<sup>[2]</sup>では、溶融物が冷却される過程において、低密度の多孔質の層が形成される結果が得られている。溶融物の流れにより、この多孔質層が持ち上げられ、質量流量（慣性力）によって決定される距離まで拡がる挙動を示した。</p> <p>米国 Brookhaven National Laboratory において実施された BNL 実験<sup>[3]</sup>においては、溶融物の過熱度と水深が、溶融炉心拡がり挙動において重要であると結論付けられている。溶融物の拡がりは、水への熱伝達による溶融物の温度の挙動と、溶融物の流体力学的挙動により制限されると結論付けられている。</p> <p>日立製作所において実施された SPREAD 実験<sup>[4]</sup>では、固化割合が約 55% になった場合に溶融物の拡がりは停止しており、溶融物の拡がりは落下質量流量と溶融物の過熱度に影響されるとされている。</p>	

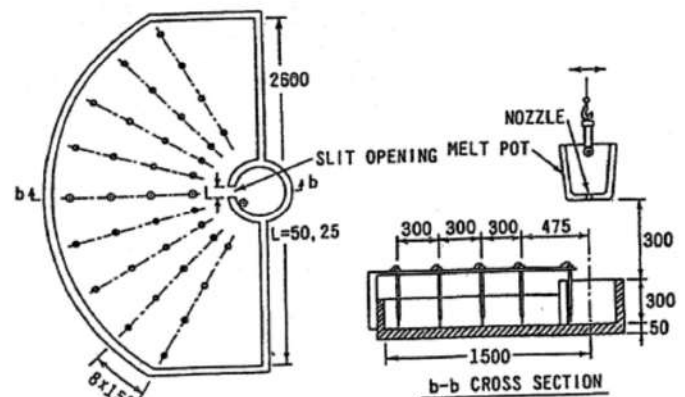
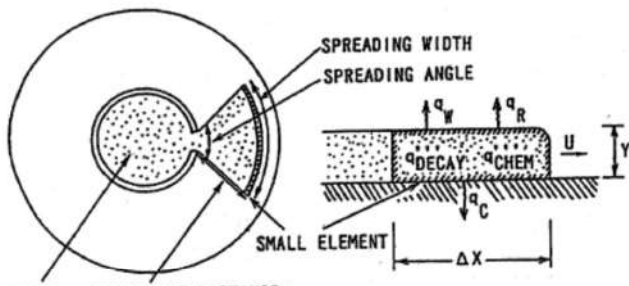
泊発電所3号炉 有効性評価 比較表

付録3 重大事故等対策の有効性評価に係るシビアアクシデント解析コードについて（添付3 溶融炉心とコンクリートの相互作用について）

女川原子力発電所2号炉	泊発電所3号炉	相違理由
<p>【比較のため掲載順を入れ替えた】</p> <p>独カールスルーエ研究センター（FZK）で実施された KATS 実験<sup>[23][29][30]</sup>では、溶融物としてテルミット (<math>\text{Al}_2\text{O}_3</math> 約 150kg, Fe 約 150kg) が使用され、溶融物の放出速度や温度、拡がり形状 (1D, 2D)，床の材質（コンクリート、セラミック、コーティング），水の有無をパラメータに溶融物の拡がり実験が行われている。実験装置を付図 4-4 及び付図 4-5 に示す。<math>\text{Al}_2\text{O}_3</math> と Fe では密度が異なり成層化するため、溶融物の出口を 2 箇所設け、最初に <math>\text{Al}_2\text{O}_3</math> が放出し、最後に Fe を放出することにより酸化物溶融物の拡がりと金属溶融物の拡がりを分けて実験が可能となっている。実験条件を付表 4-3 に示す。</p> <p>KATS-10 と KATS-11 の実験条件はほぼ同様であるが、KATS-10 の方は 1 mm の水張りをしており、KATS-11 の方はドライ条件となっている。両者の拡がり結果を付図 4-6 に示すが、両ケースのように溶融物の放出速度が比較的高い場合は、冷却材の有無によらず同様な拡がり挙動になる結果となっている。</p>	<p>ドイツのカールスルーエ研究センター（FZK）において実施された KATS 実験<sup>[6]</sup>では、溶融物の放出速度が比較的大きい場合は、拡がり挙動は大きな影響を受けない（冷却水が無い場合と同様な拡がりになる）とされている。</p>	
<p>CEA/DRN/DTP で行われた CORINE 実験<sup>[36]</sup>では、低融点物質（グリセロール他）を模擬物質として使用して、水中での拡がり挙動を調べる実験が実施され、拡がり先端の移動速度や底部に形成されるクラストの影響が調べられた。</p>	<p>CEA/DRN/DTP で行われた CORINE 実験<sup>[6]</sup>では、低融点合金を模擬物質として使用して、底部でのクラスト形成を防止するために底部を熱くした試験が実施された。その結果、先端が著しく速く進展することが示され、底部クラストによる減速効果が示された。</p>	

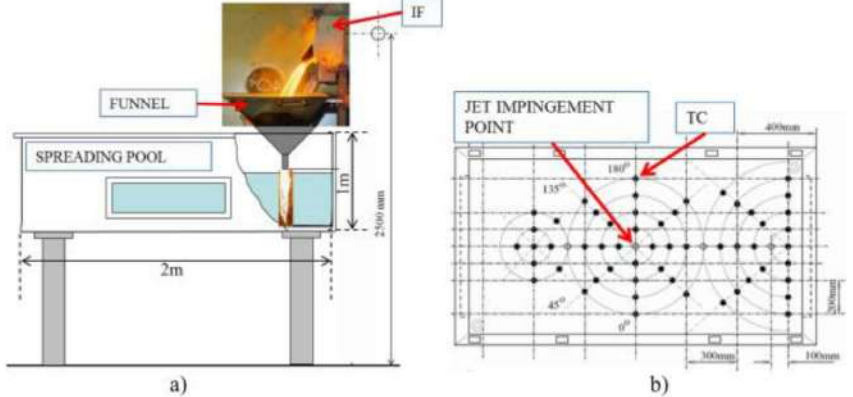
泊発電所3号炉 有効性評価 比較表

付録3 重大事故等対策の有効性評価に係るシビアアクシデント解析コードについて（添付3 溶融炉心とコンクリートの相互作用について）

女川原子力発電所2号炉	泊発電所3号炉	相違理由
 <p>付図4-1 溶融物拡がり実験の試験体（二次元形状）<sup>[20]</sup></p>  <p>付図4-2 SPREAD コードの概念図<sup>[20]</sup></p>		

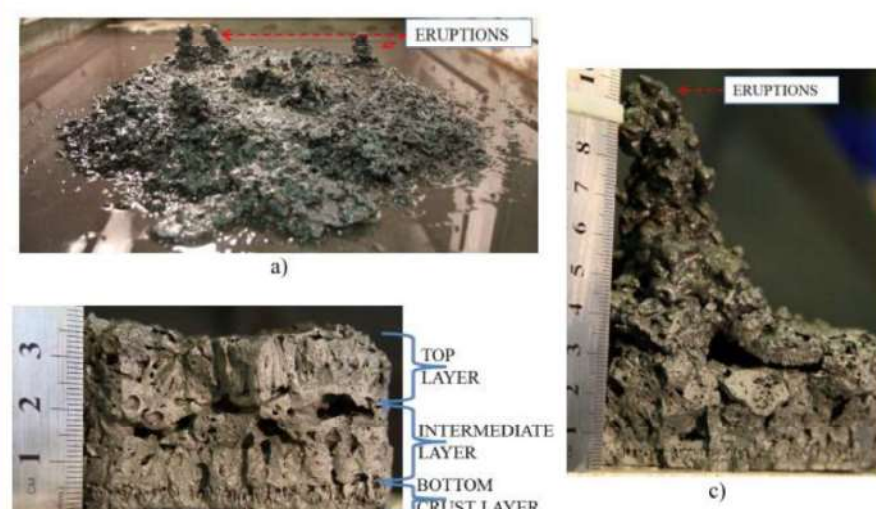
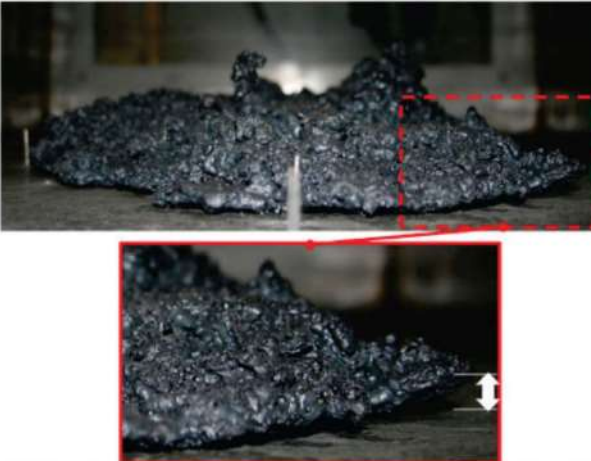
泊発電所3号炉 有効性評価 比較表

付録3 重大事故等対策の有効性評価に係るシビアアクシデント解析コードについて（添付3 溶融炉心とコンクリートの相互作用について）

女川原子力発電所2号炉	泊発電所3号炉	相違理由																																																																													
<b>【比較のため掲載順を入れ替えた】</b>																																																																															
 <p>a)</p> <p>b)</p> <p>付図4-7 PULiMS 実験装置の概要図<sup>[21]</sup></p>																																																																															
<b>付表4-4 PULiMS 実験条件 [21]</b>																																																																															
<table border="1"> <thead> <tr> <th rowspan="2">Parameter</th> <th colspan="5">PULiMS tests</th> </tr> <tr> <th>E1</th> <th>E2</th> <th>E3</th> <th>E4</th> <th>E5</th> </tr> </thead> <tbody> <tr> <td>Melt material</td> <td>Bi<sub>2</sub>O<sub>3</sub>-WO<sub>3</sub></td> <td>B<sub>2</sub>O<sub>3</sub>-CaO</td> <td>Bi<sub>2</sub>O<sub>3</sub>-WO<sub>3</sub></td> <td>Bi<sub>2</sub>O<sub>3</sub>-WO<sub>3</sub></td> <td>ZrO<sub>2</sub>-WO<sub>3</sub></td> </tr> <tr> <td>Melt mass composition, %</td> <td>42.64-57.36 eutectic</td> <td>30-70 non-eutectic</td> <td>42.64-57.36 eutectic</td> <td>42.64-57.36 eutectic</td> <td>15.74-84.26 eutectic</td> </tr> <tr> <td>Melt jet diameter, mm</td> <td>20</td> <td>20</td> <td>20</td> <td>20</td> <td>20</td> </tr> <tr> <td>Jet free fall height, mm</td> <td>400</td> <td>400</td> <td>400</td> <td>400</td> <td>400</td> </tr> <tr> <td>Initial melt volume, L</td> <td>3</td> <td>3</td> <td>10</td> <td>6</td> <td>6</td> </tr> <tr> <td>Initial melt mass, kg</td> <td>23.4</td> <td>7.5</td> <td>78.1</td> <td>46.9</td> <td>41.2</td> </tr> <tr> <td>T<sub>solt</sub>, °C</td> <td>870</td> <td>1027</td> <td>870</td> <td>870</td> <td>1231</td> </tr> <tr> <td>T<sub>ligr</sub>, °C</td> <td>870</td> <td>1027</td> <td>870</td> <td>870</td> <td>1231</td> </tr> <tr> <td>Melt temperature in the funnel upon pouring, °C</td> <td>1006</td> <td>1350</td> <td>1076</td> <td>940</td> <td>1531</td> </tr> <tr> <td>Water pool depth, mm</td> <td>200</td> <td>200</td> <td>200</td> <td>200</td> <td>200</td> </tr> <tr> <td>Water temperature, °C</td> <td>79</td> <td>78</td> <td>75</td> <td>77</td> <td>72</td> </tr> </tbody> </table>	Parameter	PULiMS tests					E1	E2	E3	E4	E5	Melt material	Bi <sub>2</sub> O <sub>3</sub> -WO <sub>3</sub>	B <sub>2</sub> O <sub>3</sub> -CaO	Bi <sub>2</sub> O <sub>3</sub> -WO <sub>3</sub>	Bi <sub>2</sub> O <sub>3</sub> -WO <sub>3</sub>	ZrO <sub>2</sub> -WO <sub>3</sub>	Melt mass composition, %	42.64-57.36 eutectic	30-70 non-eutectic	42.64-57.36 eutectic	42.64-57.36 eutectic	15.74-84.26 eutectic	Melt jet diameter, mm	20	20	20	20	20	Jet free fall height, mm	400	400	400	400	400	Initial melt volume, L	3	3	10	6	6	Initial melt mass, kg	23.4	7.5	78.1	46.9	41.2	T <sub>solt</sub> , °C	870	1027	870	870	1231	T <sub>ligr</sub> , °C	870	1027	870	870	1231	Melt temperature in the funnel upon pouring, °C	1006	1350	1076	940	1531	Water pool depth, mm	200	200	200	200	200	Water temperature, °C	79	78	75	77	72		
Parameter		PULiMS tests																																																																													
	E1	E2	E3	E4	E5																																																																										
Melt material	Bi <sub>2</sub> O <sub>3</sub> -WO <sub>3</sub>	B <sub>2</sub> O <sub>3</sub> -CaO	Bi <sub>2</sub> O <sub>3</sub> -WO <sub>3</sub>	Bi <sub>2</sub> O <sub>3</sub> -WO <sub>3</sub>	ZrO <sub>2</sub> -WO <sub>3</sub>																																																																										
Melt mass composition, %	42.64-57.36 eutectic	30-70 non-eutectic	42.64-57.36 eutectic	42.64-57.36 eutectic	15.74-84.26 eutectic																																																																										
Melt jet diameter, mm	20	20	20	20	20																																																																										
Jet free fall height, mm	400	400	400	400	400																																																																										
Initial melt volume, L	3	3	10	6	6																																																																										
Initial melt mass, kg	23.4	7.5	78.1	46.9	41.2																																																																										
T <sub>solt</sub> , °C	870	1027	870	870	1231																																																																										
T <sub>ligr</sub> , °C	870	1027	870	870	1231																																																																										
Melt temperature in the funnel upon pouring, °C	1006	1350	1076	940	1531																																																																										
Water pool depth, mm	200	200	200	200	200																																																																										
Water temperature, °C	79	78	75	77	72																																																																										

泊発電所3号炉 有効性評価 比較表

付録3 重大事故等対策の有効性評価に係るシビアアクシデント解析コードについて（添付3 溶融炉心とコンクリートの相互作用について）

女川原子力発電所2号炉	泊発電所3号炉	相違理由
<p>【比較のため掲載順を入れ替えた】</p>  <p>付図4-8 PULiMS 実験E4 ケースの溶融物拡がり挙動のスナップ写真 [21]</p>  <p>付図4-9 PULiMS-E4 実験の固化デブリの性状写真 [21]</p>	 <p>Figure 40: The melt spread in PULiMS-E1 experiment (side view). The volatile particle debris have been removed while solidified core of the melt remained intact.</p> <p>図 2.1 PULiMS 試験において水中に落下させた溶融物</p>	

泊発電所3号炉 有効性評価 比較表

付録3 重大事故等対策の有効性評価に係るシビアアクシデント解析コードについて（添付3 溶融炉心とコンクリートの相互作用について）

女川原子力発電所2号炉	泊発電所3号炉	相違理由
	<p>上記の水中での拡がり実験に対する実験条件を表2.1に整理する。</p> <p>上記知見等により、実機における水中における溶融炉心拡がり挙動及び形状は以下のとおりと考えられる。</p> <p>① 原子炉下部キャビティでの溶融炉心の拡がり挙動について          原子炉下部キャビティ水中での溶融炉心の拡がり挙動は、溶融炉心の過熱状態及び溶融炉心の落下質量流量に影響される。原子炉下部キャビティ水中への溶融炉心落下後、溶融炉心の温度が高い状態では、固化割合が小さいため粘度が低く、拡がる速度は速くなる。その後、原子炉下部キャビティ水との熱交換により、溶融炉心の固化割合が増加するに従って、粘度が高くなることにより流動性が低くなり、溶融炉心の拡がりは減速され、その後停止する。</p> <p>② 原子炉下部キャビティでの溶融炉心の形状について          原子炉下部キャビティ床に堆積した溶融炉心については、原子炉下部キャビティ水に落下する過程において、細粒化した溶融炉心が固化せずに接着すること、あるいはクラストが破碎することなどにより、多孔質層のクラストを形成する。溶融炉心は多孔質層を持ち上げそれと共に移動する場合や、上部クラストの下を移動する場合がある。溶融炉心層とコンクリートの間は、全面が密着しているわけではなく、部分的に密着せずにギャップが形成されている。これにより、側方から溶融物の下面～水が浸入することによる冷却の可能性がある。</p>	

泊発電所3号炉 有効性評価 比較表

付録3 重大事故等対策の有効性評価に係るシビアアクシデント解析コードについて（添付3 溶融炉心とコンクリートの相互作用について）

女川原子力発電所2号炉	泊発電所3号炉	相違理由																																																	
<p>付図4-3 溶融物拡がり距離の実験値と解析値の比較<sup>[20]</sup></p>	<p>表2.1 実験条件の整理</p> <table border="1"> <thead> <tr> <th></th><th>PULMS 実験 (Sweden)</th><th>S3E 実験 (Sweden)</th><th>BNL 実験 (USA)</th><th>SPREAD 実験 (Japan)</th><th>CORINE 実験 (France)</th><th>KATS 実験 (Germany)</th></tr> </thead> <tbody> <tr> <td>実験装置の特徴</td><td>2D</td><td>1D, 2D</td><td>1D, 2D</td><td>1D, 2D</td><td>2D (19° 円分)</td><td>1D, 2D</td></tr> <tr> <td>溶融物材</td><td>Bi2O3-WO3、水 B2O3-CaO、水</td><td>ウッズメタル、水 NaNO3-KNO3、 オイル</td><td>鉛、水</td><td>Steel、水</td><td>低融点合金、水</td><td>Iron、水 Oxide、水</td></tr> <tr> <td>溶融物体積、質量</td><td>2.7~3 m<sup>3</sup></td><td>3~19 liters</td><td>~1 liters</td><td>1~15 liters</td><td>~50 liters</td><td>140~160kg</td></tr> <tr> <td>溶融物融点</td><td>870~1027°C</td><td>80~120°C 280~364°C</td><td>不明（鉛の融点： 327.46°C）</td><td>1,584~1,625K</td><td>不明</td><td>2,450K</td></tr> <tr> <td>溶融物の流入方法</td><td>ジェット 直径 20mm</td><td>底部流入口*</td><td>底部流入口*</td><td>底部流入口* 入口幅 0.05m</td><td>底部流入口*</td><td>底部流入口*</td></tr> <tr> <td>水深</td><td>0.2m</td><td>4.5~7.5cm</td><td>不明</td><td>不明</td><td>不明</td><td>1cm</td></tr> </tbody> </table> <p>* ) 非ジェット形状の底部からの流入</p>		PULMS 実験 (Sweden)	S3E 実験 (Sweden)	BNL 実験 (USA)	SPREAD 実験 (Japan)	CORINE 実験 (France)	KATS 実験 (Germany)	実験装置の特徴	2D	1D, 2D	1D, 2D	1D, 2D	2D (19° 円分)	1D, 2D	溶融物材	Bi2O3-WO3、水 B2O3-CaO、水	ウッズメタル、水 NaNO3-KNO3、 オイル	鉛、水	Steel、水	低融点合金、水	Iron、水 Oxide、水	溶融物体積、質量	2.7~3 m <sup>3</sup>	3~19 liters	~1 liters	1~15 liters	~50 liters	140~160kg	溶融物融点	870~1027°C	80~120°C 280~364°C	不明（鉛の融点： 327.46°C）	1,584~1,625K	不明	2,450K	溶融物の流入方法	ジェット 直径 20mm	底部流入口*	底部流入口*	底部流入口* 入口幅 0.05m	底部流入口*	底部流入口*	水深	0.2m	4.5~7.5cm	不明	不明	不明	1cm	
	PULMS 実験 (Sweden)	S3E 実験 (Sweden)	BNL 実験 (USA)	SPREAD 実験 (Japan)	CORINE 実験 (France)	KATS 実験 (Germany)																																													
実験装置の特徴	2D	1D, 2D	1D, 2D	1D, 2D	2D (19° 円分)	1D, 2D																																													
溶融物材	Bi2O3-WO3、水 B2O3-CaO、水	ウッズメタル、水 NaNO3-KNO3、 オイル	鉛、水	Steel、水	低融点合金、水	Iron、水 Oxide、水																																													
溶融物体積、質量	2.7~3 m <sup>3</sup>	3~19 liters	~1 liters	1~15 liters	~50 liters	140~160kg																																													
溶融物融点	870~1027°C	80~120°C 280~364°C	不明（鉛の融点： 327.46°C）	1,584~1,625K	不明	2,450K																																													
溶融物の流入方法	ジェット 直径 20mm	底部流入口*	底部流入口*	底部流入口* 入口幅 0.05m	底部流入口*	底部流入口*																																													
水深	0.2m	4.5~7.5cm	不明	不明	不明	1cm																																													

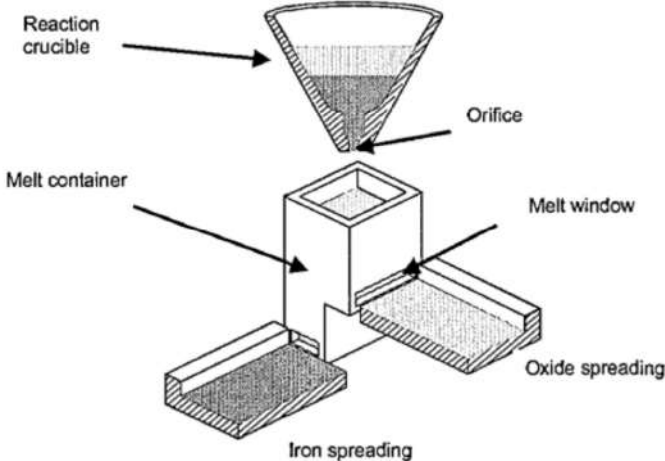
付表4-2 SPREAD 実験条件<sup>[19]</sup>

Test No.	Melt Mass (kg)	Super Heat (K)	Slit Width (m)	Floor Material	Nozzle Diam. (mm)	Water Depth (mm)	Water Added Position *
1	95.0	133	0.15	Concrete	70	0	-
2	7.5	77	↑	↑	↑	0	-
3	24.0	149	↑	↑	30	0	-
4	43.0	115	0.05	↑	↑	0	-
5	19.0	110	↑	↑	↑	0	-
6	66.0	107	↑	↑	↑	40	O/C
7	115.0	135	↑	↑	↑	0	-
8	66.0	112	↑	↑	↑	0	-
9	94.2	110	0.025	↑	↑	0	-
10	60.2	86	0.05	MgO	↑	0	-
11	93.4	122	↑	Concrete	↑	40	O/C
12	67.0	115	↑	↑	↑	40	O/C
13	93.1	116	0.025	↑	↑	40	O/C
14	68.1	130	0.05	↑	70	0	-
15	63.6	133	↑	↑	30	0	-
16	116.0	131	↑	↑	↑	0	-
17	106.2	171	↑	↑	↑	0	-
18	108.8	158	↑	↑	↑	0	-
19	61.9	108	0.025	↑	↑	0	-
20	64.0	91	0.05	↑	↑	10	O/C
21	69.1	107	↑	↑	↑	40	O/C
22	65.0	90	↑	↑	↑	70	O/C
23	60.0	94	0.025	↑	↑	40	O/C
24	65.0	125	0.05	↑	↑	40	O/C, I/C
25	63.8	94	↑	↑	↑	Spray	O/C

\* O/C: Outside of Cylindrical Region I/C: Inside of Cylindrical Region

泊発電所3号炉 有効性評価 比較表

付録3 重大事故等対策の有効性評価に係るシビアアクシデント解析コードについて（添付3 溶融炉心とコンクリートの相互作用について）

女川原子力発電所2号炉	泊発電所3号炉	相違理由
<p>(2) EPR コアキャッチャの溶融物拡がりに関する実験<sup>[23][29][30][36]</sup></p> <p>CEA/DRN/DTP で行われた CORINE 実験<sup>[36]</sup>では、低融点物質（グリセロール他）を模擬物質として使用して、水中での拡がり挙動を調べる実験が実施され、拡がり先端の移動速度や底部に形成されるクラストの影響が調べられた。</p> <p>独カールスルーエ研究センター（FZK）で実施された KATS 実験<sup>[23][29][30]</sup>では、溶融物としてテルミット (<math>\text{Al}_2\text{O}_3</math> 約 150kg, Fe 約 150kg) が使用され、溶融物の放出速度や温度、拡がり形状（1D, 2D）、床の材質（コンクリート、セラミック、コーティング）、水の有無をパラメータに溶融物の拡がり実験が行われている。実験装置を付図 4-4 及び付図 4-5 に示す。<math>\text{Al}_2\text{O}_3</math> と Fe では密度が異なり成層化するため、溶融物の出口を 2 箇所設け、最初に <math>\text{Al}_2\text{O}_3</math> が放し出し、最後に Fe を放出することにより酸化物溶融物の拡がりと金属溶融物の拡がりを分けて実験が可能となっている。実験条件を付表 4-3 に示す。</p> <p>KATS-10 と KATS-11 の実験条件はほぼ同様であるが、KATS-10 の方は 1 mm の水張りをしており、KATS-11 の方はドライ条件となっている。両者の拡がり結果を付図 4-6 に示すが、両ケースのように溶融物の放出速度が比較的高い場合は、冷却材の有無によらず同様な拡がり挙動になる結果となっている。</p>  <p>付図4-4 KATS 実験装置の概要図<sup>[29]</sup></p>		※付録3-1 2.に記載

付録3 重大事故等対策の有効性評価に係るシビアアクシデント解析コードについて（添付3 滲露炉心とコンクリートの相互作用について）

女川原子力発電所 2号炉	泊発電所 3号炉	相違理由																																		
  <p>(1D)</p> <p>(2D)</p> <p>付図4-5 KATS 実験の1D と2D の拡がり形状の写真<sup>[30]</sup></p> <p>付表4-3 KATS 実験条件と拡がり距離 (酸化物溶融物, 1D 拡がり)<sup>[29]</sup></p> <table border="1"> <thead> <tr> <th>Test #</th><th>Substratum</th><th>Mass in channel (kg)</th><th>Tempera-ture Melt (°C)</th><th>Pouring rate (l/s) / Length in Time(s)</th><th>Spreading length (m)</th></tr> </thead> <tbody> <tr> <td>KATS-12</td><td>Ceramics*)</td><td>186</td><td>2027</td><td>12.7 – 0 l/s in 10 s</td><td>11.7</td></tr> <tr> <td>KATS-14</td><td>Ceramics*)</td><td>176</td><td>1967</td><td>2 → 1.2 l/s in 37 s</td><td>7.2</td></tr> <tr> <td>KATS-10</td><td>Concrete 1mm Water (Epoxy)</td><td>179</td><td>2037</td><td>12.4 → 0 l/s in 10s</td><td>&gt;12 first front 6.5 m main front</td></tr> <tr> <td>KATS-11</td><td>Concrete Dry (Epoxy)</td><td>183</td><td>2062</td><td>12.7 → 0 l/s in 10s</td><td>9.5 m first Front 6.8 m main front</td></tr> <tr> <td>KATS-13</td><td>Concrete Dry</td><td>185</td><td>2052</td><td>12.7 → 0 l/s in 10s</td><td>7.5</td></tr> </tbody> </table> <p>*) Cordierite (<math>\text{Al}_2\text{O}_3</math> 37 wt%, <math>\text{SiO}_2</math> 52 wt%, <math>\text{MgO}</math> 6,5 wt%)</p>	Test #	Substratum	Mass in channel (kg)	Tempera-ture Melt (°C)	Pouring rate (l/s) / Length in Time(s)	Spreading length (m)	KATS-12	Ceramics*)	186	2027	12.7 – 0 l/s in 10 s	11.7	KATS-14	Ceramics*)	176	1967	2 → 1.2 l/s in 37 s	7.2	KATS-10	Concrete 1mm Water (Epoxy)	179	2037	12.4 → 0 l/s in 10s	>12 first front 6.5 m main front	KATS-11	Concrete Dry (Epoxy)	183	2062	12.7 → 0 l/s in 10s	9.5 m first Front 6.8 m main front	KATS-13	Concrete Dry	185	2052	12.7 → 0 l/s in 10s	7.5
Test #	Substratum	Mass in channel (kg)	Tempera-ture Melt (°C)	Pouring rate (l/s) / Length in Time(s)	Spreading length (m)																															
KATS-12	Ceramics*)	186	2027	12.7 – 0 l/s in 10 s	11.7																															
KATS-14	Ceramics*)	176	1967	2 → 1.2 l/s in 37 s	7.2																															
KATS-10	Concrete 1mm Water (Epoxy)	179	2037	12.4 → 0 l/s in 10s	>12 first front 6.5 m main front																															
KATS-11	Concrete Dry (Epoxy)	183	2062	12.7 → 0 l/s in 10s	9.5 m first Front 6.8 m main front																															
KATS-13	Concrete Dry	185	2052	12.7 → 0 l/s in 10s	7.5																															

\*) Cordierite ( $\text{Al}_2\text{O}_3$  37 wt%,  $\text{SiO}_2$  52 wt%,  $\text{MgO}$  6.5 wt%)

泊発電所3号炉 有効性評価 比較表

付録3 重大事故等対策の有効性評価に係るシビアアクシデント解析コードについて（添付3 溶融炉心とコンクリートの相互作用について）

女川原子力発電所2号炉	泊発電所3号炉	相違理由																					
<p>付図4-6 KATS 実験の水の有無の影響 (酸化物溶融物, 1D 拡がり) [29]</p> <p>図はKATS-10とKATS-11の溶融物拡がり実験結果を示す。Y軸はMelt height [mm] (0~100)、X軸はChannel length [m] (0~10)。KATS-10はコンクリート、エポキシコーティング、1mm of waterで、KATS-11はコンクリート、エポキシコーティング、dryである。</p> <table border="1"> <caption>付図4-6 KATS 実験の水の有無の影響 (酸化物溶融物, 1D 拡がり) [29]</caption> <thead> <tr> <th>Channel length [m]</th> <th>Melt height [mm] (KATS-10)</th> <th>Melt height [mm] (KATS-11)</th> </tr> </thead> <tbody> <tr><td>0</td><td>75</td><td>75</td></tr> <tr><td>2</td><td>70</td><td>70</td></tr> <tr><td>4</td><td>65</td><td>65</td></tr> <tr><td>6</td><td>55</td><td>55</td></tr> <tr><td>8</td><td>25</td><td>25</td></tr> <tr><td>10</td><td>50</td><td>50</td></tr> </tbody> </table>	Channel length [m]	Melt height [mm] (KATS-10)	Melt height [mm] (KATS-11)	0	75	75	2	70	70	4	65	65	6	55	55	8	25	25	10	50	50		※付録3-1 2.に記載
Channel length [m]	Melt height [mm] (KATS-10)	Melt height [mm] (KATS-11)																					
0	75	75																					
2	70	70																					
4	65	65																					
6	55	55																					
8	25	25																					
10	50	50																					

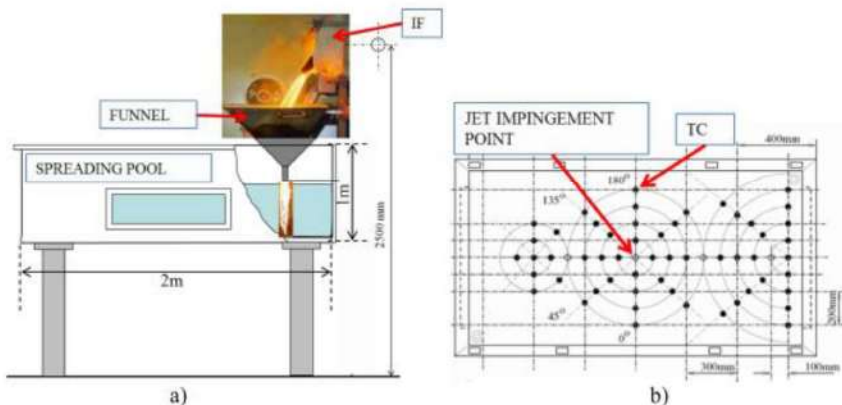
(3) KTHの溶融物拡がり研究<sup>[21][27]</sup>

スウェーデン KTH では、溶融物拡がりの小規模実験として、S3E 実験<sup>[27]</sup>が行われている。種々の溶融物と冷却材の組合せ（例 ウッズメタルー水、塩（NaNO<sub>3</sub>-KNO<sub>3</sub>）-パラフィン）で溶融物温度、溶融物流量等をパラメータに、溶融物の拡がり挙動に関するデータが取られている。溶融物が冷却される過程において、低密度の多孔質の層が形成される結果が得られており、溶融物の流れにより、この多孔質層が持ち上げられ、流量（慣性力）によって決定される距離まで拡がる挙動を示した。

また、水中での溶融物拡がり挙動を調べるPULiMS 実験<sup>[21]</sup>が実施されている。この実験では、浅い水プール（水深 20cm）へ溶融した Bi<sub>2</sub>O<sub>3</sub>-W<sub>0</sub> 合金を流入させ、その拡がり挙動が観察された。実験装置を付図 4-7 に示し、実験条件を付表 4-4 に示す。水中へ流入した溶融物の拡がりの様子を付図 4-8 に示す。また、固化したデブリ層の性状を付図 4-9 に示す。固化したデブリ層は 3 層を形成し、デブリ層下面とコンクリートは密着せずギャップが存在しており、水又は蒸気が存在していた可能性がある。3 層の最下層は薄い 1.5-2 mm のケーキ（クラスト）層で空隙はなく、中間層は割れ目や細長い孔が含まれている。最上部は不規則な構造で高多孔性である。

泊発電所3号炉 有効性評価 比較表

付録3 重大事故等対策の有効性評価に係るシビアアクシデント解析コードについて（添付3 溶融炉心とコンクリートの相互作用について）

女川原子力発電所2号炉	泊発電所3号炉	相違理由
 a)      b)		

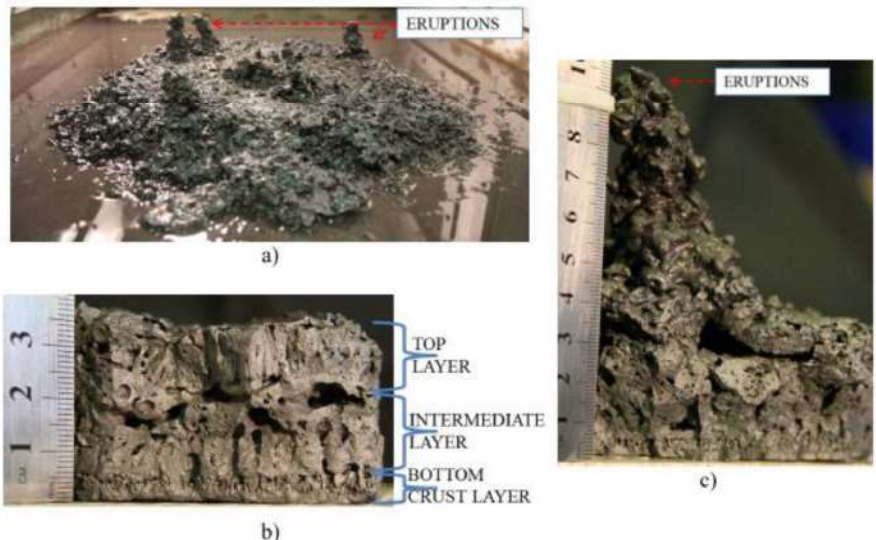
付図4-7 PULiMS 実験装置の概要図<sup>[21]</sup>

付表4-4 PULiMS 実験条件 [21]

Parameter	PULiMS tests				
	E1	E2	E3	E4	E5
Melt material	Bi <sub>2</sub> O <sub>3</sub> -WO <sub>3</sub>	B <sub>2</sub> O <sub>3</sub> -CaO	Bi <sub>2</sub> O <sub>3</sub> -WO <sub>3</sub>	Bi <sub>2</sub> O <sub>3</sub> -WO <sub>3</sub>	ZrO <sub>2</sub> -WO <sub>3</sub>
Melt mass composition, %	42.64-57.36	30-70	42.64-57.36	42.64-57.36	15.74-84.26
Melt jet diameter, mm	20	20	20	20	20
Jet free fall height, mm	400	400	400	400	400
Initial melt volume, L	3	3	10	6	6
Initial melt mass, kg	23.4	7.5	78.1	46.9	41.2
T <sub>sld</sub> , °C	870	1027	870	870	1231
T <sub>litg</sub> , °C	870	1027	870	870	1231
Melt temperature in the funnel upon pouring, °C	1006	1350	1076	940	1531
Water pool depth, mm	200	200	200	200	200
Water temperature, °C	79	78	75	77	72

泊発電所3号炉 有効性評価 比較表

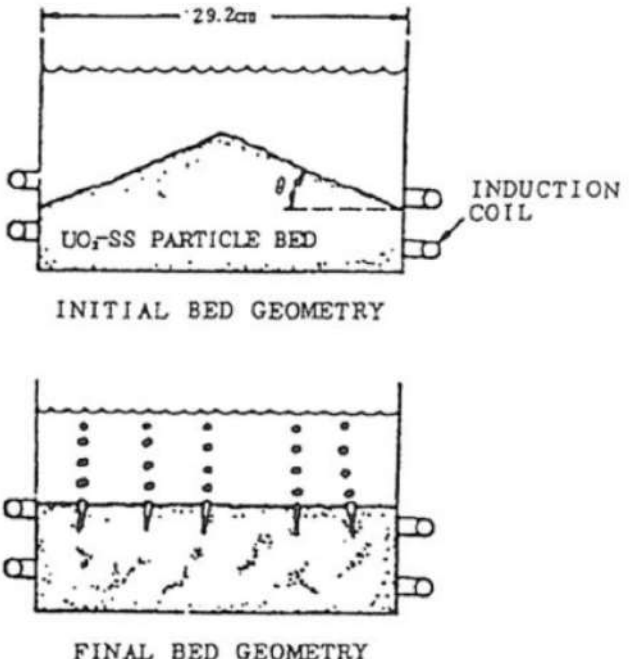
付録3 重大事故等対策の有効性評価に係るシビアアクシデント解析コードについて（添付3 溶融炉心とコンクリートの相互作用について）

女川原子力発電所2号炉	泊発電所3号炉	相違理由
		
<p>付図4-8 PULiMS 実験E4 ケースの溶融物拡がり挙動のスナップ写真 [21]</p> 		

付図4-9 PULiMS-E4 実験の固化デブリの性状写真 [21]

泊発電所3号炉 有効性評価 比較表

付録3 重大事故等対策の有効性評価に係るシビアアクシデント解析コードについて（添付3 溶融炉心とコンクリートの相互作用について）

女川原子力発電所2号炉	泊発電所3号炉	相違理由
<p>(4) 粒子状ベッドの拡がり<sup>[22]</sup></p> <p>ANLでは、水プール中に不均質に堆積させたデブリベッドが、内部の沸騰により均一化する様子を確認するため、水プール中にUO<sub>2</sub>, SUS, Cu の0.2~1 mm程度の粒子ベッドを非均一の厚さに堆積させ、誘導加熱により崩壊熱発生を模擬させた実験<sup>[22]</sup>を行っている。付図4-10に粒子ベッド厚さの均一化の概念図を示す。非均一の厚さに堆積した粒子ベッドは、誘導加熱により粒子ベッド内に沸騰が生じ、粒子が吹き上げられて再堆積する過程で厚さが均一化し、均一化に要した時間は2~3分程度であると報告されている。</p>  <p>INITIAL BED GEOMETRY</p> <p>FINAL BED GEOMETRY</p> <p>付図4-10 セルフレベリング実験におけるデブリベッドの均一化の概念図<sup>[22]</sup></p>		※3.1 (9) に記載

泊発電所3号炉 有効性評価 比較表

付録3 重大事故等対策の有効性評価に係るシビアアクシデント解析コードについて（添付3 溶融炉心とコンクリートの相互作用について）

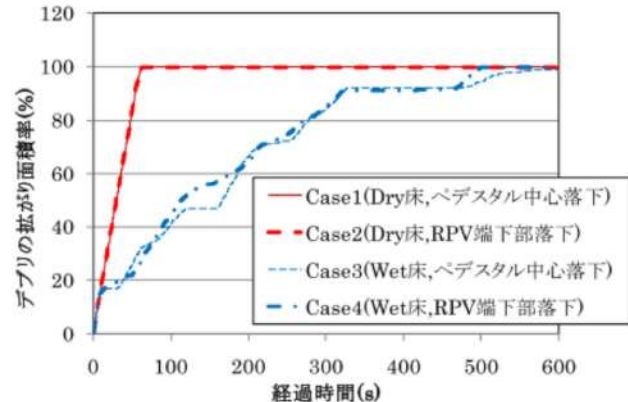
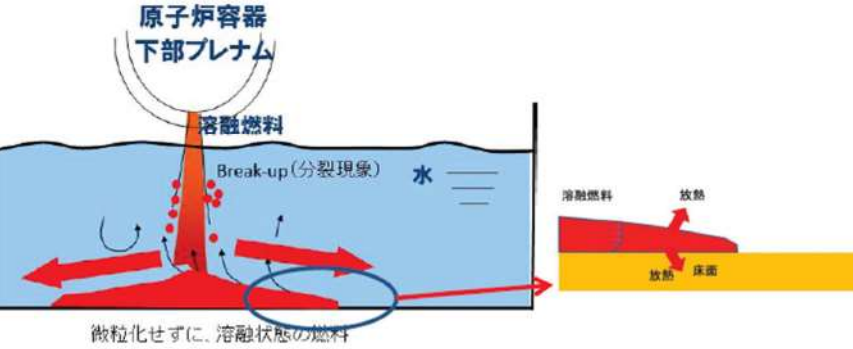
女川原子力発電所2号炉	泊発電所3号炉	相違理由																														
<p>(5) 溶融物の拡がり解析<sup>[20][27][28][39][40]</sup></p> <p>溶融物の拡がり挙動の解析のために、種々の解析コードが提案されている。主要なものを付表4-5に示す。これらの解析コードは、実験データを元に検証が行われている。また、実験と実機条件とを関連づけるスケーリング則の提案も行われている。<sup>[20][27][28]</sup></p> <p style="text-align: center;">付表4-5 溶融物拡がり挙動の主な解析コード<sup>[27]</sup></p> <table border="1" style="width: 100%; border-collapse: collapse; text-align: center;"> <thead> <tr> <th>Code</th><th>Country</th><th>Model characteristics</th></tr> </thead> <tbody> <tr> <td>CORFLOW *</td><td>Germany</td><td>2D - mechanistic</td></tr> <tr> <td>CROCO</td><td>France</td><td>Simplified (ISPNC)</td></tr> <tr> <td>LAVA *</td><td>Japan</td><td>2D - Bingham fluid</td></tr> <tr> <td>MELTSPREAD *</td><td>USA</td><td>1D - complex physics and chemistry</td></tr> <tr> <td>MECO</td><td>Germany</td><td>Mechanistic (Ruhr Univ.)</td></tr> <tr> <td>RASPLAV / SPREAD</td><td>Russia</td><td>2D - hydrodynamic</td></tr> <tr> <td>SPREAD</td><td>Japan</td><td>simplified</td></tr> <tr> <td>THEMA *</td><td>France</td><td>phenomenological (CEA/DRN)</td></tr> <tr> <td>Footnote</td><td colspan="2">* Code receiving International recognition</td></tr> </tbody> </table>	Code	Country	Model characteristics	CORFLOW *	Germany	2D - mechanistic	CROCO	France	Simplified (ISPNC)	LAVA *	Japan	2D - Bingham fluid	MELTSPREAD *	USA	1D - complex physics and chemistry	MECO	Germany	Mechanistic (Ruhr Univ.)	RASPLAV / SPREAD	Russia	2D - hydrodynamic	SPREAD	Japan	simplified	THEMA *	France	phenomenological (CEA/DRN)	Footnote	* Code receiving International recognition		<p>3. 水中での拡がり挙動の概要及び相關式</p> <p>(1) 水中での溶融炉心拡がり挙動の概要</p> <p>下部プレナムから流出した溶融炉心は、水中に落下する過程において一部が細粒化し、大部分は液体の状態で原子炉下部キャビティ床に堆積する。原子炉下部キャビティ床に堆積した溶融炉心は、重力の影響で拡がるが、原子炉下部キャビティ水及び床面で除熱されることで固化が進み、やがて拡がりは停止する。</p> <p>PULiMS 実験により得られた知見より、原子炉下部キャビティ内の最終的な溶融炉心の拡がりの大きさは、以下のパラメータにより決定されると考えられる。</p> <ul style="list-style-type: none"> <li>・拡がり駆動力</li> <li>溶融炉心と水との密度差により、溶融炉心には水中を拡がる駆動力が生じる。</li> <li>・拡がり抑制力</li> <li>床面上に形成されたクラストによる減速効果が働くこと、及び溶融炉心の固化が進むことにより、溶融炉心の粘度が増加し、溶融炉心の拡がりを抑制する力が生じる。</li> </ul> <p>上記のとおり、溶融炉心の拡がりの大きさは、溶融炉心と水の密度差による拡がりの駆動力の時間スケールと、溶融炉心の固化の時間スケールとの競合によって決まり、固化が早ければ拡がりが抑制され、あまり拡がらずに固化してしまい、固化が遅くなれば、拡がりは大きくなる傾向となる。図3.1及び図3.2に以上の挙動の模式図を示す。</p>	<p style="text-align: right;">※BWR固有の解析</p>
Code	Country	Model characteristics																														
CORFLOW *	Germany	2D - mechanistic																														
CROCO	France	Simplified (ISPNC)																														
LAVA *	Japan	2D - Bingham fluid																														
MELTSPREAD *	USA	1D - complex physics and chemistry																														
MECO	Germany	Mechanistic (Ruhr Univ.)																														
RASPLAV / SPREAD	Russia	2D - hydrodynamic																														
SPREAD	Japan	simplified																														
THEMA *	France	phenomenological (CEA/DRN)																														
Footnote	* Code receiving International recognition																															

a) 三次元溶融物拡がり解析例

溶融物の拡がり挙動を三次元で評価した例もある。付図4-11に示すとおり過酷事故解析コード S A M P S O N のデブリ拡がりモジュール (DSA)<sup>[39]</sup>を使用して、A BWR の格納容器ペデスタル上におけるデブリ拡がり評価を実施している<sup>[40]</sup>。床面に200mmの水位がある条件 (Wet 床条件) で、制御棒駆動機構ハウジング1本の破損を想定して、全炉心相当の溶融炉心がペデスタル（半径約5.3m）へ落下する場合の溶融炉心の床上の拡がり面積を評価している。床面に水が存在する場合でも、溶融炉心は落下位置に依らずペデスタルのほぼ全面に拡がり、最終的な堆積高さは400～500mm程度となる結果を得ている。

泊発電所3号炉 有効性評価 比較表

付録3 重大事故等対策の有効性評価に係るシビアアクシデント解析コードについて（添付3 溶融炉心とコンクリートの相互作用について）

女川原子力発電所2号炉	泊発電所3号炉	相違理由
 <p>付図4-11 ABWRを対象とした三次元溶融炉心拡がり評価結果例（SAMPSONコード）<sup>[40]</sup></p>	 <p>図3.1 溶融炉心の落下から拡がりに至る挙動</p>	

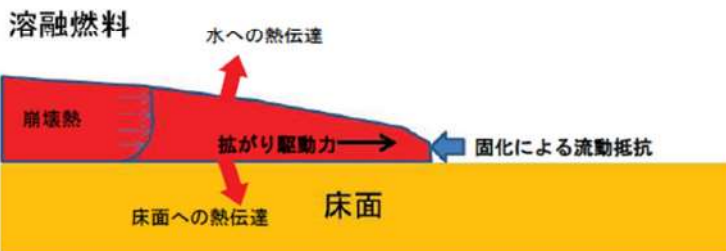


図3.2 溶融炉心の拡がりに係る熱伝達及び流体力学的挙動

泊発電所3号炉 有効性評価 比較表

付録3 重大事故等対策の有効性評価に係るシビアアクシデント解析コードについて（添付3 溶融炉心とコンクリートの相互作用について）

女川原子力発電所2号炉	泊発電所3号炉	相違理由
<p>b) スケーリング則を用いた溶融物拡がり相関式</p> <p>(3)に示したPULiMS実験の結果を元に、水中での溶融物の拡がり距離を求めるスケーリング則が提案されている<sup>[28]</sup>。これは、障害物のない水平な床面に落下した溶融物の拡がり停止後の平均厚さや拡がり距離を求める相関式である。一般的に、溶融物の拡がり挙動は、溶融物の堆積高さに対応した重力による拡がりと、溶融物冷却に伴う粘性增加による流動性低下の競合する二つのプロセスにより支配される。（付図4-12参照）</p> <p>スケーリング則では、競合する二つのプロセスの時間スケールとして、流体力学的拡がり時間 <math>\tau_{conv}</math> を、拡がり停止後の平均厚さ <math>\delta_v</math> に達するまでの時間と定義し、固化時間 <math>\tau_{solid}</math> を、溶融物が冷却され固化するまでの時間と定義し、これらの時間の比を、拡がりの無次元時間スケール <math>T (= \tau_{conv} / \tau_{solid})</math> と定義している。また、拡がり停止後の平均厚さ <math>\delta_v</math> と表面張力とのバランスで決まる厚さ <math>\delta_{cap}</math> の比を、無次元長さスケール <math>L (= \delta_v / \delta_{cap})</math> と定義している。</p> <p>障害物のない水平な床を想定し、落下した溶融物が軸対称に拡がると仮定すると、無次元長さスケール <math>L</math> は、無次元時間スケール <math>T</math> を用いて(1)式で表されるとしている。</p> <p>添え字の <math>i</math> は慣性力支配流れの値を示し、<math>v</math> は粘性力支配流れの値を示している。</p> $Lv = Cv \cdot T^{1/2} \cdot N^{1/2} \quad (1)$ <p>また、拡がり距離 <math>r(t)</math> と拡がり時間 <math>t</math> の関係は、以下のように表されるとしている。</p> <p>慣性力支配流れの場合 <math>r_i(t) = \beta_i \cdot t^{3/4}</math> <span style="float:right">(2)</span></p> <p>粘性力支配流れの場合 <math>r_v(t) = \beta_v \cdot t^{1/2}</math> <span style="float:right">(3)</span></p>	<p>(2) 水中の溶融炉心拡がり長さと時間の相関式<sup>[7][8][9]</sup></p> <p>文献<sup>[7]</sup>では、溶融炉心の水中での拡がり挙動を以下のとおり定式化している。      液相として床に堆積した溶融炉心が拡がる際の最終的な厚さ <math>\delta_{sp}</math> は溶融炉心拡がり無次元時間 <math>T</math> から(1)の相関式で表される。</p> $\frac{\delta_{sp}}{\delta_{cap}} = CT^{0.5}N^{0.5} \quad (1)$ <p><math>\delta_{sp}</math> : 溶融炉心の最終厚さ  <math>\delta_{cap}</math> : 表面張力による最小厚さ (<math>= 2\sqrt{\sigma/\rho_m g'}</math>)</p> <p>C: 比例定数  <math>T</math>: 溶融炉心拡がり無次元時間 (<math>= \tau_{conv}/\tau_{solid}</math>)</p> <p>N: 重力-慣性力支配流れの時 1、重力-粘性力支配流れの場合 <math>= \left(\frac{v_{tot}}{\pi\delta_{cap}}\right)^{1/3} \frac{\beta_i^{4/3}}{\beta_v^{2/3}}</math></p> <p><math>\tau_{conv}</math>: 溶融炉心拡がり特性時間 (s) <math>= \left(\frac{\delta_{sp}}{\beta_v}\right)</math></p> <p><math>\tau_{solid}</math>: 溶融炉心固化特性時間 (s) <math>= \delta_{cap} \rho_m \frac{C_{p,m} \Delta T_{sup} + \eta_f}{q_{up} + q_{dn} - q_v \delta_{cap}}</math></p> <p>(1) 式より、溶融炉心の拡がる際の最終的な厚さが算出され、この値と溶融炉心の落下量から、溶融炉心の拡がり長さ（拡がりの直径）が算出できる。      また、拡がり長さ <math>r_v(t)</math> と拡がり時間 <math>t</math> の関係は(2)式より表されるため、拡がり時間は(2)式で算出することができる。</p> $r_v(t) = \beta_v t^{0.5} \quad (2)$ <p><math>\beta_{i,v}</math>: デブリ広がり係数 <math>\beta_v = \left(\frac{g G^2}{v}\right)^{0.125} \beta_i = 0.84(gG)^{0.25}</math>  <math>r_{sp}</math>: 幾何的に可能な最大拡がり径 (m)  <math>\Delta T_{sup}</math>: 溶融炉心過熱度 (K)  <math>C_{p,m}</math>: 溶融炉心比熱 (J/kg/K)  <math>q_{up}</math>: 溶融炉心上面の熱流束 (放射及び対流熱伝達) (W/m<sup>2</sup>)  <math>q_{dn}</math>: 溶融炉心下面の熱流束 (対流熱伝達) (W/m<sup>2</sup>)  <math>q_v</math>: 単位体積当たりの崩壊熱 (W/m<sup>3</sup>)  <math>H_f</math>: 溶融炉心の溶融潜熱 (J/kg)</p>	

泊発電所3号炉 有効性評価 比較表

付録3 重大事故等対策の有効性評価に係るシビアアクシデント解析コードについて（添付3 溶融炉心とコンクリートの相互作用について）

女川原子力発電所2号炉	泊発電所3号炉	相違理由
<p>ここで、</p> <p><math>\delta_{cap}</math>：表面張力とバランスする厚さ (<math>= 2\sqrt{\sigma/\rho_m g'}</math>)</p> <p><math>C_v</math>：比例定数。PULiMS 実験より、<math>C_v=1.30</math> が得られている。</p> <p><math>N</math>：粘性因子 (<math>= \frac{\tau_{conv,v}}{\tau_{conv,i}} \cdot \frac{\delta_v}{\delta_{cap}}</math>)</p> <p><math>\beta</math>：拡がり係数 <math>\beta_i = 0.84(g' G)^{1/4}</math> , <math>\beta_v = 0.67\left(\frac{g' G^2}{v}\right)^{1/8}</math></p> <p><math>\tau_{solid}</math>：デブリ固化特性時間(s) (<math>= \delta_{cap} \cdot \rho_m \cdot \frac{C_{p,m} \cdot \Delta T_{sup} + \eta H_f}{q''_{up} + q''_{dn} - q_v \cdot \delta_{cap}}</math>)</p> <p><math>\Delta T_{sup}</math>：デブリ過熱度(K) , <math>C_{p,m}</math>：デブリ比熱(J/kg/K)</p> <p><math>q''_{up}</math>：デブリ上面の熱流束（放射及び対流熱伝達）(W/m<sup>2</sup>)</p> <p><math>q''_{dn}</math>：デブリ下面の熱流束(対流熱伝達)(W/m<sup>2</sup>)</p> <p><math>q_v</math>：単位体積当たりの崩壊熱(W/m<sup>3</sup>)</p> <p><math>H_f</math>：デブリの溶融潜熱(J/kg) , <math>\eta</math>：流動停止までの有効潜熱割合(-)</p> <p><math>\sigma</math>：デブリ表面張力(N/m) , <math>\rho_m</math>：デブリ密度(kg/m<sup>3</sup>) , <math>\rho_w</math>：水の密度(kg/m<sup>3</sup>)</p> <p><math>g</math>：重力加速度(m/s<sup>2</sup>) , <math>v</math>：デブリの動粘性係数 (m<sup>2</sup>/s)</p> <p><math>g'</math>：水中における重力加速度の補正 (<math>= g(\rho_m - \rho_w)/\rho_m</math>) (m/s<sup>2</sup>)</p> <p><math>V_{tot}</math>：デブリ体積(m<sup>3</sup>) (<math>= \frac{m(1-f_m)}{\rho_m}</math>) , <math>m</math>：デブリ質量(kg)</p> <p><math>G</math>：エントレインされなかった連続体溶融炉心の体積流量(m<sup>3</sup>/s) (<math>= \frac{V_{tot}}{t_{rel}}</math>)</p> <p><math>t_{rel}</math>：原子炉圧力容器からの溶融炉心放出時間(s)</p> <p><math>f_m</math>：デブリ落下時のエントレイン割合(-)</p> <p><math>\rho'_m</math>：有効デブリ密度(kg/m<sup>3</sup>) (<math>= \rho_m(1 - \varepsilon_m)</math>) , <math>\varepsilon_m</math>：デブリボイド分率(-)</p> <p>(1)式は、拡がり停止時のデブリ平均厚さが、無次元時間スケール (=溶融物の拡がり時間／固化時間) の平方根に比例することを意味しており、溶融物の拡がりが遅いほど、固化するまでの時間が短いほど、無次元時間は大きくなり、結果として、拡がり停止時の平均厚さが大きく、拡がり面積は小さくなる傾向を示している。逆に、溶融物の拡がりが早いほど、固化までの時間が長いほど、無次元時間は小さくなり、平均厚さが薄くなり、拡がり距離は大きくなる。このスケーリング則について、PULiMS 実験との比較が行われており、付図 4-13 に、実験結果とスケーリング則による評価との比較を示すが、概ね一致している結果が得られている。</p> <p>上記のスケーリング則の式より、<math>\tau_{conv,v}</math>及びN は次式のように得られる。</p>	<p><math>\eta</math>：有効潜熱割合(-)</p> <p><math>\sigma</math>：溶融炉心表面張力(N/m)</p> <p><math>\rho_m</math>：溶融炉心密度(kg/m<sup>3</sup>)</p> <p><math>\rho_w</math>：水の密度(kg/m<sup>3</sup>)</p> <p><math>g</math>：水中における重力加速度の補正(<math>= g(\rho_m - \rho_w)/\rho_m</math>) (m/s<sup>2</sup>)</p> <p><math>g</math>：重力加速度(m/s<sup>2</sup>)</p> <p><math>v</math>：溶融炉心の動粘性係数 (m<sup>2</sup>/s)</p> <p><math>V_{tot}</math>：溶融炉心体積(m<sup>3</sup>)=<math>\frac{m(1-f_m)}{\rho_m}</math></p> <p><math>m</math>：溶融炉心質量(kg)</p> <p><math>G</math>：エントレインされなかった連続体溶融炉心の体積流量(m<sup>3</sup>/s)=<math>\frac{V_{tot}}{t_{rel}}</math></p> <p><math>t_{rel}</math>：原子炉容器からのデブリ放出時間(s)</p> <p><math>f_m</math>：溶融炉心落下時のエントレイン割合(-)</p> <p><math>\rho'_m</math>：有効溶融炉心密度(kg/m<sup>3</sup>)=<math>\rho_m(1 - \varepsilon_m)</math></p> <p><math>\varepsilon_m</math>：溶融炉心ボイド率(-)</p> <p>この相関式は、最終的な溶融燃料の拡がり時の厚さ<math>\delta_{sp}</math>が、無次元時間 (溶融炉心の拡がり時間÷溶融炉心が固化するまでの時間) の平方根に比例することを意味している。溶融炉心の拡がりが遅い、又は固化するまでの時間が短い場合には、無次元時間Tは大きくなり、結果として、拡がり時の最終的な厚さ<math>\delta_{sp}</math>が大きく、結果として拡がり面積は小さくなる。逆に、溶融炉心の拡がりが早い、又は固化までの時間が長い場合には、無次元時間Tは小さくなり、溶融炉心の厚さが薄くなるため、拡散が進む方向となる。</p>	

泊発電所3号炉 有効性評価 比較表

赤字：設備、運用又は体制の相違（設計方針の相違）  
青字：記載箇所又は記載内容の相違（記載方針の相違）  
緑字：記載表現、設備名称の相違（実質的な相違なし）

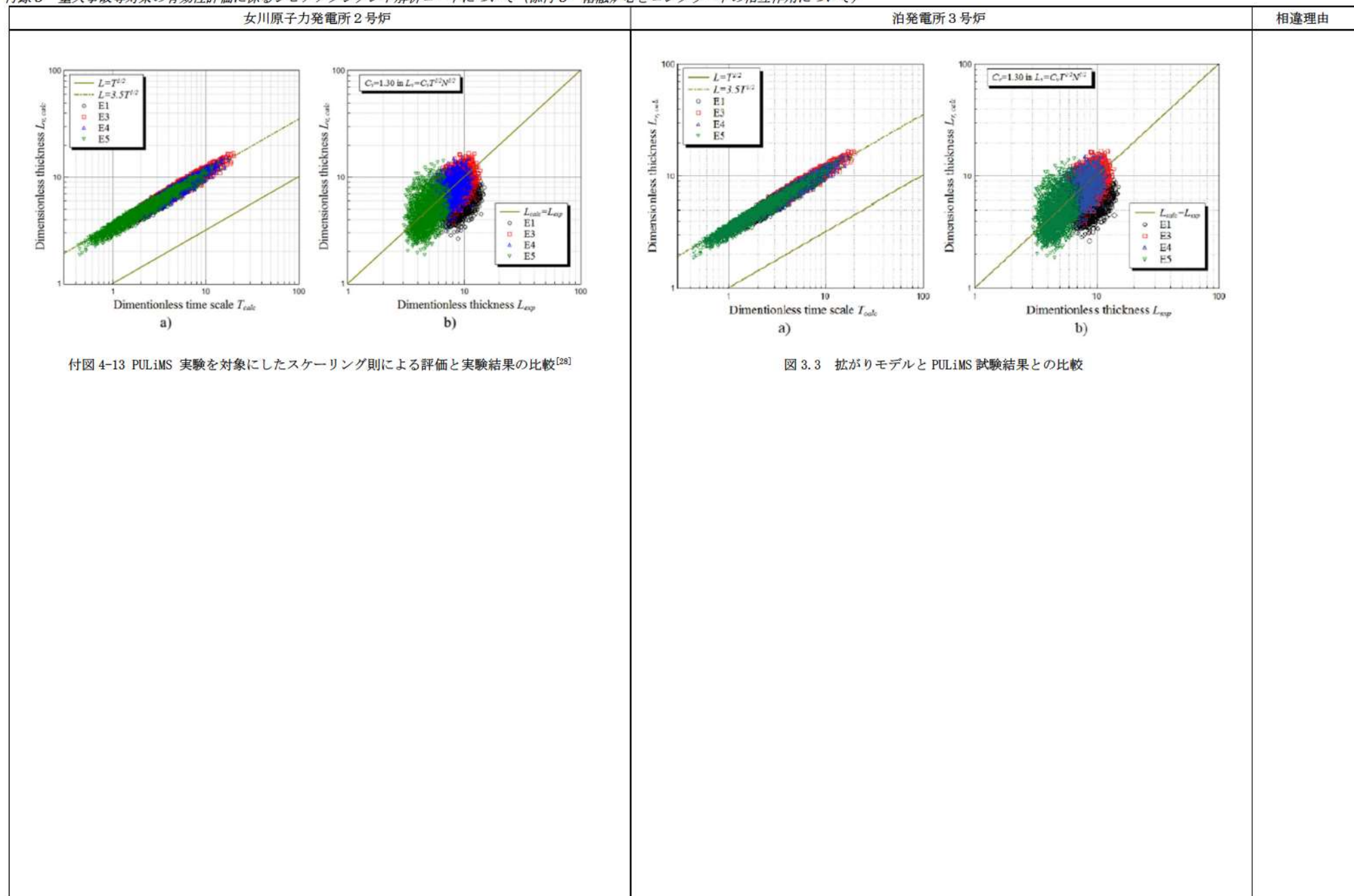
付録3 重大事故等対策の有効性評価に係るシビアアクシデント解析コードについて（添付3 溶融炉心とコンクリートの相互作用について）

女川原子力発電所2号炉	泊発電所3号炉	相違理由
<p><math>\tau_{conv,v} = \left( \frac{V_{tot} \tau_{solid}^{1/2}}{\pi \cdot \beta_v^2 \cdot \delta_{cap} \cdot C_v \cdot N^{1/2}} \right)^{2/3}</math> (4)</p> <p><math>N = \left( \frac{V_{tot}}{\pi \delta_{cap}} \right)^{1/3} \frac{\beta_v^{4/3}}{\beta_v^2}</math> (5)</p> <p>(4)式及び(5)式により <math>\tau_{conv,v}</math> が求まり、次式で拡がり距離が得られる。</p> <p><math>r_v(\tau_{conv,v}) = \beta_v \cdot \tau_{conv,v}^{1/2}</math> (6)</p> <p>BWRの溶融物条件（付表4-6参照）を用いて、上記のPULiMSスケーリング則を適用し、(6)式により溶融物の拡がり半径を評価した。付図4-14に評価結果を示す。制御棒駆動機構ハウジング破損時の溶融物落下質量速度である約8500kg/sの場合、約18mの拡がり半径を得る。溶融物質量を減らして落下質量速度を減らすと、拡がり距離は減少するが、BWR条件の落下質量速度の1/10にしても、まだ、ペデスタル半径（Mark-I改の場合約3.2m）を超えた拡がり半径を得る。したがって、PULiMSスケーリング則を適用しても、BWRの溶融物条件では、溶融物はペデスタル床全面に拡がる結果となる。</p> <p>付図4-12 溶融炉心の拡がりに関わる熱伝達及び流体力学的な力を示す模式図</p>	<p>さらに、上記の拡がりモデルについては、PULiMS試験との比較により、その妥当性が示されており、図3.3に示すとおり、実験で得られたデータと評価モデルとの比較が実施され、概ね一致している。</p> <p>実機評価においては、各入力パラメータに対する実機での条件を適切に与えることにより、拡がり挙動について解析を実施する。</p>	※BWR固有の解析

泊発電所3号炉 有効性評価 比較表

付録3 重大事故等対策の有効性評価に係るシビアアクシデント解析コードについて（添付3 溶融炉心とコンクリートの相互作用について）

赤字：設備、運用又は体制の相違（設計方針の相違）
青字：記載箇所又は記載内容の相違（記載方針の相違）
緑字：記載表現、設備名称の相違（実質的な相違なし）

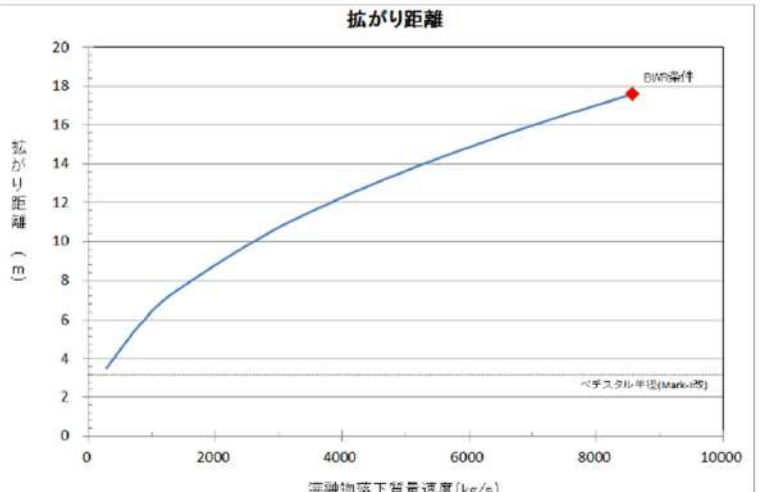


付図 4-13 PULiMS 実験を対象にしたスケーリング則による評価と実験結果との比較<sup>[28]</sup>

図 3.3 拡がりモデルと PULiMS 試験結果との比較

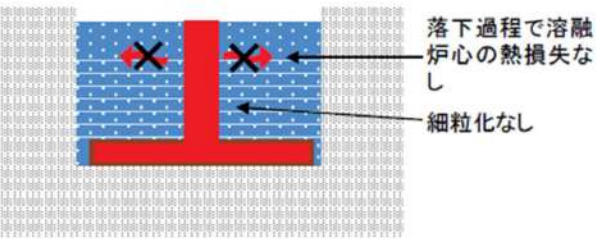
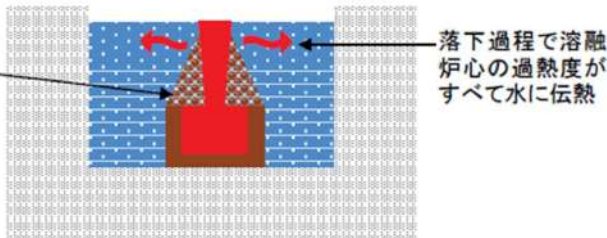
泊発電所3号炉 有効性評価 比較表

付録3 重大事故等対策の有効性評価に係るシビアアクシデント解析コードについて（添付3 溶融炉心とコンクリートの相互作用について）

女川原子力発電所2号炉	泊発電所3号炉	相違理由
<p>本資料のうち、枠囲みの内容は商業機密に属しますので公開できません。</p> <p>付表4-6 BWR溶融物条件（BWR5 Mark-I改）</p> 		
<p>拡がり距離</p>  <p>付図4-14 溶融物落下質量速度と拡がり距離の関係（PULIMSスケーリング則適用）</p>	※BWR固有の解析	

泊発電所3号炉 有効性評価 比較表

付録3 重大事故等対策の有効性評価に係るシビアアクシデント解析コードについて（添付3 溶融炉心とコンクリートの相互作用について）

女川原子力発電所2号炉	泊発電所3号炉	相違理由
	<p>4. 実機評価</p> <p>これまでの実験の知見から、デブリジェットが原子炉下部キャビティ床に到達するまでの落下過程において冷却されず高温のまま床に到達する場合には、溶融炉心の拡がりは大きくなり、反対に、溶融炉心が落下時に細粒化などにより冷却が進む場合には、溶融炉心の拡がりは小さくなると考えられる。図4.1及び図4.2にそれぞれの場合の模式図を示す。感度解析では、これらのケースに対する溶融炉心の拡がり面積を算出し、MAAPコードの解析の入力条件とする。</p>  <p>図4.1 落下時に冷却されず高温のまま床に到達するケース      (溶融炉心からの除熱が進まず、固化割合が小さいため拡がりが大きくなる。)</p>  <p>図4.2 落下時に細粒化などにより冷却が進むケース      (溶融炉心からの除熱が進み、固化割合が大きくなるため拡がりが抑制される。)</p> <p>表4.1に1回目の原子炉容器破損時の溶融炉心落下条件について示す。また、表4.2に落下時に冷却されず高温のまま床に到達するケースと落下時に細粒化などにより冷却が進むケースの細粒化割合と過熱度の熱損失をまとめたものである。</p> <p>前者のケースでは、デブリジェットが原子炉下部キャビティ床に到達するまでの落下過程において、溶融炉心の冷却が進まないような条件として、細粒化無しとし、また、落下過程における溶融炉心—原子炉下部キャビティ水間の熱伝達による溶融炉心の熱損失も無しとしている。</p>	

泊発電所3号炉 有効性評価 比較表

付録3 重大事故等対策の有効性評価に係るシビアアクシデント解析コードについて（添付3 溶融炉心とコンクリートの相互作用について）

女川原子力発電所2号炉	泊発電所3号炉	相違理由
	<p>一方、後者のケースでは、デブリジェットが原子炉下部キャビティ床に到達するまでの落下過程において、溶融炉心の冷却が進むような条件として、細粒化割合は Saito の相關式を用い、また、溶融炉心の熱損失については、溶融炉心の過熱度分がすべて水と熱交換するとしている。</p> <p>評価結果を表 4.3 に示す。拡がり直径については、前者のケースで約 7.7m、後者のケースで約 1.5m となった。</p>	

表 4.1 溶融炉心放出時のパラメータ

項目	値
メルト質量 [kg]	48,600
放出時間 [s]	100
メルト温度 [K]	2,554.05
冷却水温度 [K]	408.05
メルト密度 [kg/m <sup>3</sup> ]	8,463.1
冷却水密度 [kg/m <sup>3</sup> ]	931
ジェット径 [m]	0.4
ジェット粘性係数 [Pa*s]	10.5
ジェット表面張力 [N/m]	1
メルト比熱 [J/kg/K]	484.6
冷却水比熱 [J/kg/K]	4,280
単位質量当たりの崩壊熱 [W/kg]	264.2
固化温度 (Ts <sub>sol</sub> ) [K]	2,308.25
液化温度 (T <sub>liq</sub> ) [K]	2,308.25
メルト融解熱 [J/kg]	326,415

表 4.2 各ケースに対する主な入力パラメータ

	落下時に冷却されず高温のまま床に到達するケース	落下時に細粒化などにより冷却が進むケース
メルト細粒化割合 [-]	0.0	0.66
ジェット冷却による過熱度の熱損失 [K]	0	245.8

表 4.3 溶融炉心の拡がり評価結果

	落下時に冷却されず高温のまま床に到達するケース	落下時に細粒化などにより冷却が進むケース
拡がり直径 [m]	約 7.7	約 1.5
拡がり面積 [m <sup>2</sup> ]	約 47	約 1.8

泊発電所3号炉 有効性評価 比較表

付録3 重大事故等対策の有効性評価に係るシビアアクシデント解析コードについて（添付3 溶融炉心とコンクリートの相互作用について）

女川原子力発電所2号炉	泊発電所3号炉	相違理由
	<p>5. 参考文献</p> <p>[1] Pavel Kudinov, et al., " Experimental Results on Pouring and Underwater Liquid Melt Spreading and Energetic Melt-Coolant Interaction," The 9th International Topical Meeting on Nuclear Thermal-Hydraulics, Operation and Safety (NUTHOS-9), Kaohsiung, Taiwan, September 9-13, 2012.</p> <p>[2] Sehgal, B.R., Dinh, T.N., Green, J.A., Konovalikhin, M.J., Paladino, D., Leung, W.H., Gubaidulin, A.A., " Experimental Investigation of Melt Spreading in One-Dimensional Channel", RIT/NPS Research Report for European Union EU-CSC-1D1-97, 86p., 1997.</p> <p>[3] Greene, G.A., Finrock, C., Klages, J., and Schwarz, C.E., " Experimental Studies on Melt Spreading, Bubbling Heat Transfer and Coolant Layer Boiling," Proceedings of 16th Water Reactor Safety Meeting, NUREG/CP-0096, pp.341-358, (1988).</p> <p>[4] Suzuki, H., et al., " Fundamental Experiment and Analysis for Melt Spreading on Concrete Floor," Proceedings of 2nd ASME/JSME Nuclear Engineering Conference, Vol. 1, pp. 403-407, (1993).</p> <p>[5] Fieg, G., et al., " Simulation Experiments on the Spreading Behavior of Molten Core Debris", Proceedings of the 1996 National Heat Transfer Conference, in the session "Fundamental Phenomena in Severe Accidents", Houston, Texas, August 3-6, 1996, HTC-Vol.9, pp. 121-129.</p> <p>[6] Alsmeyer H., et al., " Overview on the Results of the RCA Project on Molten Core - Concrete Interactions", FISA-95 Proceedings, Luxemburg, EUR 16896 EN, pp. 231-255 (1996).</p> <p>[7] Konovalenko A. and Kudinov P., "Development of Scaling Approach for Prediction of Terminal Spread Thickness of Melt Poured into a Pool of Water," Proceedings of The 9th International Topical Meeting on Nuclear Thermal-Hydraulics, Operation and Safety (NUTHOS-9), Kaohsiung, Taiwan, September 9-13, N9P0302, 2012.</p> <p>[8] Dinh, T.N.Konovalikhin, M.J., Sehgal,B.R., " Core melt spreading on a reactor containment floor", Progress in Nuclear Energy, 36(4), pp. 405-468, (2000).</p> <p>[9] Maxim J.K., Investigations on Melt Spreading and Coolability in a LWR Severe Accident, Doctoral Thesis, Royal Institute of Technology Stockholm, 2001.</p>	

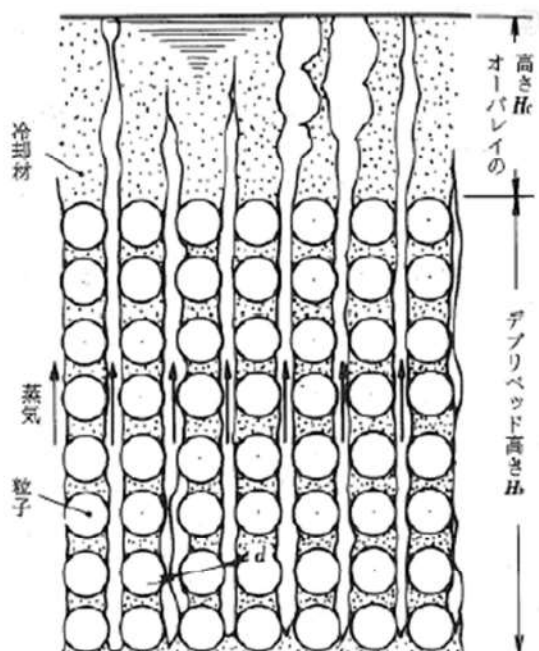
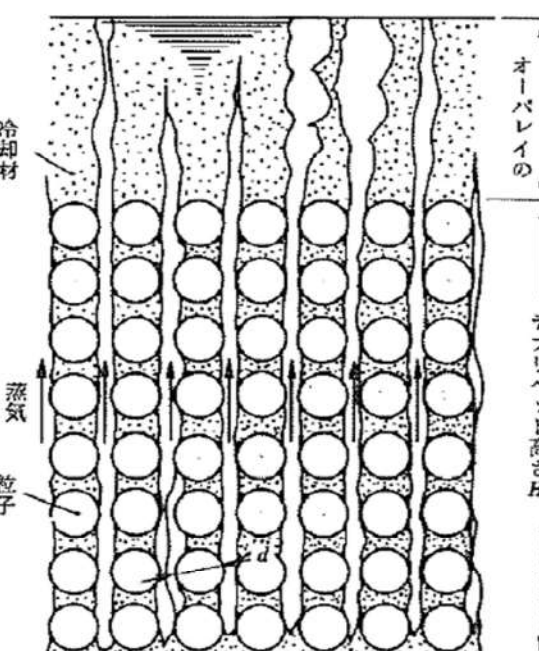
泊発電所3号炉 有効性評価 比較表

付録3 重大事故等対策の有効性評価に係るシビアアクシデント解析コードについて（添付3 溶融炉心とコンクリートの相互作用について）

女川原子力発電所2号炉	泊発電所3号炉	相違理由
<p>付録5 粒子状ベッドの冷却性実験と解析モデル</p> <p>粒子状ベッドの冷却性については、高速増殖炉の炉心損傷事故の評価において重要な評価となることから、従来から多くの実験的及び解析的研究が行われてきている<sup>[32]</sup>。また、TMI-2事故以降は、軽水炉を対象とした研究も進められている。</p> <p>デブリベッド冷却に関する研究の主要な焦点の一つは、デブリベッドの冷却限界が、崩壊熱を上回るかどうかであり、判断基準のパラメータはデブリベッドのドライアウト熱流束と考えられている。発熱する粒子状ベッドの内を流下する冷却水と上昇する蒸気の対向二相流がデブリベッド内で形成される。粒子状デブリベッドの流動状態の模式図を付図5-1に示す。崩壊熱が高いと、局所的にデブリベッド内でドライアウトが生じ、デブリベッドの温度が急激に高くなる。この時の熱流束がドライアウト熱流束となる。粒子状デブリベッドのドライアウト熱流束は、種々の実験が行われ、種々の相関式が提案されている。その中でも Lipinski 0-D モデル<sup>[24]</sup>（次頁参照）は、小さい粒径から大きい粒径まで適用可能とされており、広く使われている。MAAPコード内でも圧力容器下部プレナムの粒子状ベッドの冷却の評価に使用されている。Lipinski 0-D モデルでは、ドライアウト熱流束は、主に粒子径、ポロシティ、堆積高さ、圧力に依存する。</p>	<p>添付3-2 粒子状ベッドの冷却性実験と解析モデル</p> <p>粒子状ベッドの冷却性については、高速増殖炉の炉心損傷事故の評価において重要な評価となることから、従来から多くの実験的及び解析的研究が行われてきている。また、TMI-2事故以降は、軽水炉を対象とした研究も進められている。</p> <p>デブリベッド冷却に関する研究の主要な焦点の一つは、デブリベッドの冷却限界が、崩壊熱を上回るかどうかであり、判断基準のパラメータはデブリベッドのドライアウト熱流束と考えられている。発熱する粒子状ベッドの内を流下する冷却水と上昇する蒸気の対向二相流がデブリベッド内で形成される。粒子状デブリベッドの流動状態の模式図を付図2-1に示す。崩壊熱が高いと、局所的にデブリベッド内でドライアウトが生じ、デブリベッドの温度が急激に高くなる。この時の熱流束がドライアウト熱流束となる。粒子状デブリベッドのドライアウト熱流束は、種々の実験が行われ、種々の相関式が提案されている。その中でも Lipinski 0-D モデル（付表2-1参照）は、小さい粒径から大きい粒径まで適用可能とされており、広く使われている。MAAPコード内でも乱流域に対する Lipinski 0-D モデルが粒子状ベッドの冷却の評価に使用されている。Lipinski 0-D モデルでは、ドライアウト熱流束は、主に粒子径、ポロシティ、堆積高さ、圧力に依存する。</p>	

泊発電所3号炉 有効性評価 比較表

付録3 重大事故等対策の有効性評価に係るシビアアクシデント解析コードについて（添付3 溶融炉心とコンクリートの相互作用について）

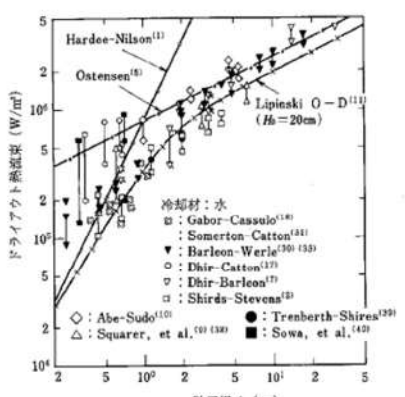
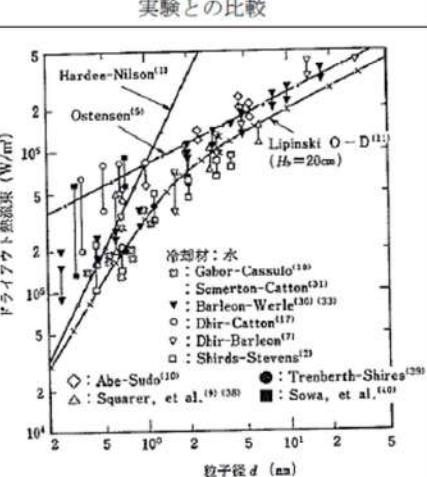
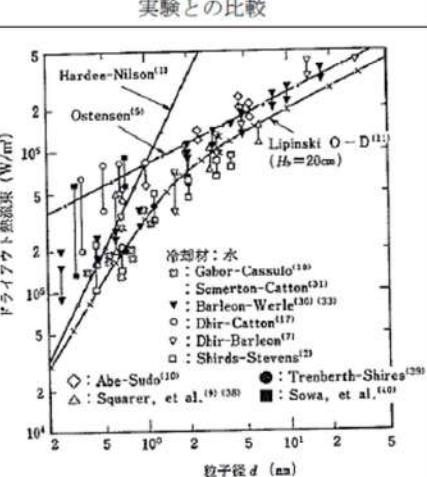
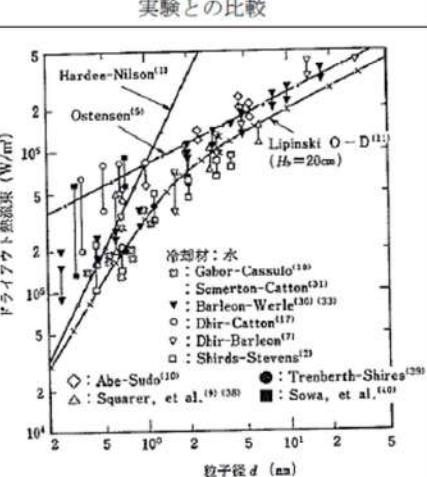
女川原子力発電所2号炉	泊発電所3号炉	相違理由
		

付図5-1 粒子状デブリベッドの流動状態の模式図<sup>[32]</sup>

付図2-1 粒子状ベッド冷却の流動モデル  
出展：日本機械学会編「沸騰熱伝達と冷却」日本工業出版（平成元年）

泊発電所3号炉 有効性評価 比較表

付録3 重大事故等対策の有効性評価に係るシビアアクシデント解析コードについて（添付3 溶融炉心とコンクリートの相互作用について）

女川原子力発電所2号炉	泊発電所3号炉	相違理由			
<p>Lipinski 0-Dモデルについて（日本機械学会編「沸騰熱伝達と冷却」より抜粋）</p> <p>c. Lipinskiの0-Dモデル<sup>(11)</sup></p> <p>Lipinskiは多孔質の対向二相流の気液各相で、層流及び乱流に適用できる運動量の式を、連続の式、エネルギーの式と共に連立して解いた。</p> <p>連続の式</p> $\rho_v U_v = \rho_l U_l \quad \dots(8.14)$ <p>運動量の式（気相）</p> $\rho_v U_v^2 / \eta \eta_v + \mu_v U_v / \kappa \kappa_v + \rho_v g = \Delta P_v / H_b \quad \dots(8.15)$ <p>運動量の式（液相）</p> $-\rho_l U_l^2 / \eta \eta_l - \mu_l U_l / \kappa \kappa_l + \rho_l g = \Delta P_l / H_b \quad \dots(8.16)$ <p>エネルギー式</p> $\rho_v U_v \Delta h_v = \dot{Q} H_b \quad \dots(8.17)$ <p>圧力の釣合<sup>(15)(16)</sup></p> $\Delta P_v - \Delta P_l = \sigma (\epsilon / 5\kappa)^{1/2} \quad \dots(8.18)$ <p>ここで、  <math>U</math>：見掛け流速  <math>\kappa</math>：層流での浸透率  <math>\eta</math>：乱流での浸透率  <math>\kappa_v, \kappa_l, \eta_v, \eta_l</math>：各々層流及び乱流での気液の比浸透率（無次元）</p> <p>でデブリベッド内の平均液体存在割合 <math>s</math> の関数で、以下のように表わしている<sup>(19)</sup>。</p> $\kappa = (d^2 / 180) \epsilon^3 / (1 - \epsilon)^2$ $\eta = (d / 1.75) \epsilon^3 / (1 - \epsilon)$ $\kappa_v = 1 - 1.11s, \kappa_l = s^3$ $\eta_v = (1 - s)^3, \eta_l = s^3$ <p>上述の関係を用いると、式(8.14)～式(8.18)からデブリベッド上面での熱流束 <math>q</math> (<math>= \dot{Q} H_b</math>) は下式で与えられる。</p> $q = \rho_v \Delta h_v u_1 \left[ \left\{ 1 + (u_2 / u_1)^2 \right\}^{1/2} - 1 \right] \quad \dots(8.19)$ $u_1 = \frac{90(1-\epsilon)}{1.75 d} \left\{ \frac{\mu_v}{\rho_v(1-1.11s)} + \frac{\mu_l}{\rho_l s^3} \right\} / \left\{ \frac{1}{\rho_v(1-s)^3} + \frac{1}{\rho_l s^3} \right\}$ $u_2 = \left[ \frac{d \epsilon^3 (\rho_l - \rho_v) g}{1.75(1-\epsilon)} \left\{ 1 + \frac{6\sigma(1-\epsilon)}{\epsilon d(\rho_l - \rho_v) g H_b} \right\} / \left\{ \frac{1}{\rho_v(1-s)^3} + \frac{1}{\rho_l s^3} \right\} \right]^{1/2}$ <p>ドライアウト熱流束は、式(8.19)が <math>s</math> (<math>0 \leq s \leq 1</math>) に関して極大値をとる条件として求まる。</p>  <p>図 8-6 冷却材が水の場合の理論式・半実験式と実験結果との比較</p>	<p>付表2-1 Lipinski 0-Dモデルについて      出展：日本機械学会編「沸騰熱伝達と冷却」日本工業出版（平成元年）</p> <table border="1"> <thead> <tr> <th>モデル</th> <th>実験との比較</th> </tr> </thead> <tbody> <tr> <td> <p>c. Lipinskiの0-Dモデル<sup>(11)</sup></p> <p>Lipinskiは多孔質の対向二相流の気液各相で、層流及び乱流に適用できる運動量の式を、連続の式、エネルギーの式と共に連立して解いた。</p> <p>連続の式</p> <math display="block">\rho_v U_v = \rho_l U_l \quad \dots(8.14)</math> <p>運動量の式（気相）</p> <math display="block">\rho_v U_v^2 / \eta \eta_v + \mu_v U_v / \kappa \kappa_v + \rho_v g = \Delta P_v / H_b \quad \dots(8.15)</math> <p>運動量の式（液相）</p> <math display="block">-\rho_l U_l^2 / \eta \eta_l - \mu_l U_l / \kappa \kappa_l + \rho_l g = \Delta P_l / H_b \quad \dots(8.16)</math> <p>エネルギー式</p> <math display="block">\rho_v U_v \Delta h_v = \dot{Q} H_b \quad \dots(8.17)</math> <p>圧力の釣合<sup>(19)</sup></p> <math display="block">\Delta P_v - \Delta P_l = \sigma (\epsilon / 5\kappa)^{1/2} \quad \dots(8.18)</math> <p>ここで、  <math>U</math>：見掛け流速  <math>\kappa</math>：層流での浸透率  <math>\eta</math>：乱流での浸透率  <math>\kappa_v, \kappa_l, \eta_v, \eta_l</math>：各々層流及び乱流での気液の比浸透率（無次元）</p> <p>でデブリベッド内の平均液体存在割合 <math>s</math> の関数で、以下のように表わしている<sup>(19)</sup>。</p> <math display="block">\kappa = (d^2 / 180) \epsilon^3 / (1 - \epsilon)^2</math> <math display="block">\eta = (d / 1.75) \epsilon^3 / (1 - \epsilon)</math> <math display="block">\kappa_v = 1 - 1.11s, \kappa_l = s^3</math> <math display="block">\eta_v = (1 - s)^3, \eta_l = s^3</math> <p>上述の関係を用いると、式(8.14)～式(8.18)からデブリベッド上面での熱流束 <math>q</math> (<math>= \dot{Q} H_b</math>) は下式で与えられる。</p> <math display="block">q = \rho_v \Delta h_v u_1 \left[ \left\{ 1 + (u_2 / u_1)^2 \right\}^{1/2} - 1 \right] \quad \dots(8.19)</math> <math display="block">u_1 = \frac{90(1-\epsilon)}{1.75 d} \left\{ \frac{\mu_v}{\rho_v(1-1.11s)} + \frac{\mu_l}{\rho_l s^3} \right\} / \left\{ \frac{1}{\rho_v(1-s)^3} + \frac{1}{\rho_l s^3} \right\}</math> <math display="block">u_2 = \left[ \frac{d \epsilon^3 (\rho_l - \rho_v) g}{1.75(1-\epsilon)} \left\{ 1 + \frac{6\sigma(1-\epsilon)}{\epsilon d(\rho_l - \rho_v) g H_b} \right\} / \left\{ \frac{1}{\rho_v(1-s)^3} + \frac{1}{\rho_l s^3} \right\} \right]^{1/2}</math> <p>ドライアウト熱流束は、式(8.19)が <math>s</math> (<math>0 \leq s \leq 1</math>) に関して極大値をとる条件として求まる。</p>  </td><td></td></tr> </tbody> </table>	モデル	実験との比較	<p>c. Lipinskiの0-Dモデル<sup>(11)</sup></p> <p>Lipinskiは多孔質の対向二相流の気液各相で、層流及び乱流に適用できる運動量の式を、連続の式、エネルギーの式と共に連立して解いた。</p> <p>連続の式</p> $\rho_v U_v = \rho_l U_l \quad \dots(8.14)$ <p>運動量の式（気相）</p> $\rho_v U_v^2 / \eta \eta_v + \mu_v U_v / \kappa \kappa_v + \rho_v g = \Delta P_v / H_b \quad \dots(8.15)$ <p>運動量の式（液相）</p> $-\rho_l U_l^2 / \eta \eta_l - \mu_l U_l / \kappa \kappa_l + \rho_l g = \Delta P_l / H_b \quad \dots(8.16)$ <p>エネルギー式</p> $\rho_v U_v \Delta h_v = \dot{Q} H_b \quad \dots(8.17)$ <p>圧力の釣合<sup>(19)</sup></p> $\Delta P_v - \Delta P_l = \sigma (\epsilon / 5\kappa)^{1/2} \quad \dots(8.18)$ <p>ここで、  <math>U</math>：見掛け流速  <math>\kappa</math>：層流での浸透率  <math>\eta</math>：乱流での浸透率  <math>\kappa_v, \kappa_l, \eta_v, \eta_l</math>：各々層流及び乱流での気液の比浸透率（無次元）</p> <p>でデブリベッド内の平均液体存在割合 <math>s</math> の関数で、以下のように表わしている<sup>(19)</sup>。</p> $\kappa = (d^2 / 180) \epsilon^3 / (1 - \epsilon)^2$ $\eta = (d / 1.75) \epsilon^3 / (1 - \epsilon)$ $\kappa_v = 1 - 1.11s, \kappa_l = s^3$ $\eta_v = (1 - s)^3, \eta_l = s^3$ <p>上述の関係を用いると、式(8.14)～式(8.18)からデブリベッド上面での熱流束 <math>q</math> (<math>= \dot{Q} H_b</math>) は下式で与えられる。</p> $q = \rho_v \Delta h_v u_1 \left[ \left\{ 1 + (u_2 / u_1)^2 \right\}^{1/2} - 1 \right] \quad \dots(8.19)$ $u_1 = \frac{90(1-\epsilon)}{1.75 d} \left\{ \frac{\mu_v}{\rho_v(1-1.11s)} + \frac{\mu_l}{\rho_l s^3} \right\} / \left\{ \frac{1}{\rho_v(1-s)^3} + \frac{1}{\rho_l s^3} \right\}$ $u_2 = \left[ \frac{d \epsilon^3 (\rho_l - \rho_v) g}{1.75(1-\epsilon)} \left\{ 1 + \frac{6\sigma(1-\epsilon)}{\epsilon d(\rho_l - \rho_v) g H_b} \right\} / \left\{ \frac{1}{\rho_v(1-s)^3} + \frac{1}{\rho_l s^3} \right\} \right]^{1/2}$ <p>ドライアウト熱流束は、式(8.19)が <math>s</math> (<math>0 \leq s \leq 1</math>) に関して極大値をとる条件として求まる。</p> 	
モデル	実験との比較				
<p>c. Lipinskiの0-Dモデル<sup>(11)</sup></p> <p>Lipinskiは多孔質の対向二相流の気液各相で、層流及び乱流に適用できる運動量の式を、連続の式、エネルギーの式と共に連立して解いた。</p> <p>連続の式</p> $\rho_v U_v = \rho_l U_l \quad \dots(8.14)$ <p>運動量の式（気相）</p> $\rho_v U_v^2 / \eta \eta_v + \mu_v U_v / \kappa \kappa_v + \rho_v g = \Delta P_v / H_b \quad \dots(8.15)$ <p>運動量の式（液相）</p> $-\rho_l U_l^2 / \eta \eta_l - \mu_l U_l / \kappa \kappa_l + \rho_l g = \Delta P_l / H_b \quad \dots(8.16)$ <p>エネルギー式</p> $\rho_v U_v \Delta h_v = \dot{Q} H_b \quad \dots(8.17)$ <p>圧力の釣合<sup>(19)</sup></p> $\Delta P_v - \Delta P_l = \sigma (\epsilon / 5\kappa)^{1/2} \quad \dots(8.18)$ <p>ここで、  <math>U</math>：見掛け流速  <math>\kappa</math>：層流での浸透率  <math>\eta</math>：乱流での浸透率  <math>\kappa_v, \kappa_l, \eta_v, \eta_l</math>：各々層流及び乱流での気液の比浸透率（無次元）</p> <p>でデブリベッド内の平均液体存在割合 <math>s</math> の関数で、以下のように表わしている<sup>(19)</sup>。</p> $\kappa = (d^2 / 180) \epsilon^3 / (1 - \epsilon)^2$ $\eta = (d / 1.75) \epsilon^3 / (1 - \epsilon)$ $\kappa_v = 1 - 1.11s, \kappa_l = s^3$ $\eta_v = (1 - s)^3, \eta_l = s^3$ <p>上述の関係を用いると、式(8.14)～式(8.18)からデブリベッド上面での熱流束 <math>q</math> (<math>= \dot{Q} H_b</math>) は下式で与えられる。</p> $q = \rho_v \Delta h_v u_1 \left[ \left\{ 1 + (u_2 / u_1)^2 \right\}^{1/2} - 1 \right] \quad \dots(8.19)$ $u_1 = \frac{90(1-\epsilon)}{1.75 d} \left\{ \frac{\mu_v}{\rho_v(1-1.11s)} + \frac{\mu_l}{\rho_l s^3} \right\} / \left\{ \frac{1}{\rho_v(1-s)^3} + \frac{1}{\rho_l s^3} \right\}$ $u_2 = \left[ \frac{d \epsilon^3 (\rho_l - \rho_v) g}{1.75(1-\epsilon)} \left\{ 1 + \frac{6\sigma(1-\epsilon)}{\epsilon d(\rho_l - \rho_v) g H_b} \right\} / \left\{ \frac{1}{\rho_v(1-s)^3} + \frac{1}{\rho_l s^3} \right\} \right]^{1/2}$ <p>ドライアウト熱流束は、式(8.19)が <math>s</math> (<math>0 \leq s \leq 1</math>) に関して極大値をとる条件として求まる。</p> 					

泊発電所3号炉 有効性評価 比較表

付録3 重大事故等対策の有効性評価に係るシビアアクシデント解析コードについて（添付3 溶融炉心とコンクリートの相互作用について）

参考文献: 女川原子力発電所2号炉	泊発電所3号炉	相違理由
<p>[1] （財）原子力発電技術機構（NUPEC），「重要構造物安全評価（原子炉格納容器信頼性実証事業）に関する 総括報告書」（2003）</p> <p>[2] EPRI, Technical Foundation of Reactor Safety, Revision 1, Knowledge Base for Resolving Severe Accident Issues, 1022186 (2010).</p> <p>[3] B. R. Sehgal, et al., "ACE Project Phases C &amp; D : ACE/MCCI and MACE Tests," Proceedings of the U.S. Nuclear Regulatory Commission, 19th Water Reactor Safety Information Meeting, NUREG/CP-0119, Vol. 2 (1991).</p> <p>[4] E. R. Copus, et al., "Sustained Uranium-Concrete Interactions (SURC)", Reactor Safety Research Semiannual Report, NUREG/CR-4805 (1986).</p> <p>[5] G. A. Greene, R. A. Bari, "ISP-24 International Standard Problem No 24, SURC-4 Experiment On Core-Concrete Interactions, Final Workshop Summary Report," CSNI Report No 155, Volume 2 (1989).</p> <p>[6] H. Alsmeyer, et al., "BETA experiments on Zirconium Oxidation and Aerosol Release during Melt-Concrete interaction," Proceedings of the Second OECD (NEA) CSNI Specialist Meeting on Molten Core Debris-Concrete Interactions, NEA/CSNI/R(92)10, Karlsruhe, Germany (1992).</p> <p>[7] R. E. Blose, et al., "SWISS: Sustained Heated Metallic Melt/Concrete Interactions With Overlying Water Pools," NUREG/CR-4727 (1987).</p> <p>[8] R. E. Blose, et al., "Core-Concrete Interactions with Overlying Water Pools -The WETCOR-1 Test," NUREG/CR-5907 (1993).</p> <p>[9] M. T. Farmer, et al., "Status of Large Scale MACE Core Coolability Experiments," OECD Workshop on Ex-Vessel Debris Coolability, Karlsruhe, Germany (1999).</p> <p>[10] M. T. Farmer, et al., "Corium Coolability under Ex-Vessel Accident Conditions for LWRs," Nuc. Eng. and Technol., 41, 5 (2009).</p> <p>[11] H. Nagasaka, et al., "COTELS Project (3): Ex-vessel Debris Cooling Tests," OECD</p>		

泊発電所3号炉 有効性評価 比較表

付録3 重大事故等対策の有効性評価に係るシビアアクシデント解析コードについて（添付3 溶融炉心とコンクリートの相互作用について）

女川原子力発電所2号炉	泊発電所3号炉	相違理由
<p>Workshop on Ex-Vessel Debris Coolability, Karlsruhe, Germany (1999).</p> <p>[12] M. T. Farmer, et al., "OECD MCCI Project Final Report," OECD/MCCI-2005-TR06(2006).</p> <p>[13] M. T. Farmer, et al., "OECD MCCI-2 Project Final Report," OECD/MCCI-2010-TR07 (2010).</p> <p>[14] D. Magallon, "Characteristics of corium debris bed generated in largescalefuel-coolant interaction experiments," Nucl. Eng. Design, 236 1998–2009(2006).</p> <p>[15] M. Kato, H. Nagasaka, et al., "COTELS Fuel Coolant Interaction Tests underEx-Vessel Conditions," JAERI-Conf 2000-015 (2000).</p> <p>[16] A. Karbojian, et al., "A scoping study of debris bed formation in theDEFOR test facility," Nucl. Eng. Design 239 1653–1659, (2009).</p> <p>[17] T. G. Theofanous, et al., "The Probability of Liner Failure in a Mark-IContainment," NUREG/CR-5423, (1991).</p> <p>[18] G. A. Greene, et al., "Experimental Studies on Melt Spreading, Bubbling HeatTransfer and Coolant Layer Boiling," Proceedings of 16th Water Reactor SafetyInformation Meeting, NUREG/CP-0096, pp. 341–358 (1988).</p> <p>[19] H. Suzuki, et al., "Fundamental Experiment and Analysis for Melt Spreadingon Concrete Floor," Proceedings of 2nd ASME/JSME Nuclear EngineeringConference, Vol. 1, pp. 403–407 (1993).</p> <p>[20] (社)日本原子力学会, シビアアクシデント熱流動現象評価 (2001)</p> <p>[21] A. Konovalenko, et al., "Experimental Results on Pouring and UnderwaterLiquid Melt Spreading and Energetic Melt-Coolant Interaction," Proceedings of NUTHOS-9, N9P0303, Taiwan (2012).</p> <p>[22] J. D. Gabor, L. Baker, Jr., and J. C. Cassulo, (ANL), "Studies on HeatRemoval and Bed Leveling of Induction-heated Materials Simulating FuelDebris," SAND76-9008 (1976).</p> <p>[23] Proceedings of the Second OECD(NEA) CSNI Specialist Meeting on Molten CoreDebris-Concrete Interactions, NEA/CSNI/R(92)10, Karlsruhe, Germany (1992).</p>		

泊発電所3号炉 有効性評価 比較表

付録3 重大事故等対策の有効性評価に係るシビアアクシデント解析コードについて（添付3 溶融炉心とコンクリートの相互作用について）

女川原子力発電所2号炉	泊発電所3号炉	相違理由
<p>[24] R.J.Lipinski, "A Model for Boiling and Dryout in Particle Beds," NUREG/CR-2646, SAND82-0765 (1982).</p> <p>[25] F.P.Ricou, D.B.Spalding, "Measurements of Entrainment by Axisymmetrical Turbulent Jets," Journal of Fluid Mechanics, Vol.11, pp.21-32 (1961).</p> <p>[26] M.Saito, K.Sato, S.Imahori, "Experimental Study on Penetration Behaviors of Water Jet into Freon-11 and Liquid Nitrogen," ANS Proc. of National Heat Transfer Conference, Houston, Texas, USA, (1988).</p> <p>[27] T.N.Dinh, et al., "Core Melt Spreading on a Reactor Containment Floor," Progress in Nuclear Energy, Vol. 36, No. 4, pp. 405-468 (2000).</p> <p>[28] A.Konovalenko, P.Kudinov, "Development of Scaling Approach for Prediction of Terminal Spread Thickness of Melt Poured into a Pool of Water," Proceedings of NUTHOS-9, N9P0302, Taiwan (2012).</p> <p>[29] B.Eppinger, et al., "KATS Experiments to Simulate Corium Spreading in the EPR Core Catcher Concept," FzK, Karlsruhe, Germany.</p> <p>[30] B.Eppinger, et al., "Simulationsexperimente zum Ausbreitungsverhalten von Kernschmelzen: KATS-8 bis KATS-17," FZKA 6589 (2001).</p> <p>[31] I.Lindholm, "A Review of Dryout Heat Fluxes and Coolability of Particle Beds," SKI Report 02:17 (2002).</p> <p>[32] 日本機械学会編, 「沸騰熱伝達と冷却: 第8章 デブリベッドの冷却」, 日本工業出版, 平成元年</p> <p>[33] (財) 原子力安全研究協会, 「シビアアクシデント対策評価のための格納容器イベントツリーに関する検討」, 平成13年7月          付録7-4 溶融炉心の粒子化割合, 付録7-5 粒子状物質ベッドの冷却性          付録7-6 粒子状物質の粒子径</p> <p>[34] EPRI/FAI, MAAP4 Computer Code Manual (2007).</p>		

泊発電所3号炉 有効性評価 比較表

付録3 重大事故等対策の有効性評価に係るシビアアクシデント解析コードについて（添付3 溶融炉心とコンクリートの相互作用について）

女川原子力発電所2号炉	泊発電所3号炉	相違理由
[35] Q. Zhou, et al., "Benchmark of MCCI Model in MAAP5.02 against OECD CCIExperiment Series," Proceedings of ICAPP 2014, ICAPP-14352, Charlotte, USA, (2014).		
[36] J. M. Veteau and R. Wittmaack., "CORINE Experiments and Theoretical Modeling," Proceedings of FISA-95, Luxemburg EUR 16896 EN, pp. 271-285 (1996).		
[37] R. K. Cole, et al., "CORCON-Mod2: A Computer Program for Analysis of MoltenCore-Concrete Interactions," NUREG/CR-3920, SAND84-1246, Sandia National Laboratories, Albuquerque, NM (1984).		
[38] 独立行政法人原子力安全基盤機構、「平成17年度 原子炉施設のアクシデントマネージメントに係る知識ベースの整備に関する報告書＝環境への影響緩和（デブリ冷却）＝」, 06 基シ報-0003, 平成18年7月		
[39] M. Hidaka, et al., "Verification for Flow Analysis Capability in the Modelof Three-Dimensional Natural Convection with Simultaneous Spreading, Meltingand Solidification for the Debris Coolability Analysis Module in the SevereAccident Analysis Code 'SAMPSON', (II)," Journal of NUCLEAR SCIENCE and TECHNOLOGY, Vol. 39, No. 5, p. 520-530 (2002).		
[40] 中島 他, SAMPSON コードによる ABWR 格納容器ペデスタル上の炉心デブリの 3 次元拡がり評価, 日本原子力学会「2013 年秋の大会」, H12, 2013 年9 月		
[41] M. T. Farmer, et al., "OECD MCCI Project 2-D Core Concrete Interaction (CCI) Tests: Final Report," OECD/MCCI-2005-TR05 (2006).		

泊発電所3号炉 有効性評価 比較表

付録3 重大事故等対策の有効性評価に係るシビアアクシデント解析コードについて（第3部 MAAP コード（MAAP 追加事項））

女川原子力発電所2号炉 【第5部 MAAP より抜粋】	泊発電所3号炉 【第3部 MAAP コードより抜粋】	相違理由
<p>3.5 入出力</p> <p>MAAP コードへの入力情報は、別紙 1 に示すとおりである。主要な入出力は、図 3.5.1 に示すとおりであり、入力は、</p> <ul style="list-style-type: none"> <li>① 燃料質量、被覆管質量等</li> <li>② 核分裂生成物質量等</li> <li>③ 原子炉圧力容器圧力・温度、格納容器圧力・温度等の初期条件</li> <li>④ 原子炉圧力容器内の形状等</li> <li>⑤ 工学的安全設備、格納容器スプレイの特性等</li> <li>⑥ 原子炉格納容器内の区画形状、原子炉格納容器内の区画間の形状等</li> <li>⑦ 原子炉格納容器内のヒートシンクの材質・形状等</li> <li>⑧ 起因事象、緩和設備等の情報等</li> </ul> <p>を与え、これらに基づきプラント全体の過渡解析を実施し、以下の出力を得る。</p> <ul style="list-style-type: none"> <li>① 原子炉圧力容器圧力</li> <li>② 原子炉圧力容器水位</li> <li>③ 格納容器内圧力</li> <li>④ 格納容器温度</li> <li>⑤ 格納容器内水素濃度</li> <li>⑥ 格納容器内水量</li> <li>⑦ コンクリート侵食深さ等</li> </ul> <p>なお、上に示した入力情報のうち、核分裂生成物質量については核種生成崩壊計算コードにより求められたデータを初期値として用いる。この値は、炉心内蔵量を保守的に与えるため、1サイクル13ヶ月（395日）に余裕をみて1サイクル1万時間（416日）の燃焼期間を仮定し、平衡炉心の燃料装荷体数の割合に基づいた条件で評価されたものである。</p> <p>これらの入力作成の流れを図 3.5.2 に示す。</p>	<p>3.5 入出力</p> <p>MAAP コードの入出力を図 3.5.1 に示す。MAAP コードのインプットデータは、以下のとおり構成される。MAAP コードのインプットデータの元となる「プラントデータ」、「事故条件」、「事象収束に重要な機器・操作」等を整理した解析条件を別紙一に示す。</p> <ul style="list-style-type: none"> <li>① 燃料質量、燃料被覆管質量等</li> <li>② FP 質量等</li> <li>③ 1次系圧力及び温度、原子炉格納容器圧力及び温度等の初期条件</li> <li>④ 1次系、原子炉容器内、加圧器、蒸気発生器の形状等</li> <li>⑤ 工学的安全設備、格納容器スプレイの特性等</li> <li>⑥ 原子炉格納容器内の区画形状、原子炉格納容器内の区画間の形状等</li> <li>⑦ 原子炉格納容器内のヒートシンクの材質及び形状等</li> <li>⑧ 起因事象、緩和設備等の情報等</li> </ul> <p>上記をインプットデータとして、プラント全体の過渡解析を実施し、以下のアウトプットデータを得る。</p> <ul style="list-style-type: none"> <li>① 1次系圧力</li> <li>② 原子炉容器水位</li> <li>③ 原子炉格納容器圧力</li> <li>④ 原子炉格納容器内温度</li> <li>⑤ 原子炉格納容器内水素濃度</li> <li>⑥ 原子炉格納容器内水量</li> <li>⑦ コンクリート侵食深さ等</li> </ul> <p>MAAP コードの入力のうち、核分裂生成物（FP）質量の入力は、前処理コード（ORIGEN コード）を使用して得られた結果に基づいて設定している。具体的には、MAAP コードで考慮している FP の各元素に対して、サイクル末期の質量を算出し、それを MAAP コードの入力としている。これらの入力作成の流れを図 1 に示す。</p>	※女川相当となるよう記載を追記

泊発電所3号炉 有効性評価 比較表

付録3 重大事故等対策の有効性評価に係るシビアアクシデント解析コードについて（第3部 MAAPコード（MAAP追加事項））

赤字：設備、運用又は体制の相違（設計方針の相違）  
青字：記載箇所又は記載内容の相違（記載方針の相違）  
緑字：記載表現、設備名称の相違（実質的な相違なし）

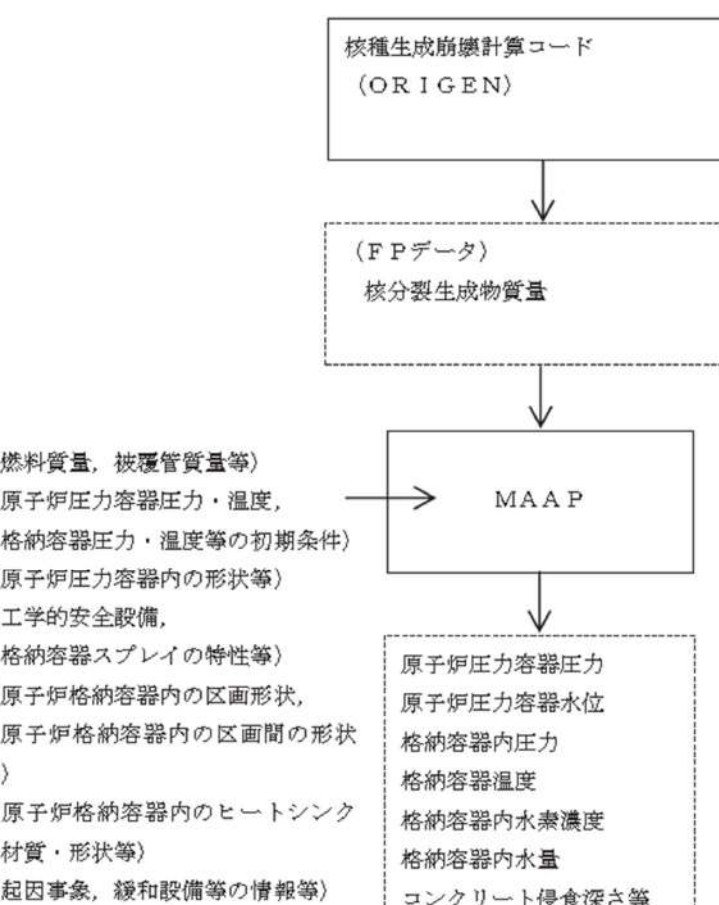
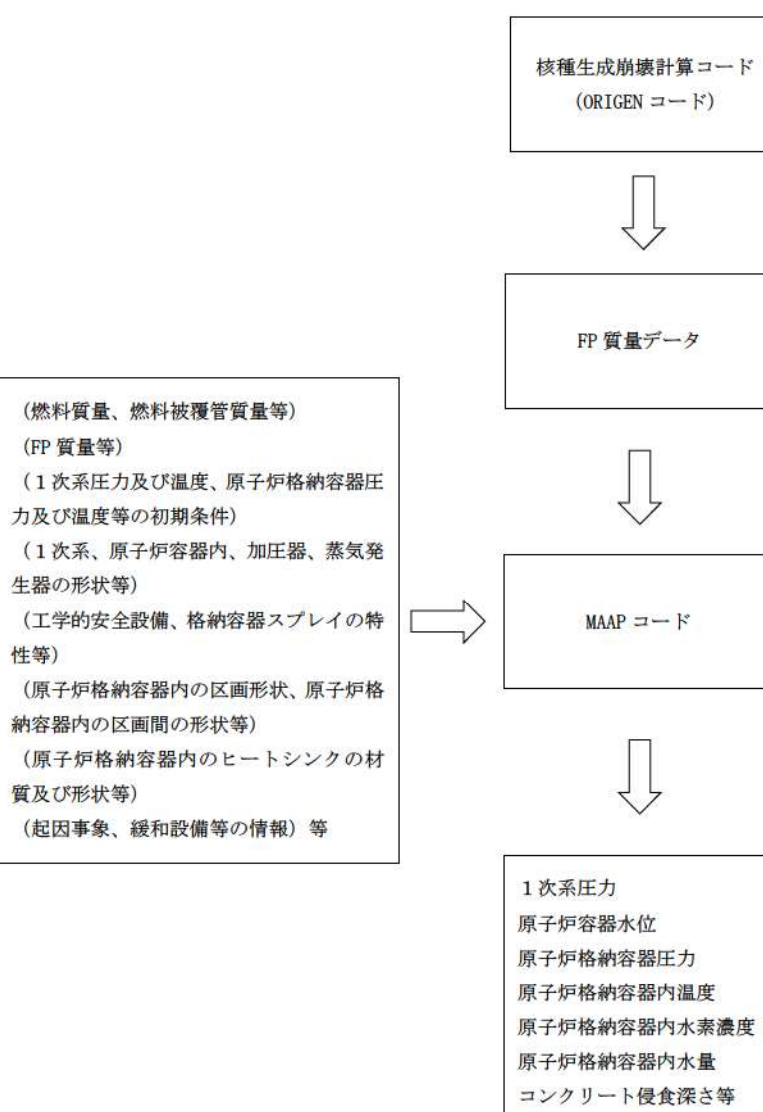
女川原子力発電所2号炉	泊発電所3号炉	相違理由
 <pre> graph TD     A[核種生成崩壊計算コード (ORIGEN)] --&gt; B["(FPデータ) 核分裂生成物質量"]     B --&gt; C[MAAP]     C --&gt; D["原子炉圧力容器圧力 原子炉圧力容器水位 格納容器内圧力 格納容器温度 格納容器内水素濃度 格納容器内水量 コンクリート侵食深さ等"]     D --- E["(燃料質量、被覆管質量等) (原子炉圧力容器圧力・温度、 格納容器圧力・温度等の初期条件) (原子炉圧力容器内の形状等) (工学的安全設備、 格納容器スプレイの特性等) (原子炉格納容器内の区画形状、 原子炉格納容器内の区画間の形状 等) (原子炉格納容器内のヒートシンク の材質・形状等) (起因事象、緩和設備等の情報等)"]   </pre>	 <pre> graph TD     A[核種生成崩壊計算コード (ORIGEN コード)] --&gt; B["FP 質量データ"]     B --&gt; C[MAAP コード]     C --&gt; D["1次系圧力 原子炉容器水位 原子炉格納容器圧力 原子炉格納容器内温度 原子炉格納容器内水素濃度 原子炉格納容器内水量 コンクリート侵食深さ等"]   </pre>	

図 3.5-2 前処理コードによるMAAP入力作成の流れ

図 3.5-1 MAAPコードの入出力

泊発電所3号炉 有効性評価 比較表

付録3 重大事故等対策の有効性評価に係るシビアアクシデント解析コードについて（第3部 MAAP コード（MAAP 追加事項））

女川原子力発電所2号炉	泊発電所3号炉	相違理由
【第5部 MAAP より抜粋】	【第3部 MAAP コードより抜粋】	
別添1 新知見への対応について	別添1 新知見への対応について	
1. はじめに  MAAP コードは、福島第一原子力発電所1～3号機の事象進展解析に適用されている <sup>[1]</sup> 。  これらの解析では、システムの応答や外部注水流量等の不確かさの大きな境界条件については、当時の記録に基づいた分析や一部推定を行った上で設定されており、解析結果と実測データとの比較が行われている。この比較結果から、相違点があるプラント挙動や物理現象については検討課題として抽出し、個別に評価・検討が行われている。  以下では、この検討を通じて得られた課題や知見のうち、MAAP コードで対象とする現象評価に関する内容と有効性評価への影響について検討する。また、MAAP コードの改良は米国 EPRI を中心とした MAAP User's Group のもとで継続的に進められており、改良の動向と有効性評価への影響について検討する。	1. はじめに  MAAP コードは、福島第一原子力発電所1～3号機の事象進展解析に適用されている <sup>[1]</sup> 。  これらの解析では、システムの応答や外部注水流量等の不確かさの大きな境界条件については、当時の記録に基づいた分析や一部推定を行った上で設定されており、解析結果と実測データとの比較が行われている。この比較結果から、相違点があるプラント挙動や物理現象については検討課題として抽出し、個別に評価・検討が行われている。  以下では、この検討を通じて得られた課題や知見のうち、MAAP コードで対象とする現象評価に関する内容と有効性評価への影響について検討する。また、MAAP コードの改良は米国 EPRI を中心とした MAAP User's Group のもとで継続的に進められており、改良の動向と有効性評価への影響について検討する。	※別添1については女川を参考に新規に作成した資料であるため相違箇所を色塗りし相違理由を記載
2. 福島第一原子力発電所事故における未確認・未解明事項と有効性評価への影響	2. 福島第一原子力発電所事故における未確認・未解明事項と有効性評価への影響	
2. 1 未確認・未解明事項について  福島第一原子力発電所事故における未確認・未解明事項 <sup>[2]</sup> のうち、有効性評価に対して影響し得る項目を抽出し、MAAP コードによる有効性評価で留意すべき事項を以下の4項目に大別した。	2. 1 未確認・未解明事項について  福島第一原子力発電所事故における未確認・未解明事項 <sup>[2]</sup> のうち、有効性評価に対して影響し得る項目を抽出し、MAAP コードによる有効性評価で留意すべき事項を以下の4項目に大別した。 <b>その選定方法については、別紙に示す。</b>	記載内容の相違 ・泊では4項目に大別した選定方法を別紙に記載
(1) 原子炉圧力容器からの気相漏えいの発生について  原子炉圧力容器の水位が低下し炉心が露出すると、過熱した炉心から発生する高温ガスや過熱蒸気により、原子炉圧力容器バウンダリが通常よりも高い温度となる。1号機の MAAP 解析においては、この原子炉内温度の上昇によって原子炉内核計装のドライチューブや主蒸気管フランジ等の原子炉圧力容器上部からドライウェルへの気相漏えいが発生したと仮定している。この現象によって、原子炉圧力容器破損タイミングや格納容器圧力及び温度の上昇等の事象進展に影響を及ぼす可能性がある。	(1) 原子炉圧力容器からの気相漏えいの発生について  原子炉圧力容器の水位が低下し炉心が露出すると、過熱した炉心から発生する高温ガスや過熱蒸気により、原子炉圧力容器バウンダリが通常よりも高い温度となる。1号機の MAAP 解析においては、この原子炉内温度の上昇によって原子炉内核計装のドライチューブや主蒸気管フランジ等の原子炉圧力容器上部からドライウェルへの気相漏えいが発生したと仮定している。泊3号機においても、原子炉圧力容器や1次冷却材配管からの気相漏えいの発生した場合には、原子炉容器破損タイミングや原子炉格納容器圧力及び温度の上昇等の事象進展に影響を及ぼす可能性がある。	記載表現の相違
(2) 溶融炉心の下部プレナム落下挙動  1号機の MAAP 解析において、原子炉圧力は3月11日22時頃に急峻なピークを示している。MAAP コードでは、炉心損傷の進展に伴って、固化クラストによって閉塞領域が形成されると溶融炉心は一旦保持されるものの、クラストの破損に伴って、溶融炉心が下部プレナムへの落下を開始するというモデルを採用していることに起因すると考えられる。一方、複雑な下部構造を持つ BWR では、燃料支持金具の冷却水の通過口から溶融した炉心が降下し、下部プレナムに流れ落ちる経路や、溶融プールが		記載内容の相違 ・MAAP コードは PWR である TMI-2 の事故解析によっても妥当性が確認されており、

泊発電所3号炉 有効性評価 比較表

付録3 重大事故等対策の有効性評価に係るシビアアクシデント解析コードについて（第3部 MAAP コード（MAAP 追加事項））

女川原子力発電所2号炉	泊発電所3号炉	相違理由
<p>炉心の径方向に拡大し、外周部のバイパス領域へ流出し、下部ブレナムへ流れ落ちる経路、更に炉心シユラウドと接触・破損させることによってダウンカマへ流出する経路等、流出経路には様々な形態が考えられる。溶融炉心の下部ブレナムへの落下挙動は、それ以降の原子炉圧力容器破損等の事象進展に影響を与える可能性がある。</p> <p>(3) 圧力抑制プールの温度成層化について</p> <p>3号機では、RCICによる注水期間において、原子炉格納容器圧力のMAAP解析結果と実測値に差があり、圧力抑制プールにおいて温度成層化が起きた可能性が指摘されている<sup>[3]</sup>。MAAPコードによる有効性評価では、圧力抑制プールのプール水を單一ノードで模擬し、プール水温は均一に上昇する仮定としているのに対し、温度成層化を考慮した場合、原子炉格納容器の圧力及び温度上昇が速くなる可能性がある。</p>		<p>PWRにおける溶融 炉心の下部ブレ ナム落下挙動は 適切に模擬でき ている</p> <p>記載内容の相違 ・PWRとBWRの相 違によりMAAPコ ードによる有効 性評価で留意す べき事項が一部 異なるが、解析へ の影響は小さく 適用性に問題は ない</p>
	<p>(2) コア・コンクリート反応</p> <p>溶融燃料が十分に冷却されない場合、溶融燃料と接触した格納容器床面のコンクリートが融点以上まで熱せられることによりコンクリートが分解するコア・コンクリート反応が生じる。コア・コンクリート反応では、水素、一酸化炭素等の非凝縮性ガスが発生する。1号機のMAAP解析においては、コア・コンクリート反応による原子炉格納容器の侵食深さを評価しているが、実際にコア・コンクリート反応がどの程度進展していたかは不確実さが大きいため、それ以降の原子炉格納容器破損等の事故進展に影響を与える可能性があり、泊3号機の評価においても留意する必要がある。</p> <p>(3) 水素リッチな蒸気を放出した際の凝縮挙動</p> <p>2号機では、主蒸気逃がし安全弁(SRV)の開操作により、原子炉の強制減圧に成功した。その後原子炉圧力が上昇したことからSRVを1弁追加で開けるも圧力は低下せず、さらに別のSRVを開放したところ原子炉圧力が低下した。この原子炉圧力上昇は、炉心損傷が進んでいると考えられることから、その減圧時の蒸気放出には非凝縮性ガスである水素が大量に含まれているものと考えられる。泊3号機において、非凝縮性ガスの存在により原子炉格納容器の事故進展に影響を与える可能性がある。</p>	
<p>(4) 原子炉格納容器の気相漏えいについて</p> <p>1号機及び2号機のMAAP解析では、格納容器圧力等の実測値を再現するために原子炉格納容器の気相部からの漏えいを仮定しているものの、計測されたパラメータや観測事実からは、漏えい箇所やその規模については直接的な推定が得られていない。一つの要因として格納容器内部で生じた局所的な過温状態による損傷が挙げられている。一方、MAAPコードによる有効性評価では、原子炉格納容器内を代表的な区画にノード分割し、ノード内温度は均一と仮定し、温度分布を評価することはできない。</p>	<p>(4) 原子炉格納容器の気相漏えいについて</p> <p>1号機及び2号機のMAAP解析では、格納容器圧力等の実測値を再現するために原子炉格納容器の気相部からの漏えいを仮定しているものの、計測されたパラメータや観測事実からは、漏えい箇所やその規模については直接的な推定が得られていない。一つの要因として格納容器内部で生じた局所的な過温状態による損傷が挙げられている。一方、MAAPコードによる有効性評価では、原子炉格納容器内を代表的な区画にノード分割し、ノード内温度は均一と仮定し、温度分布を評価することはできない。</p>	

泊発電所3号炉 有効性評価 比較表

付録3 重大事故等対策の有効性評価に係るシビアアクシデント解析コードについて（第3部 MAAP コード（MAAP 追加事項））

女川原子力発電所2号炉	泊発電所3号炉	相違理由
<p>2.2 有効性評価に対する影響について</p> <p>2.1で挙げられた留意すべき事項に対して、有効性評価に対する影響について以下に考察する。これらの考察より、有効性評価で対象とする事象進展に対しては、MAAP コードによる解析への影響は小さく適用性に問題ないと判断される。</p> <p>(1) 原子炉圧力容器からの気相漏えいの発生について</p> <p>炉心損傷に伴って発生する高温ガスにより、原子炉圧力容器からの漏えいが生じた場合、原子炉圧力の減圧を促進する。しかしながら、有効性評価において、大破断 LOCA を起因事象とするシーケンスについては、起因事象発生の時点で大規模な一次冷却材圧力バウンダリの喪失を仮定していることから、これらの事象による格納容器内事象進展への影響はない。</p> <p>別図 1-2.2-1 及び別図 1-2.2-2 に、炉心損傷に伴う計装用案内管破損を模擬した場合の原子炉圧力及び格納容器温度の比較を示す。これらの図から明らかのように、事象進展への影響は小さい。</p> <p>また、過渡事象 (TQIV) 起因のシーケンスでは、原子炉圧力容器からの気相漏えいは、原子炉減圧挙動と水位低下挙動に影響する。</p> <p>高圧溶融物放出／格納容器雰囲気直接加熱の防止に係る評価においては、高温ガス発生による気相漏えいが生じる場合には、原子炉の減圧が促進されるため、高圧溶融物放出／格納容器雰囲気直接加熱の回避に対して有効に寄与する。さらに、原子炉圧力容器破損前に運転員による原子炉減圧操作が必須となるが、破損までには十分な時間余裕があり、気相漏えいを想定しても破損時間への影響は小さい。別図 1-2.2-3 に、炉心損傷に伴う計装用案内管破損を模擬した場合の原子炉圧力の比較を示す。計装用案内管温度が融点に到達した時点で損傷するとした本感度解析では、その損傷は原子炉減圧後に発生しており、原子炉減圧操作への影響はない。</p> <p>溶融炉心と冷却材の相互作用及び溶融炉心とコンクリートの相互作用においては、原子炉減圧後の現象を評価するため、原子炉圧力容器破損前のペデスタル注水が必須となる。しかしながら、上述のように十分な時間余裕があり、かつ、評価においては、原子炉水位が有効燃料棒底部まで低下する以前に原子炉減圧操作を実施しており、炉心損傷初期の段階であることから、原子炉圧力容器の気相漏えいを仮定しても破損時間に対する影響は小さく、運転操作に対する影響はない。</p>	<p>2.2 有効性評価に対する影響について</p> <p>2.1で挙げられた留意すべき事項に対して、有効性評価に対する影響について以下に考察する。これらの考察より、有効性評価で対象とする事象進展に対しては、MAAP コードによる解析への影響は小さく適用性に問題ないと判断される。</p> <p>(1) 原子炉圧力容器からの気相漏えいの発生について</p> <p>炉心損傷に伴って発生する高温ガスにより、原子炉容器からの漏えいが生じた場合、原子炉圧力の減圧を促進する。しかしながら、有効性評価において、大破断 LOCA を起因事象とするシーケンス（雰囲気圧力・温度による静的負荷（格納容器過圧破損）、原子炉圧力容器外の溶融燃料—冷却材相互作用、溶融炉心・コンクリート相互作用、水素燃焼）については、起因事象発生の時点で大規模な一次冷却材圧力バウンダリの喪失を仮定していることから、これらの事象による原子炉格納容器内事象進展への影響はない。</p> <p>また過渡事象起因のシーケンス（雰囲気圧力・温度による静的負荷（格納容器過温破損）、高圧溶融物放出／格納容器雰囲気直接加熱）では、原子炉容器からの気相漏えいや漏えい量の増加は、原子炉減圧挙動と水位挙動に影響する。</p> <p>雰囲気圧力・温度による静的負荷（格納容器過温破損）、高圧溶融物放出／格納容器雰囲気直接加熱の防止に係る評価においては、高温ガス発生による気相漏えいが生じる場合には、原子炉の減圧が促進されるため、雰囲気圧力・温度による静的負荷（格納容器過温破損）、高圧溶融物放出／格納容器雰囲気直接加熱の回避に対して有効に寄与する。さらに、原子炉容器破損前に運転員による原子炉減圧操作が必須となるが、破損までには十分な時間余裕があり、気相漏えいを想定しても破損時間への影響は小さい。よって、有効性評価への影響は小さいと考えられる。</p> <p>また、有効性評価のうち、「雰囲気圧力・温度による静的負荷（格納容器過温破損）」の評価において、添付資料 7.2.1.2.2「全交流動力電源喪失+補助給水失敗」における原子炉冷却材圧力バウンダリから現実的な漏えいを想定した場合の事象進展についてで、原子炉冷却材圧力バウンダリから漏えいが発生した場合の運転員等操作時間に与える影響及び評価項目となるパラメータに与える影響が小さいことを確認している。</p>	<p>記載表現の相違 ・泊では具体的な破損モードを記載</p> <p>記載内容の相違 ・泊では計装用案内管破損を模擬した解析を実施している</p> <p>記載内容の相違 ・シーケンスの相違</p> <p>記載内容の相違</p>

泊発電所3号炉 有効性評価 比較表

付録3 重大事故等対策の有効性評価に係るシビアアクシデント解析コードについて（第3部 MAAP コード（MAAP 追加事項））

女川原子力発電所2号炉	泊発電所3号炉	相違理由
<p>(2) 溶融炉心の下部ブレナム落下挙動</p> <p>有効性評価のうち、「格納容器過圧・過温破損」の評価において、原子炉圧力容器が破損しないシーケンスを想定するシナリオでは、溶融炉心の下部ブレナム落下前に冷却される状態を対象としているため、本現象の影響はない。</p> <p>下部ブレナムへの溶融炉心落下が発生するシーケンスについては、本文「3.3.6 溶融炉心の挙動モデル」で述べたように、MAAP コードでは、溶融炉心の下部ブレナムへの落下は、炉心支持板が破損するか、クラストが破損して溶融炉心を保持できなくなった場合に開始され、落下する溶融炉心の量は、仮想的なデブリジェット径等により計算されている。一方、燃料支持金具等の炉心下部構造物を介した溶融炉心の移行は、別図 1-2.2-4 に示す経路が想定され、溶融炉心が下部ブレナムへ移行する場合、これらの構造物との熱的相互作用によって、その経路で一部が固化し、落下流量が低減される等の影響が想定される。したがって、これらを考慮していない現行評価は、原子炉圧力容器下部ヘッドへの熱負荷を計算する上で、保守的な扱いといえる。</p> <p>また、同じく「3.3.6 溶融炉心の挙動モデル」で述べたように、MAAP コードでは、溶融炉心の径方向のリロケーションは下部ノードが閉塞した以降に発生し、溶融領域は炉心シラウドまで到達しない想定としている。溶融炉心が炉心シラウドと接触した場合、炉心シラウドを溶融貫通する可能性はあるものの、その径方向への進展は下部ノードの閉塞挙動等に依存した極めて不確かな大きな現象と考えられる。さらに、溶融炉心が炉心シラウドを溶融貫通した場合の下部ブレナムへの移行は、ジェットポンプ等の貫通後に発生するが、ジェットポンプ内部に冷却材が存在している場合には、溶融炉心が一時的に冷却される等の効果も期待される。このようなことから、炉心下部構造物を介した移行に比べて、主要なリロケーション経路となり得るとは考えにくく、有効性評価への影響は小さいと考えられる。</p> <p>(3) 圧力抑制プールの温度成層化について（別添1（補足）参照）</p> <p>原子炉隔離時冷却系の運転方法として、福島第一原子力発電所3号機と同様にテストラインを使用し注水流量を制御するような運転方法とした場合、圧力抑制プールの温度成層化による原子炉格納容器の圧力上昇が生じる可能性がある。しかしながら、原子炉隔離時冷却系が間欠運転（L-2 と L-8 の自動制御）の場合、原子炉隔離時冷却系が停止している間に原子炉圧力が上昇し、逃がし安全弁が作動することにより温度成層化の発生の可能性は小さくなる。また、原子炉隔離時冷却系の注水流量調整のみによる制御とした場合においても、消費される駆動蒸気量の減少により逃がし安全弁の作動回数が増え、温度成層化の発生可能性は小さくなる可能性がある。</p> <p>一方、低圧代替注水系を用いた原子炉注水時において成層化の発生可能性はあるものの、原子炉格納容器圧力に対する影響は小さいものと考えられる。</p>		<p>記載内容の相違</p> <ul style="list-style-type: none"> <li>・MAAP コードは PWR である TMI-2 の事故解析によっても妥当性が確認されており、PWR における溶融炉心の下部ブレナム落下挙動は適切に模擬できている</li> </ul>
	<p>(2) コア・コンクリート反応</p> <p>有効性評価のうち、「雰囲気圧力・温度による静的負荷（格納容器過圧破損）」の評価において、添付資料 7.2.1.1.18 「溶融炉心・コンクリート相互作用が発生した場合の原子炉格納容器圧力及び温度へ</p>	<p>記載内容の相違</p> <ul style="list-style-type: none"> <li>・PWR と BWR の相違により MAAP コードによる有効性評価で留意すべき事項が一部異なるが、解説への影響は小さく適用性に問題はない</li> </ul>

泊発電所3号炉 有効性評価 比較表

付録3 重大事故等対策の有効性評価に係るシビアアクシデント解析コードについて（第3部 MAAP コード（MAAP 追加事項））

女川原子力発電所2号炉	泊発電所3号炉	相違理由
	<p>の影響について」で、コア・コンクリート反応の不確実さを考慮し、原子炉下部キャビティ床面での溶融炉心の拡がりが小さく、局所的に溶融炉心が堆積するような条件での感度解析を実施した。</p> <p>感度解析ケースでは、基本ケースに比べて溶融炉心の拡がり面積及び溶融炉心からの原子炉下部キャビティ水への熱流束を制限していることから溶融炉心が十分冷却されるまでの時間が長くなる。このため、原子炉格納容器圧力及び温度の上昇は緩やかになる。その後コンクリート侵食による非凝縮性ガスの発生により原子炉格納容器圧力及び温度は上昇するものの、原子炉下部キャビティ水により溶融炉心が冷却されることでコンクリート侵食は停止するため、これらの要因による原子炉格納容器圧力及び温度の上昇は一時的なものである。</p> <p>また、有効性評価のうち、「溶融炉心・コンクリート相互作用」の評価において、添付資料 7.2.5.2 「解析コード及び解析条件の不確かさの影響評価について（溶融炉心・コンクリート相互作用）」で、解析コード及び解析条件の不確かさの評価を実施しており、運転員等操作時間に与える影響及び評価項目となるパラメータに与える影響が小さいことを確認している。</p> <p>(3) 水素リッチな蒸気を放出した際の凝縮挙動</p> <p>炉心損傷が進んでいる場合、その減圧時には水素等の非凝縮性ガスを多く含んだ蒸気が放出されることにより原子炉格納容器の事故進展に影響を与える可能性がある。</p> <p>有効性評価のうち、「雰囲気圧力・温度による静的負荷（格納容器過圧破損）」の評価において、添付資料 7.2.1.1.20 「格納容器再循環ユニットによる格納容器内自然対流冷却の水素濃度に対する影響について」で、原子炉格納容器内の水素濃度の不確かさを考慮した場合の、原子炉格納容器圧力及び温度に対する影響を確認した。水素濃度が高く、格納容器再循環ユニットの除熱量が低下した場合でも、原子炉格納容器圧力及び温度への影響は軽微であることを確認している。</p> <p>(4) 原子炉格納容器の気相漏えいについて</p> <p>福島第一原子力発電所事故においては、原子炉格納容器内で局所的な過温状態となって、気相部に漏えいが生じた可能性が指摘されている。重大事故時の原子炉格納容器内温度分布は、損傷炉心及び核分裂生成物の分布やその冷却状態、また、原子炉格納容器への注水等によるガス攪拌に資する駆動力の有無にも依存することから、MAAP の評価体系で原子炉格納容器内の温度分布を精度よく評価することは困難である。</p> <p>一方、福島第一原子力発電所事故で推定されている局所的な過温状態の発生を回避するため、重大事故等対策として、原子炉及び格納容器への代替注水等を整備し、その有効性を確認することが有効性評価の目的となっている。すなわち、これらの対策によって、原子炉圧力容器内損傷炉心の非冷却状態長期化を防止でき、また、原子炉格納容器への注水によって、雰囲気を十分攪拌させて高温気体の局所的な滞留を防止できるため、局所的な過温は回避可能と考えられる。</p>	
	<p>(4) 原子炉格納容器の気相漏えいについて</p> <p>福島第一原子力発電所事故においては、原子炉格納容器内で局所的な過温状態となって、気相部に漏えいが生じた可能性が指摘されている。重大事故時の原子炉格納容器内温度分布は、損傷炉心及び核分裂生成物の分布やその冷却状態、また、原子炉格納容器への注水等によるガス攪拌に資する駆動力の有無にも依存することから、MAAP の評価体系で原子炉格納容器内の温度分布を精度よく評価することは困難である。</p> <p>一方、福島第一原子力発電所事故で推定されている局所的な過温状態の発生を回避するため、重大事故等対策として、代替格納容器スプレイポンプによる代替格納容器スプレイ、格納容器再循環ユニットによる格納容器内自然対流冷却等を整備し、その有効性を確認することが有効性評価の目的となっている。すなわち、これらの対策によって、溶融炉心の非冷却状態長期化を防止でき、また、原子炉</p>	対策の相違

赤字：設備、運用又は体制の相違（設計方針の相違）  
 青字：記載箇所又は記載内容の相違（記載方針の相違）  
 緑字：記載表現、設備名称の相違（実質的な相違なし）

泊発電所3号炉 有効性評価 比較表

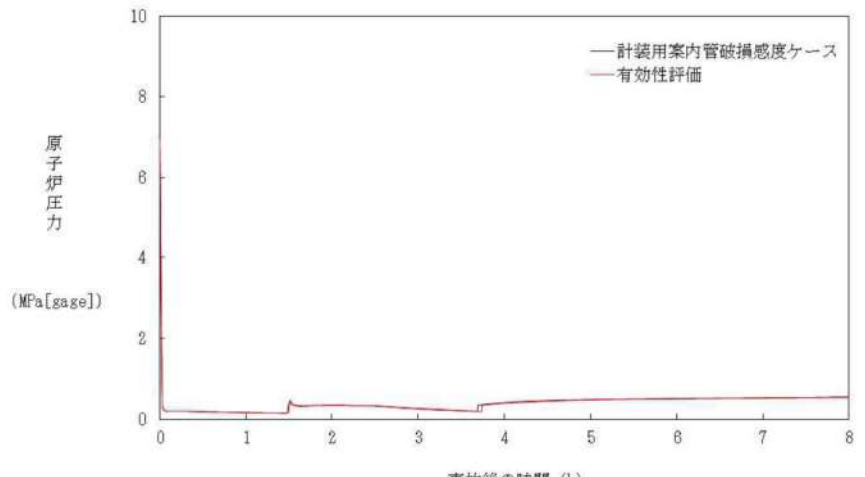
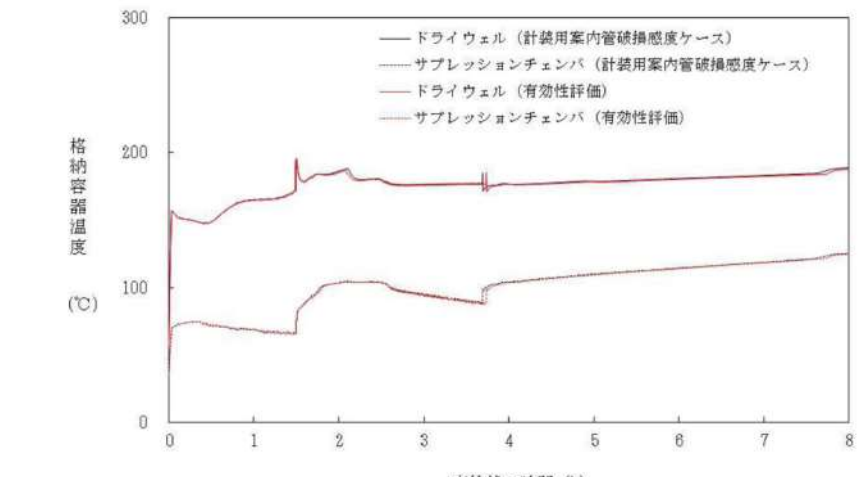
付録3 重大事故等対策の有効性評価に係るシビアアクシデント解析コードについて（第3部 MAAP コード（MAAP 追加事項））

女川原子力発電所2号炉	泊発電所3号炉	相違理由
このような観点から、本文「3.3.4 格納容器モデル」の図3.3-6に例示した原子炉格納容器のノード分割方法は、原子炉格納容器の過圧・過温に対する有効性評価に適用可能である。	<p>格納容器への注水によって、雰囲気を十分攪拌させて高温気体の局所的な滞留を防止できるため、局所的な過温は回避可能と考えられる。</p> <p>このような観点から、有効性評価のうち、「雰囲気圧力・温度による静的負荷（格納容器過圧破損）」の評価において、添付資料7.2.1.1.4「MAAPでの原子炉格納容器モデルについて」に例示した原子炉格納容器のノード分割方法は、原子炉格納容器の過圧・過温に対する有効性評価に適用可能である。</p>	記載内容の相違

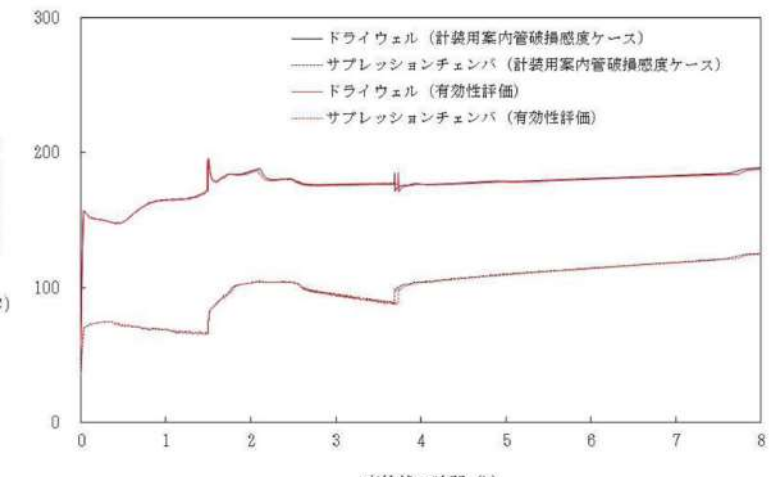
赤字：設備、運用又は体制の相違（設計方針の相違）  
 青字：記載箇所又は記載内容の相違（記載方針の相違）  
 緑字：記載表現、設備名称の相違（実質的な相違なし）

### 泊発電所3号炉 有効性評価 比較表

付録3 重大事故等対策の有効性評価に係るシビアアクシデント解析コードについて（第3部 MAAPコード（MAAP追加事項））

女川原子力発電所2号炉	泊発電所3号炉	相違理由
		記載内容の相違 ・泊では有効性評価で計装用案内管破損を模擬した解析を実施している
		

別図1-2.2-1 大破断LOCA時注水機能喪失（原子炉圧力容器破損）における原子炉圧力変化の比較



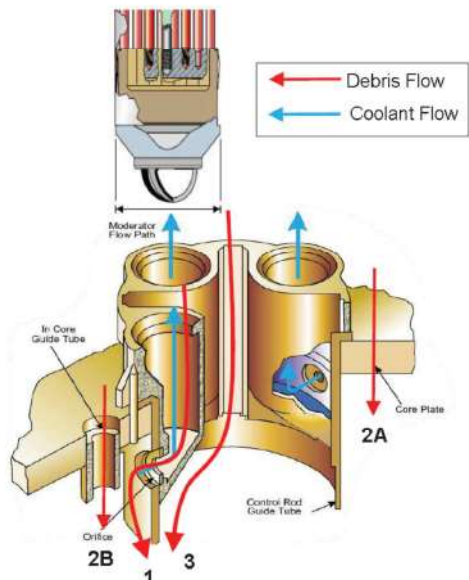
別図1-2.2-2 大破断LOCA時注水機能喪失（原子炉圧力容器破損）における格納容器温度変化の比較

泊発電所3号炉 有効性評価 比較表

付録3 重大事故等対策の有効性評価に係るシビアアクシデント解析コードについて（第3部 MAAPコード（MAAP追加事項））

女川原子力発電所2号炉	泊発電所3号炉	相違理由

別図1-2.2-3 高圧・低圧注水機能喪失における原子炉圧力変化の比較



設計の相違

別図1-2.2-4 壕心下部構造物を介した溶融壌心の移行経路<sup>[4]</sup>

泊発電所3号炉 有効性評価 比較表

付録3 重大事故等対策の有効性評価に係るシビアアクシデント解析コードについて（第3部 MAAP コード（MAAP 追加事項））

女川原子力発電所2号炉	泊発電所3号炉	相違理由
3. MAAP コード改良の動向について  3.1 MAAP コードの改良 <span style="color: blue;">[3]</span>  MAAP コード最新バージョンで追加された物理現象モデル <span style="color: green;">[4]</span> のうち、有効性評価に関連すると考えられる主要なモデルについて、推定される影響を整理する。  (1) 炉心モデル  MAAP コード最新バージョンでは、制御材である $B_4C$ の酸化モデルが追加されている。 $B_4C$ 酸化については、QUENCH 実験において、 $B_4C$ 酸化による $H_2$ 発生量全体に寄与する割合は QUENCH07 で 2.4%、QUENCH09 で 2.2% と小さいことが確認されている。すなわち、炉心損傷進展に伴う不確かさに比べればその影響は小さく、有効性評価への影響は小さいと考えられる。  (2) 一次系モデル (a) 主蒸気管ノードの追加  MAAP コード最新バージョンでは、主蒸気管ノードが一次系ノードに追加され、高温ガスによるクリープ損傷がモデル化されている。本現象は、炉心損傷後に原子炉圧力容器内が長時間高温・高圧状態に維持される場合に生じ得るが、有効性評価では、運転員操作による炉心損傷の初期段階での原子炉減圧を想定しているため、主蒸気管のクリープ損傷が発生する可能性は小さいと考えられる。  また、仮にクリープ損傷が生じた場合にも、2.2における原子炉圧力容器からの気相漏えいと同様に事象進展への影響は小さいと推定される。  (b) 計装管損傷モデルの追加  MAAP コード最新バージョンでは、原子炉内核計装等の計装管の損傷がモデル化されており、損傷した計装管への溶融炉心の侵入と固化挙動が評価可能となっている。計装管損傷の影響は、2.1 及び 2.2 で述べたように原子炉圧力容器からの気相漏えいとして現れるが、上述のように有効性評価で対象とする事故シーケンスへの影響は小さいと考えられる。  (3) 下部ブレナム内デブリモデル  MAAP コード最新バージョンでは、OECD/NEA 国際プロジェクト RASPLAV <span style="color: blue;">[4]</span> 及び MASCA <span style="color: green;">[5]</span> 計画の知見を反映し、下部ブレナム内で重金属層（金属ウラン）が酸化物層（二酸化ウラン、酸化ジルコニウム）の下方に成層化するモデルが追加されている。しかしながら、本現象は、原子炉圧力容器を外部から冠水させて溶融炉心を下部ブレナム内に長期間保持する対策をとる際に重要となるものであり、有効性評価では下部ブレナム内に溶融炉心を保持して事故収束させるシーケンスを対象としていないため、影響はない。  (4) 格納容器モデル (a) 圧力抑制プールの多ノード化	3. MAAP コードの改良の動向について  3.1 MAAP コードの改良 <span style="color: blue;">[3]</span>  MAAP コード最新バージョンで追加された物理現象モデル <span style="color: green;">[4]</span> のうち、有効性評価に関連すると考えられる主要なモデルについて、推定される影響を整理する。  (1) 炉心モデル  MAAP コードの最新バージョンでは、高温領域でのジルコニウム-水反応モデルに Urbanic-Heidrick の式 (U-H の式) が追加されている。U-H 式は、有効性評価に適用している現行 MAAP で使用する Baker-Just の式に比べ、ジルコニウム-水反応を抑制する傾向にある。しかしながら、U-H 式の適用は高温領域に限定されることから、有効性評価への影響は小さいと考えられる。  (2) 1 次系モデル (a) ループモデルの改良  MAAP コード最新バージョンでは、1 次系の各ループをそれぞれ独立に模擬できるモデルが追加されている。  有効性評価に適用している現行 MAAP では、3 つあるループを 2 グループに分けて模擬するが、有効性評価で対象とする事故シーケンスは、3 つのループをそれぞれ独立に模擬する必要がある現象を含んでいない。したがって、このモデル改良が有効性評価へ与える影響は小さいと考えられる。  (b) 計装管損傷モデルの追加  MAAP コードの最新バージョンでは、原子炉容器下部ブレナム内の計装管の損傷モデルが追加されており、損傷した計装管への溶融炉心の侵入と固化挙動が評価可能となっている。計装管損傷の影響は、原子炉容器からの気相漏えいとして現れるが、2.2 で述べたように有効性評価への影響は小さいと考えられる。  (3) 下部ブレナム内デブリモデル  MAAP コード最新バージョンでは、OECD/NEA 国際プロジェクト RASPLAV <span style="color: blue;">[4]</span> 及び MASCA <span style="color: green;">[5]</span> 計画の知見を反映し、下部ブレナム内で重金属層（金属ウラン）が酸化物層（二酸化ウラン、酸化ジルコニウム）の下方に成層化するモデルが追加されている。しかしながら、本現象は、原子炉容器を外部から冠水させて溶融炉心を下部ブレナム内に長期間保持する対策をとる際に重要となるものであり、有効性評価では下部ブレナム内に溶融炉心を保持して事故収束させるシーケンスを対象としていないため、影響はない。  (4) 格納容器モデル (a) 放射線水分解モデルの追加	記載内容の相違 ・PWR と BWR の相違により MAAP コードのモデルが異なるが、有効性評価への影響は小さい点では同様
		記載表現の相違
		記載内容の相違

泊発電所3号炉 有効性評価 比較表

付録3 重大事故等対策の有効性評価に係るシビアアクシデント解析コードについて（第3部 MAAP コード（MAAP 追加事項））

女川原子力発電所2号炉	泊発電所3号炉	相違理由
<p>MAAP コード最新バージョンでは、圧力抑制プールの多ノードモデルが追加されており、逃がし安全弁排気管からの入熱等による温度分布を評価することが可能となっている。これにより、圧力抑制プール水の温度成層化の模擬が可能である。</p> <p>この多ノード化については、2.2 で述べたように、圧力抑制プールの温度成層化は、逃がし安全弁の作動状況に依存するものの、原子炉格納容器圧力に対する影響は小さいと考えられる。</p> <p>(b) 溶融炉心とコンクリート相互作用モデルの改良</p> <p>MAAP コード最新バージョンでは、OECD/NEA 国際プロジェクト MCCI 計画<sup>[8][9][10]</sup>の知見を反映して、溶融炉心の上部クラストに形成された亀裂への水浸入による冷却効果、コンクリート分解気体がクラスト開口部を通過する際に気体に随伴されて溶融物が噴出することによって形成される粒子状デブリの堆積とその冷却効果及び連続層の減少、溶融炉心のコンクリート含有に伴う上面水プールへのドライアウト熱流束低下等がモデル化されており、MCCI 試験結果との比較による妥当性確認が行われている<sup>[11]</sup>。</p> <p>これらの物理現象モデルの根拠となった試験では、溶融物落下後にドライ条件である程度コンクリート侵食が進んだ後に上部から注水（TopFlooding）する条件で行われており、有効性評価で対象としている、溶融炉心が水中へ落下し、粒子化した後、床面に粒子状ベッドとして堆積する場合の伝熱挙動とは異なるため、このモデル改良が、有効性評価にそのまま適用されるわけではない。しかしながら、溶融炉心の挙動に係る知見の拡充については継続的に進め、有効性評価に影響するような新たな知見が出た場合には適宜評価に反映することが重要と考える。</p>	<p>MAAP コード最新バージョンでは、放射線水分解モデルが追加されており、水の放射線分解による水素発生を評価することが可能となっている。</p> <p>有効性評価に適用している現行 MAAP では、水の放射線分解による水素発生を考慮していないが、水素発生の主要因となるジルコニウム-水反応を考慮しており、水の放射線分解による水素発生影響は小さい。したがって、本モデル改良が有効性評価で対象とする事故シーケンスへの影響は小さいと考えられる。</p> <p>(b) 溶融炉心とコンクリート相互作用モデルの改良</p> <p>MAAP コード最新バージョンでは、OECD/NEA 国際プロジェクト MCCI 計画等<sup>[8][9][10]</sup>の知見を反映して、溶融炉心の上部クラストに形成された亀裂への水浸入による冷却効果、コンクリート分解気体がクラスト開口部を通過する際に気体に随伴されて溶融物が噴出することによって形成される粒子状デブリの堆積とその冷却効果及び連続層の減少、溶融炉心のコンクリート含有に伴う上面水プールへのドライアウト熱流束低下等がモデル化されており、MCCI 実験の結果との比較による妥当性確認が行われている<sup>[11]</sup>。</p> <p>有効性評価に適用している現行 MAAP では、添付資料 7.2.1.1.18「溶融炉心・コンクリート相互作用が発生した場合の原子炉格納容器圧力及び温度への影響について」で、コア・コンクリート反応の不確実さを考慮し、MCCI 実験の結果（SWISS 実験、CCI 実験、SSWICS 実験）に基づき、溶融炉心の状態に合わせて熱流束を制限する感度解析を実施した。したがって、このモデル改良が有効性評価へ与える影響は小さいと考えられる。しかしながら、溶融炉心の挙動に係る知見の拡充については継続的に進め、有効性評価に影響するような新たな知見が出た場合には適宜評価に反映することが重要と考える。</p>	<ul style="list-style-type: none"> <li>• PWR と BWR の相違により MAAP コードのモデルが異なるが、有効性評価への影響は小さい点では同様</li> </ul>
<p>3.2 福島第一原子力発電所事故を踏まえた MAAP コードの改良</p> <p>福島第一原子力発電所の事象進展解明や燃料デブリ位置推定・炉内状況把握を目的とした MAAP コード高度化が推進されている<sup>[4]</sup>。主要な項目としては、下記のとおり、溶融炉心の挙動に重点を置いたものとなっている。</p> <ul style="list-style-type: none"> <li>・下部プレナムへの溶融炉心リロケーション経路の追加</li> <li>・下部プレナム内構造物と溶融炉心との相互作用</li> <li>・原子炉格納容器内デブリ拡がりモデルの追加</li> </ul> <p>(1) 下部プレナムへの溶融炉心リロケーション経路の追加</p> <p>BWR の炉心下部構造を模擬した溶融炉心の下部プレナムへの落下経路が追加された。2.1 及び 2.2 にて示したように、本モデルによって、下部プレナムへの落下流量が低減されるため、下部ヘッドへの熱負荷も軽減され、原子炉圧力容器破損時間も遅延されると推定される。したがって、有効性評価に適用している現行 MAAP は保守的な扱いとなっていると考えられる。</p>	<p>3.2 福島第一原子力発電所事故を踏まえた MAAP コードの改良</p> <p>福島第一原子力発電所の事象進展解明や燃料デブリ位置推定・炉内状況把握を目的とした MAAP コード高度化が推進されている<sup>[4]</sup>。主要な項目としては、下記のとおり、溶融炉心の挙動に重点を置いたものとなっている。</p> <ul style="list-style-type: none"> <li>・下部プレナムへの溶融炉心リロケーション経路の追加</li> <li>・下部プレナム内構造物と溶融炉心との相互作用</li> <li>・原子炉格納容器内デブリ拡がりモデルの追加</li> </ul> <p>これらモデル改良は BWR に特化したものであるため、有効性評価に適用している現行 MAAP に影響はない。しかしながら、溶融炉心の挙動に係る知見の拡充については継続的に進め、有効性評価に影響するような新たな知見が出た場合には適宜評価に反映することが重要と考える。</p>	<ul style="list-style-type: none"> <li>記載表現の相違</li> <li>・泊は参照する文献が OECD/NEA だけでなく EPRI も含むことから等を記載</li> </ul> <p>記載内容の相違</p>
		<p>以上</p> <p>記載内容の相違</p> <p>・MAAP コードの改良は BWR に特化したものであるため記載内容が異なる</p>

泊発電所3号炉 有効性評価 比較表

付録3 重大事故等対策の有効性評価に係るシビアアクシデント解析コードについて（第3部 MAAP コード（MAAP 追加事項））

女川原子力発電所2号炉	泊発電所3号炉	相違理由
<p>(2) 下部プレナム内構造物と溶融炉心との相互作用</p> <p>BWR 下部プレナムは制御棒（CR）案内管・制御棒駆動機構（CRD）ハウジング等の構造物を有している。有効性評価に適用している現行 MAAP では、これらを1個のヒートシンクとしてモデル化しているが、径方向に複数のグループに分類して、下部プレナム内溶融炉心との接触面積の相違を考慮し、CR 案内管・CRD ハウジング内冷却水保有量とそれらの溶融をグループごとに評価するモデルが追加された。これによって、炉心部から下部プレナムへの溶融炉心の落下が段階的に発生する。すなわち、(1) と同様に、下部プレナムへの落下流量が低減されるため、下部ヘッドへの熱負荷も軽減され、原子炉圧力容器破損時間も遅延されると推定される。</p>		
<p>(3) 原子炉格納容器内デブリ拡がりモデルの追加</p> <p>有効性評価に適用している現行 MAAP では、原子炉圧力容器破損後に格納容器床に落下する溶融炉心は、ユーザーが指定する床面積まで直ちに拡がるモデルとなっている。この拡がり挙動を現実的に評価することを目的として、拡がり速度を指定可能とするデブリ拡がりモデルが追加されている。本モデルは、原子炉圧力容器から段階的に溶融炉心が落下する場合に拡がりが制限される可能性があるが、BWR で支配的な CRD ハウジング逸出による破損モードの場合、瞬時に大量の溶融物が落下するため、拡がり挙動の影響は小さいと考えられる。</p>		

泊発電所3号炉 有効性評価 比較表

付録3 重大事故等対策の有効性評価に係るシビアアクシデント解析コードについて（第3部 MAAP コード（MAAP 追加事項））

赤字	設備、運用又は体制の相違（設計方針の相違）
青字	記載箇所又は記載内容の相違（記載方針の相違）
緑字	記載表現、設備名称の相違（実質的な相違なし）

女川原子力発電所2号炉	泊発電所3号炉	相違理由										
【該当する資料無し】	<p style="text-align: right;">別添1 別紙</p> <p>福島第一原子力発電所事故における未確認・未解明事項のうち、 MAAP コードによる有効性評価に対して留意すべき項目の抽出過程について</p> <p>福島第一原子力発電所事故における未確認・未解明事項より、MAAP コードによる泊3号炉の有効性評価において留意すべき項目として4項目（表1）を抽出しており、その抽出過程について本資料にまとめた。</p> <p style="text-align: center;">表1 MAAP コードによる泊3号炉の有効性評価において留意すべき項目</p> <table border="1" style="width: 100%; border-collapse: collapse;"> <thead> <tr> <th colspan="2" style="text-align: center;">泊3号炉</th></tr> </thead> <tbody> <tr> <td style="text-align: center;">(1)</td><td>原子炉圧力容器からの気相漏えいの発生について</td></tr> <tr> <td style="text-align: center;">(2)</td><td>コア・コンクリート反応について</td></tr> <tr> <td style="text-align: center;">(3)</td><td>水素リッチな蒸気を放出した際の凝縮挙動</td></tr> <tr> <td style="text-align: center;">(4)</td><td>原子炉格納容器の気相漏えいについて</td></tr> </tbody> </table> <p>福島第一原子力発電所事故における未確認・未解明事項にかかる報告書「福島第一原子力発電所1～3号機の炉心・格納容器の状態の推定と未解明問題に関する検討 第6回進捗報告 2022年11月10日 東京電力ホールディングス株式会社」（以下、「東電報告書」と記載）では、課題リストとして、「共通」及び「各号機」別に、合計52項目が抽出されている。</p> <p>課題リスト～共通～： 共通-1～ 共通-16 ⇒ 16項目      課題リスト～1号機～： 1号機-1～1号機-11 ⇒ 11項目      課題リスト～2号機～： 2号機-1～2号機-13 ⇒ 13項目      課題リスト～3号機～： 3号機-1～3号機-12 ⇒ 12項目</p> <p>これら52項目は、図1に示すように、A～Dの4つの分類とさらなる細分類にて整理されているが、A「機器の動作・応答・特性」、C「地震・津波」及びD「その他」（ヒューマンファクター）については、MAAP コードによる事象進展解析とは直接的には関係がないと考えらえるため、これらを除外し、B「炉心損傷・放射性物質放出への進展とメカニズム」について留意すべきかについて検討した。さらに、B「炉心損傷・放射性物質放出への進展とメカニズム」は、①～⑦に細分化されているが、①「圧力・水位・温度の挙動」、②「炉心損傷過程・デブリ挙動」、③「RPV漏えい」及び④「PCV漏えい」は、MAAP コードによる事象進展解析に直接的に関係する可能性があると考えられる。一方で、⑤「核種放出・線量上昇・汚染」、及び⑥「水素爆発」は、MAAP コードによる事象進展解析を参考にしつつも、MAAP コード以外の計算コード・手法による評価を「有効性評価」として最終的に実施すること</p>	泊3号炉		(1)	原子炉圧力容器からの気相漏えいの発生について	(2)	コア・コンクリート反応について	(3)	水素リッチな蒸気を放出した際の凝縮挙動	(4)	原子炉格納容器の気相漏えいについて	<p>記載内容の相違 ・泊は福島第一原子力発電所事故における未確認・未解明事項において留意すべき項目の選定方法について記載</p>
泊3号炉												
(1)	原子炉圧力容器からの気相漏えいの発生について											
(2)	コア・コンクリート反応について											
(3)	水素リッチな蒸気を放出した際の凝縮挙動											
(4)	原子炉格納容器の気相漏えいについて											

泊発電所3号炉 有効性評価 比較表

付録3 重大事故等対策の有効性評価に係るシビアアクシデント解析コードについて（第3部 MAAP コード（MAAP 追加事項））

女川原子力発電所2号炉	泊発電所3号炉	相違理由
	<p>から、ここでは着目しないこととした。また、⑦「その他」についても、MAAP コードでの事象進展解析には関係しないものと判断した。その結果、B①～B④の中から 7 項目が残った。B①のうち、2号機-7「強制減圧後の原子炉圧力の上昇について」は有効性評価において主要要因と影響を考慮済であること、2号機-11「原子炉格納容器の気相漏えいについて」はB④1 号機-6「原子炉格納容器の気相漏えいについて」と概ね重複すること、B③のうち、3号機-9「原子炉圧力容器の気相漏えいについて」は 1 号機-5「原子炉圧力容器の気相漏えいについて」と概ね重複することから片方にて代表させた。</p> <p>選定フローについては図2、選定した 7 項目と採否については表2 に示す。</p> <p>以上より、B①～B④の 4 項目で細分化される福島第一原子力発電所事故の未確認・未解明事項に対して、それぞれから 1 項目を抽出した。</p> <p style="text-align: right;">以上</p> <pre> graph TD     A[A 機器の動作・応答・特性] --- A1[①主蒸気逃がし安全弁 ②I.C・R.C.I.C・H.P.C.I. ③消防車注水 ④ペント関連設備 ⑤計装 ⑥その他]     A --- A2[事故進展に係る、各機器レベルでの操作・応答・特性に関する検討課題]     B[B 炉心損傷・放射性物質放出への進展とメカニズム] --- B1[①圧力・水位・温度の挙動 ②炉心損傷過程・デブリ挙動 ③R.P.V.漏えい ④P.C.V.漏えい ⑤核種放出・線量上昇・汚染 ⑥水素爆発 ⑦その他]     B --- B2[炉心損傷から放射性物質の放出への事象の進展とそのメカニズムに係る検討課題]     C[C 地震・津波] --- C1[①地震・津波の発生とその影響 ②その他]     C --- C2[地震・津波の発生とその影響に係る検討課題]     D[D その他]   </pre> <p>図1 東電報告書における福島第一原子力発電所事故未確認・未解明事項の分類      (報告書P.90より抜粋)</p>	

泊発電所3号炉 有効性評価 比較表  
 付録3 重大事故等対策の有効性評価に係るシビアアクシデント解析コードについて（第3部 MAAPコード（MAAP追加事項））

女川原子力発電所2号炉	泊発電所3号炉	相違理由
	<pre> graph TD     A[抽出された 52項目] --&gt; B{MAAPの事象進展に直接関係するか}     B -- YES --&gt; C{最終的にMAAPで評価するか}     C -- YES --&gt; D{PWRに置換可能か}     D -- YES --&gt; E{重複・類似、考慮していないか}     E -- YES --&gt; F【採用項目】     E -- NO --&gt; G【不採用項目】     C -- NO --&gt; H(分類Bの⑤、⑥)     D -- NO --&gt; I(分類Bの①～④のうち13項目)     E -- NO --&gt; J(分類B①～④の7項目のうち3項目)     </pre> <p><b>【採用項目】</b>          B 炉心損傷・放射性物質放出への進展とメカニズムからそれぞれ代表的な1項目を以下通り抽出          ①水素リッチな蒸気を放出した際の凝縮挙動          ②コア・コンクリート反応について          ③原子炉圧力容器からの気相漏えいの発生について          ④原子炉格納容器の気相漏えいについて</p> <p><b>【不採用項目】</b>          A 機器の動作・応答・特性          (①～⑥)          C 地震・津波          (①、②)          D その他（ヒューマンファクター）          B 炉心損傷・放射性物質放出への進展とメカニズム          (①～④)の16項目、⑤、⑥、⑦)</p>	

図2 福島第一原子力発電所事故未確認・未解明事項から

有効性評価において留意すべき項目の選定フロー

泊発電所3号炉 有効性評価 比較表

付録3 重大事故等対策の有効性評価に係るシビアアクシデント解析コードについて（第3部 MAAP コード（MAAP 追加事項））

女川原子力発電所2号炉	泊発電所3号炉	相違理由																								
	<p style="text-align: center;"><b>表2 選定した7項目について</b></p> <table border="1" style="width: 100%; border-collapse: collapse;"> <thead> <tr> <th>細分類</th> <th>項目</th> <th>採否</th> </tr> </thead> <tbody> <tr> <td>B①</td> <td>2号機-7 強制減圧後の原子炉圧力の上昇について</td> <td>不採用 主な要因は有効性評価にて考慮済</td> </tr> <tr> <td></td> <td>2号機-10 水素リッチな蒸気を放出した際の凝縮挙動</td> <td>採用</td> </tr> <tr> <td></td> <td>2号機-11 原子炉格納容器の気相漏えいについて</td> <td>採用 ただし、概ね内容重複するためB④1号機-6にて代表させた</td> </tr> <tr> <td>B②</td> <td>共通-5 コア・コンクリート反応について</td> <td>採用</td> </tr> <tr> <td>B③</td> <td>1号機-5 原子炉圧力容器の気相漏えいについて</td> <td>採用</td> </tr> <tr> <td></td> <td>3号機-9 原子炉圧力容器の気相漏えいについて</td> <td>採用 ただし、概ね内容重複するためB③1号機-5にて代表させた</td> </tr> <tr> <td>B④</td> <td>1号機-6 原子炉格納容器の気相漏えいについて</td> <td>採用</td> </tr> </tbody> </table>	細分類	項目	採否	B①	2号機-7 強制減圧後の原子炉圧力の上昇について	不採用 主な要因は有効性評価にて考慮済		2号機-10 水素リッチな蒸気を放出した際の凝縮挙動	採用		2号機-11 原子炉格納容器の気相漏えいについて	採用 ただし、概ね内容重複するためB④1号機-6にて代表させた	B②	共通-5 コア・コンクリート反応について	採用	B③	1号機-5 原子炉圧力容器の気相漏えいについて	採用		3号機-9 原子炉圧力容器の気相漏えいについて	採用 ただし、概ね内容重複するためB③1号機-5にて代表させた	B④	1号機-6 原子炉格納容器の気相漏えいについて	採用	
細分類	項目	採否																								
B①	2号機-7 強制減圧後の原子炉圧力の上昇について	不採用 主な要因は有効性評価にて考慮済																								
	2号機-10 水素リッチな蒸気を放出した際の凝縮挙動	採用																								
	2号機-11 原子炉格納容器の気相漏えいについて	採用 ただし、概ね内容重複するためB④1号機-6にて代表させた																								
B②	共通-5 コア・コンクリート反応について	採用																								
B③	1号機-5 原子炉圧力容器の気相漏えいについて	採用																								
	3号機-9 原子炉圧力容器の気相漏えいについて	採用 ただし、概ね内容重複するためB③1号機-5にて代表させた																								
B④	1号機-6 原子炉格納容器の気相漏えいについて	採用																								

泊発電所3号炉 有効性評価 比較表

付録3 重大事故等対策の有効性評価に係るシビアアクシデント解析コードについて（第3部 MAAP コード（MAAP 追加事項））

女川原子力発電所2号炉	泊発電所3号炉	相違理由
<p>[参考文献]</p> <p>[1] 東京電力株式会社，“MAAP コードによる炉心・格納容器の状態の推定，”平成 24 年 3 月 12 日</p> <p>[2] 東京電力株式会社，“福島第一原子力発電所 1～3 号機の炉心・格納容器の状態の推定と未解明問題に関する検討 第 3 回進捗報告，”平成 27 年 5 月 20 日</p> <p>[3] 独立行政法人 原子力安全基盤機構，“圧力抑制室保有水の温度成層化による原子炉格納容器圧力等への影響等の検討，”平成 24 年 2 月 1 日</p> <p>[4] Y. Kojima, et al., “MAAP Enhancements for Ascertaining and Analyzing Reactor Core Status in Fukushima Daiichi NPP”, Proceedings of ICAPP 2014, Charlotte, USA, April 6-9, 2014, Paper 14209.</p> <p>[5] Electric Power Research Institute, “Modular Accident Analysis Program 5 (MAAP5) Applications Guidance”, May 2015.</p> <p>[6] “IN-VESSEL CORE DEBRIS RETENTION AND COOLABILITY Workshop Proceedings”, 3-6 March 1998, Garching, Germany (NEA/CSNI/R(98)18).</p> <p>[7] D. F. Tsurikov, et al., “Main Results of the MASCA 1 and 2 Projects”, Russian Research Centre “KURCHATOV INSTITUTE”, OECD MASCA Project (2007).</p> <p>[8] M. T. Farmer, et al., “Corium Coolability under Ex-Vessel Debris Cooling Tests”, Proc. Of OECD/CSNI Workshop on Ex-Vessel Debris Coolability, Karlsruhe, Germany (1999).</p> <p>[9] M. T. Farmer, et al., “OECD MCCI Project Final Report”, OECD/MCCI-2005-TR06 (2006).</p> <p>[10] M. T. Farmer, et al., “OECD MCCI-2 Project Final Report”, OECD/MCCI-2010-TR07 (2010).</p> <p>[11] Q. Zhou, et al., “Benchmark of MCCI Model in MAAP5.02 against OECD CCI Experiment Series”, Proceedings of ICAPP 2014, ICAPP-14352, Charlotte, USA, 2014.</p>	<p>[参考文献]</p> <p>[1] 東京電力株式会社，“MAAP コードによる炉心・格納容器の状態の推定，”平成 24 年 3 月 12 日</p> <p>[2] 東京電力ホールディングス株式会社，“福島第一原子力発電所 1～3 号機の炉心・格納容器の状態の推定と未解明問題に関する検討 第 6 回進捗報告，”2022 年 11 月 20 日</p> <p>[3] Electric Power Research Institute, “Modular Accident Analysis Program 5 (MAAP5) Applications Guidance, Desktop Reference for Using MAAP5 Software -Phase 3 Report,” November 2017</p> <p>[4] “IN-VESSEL CORE DBRIS PETENTION AND COOLABILITY Workshop Proceedings”, 3-6 March 1998, Garching, Germany (NEA/CSNI/R(98)18).</p> <p>[5] D. F. Tsurikov, et al., “Main Results of the MASCA 1 and 2 Projects”, Russian Research Centre “KURCHATOV INSTITUTE”, OECD MASCA Project (2007).</p> <p>[6] M. T. Farmer, et al., “Status of Large Scale MACE Core Coolability Experiments”, Proc. of OECD/CSNI Workshop on Ex-Vessel Debris Coolability, Karlsruhe, Germany (1999).</p> <p>[7] M. T. Farmer, et al., “OECD MCCI Project Final Report”, OECD/MCCI-2005-TR06 (2006).</p> <p>[8] M. T. Farmer, et al., “OECD MCCI-2 Project Final Report”, OECD/MCCI-2010-TR07 (2010).</p> <p>[9] Q. Zhou, C.Y. Paik, and P.B. McMinn, “Enhancements in MAAP5.03+ MCCI and Corium Coolability Models and Benchmarks against OECD CCI Tests,” NURETH-16, Chicago, IL, August 30-September 4, 2015.</p> <p>[10] Y. Kojima, et al., “MAAP Enhancements for Ascertaining and Analyzing Reactor Core Status in Fukushima Daiichi NPPs”, Proceedings of ICAPP2014, Charlotte, USA, April 6-9, 2014, Paper 14209.</p>	<p>参考文献の相違</p> <p>記載箇所の相違 ・泊の[10]は女川の[4]に相当</p>

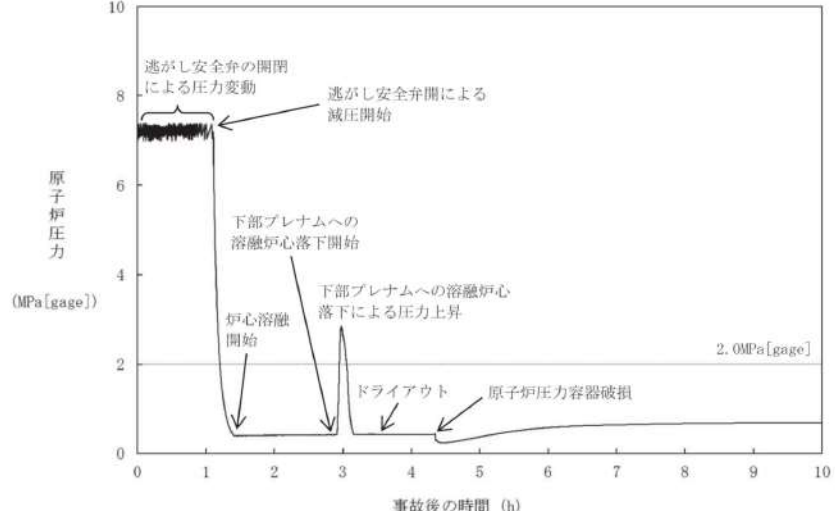
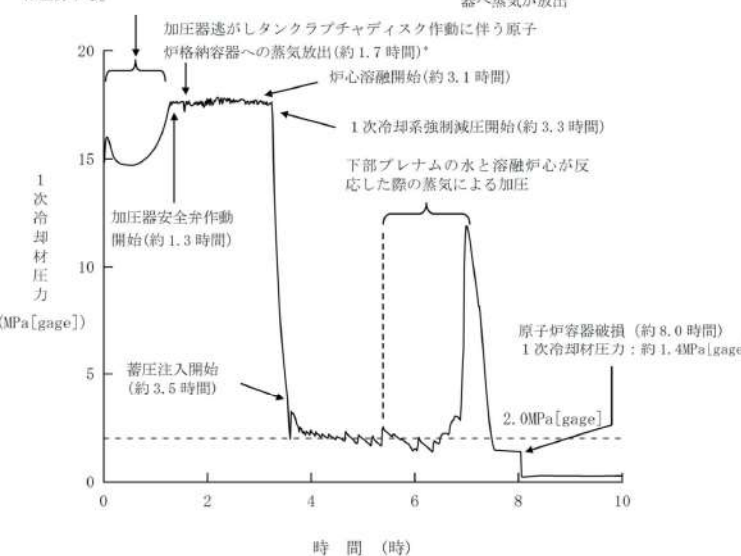
泊発電所3号炉 有効性評価 比較表

付録3 重大事故等対策の有効性評価に係るシビアアクシデント解析コードについて（第3部 MAAP コード（MAAP 追加事項））

女川原子力発電所2号炉	泊発電所3号炉	相違理由
<p>【第5部 MAAP 添付1より抜粋】</p> <p>3. 不確かさに関する整理</p> <p>格納容器破損防止対策の有効性評価においては、HPME/DCH 発生防止策の有効性を評価するために原子炉圧力が高く維持されるシーケンスを選定し、逃がし安全弁による手動開放により、溶融炉心の飛散が生じないとされている原子炉圧力約 2.0MPa[gage] 以下まで減圧できることを示している。</p> <p>本事故シーケンスにて想定する事象進展を図 3-1 に示す。また、本シーケンスにおけるBWR5, Mark-I 改良型格納容器プラントの原子炉圧力の応答例を図 3-2 に示す。事象発生時には炉心は冠水状態にあるが、給水喪失、逃がし安全弁からの冷却材流出により炉水位が低下し、事象発生から約 1.1 時間後に逃がし安全弁 2弁により原子炉の減圧を行う。炉心燃料や構造材は溶融を開始し、溶融プールを形成しつつ、溶融炉心は炉心部下方へ落下する。約 2.9 時間後に溶融炉心が炉心支持板から下部ブレナムへ落下し始め、溶融炉心と冷却材の相互作用（原子炉圧力容器内 FCI）により発生した水蒸気により過渡的に加圧されるが、加圧器逃がし弁は開放されており、速やかに減圧する。約 8.0 時間後に原子炉容器が破損に至るが、この時原子炉圧力は 1.4MPa[gage] であり、原子炉容器破損後は、格納容器圧力と均圧する。</p> <p>約 4.3 時間後に原子炉圧力容器が破損に至るが、この時原子炉圧力は約 0.4MPa[gage] であり、2.0MPa[gage] を大きく下回っている。原子炉圧力容器破損後は、格納容器圧力と均圧する。</p> <p>図 3-1 HPME/DCH 防止の有効性評価において想定する事象</p> <p>【第3部 MAAP コード 添付1より抜粋】</p> <p>3. 不確かさに関する整理</p> <p>実験等による知見から、溶融炉心の分散放出が無視できる1次系圧力は約 2.0 MPa[gage] と評価される。一方、原子炉容器破損時の1次系圧力には不確かさがあると考えられる。</p> <p>HPME/DCH 防止の有効性を評価するに当たって、評価事故シーケンスとしては、1次冷却系が高圧条件である「外部電源喪失時に非常用所内交流電源が喪失し、補助給水機能が喪失する事故」を選定し、加圧器逃がし弁の手動開放により、溶融炉心の飛散が生じないとされている1次冷却材圧力約 2.0 MPa[gage] 以下まで減圧できることを示している。</p> <p>本評価事故シーケンスにて想定する事象進展を図 3-1 に示す。泊 3 号炉の1次冷却材圧力の応答は図 3-2 に示すとおりであり、約 3.3 時間に 1 次冷却系強制減圧（加圧器逃がし弁手動開放）を行い、その後は、蓄圧タンク圧力（4.0MPa[gage]）以下まで減圧した時点で、蓄圧注入が開始され、蓄圧タンク圧力とともに緩やかに低下する。約 5.4 時間で溶融炉心が下部ブレナムへ落下し始め、溶融炉心と冷却水の相互作用（原子炉容器内 FCI）により発生した水蒸気により過渡的に加圧されるが、加圧器逃がし弁は開放されており、速やかに減圧する。約 8.0 時間後に原子炉容器が破損に至るが、この時原子炉圧力は 1.4MPa[gage] であり、原子炉容器破損後は、原子炉格納容器圧力と均圧する。</p> <p>図 3-1 HPME/DCH 防止の有効性評価において想定する事象</p>		

泊発電所3号炉 有効性評価 比較表

付録3 重大事故等対策の有効性評価に係るシビアアクシデント解析コードについて（第3部 MAAP コード（MAAP 追加事項））

女川原子力発電所2号炉	泊発電所3号炉	相違理由
 <p>図 3-2 原子炉圧力の挙動</p>	<p>崩壊熱が低下し2次冷却系除熱により減圧するが、2次冷却系水位が低下して伝熱管が露出すると再び圧力は上昇する。</p> <p>*: 加圧器逃がしタンク（内圧）と、原子炉格納容器圧力（外圧）を監視し、ラブチャディスクの作動する内外圧の差に到達したときに原子炉格納容器へ蒸気が放出</p>  <p>図 3-2 「全交流動力電源喪失+補助給水失敗」における1次冷却材圧力の推移</p>	

泊発電所3号炉 有効性評価 比較表

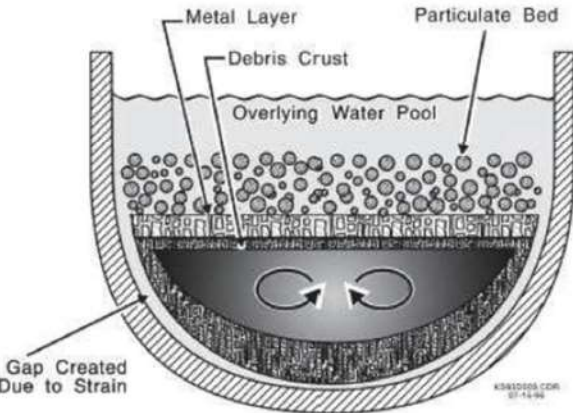
付録3 重大事故等対策の有効性評価に係るシビアアクシデント解析コードについて（第3部 MAAP コード（MAAP 追加事項））

赤字	設備、運用又は体制の相違（設計方針の相違）
青字	記載箇所又は記載内容の相違（記載方針の相違）
緑字	記載表現、設備名称の相違（実質的な相違なし）

女川原子力発電所2号炉 【第5部 MAAP 添付1より抜粋】	泊発電所3号炉 【第3部 MAAP コード 添付1より抜粋】	相違理由
<p>付録2 溶融炉心と上面水プールとの間の伝熱の感度解析条件に用いる係数の妥当性</p> <p>(1) 感度係数の位置づけ</p> <p>本感度解析に使用した係数は、下部プレナムに落下した溶融デブリ表面の金属層と上面水プールへの限界熱流束の乗数である。</p> <p>付図2-1に、MAAPにおけるデブリベッドへの冷却材侵入による冷却の状態図を示す。MAAPパラメータ内で適用している本係数の下限値「0」は、金属層が水に対して不透過性であり、熱は金属表面で対流または熱伝導のみで水に伝わることを意味し、上限値「1」は水が金属層に浸入し、限界熱流束によって制限された速度で冷却され、かつ表面からも対流又は熱伝導で除熱されることを意味する。本係数を調整することにより、金属層への水の侵入に伴う熱伝達の不確かさの影響を確認することができる。</p> <p>MAAPパラメータでデフォルト値として使用している値は、金属層への水の侵入が少ない場合を想定して、下限としてグリムスヴォトン溶岩での実験<sup>[4]*1</sup>で得られた除熱量を参考にした設定値（□）、上限としてMAAPの感度解析によりサーベイした、代表的な崩壊熱レベルの溶融デブリが冷却できる最小の除熱量に対応する設定値（□）を考慮し、その中間値（□）をデフォルト値としている。このとおり本係数は、不確かさを有するパラメータであるが、下記の感度解析にて示すとおり、デブリ冷却への影響は限定的であることから、推奨範囲の中間値をベースケース解析に用いることは妥当と考える。</p> <p>※1：グリムスヴォトン溶岩（Grimscotn Lava field）での実験</p> <p>グリムスヴォトン溶岩に広範囲にスプレイ散布することで、熱伝達のみの除熱よりも早く溶岩が固化する現象が確認された。この実験ではスプレイ水の溶岩への浸入による除熱量（約 40 kW/m<sup>2</sup>）が評価されている。</p> <p>(2) 感度係数の影響</p> <p>付図2-2に、係数を□～□の範囲で変化させた解析結果を示す。溶融炉心と上面水プールとの間の伝熱は、原子炉圧力容器の破損時間にほとんど影響を与えない結果となっている。このことから、推奨範囲の中間値（□）をベースケース解析において使用することは妥当と考える。</p> <div style="border: 1px solid black; padding: 5px; width: fit-content; margin-left: auto; margin-right: auto;"> <p>枠囲みの内容は商業機密に属しますので公開できません。</p> </div>	<p>付添1-3 溶融炉心と上面水プールとの間の伝熱の感度解析条件に用いる係数の妥当性</p> <p>(1) 感度係数の位置づけ</p> <p>原子炉容器破損時の1次系圧力に係る感度解析で使用した係数は、原子炉容器下部プレナムのデブリベッドと上面水プールとの間の限界熱流束にかかる係数である。</p> <p>付図3-1にMAAPで想定しているデブリベッドへの水浸入による冷却の状態を示す。この係数が「0」の場合、金属層への水浸入がないことを意味する。この場合、金属表面から水への熱伝達は、対流あるいは熱伝導でのみ行われる。この係数が「1」の場合、水は金属層へ浸入し、限界熱流束で制御される速度で冷却される。これは、対流と熱伝導に追加された冷却モードである。本係数を調整することにより、水のデブリベッドへの浸入による不確かさを評価することができる。</p> <p>MAAPコードのパラメータでデフォルト値として使用している値は、実験的に下限値とされる値と完全冷却に至る値との中間の値として、□が設定されている。一方、下限値として設定される□は、実験的に設定された値であり、上面水プールでは十分に冷却できない値である。</p> <p>(2) 感度係数の影響</p> <p>図3-2にベースケースとして□を、感度解析ケースとして□を設定した解析結果を示す。その結果、原子炉容器下部プレナム内のデブリベッドと上面水プールとの間の限界熱流束の原子炉容器破損時刻に対する感度は小さく、その不確かさの影響はほとんどないと言える</p> <div style="border: 1px solid black; padding: 5px; width: fit-content; margin-left: auto; margin-right: auto;"> <p>□ 枠囲みの内容は機密情報に属しますので公開できません。</p> </div>	<p>※女川の付録2相当の資料を新規作成</p>

泊発電所3号炉 有効性評価 比較表

付録3 重大事故等対策の有効性評価に係るシビアアクシデント解析コードについて（第3部 MAAP コード（MAAP 追加事項））

女川原子力発電所2号炉	泊発電所3号炉	相違理由
 <p>出典：MAAP4 User's Manual, EPRI</p> <p>付図 2-1 デブリベッドへの冷却材浸入による冷却</p>	 <p>付図 3-1 デブリベッドへの水浸入による冷却モデル</p> <p>出典：MAAP4 User's Manual, EPRI</p>	

逃がし安全弁の開閉による圧力変動	ベースケース	下部プレナム内の溶融炉心と上面水プールとの間の伝熱速度ケース（最小値）	下部プレナム内の溶融炉心と上面水プールとの間の伝熱速度ケース（最大値）
原子炉圧力 (MPa [gage])	8	8	8
事故後の時間 (h)	0 1 2 3 4 5 6 7 8 9 10	0 1 2 3 4 5 6 7 8 9 10	0 1 2 3 4 5 6 7 8 9 10

付図 2-2 原子炉圧力の時間変化

加圧器安全弁の開閉による圧力変動	ベースケース	炉心デブリと上面水プール間の伝熱速度ケース
1次系圧力 (MPa [gage])	20	20
時間 (hour)	0 2 4 6 8 10	0 2 4 6 8 10

付図 3-2 1次系圧力の時間変化

枠囲みの内容は機密情報に属しますので公開できません。

泊発電所3号炉 有効性評価 比較表

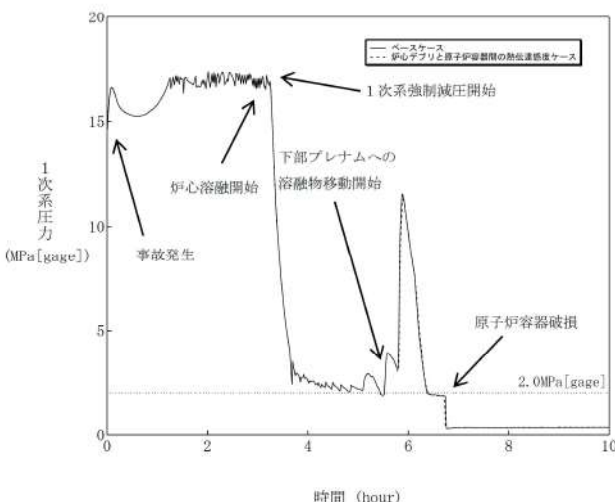
付録3 重大事故等対策の有効性評価に係るシビアアクシデント解析コードについて（第3部 MAAP コード（MAAP 追加事項））

女川原子力発電所2号炉	泊発電所3号炉	相違理由
<p>【第5部 MAAP 添付1より抜粋】</p> <p>付録3 溶融デブリと原子炉圧力容器間の熱伝達におけるギャップ冷却について</p> <p>付図3-1に下部プレナムでのエネルギー移行図を示す。</p> <p>MAAPでは、下部プレナムに落下した溶融デブリは溶融プールの外側にクラストが形成される。この、下部クラストと原子炉圧力容器内面にひずみが生じ、下部クラストと容器内面に生じたギャップに冷却材が流入することでクラスト表面及び原子炉圧力容器内面から除熱される「ギャップ冷却」が生じるというモデルになっている。</p> <p>付図3-1に示すとおり、MAAPでは、上述のギャップ冷却による除熱量と下部クラストから隣接流体への伝熱量を評価している。下部クラストから移行し、ギャップ冷却で取り除かれない伝熱量は、原子炉圧力容器内面への伝熱量として評価される。ギャップ冷却は、ギャップに浸入した水の沸騰時の限界熱流束により評価される。溶融デブリと原子炉圧力容器間のギャップに存在する水による除熱量と溶融デブリから原子炉圧力容器への伝熱量を比較すると、下部プレナムギャップの除熱量は、溶融デブリから原子炉圧力容器への伝熱量に比べて非常に小さいことから、原子炉圧力容器温度の上昇が発生する。ドライアウト後、ギャップ冷却効果はゼロとなる。</p> <p>以上の事から、下部プレナムギャップの除熱量が溶融デブリと原子炉圧力容器間の熱伝導に与える影響は小さく、4.1.(8)の感度解析にて示すとおり下部プレナムギャップの除熱量に係る係数が原子炉圧力容器表面の温度に与える影響は小さいといえる。</p>	<p>【第3部 MAAP コード 添付1より抜粋】</p> <p>添付1-4 溶融デブリと原子炉容器の熱伝達におけるギャップ冷却</p> <p>(1)感度解析の位置付け</p> <p>原子炉容器破損時の1次系圧力に係る感度解析で使用した係数は、原子炉容器下部プレナムの下部クラストと原子炉容器下部ヘッドとの間のギャップ熱伝達にかかる係数である。付図4-1にMAAPコードで想定している下部プレナムでのエネルギー移行の状態を示す。</p> <p>付図4-1に示すとおり、MAAPコードではギャップ冷却による除熱量と下部クラストから隣接流体への伝熱量を評価している。下部クラストからの伝熱量のうち、ギャップ冷却で除去されない伝熱量は、原子炉容器内面への伝熱量となる。この効果の不確かさを確認するために、ギャップ冷却に関する感度解析を実施している。</p> <p>MAAPコードのパラメータでデフォルト値として使用している値は、ギャップによる除熱量の評価式をそのまま適用するための値として、□が設定されている。一方、溶融炉心と下部プレナムが接触している状態を模擬するための設定として、□とした評価を実施する。</p> <p>(2)感度解析の影響</p> <p>付図4-1にベースケースとして□を、感度解析ケースとして□を設定した解析結果を示す。その結果、原子炉容器下部プレナム内の下部クラストと原子炉容器下部ヘッドとの間のギャップ伝熱量の原子炉容器破損時刻に対する感度は小さく、その不確かさの影響はほとんどないと言える。</p> <p style="text-align: right;">□ 條畠みの内容は機密情報に属しますので公開できません。</p>	<p>※女川の付録3相当の資料を新規作成</p>

泊発電所3号炉 有効性評価 比較表

付録3 重大事故等対策の有効性評価に係るシビアアクシデント解析コードについて（第3部 MAAPコード（MAAP追加事項））

女川原子力発電所2号炉	泊発電所3号炉	相違理由
<p>出典：MAAP4 User's Manual, EPRI</p> <p>付図3-1 下部プレナムでのエネルギー移行図</p>	<p>付図4-1 下部プレナムでのエネルギー移行モデル</p> <p>出典：MAAP4 User's Manual, EPRI</p>	



付図4-2 1次系圧力の時間変化

■枠囲みの内容は機密情報に属しますので公開できません。

泊発電所3号炉 有効性評価 比較表

付録3 重大事故等対策の有効性評価に係るシビアアクシデント解析コードについて（第3部 MAAP コード（MAAP 追加事項））

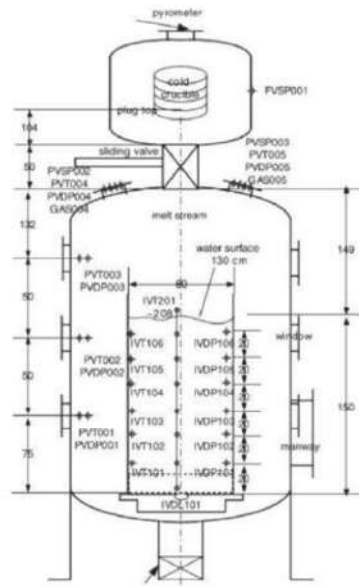
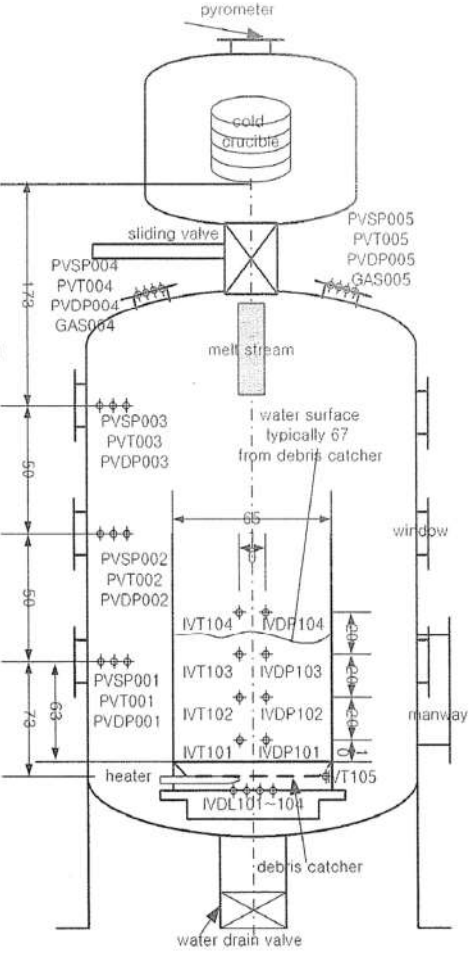
女川原子力発電所2号炉	泊発電所3号炉	相違理由
<p>【第5部 MAAP 添付2 3.1 FCI 実験の概要より抜粋】</p> <p>(5) TROI実験</p> <p>TROI 実験<sup>[8]</sup>は、韓国原子力研究所 (KAERI) で実施されている実験であり、2007年から2012年までは、KROTOS実験とともにOECD/NEAのSERENAプロジェクトとして実施された実験である。実験装置の概要図を図3-10に示す。また、実験条件及び実験結果を表3-6に示す。</p> <p>ZrO<sub>2</sub>を用いた実験では外部トリガリングを与えていないが、圧力スパイクや水蒸気爆発が発生した実験がある。一方、UO<sub>2</sub>/ZrO<sub>2</sub> の混合物を用いた実験では、異なる条件による内部トリガリングを発生させるため又は外部トリガリングによる水蒸気爆発時の発生エネルギーを変えるため、混合物の割合、水深、混合物量等の様々な条件により実験を実施し、数ケースでは水蒸気爆発が発生している。</p> <p>TROI 実験で得られた主な知見は以下のとおりである。</p> <ul style="list-style-type: none"> <li>・自発的な水蒸気爆発が生じた実験は、融点を大きく上回る過熱度を溶融物に対して与えるなどの実機と異なる条件であり、その他の実験では自発的な水蒸気爆発は生じていない。</li> <li>・水深が深い場合（130cm）には、内部トリガリングによる水蒸気爆発は発生していない。水深が深いことにより、溶融物粒子が底部に到達するまでの沈降時間が長くなり、溶融物粒子が固化しやすい状況となる。このため、溶融物粒子が底部に接触することで発生するトリガリングの可能性は低減する可能性がある<sup>[9]</sup>。</li> </ul>	<p>【第3部 MAAP コード 添付2 3.1 FCI 実験の概要より抜粋】</p> <p>(5) TROI実験</p> <p>TROI 実験装置は、韓国原子力研究所 (KAERI) に設置されている装置であり、原子炉で実際に使用されている物質を用いて、その溶融物の冷却や水蒸気爆発挙動に関する情報を提供するものである。実験装置の水深は60cmから130cmまでを範囲としている。TROI 実験装置の概要を図3.1-10に示す。初期段階から、FCIにおける物質の効果についての実験が行われてきており、様々な種類の溶融物について検討してきた。</p>	<p>※女川の3.1相当となるよう「TROI 実験」に関する資料を新規作成</p>

表3.1-5にTROI 実験の条件及び結果を示す。実験で得られた主な知見を以下に記す。

- ・ ZrO<sub>2</sub>を使用した実験では、いくつかのケースで水蒸気爆発が観測された。
- ・ UO<sub>2</sub>-ZrO<sub>2</sub>混合物を使用した実験においては、80%UO<sub>2</sub>+20%ZrO<sub>2</sub>混合物と 70%UO<sub>2</sub>+30%ZrO<sub>2</sub>混合物では、異なる様相の水蒸気爆発が観測された。これは、共晶物である70%UO<sub>2</sub>+30%ZrO<sub>2</sub>混合物と非共晶物である80%UO<sub>2</sub>+20%ZrO<sub>2</sub>混合物の相違によるものであると考察された。非共晶物の混合物（80%UO<sub>2</sub>+20%ZrO<sub>2</sub>）では、液滴の表面に柔らかい液膜が形成され、それが細粒化を妨げ、機械的エネルギーへの変換効率を小さくしている。さらに、共晶物の混合物（70%UO<sub>2</sub>+30%ZrO<sub>2</sub>）では、固化した液滴の中に空孔が観測された。粒子内の空孔については、固化状のクラストと液状の核との間の張力の結果生じたものと考察された。
- ・ UO<sub>2</sub>-ZrO<sub>2</sub>-金属混合物 (UO<sub>2</sub>-ZrO<sub>2</sub>/Zr/Fe) を使用した実験では、2つの混合しない金属は分離され、層状化し、より密度の大きい金属はるつぼの底に堆積する結果となった。金属が加えられた溶融物でのFCI実験に関しては、結論は様々である。実際、TROI 51 実験では水蒸気爆発に至ったが、デブリは化学的に不均質であった。この結果に関して、サンプル内部の空孔とその水蒸気爆発の強さとの関連が指摘された。
- ・ いずれの条件においても、水蒸気爆発が観測されたのは、外部トリガがある場合または溶融物の過熱度が高い場合である。

泊発電所3号炉 有効性評価 比較表

付録3 重大事故等対策の有効性評価に係るシビアアクシデント解析コードについて（第3部 MAAP コード（MAAP 追加事項））

女川原子力発電所2号炉	泊発電所3号炉	相違理由
 <p>Expl.:</p> <ul style="list-style-type: none"> <li>IVDP - water dynamic pressure</li> <li>PVT - pressure vessel temperature</li> <li>PVDP - pressure vessel dyn. pressure</li> <li>PVSP - pressure vessel static press.</li> <li>IVDL - bottom dynamic load</li> <li>IVT - water temperature</li> </ul> <p>2. set up          (surely from TROI-50 experiment)</p> <p>出典：参考文献<sup>[8]</sup> Appendix B. p. 202</p> <p>図 3-10 TROI 実験装置の概要</p>	 <p>図 3.1-10 TROI 実験装置の概要<sup>[2]</sup></p>	

泊発電所3号炉 有効性評価 比較表

付録3 重大事故等対策の有効性評価に係るシビアアクシデント解析コードについて（第3部 MAAP コード（MAAP 追加事項））

女川原子力発電所2号炉									泊発電所3号炉							相違理由				
実験名	実験ケース	溶融物組成 (%)	溶融物質量 (kg)	溶融物温度 (K)	圧力 (MPa)	水温度 (K)	水深 (m)	外部トリガー	水蒸気爆発発生	機械的エネルギー変換効率(%)	実験ID	溶融物タイプ	UO <sub>3</sub> 質量割合	溶融物質量 kg	溶融物温度 K	溶融物液熱度 K	77~84度 K	外張り管*の有無	水蒸気爆発発生の有無	機械的エネルギーへの変換効率(%)
表 3-6 TROI 実験の主要な実験条件及び実験結果 (1/2) [8] [9] [10] [9]																				
TROI	1	ZrO <sub>2</sub> /Zr (99/1)	5	>3773	0.1	365	0.67	-	Steam Spike	-	1	99%ZrO <sub>2</sub> +1%Zr	0	5	>3773	-	5	-	-	-
	2	ZrO <sub>2</sub> /Zr (99/1)	5.5	>3773	0.1	365	0.67	-	No	-	2	99%ZrO <sub>2</sub> +1%Zr	0	5.5	>3773	-	8	-	-	-
	3	ZrO <sub>2</sub> /Zr (99/1)	4.88	>3773	0.1	323	0.67	-	No	-	3	99%ZrO <sub>2</sub> +1%Zr	0	4.9	>3773	-	50	-	-	-
	4	ZrO <sub>2</sub> /Zr (99/1)	4.2	>3773	0.1	292	0.67	-	Yes	-	4	99%ZrO <sub>2</sub> +1%Zr	0	4.2	>3773	-	81	-	○	-
	5	ZrO <sub>2</sub> /Zr (98.5/1.5)	2.9	3773	0.1	337	0.67	-	Yes	-	5	98.5%ZrO <sub>2</sub> +1.5%Zr	0	2.9	3773	-	36	-	○	-
	9	UO <sub>3</sub> /ZrO <sub>2</sub> (70/30)	4.3	3200	0.1	296	0.90	-	No	-	6	100%ZrO <sub>2</sub>	0	4.2	>3773	-	81	-	○	-
	10	UO <sub>3</sub> /ZrO <sub>2</sub> (70/30)	8.7	3800	0.117	298	0.67	-	Yes	-	9	70%UO <sub>3</sub> +30%ZrO <sub>2</sub>	0.7	4.9	3200	-	77(*)	-	-	-
	11	UO <sub>3</sub> /ZrO <sub>2</sub> (70/30)	9.2	>3800	0.111	296	0.67	-	No	-	10	70%UO <sub>3</sub> +30%ZrO <sub>2</sub>	0.7	8.7	3800	-	77(*)	-	○	-
	12	UO <sub>3</sub> /ZrO <sub>2</sub> (70/30)	8.4	3800	0.11	293	0.67	-	Yes	-	11	70%UO <sub>3</sub> +30%ZrO <sub>2</sub>	0.7	9.2	>3800	-	77(*)	-	-	-
	13	UO <sub>3</sub> /ZrO <sub>2</sub> (70/30)	7.7	2600 <sup>[11]</sup>	0.108	292	0.67	-	Yes	0.40%	12	70%UO <sub>3</sub> +30%ZrO <sub>2</sub>	0.7	8.4	3800	-	80(*)	○	○	-
	14	UO <sub>3</sub> /ZrO <sub>2</sub> (70/30)	6.5	3000 <sup>[12]</sup>	0.105	285	0.67	-	Yes	-	13	60%UO <sub>3</sub> +30%ZrO <sub>2</sub> +1%Zr	0.69	7.7	2600	-	81	○	○	-
	17	UO <sub>3</sub> /ZrO <sub>2</sub> (70/30)						-	No	-	14	60%UO <sub>3</sub> +50%ZrO <sub>2</sub> +1%Zr	0.69	6.5	3000	-	88	○	○	-
	18	UO <sub>3</sub> /ZrO <sub>2</sub> (78/22)	9.1					-	-	-	15	99%ZrO <sub>2</sub> +1%Zr	0	2.3	3750	-	83	○	○	-
	21	UO <sub>3</sub> /ZrO <sub>2</sub> (80/20)	17.0	3000	0.110	298	1.30	No	No	-	16	10%UO <sub>3</sub> +30%ZrO <sub>2</sub>	0.7	-	-	-	-	-	-	-
	22	UO <sub>3</sub> /ZrO <sub>2</sub> (80/20)	17.0	2900	0.110	297	1.30	No	No	-	17	10%UO <sub>3</sub> +30%ZrO <sub>2</sub>	0.7	-	-	-	-	-	-	-
	23	UO <sub>3</sub> /ZrO <sub>2</sub> (80/20)	17.0	3600	0.110	293	1.30	No	No	-	18	78%UO <sub>3</sub> +22%ZrO <sub>2</sub>	0.78	9.1	-	-	-	-	-	-
	24	ZrO <sub>2</sub>	8.5	3800	0.110	288	0.67	No	Yes	-	21	40%UO <sub>3</sub> +20%ZrO <sub>2</sub>	0.8	7.3	3600	-	75	-	-	-
	25	UO <sub>3</sub> /ZrO <sub>2</sub> (70/30)	15.0	3500	0.110	287	0.67	No	Steam Spike	-	22	80%UO <sub>3</sub> +20%ZrO <sub>2</sub>	0.8	9.9	2900	-	76	-	-	-
	26	UO <sub>3</sub> /ZrO <sub>2</sub> (70/20)	17.0	3300	0.106	283	0.67	No	Steam Spike	-	23	80%UO <sub>3</sub> +20%ZrO <sub>2</sub>	0.8	10.4	3800	-	80	-	-	-
表 3-6 TROI 実験の主要な実験条件及び実験結果 (2/2) [8] [9] [10] [9]																				
TROI	27	UO <sub>3</sub> /ZrO <sub>2</sub> (60/40)	17.5					-	No	-	24	100%ZrO <sub>2</sub>	0	6.4	3800	-	88	○	○	-
	32	UO <sub>3</sub> /ZrO <sub>2</sub> (87/13)						-	No	-	25	70%UO <sub>3</sub> +30%ZrO <sub>2</sub>	0.7	9.0	3500	-	86	○	○	-
	34	UO <sub>3</sub> /ZrO <sub>2</sub> (70/30)	18.5	~3000		341	0.67	Yes	Yes	0.63	26	87%UO <sub>3</sub> +13%ZrO <sub>2</sub>	0.87	-	-	-	-	-	-	-
	35	UO <sub>3</sub> /ZrO <sub>2</sub> (70/30)	8	~3000	0.110	334	1.30	Yes	Yes	0.21	27	70%UO <sub>3</sub> +29%ZrO <sub>2</sub> +1%Zr	0.7	19.5	3670	-	32	○	○	0.63
	36	UO <sub>3</sub> /ZrO <sub>2</sub> (70/30)	9.3	~3000		305	0.95	Yes	Yes	0.50	28	70%UO <sub>3</sub> +29%ZrO <sub>2</sub> +1%Zr	0.7	19.9	2990	-	39	○	○	0.21
	37	UO <sub>3</sub> /ZrO <sub>2</sub> (78/22)	8.1	~3000	0.104	313	0.95	Yes	Yes	0.01	29	70%UO <sub>3</sub> +29%ZrO <sub>2</sub> +1%Zr	0.7	9.3	3510	-	68	○	○	0.50
	38	UO <sub>3</sub> /ZrO <sub>2</sub> (78/22)	5.2	~3000	0.105	288	1.30	-	No	-	30	50%UO <sub>3</sub> +50%ZrO <sub>2</sub>	0.5	11.5	-	-	-	-	-	-
	39	UO <sub>3</sub> /ZrO <sub>2</sub> (78/22)	3.4	~3000	0.106	285	1.30	-	No	-	31	87%UO <sub>3</sub> +13%ZrO <sub>2</sub>	0.7	-	-	-	-	-	-	-
	40	UO <sub>3</sub> /ZrO <sub>2</sub> (70/30)	11.1	~3000	0.312	287	1.30	-	No	-	32	70%UO <sub>3</sub> +29%ZrO <sub>2</sub> +1%Zr	0.7	19.5	3670	-	32	○	○	0.21
	49	UO <sub>3</sub> /ZrO <sub>2</sub> /Zr/Fe (62.5/15.1/17.1/11)	15.98	2730/3360				-	-	-	33	70%UO <sub>3</sub> +10%ZrO <sub>2</sub> +1%Zr	0.7	19.0	3620	-	38	○	-	-
	50	UO <sub>3</sub> /ZrO <sub>2</sub> /Zr/Fe (59.5/18.1/18.1/10.6)	14.46					-	-	-	34	62.3%UO <sub>3</sub> +15%ZrO <sub>2</sub> +11.7%Zr+11%Fe	0.623	16.0	3500	-	-	-	-	-
	51	UO <sub>3</sub> /ZrO <sub>2</sub> /Zr/Fe (60.5/16.1/12.1/10.7)	6.3	2695/3420	0.115	294	1.30	Yes	Yes	-	35	59.5%UO <sub>3</sub> +18%ZrO <sub>2</sub> +11.9%Zr+10.6%Fe	0.595	14.5	-	-	-	-	-	-
	52	UO <sub>3</sub> /ZrO <sub>2</sub> /Zr/Fe (61.0/16.0/12.1/11)	8.6	2650	0.116	285	1.30	Yes	Steam Spike	-	36	62.8%UO <sub>3</sub> +13.5%ZrO <sub>2</sub> +12.6%Zr+11.7%SS	0.628	6.3	3420	-	79	○	○	-
表 3.1-5 TROI 実験条件及び結果一覧 [1][2][3][4][5][6][7][8][9][10][11] (2/2)																				
TROI	40	UO <sub>3</sub> /ZrO <sub>2</sub>	0.7	11.1	~3000		-	-	-	-	40	70%UO <sub>3</sub> +30%ZrO <sub>2</sub>	0.7	11.1	~3000	-	66(*)	-	-	-
	43	UO <sub>3</sub> /ZrO <sub>2</sub>	0.63	10.2	2660		-	-	-	-	43	63%UO <sub>3</sub> +27%ZrO <sub>2</sub> +10%Fe	0.63	10.2	2660	-	77	○	-	-
	44	UO <sub>3</sub> /ZrO <sub>2</sub>	0.63	10.8	2680		-	-	-	-	44	63%UO <sub>3</sub> +27%ZrO <sub>2</sub> +10%Fe	0.63	10.8	2680	-	78	-	-	-
	45	UO <sub>3</sub> /ZrO <sub>2</sub>	0	5.5	3280		-	-	-	-	45	100%ZrO <sub>2</sub>	0	5.5	3280	-	84	○	○	-
	46	UO <sub>3</sub> /ZrO <sub>2</sub>	0.7	11.7	3690		-	-	-	-	46	70%UO <sub>3</sub> +30%ZrO <sub>2</sub>	0.7	11.7	3690	-	66	○	○	-
	47	UO <sub>3</sub> /ZrO <sub>2</sub>	0.63	10.7	3630		-	-	-	-	47	93%UO <sub>3</sub> +27%ZrO <sub>2</sub> +10%Fe	0.63	10.7	3630	-	79	-	-	-
	48	UO <sub>3</sub> /ZrO <sub>2</sub>	0.7	15.0	3620		-	-	-	-	48	70%UO <sub>3</sub> +30%ZrO <sub>2</sub>	0.7	15.0	3620	-	38	○	-	-
	49	UO <sub>3</sub> /ZrO <sub>2</sub>	0.623	16.0	3500		-	-	-	-	49	62.3%UO <sub>3</sub> +15%ZrO <sub>2</sub> +11.7%Zr+11%Fe	0.623	16.0	3500	-	-	-	-	-
	50	UO <sub>3</sub> /ZrO <sub>2</sub>	0.595	14.5	-	-	-	-	-	-	50	59.5%UO <sub>3</sub> +18%ZrO <sub>2</sub> +11.9%Zr+10.6%Fe	0.595	14.5	-	-	-	-	-	-
	51	UO <sub>3</sub> /ZrO <sub>2</sub>	0.628	6.3	3420		-	-	-	-	51	62.8%UO <sub>3</sub> +13.5%ZrO <sub>2</sub> +12.6%Zr+11.7%SS	0.628	6.3	3420	-	79	○	○	-
	52	UO <sub>3</sub> /ZrO <sub>2</sub>	0.61	8.6	2650		-	-	-	-	52	61.0%UO <sub>3</sub> +16.0%ZrO <sub>2</sub> +12.5%Zr+10.8%SS	0.61	8.6	2650	-	88	○	-	-
*3) 素の圧力が約 0.1MPa であるため、373K から水の温度を差し引いた値を記載。																				

泊発電所3号炉 有効性評価 比較表

付録3 重大事故等対策の有効性評価に係るシビアアクシデント解析コードについて（第3部 MAAP コード（MAAP 追加事項））

女川原子力発電所2号炉	泊発電所3号炉	相違理由
<p>参考文献</p> <p>[1] U.S.NRC, Reactor Safety Study, An Assessment of Accident Risks in U.S. Commercial Nuclear Power Plants, WASH-1400, NUREG-75/014, Oct. 1975.</p> <p>[2] N. Yamano, Y. Maruyama, T. Kudo, A. Hidaka, J. Sugimoto, Phenomenological studies on melt-coolant interactions in the ALPHA program, Nucl. Eng. Des. 155 369-389, 1995.</p> <p>[3] I. Huhtiniemi, D. Magallon, H. Hohmann, Results of recent KROTOS FCI tests: alumina versus corium melts, Nucl. Eng. Des. 189 379-389, 1999.</p> <p>[4] D. Magallon, Characteristics of corium debris bed generated in large-scale fuel-coolant interaction experiments, Nucl. Eng. Des. 236 1998-2009, 2006.</p> <p>[5] H. S. Park, R. Chapman, M. L. Corradini, Vapor Explosions in a One-Dimensional Large-Scale Geometry With Simulant Melts, NUREG/CR-6623, 1999.</p> <p>[6] D. Magallon, et al, Lessons learnt from FARO/TERMOS corium melt quenching experiments, Nucl. Eng. Des. 189 223-238, 1999.</p> <p>[7] M. Kato, H. Nagasaka, COTELS Fuel Coolant Interaction Tests under Ex-Vessel Conditions, JAERI-Conf 2000-015, 2000.</p> <p>[8] V. Tyrpekl, Material effect in the fuel - coolant interaction : structural characterization and solidification mechanism, 2012.</p> <p>[9] J.H.Kim, et al, The Influence of Variations in the Water Depth and Melt Composition on a Spontaneous Steam Explosion in the TROI Experiments, Proceedings of ICAPP' 04.</p> <p>[10] (財)原子力安全研究協会, 「シビアアクシデント対策評価のための格納容器イベントリーに関する検討」, 平成13年7月</p> <p>[11] K.Moriyama, et al, Steam Explosion Simulation Code JASMINE v. 3 User's Guide, JAEA-Data/Code 2008-014, 2008.</p> <p>[12] 片山, 高速衝突と爆発問題を中心とした諸分野における衝撃解析, 「第7回衝撃工学フォーラム(中級者のための衝撃工学入門)」, 日本材料学会, 平成20年11月</p> <p>[13] Livermore Software Technology Corporation, LS-DYNA KEYWORD USER'S MANUAL VOLUME I, 2007.</p> <p>[14] T.Okkonen, et al, Safety Issues Related to Fuel-Coolant Interactions in BWR's, NUREG/CP-0127, 1994.</p> <p>[15] T.G. Theofanous, et al, Steam Explosions: Fundamentals and Energetic Behavior, NUREG/CR-5960, 1994.</p> <p>[16] S. Basu, T. Ginsberg, A Reassessment of the Potential for an Alpha-Mode Containment Failure and a Review of the Current understanding of Broader Fuel-Coolant Interaction (FCI) issues, Report of the Second Steam Explosion Review Group Workshop (SERG-2), NUREG-1524, 1996.</p>	<p>[1] V.Tyrpekl, "Material effect in the fuel coolant interaction : structural characterization and solidification mechanism," 2012 (ID : 全般)</p> <p>[2] J.H.Song, et al., "Experiments on the interactions of molten ZrO<sub>2</sub> with water using TROI facility," Nuclear Engineering and Design, 213, 2002 (ID : 1, 2, 3, 4, 5)</p> <p>[3] J.H.Song, et al., "Spontaneous steam explosions observed in the fuel coolant interaction experiments using reactor materials," Journal of the Korean Nuclear Society, Volume 33, Number 4, 2002 (ID : 6)</p>	<p>※女川のTROI実験で引用している参考文献は [8], [9], [19], [20]</p>

泊発電所3号炉 有効性評価 比較表

付録3 重大事故等対策の有効性評価に係るシビアアクシデント解析コードについて（第3部 MAAP コード（MAAP 追加事項））

女川原子力発電所2号炉	泊発電所3号炉	相違理由
<p>[1 7] O.Zuchuat, et al, Steam Explosions-Induced Containment Failure Studies for Swiss Nuclear Power Plants, JAERI-Conf 97-011, 1998.</p> <p>[1 8] M. Kato, et al, Fuel Coolant Interaction Tests using UO<sub>2</sub> Corium under Ex-vessel Conditions, JAERI-Conf 99-005, 1999.</p> <p>[1 9] J.H. Song, Fuel Coolant Interaction Experiments in TROI using a UO<sub>2</sub>/ZrO<sub>2</sub> mixture, Nucl. Eng. Des., 222, 1-15, 2003.</p> <p>[2 0] J.H. Kim, Results of the Triggered Steam Explosions from the TROI Experiment, Nucl. Tech., Vol.158 378-395, 2007.</p> <p>[2 1] NUCLEA Nuclear Thermodynamic Database, Version 2005-01.</p> <p>[2 2] NEA/CSNI/R, OECD/SERENA Project Report Summary and Conclusions, 2015.</p> <p>[2 3] Electric Power Research Institute (EPRI), MAAP4, Modular Accident Analysis Program User's Manual, EPRI Report prepared by Fauske &amp; Associates, Inc.</p> <p>[2 4] D. Magallon, Experimental investigation of 150-kg-scale corium melt jet quenching in water, Nucl. Eng. Des. 177 321-337, 1997.</p>	<p>[4] J.H.Song, et al., "Fuel coolant interaction experiments in TROI using a UO<sub>2</sub>/ZrO<sub>2</sub> mixture," Nuclear Engineering and Design, 222, 2003 (ID : 9, 10, 11, 12)</p> <p>[5] J.H.Song, et al., "Insights from the recent steam explosion experiments in TROI," Journal of Nuclear science and technology, Volume 40, Number 10, 2003 (ID : 13, 14, 15)</p> <p>[6] J.H.Kim, et al., "The influence of Variations in the water depth and melt composition on a spontaneous steam explosion in the TROI experiments," Proceedings of ICAPP '04, Pittsburgh, PA USA, June 13-17, 2004 (ID : 21, 22, 23, 24, 25, 26)</p> <p>[7] J.H.Kim, et al., "Results of the triggered steam explosions from the TROI experiment," Nuclear Technology, Volume 158, 2007 (ID : 34, 35, 36, 37)</p> <p>[8] J.H.Kim, et al., "Triggered steam explosions in a narrow interaction vessel in the TROI facility," 2005 (ID : 38, 39)</p> <p>[9] J.H.Kim, et al., "Steam explosion experiments with iron-added corium in the TROI facility," Transactions of the Korean Nuclear Society Spring Meeting, Chuncheon, Korea, May 25-26, 2006 (ID : 43, 44)</p> <p>[10] J.H.Kim, et al., "Steam explosion experiments using nuclear reactor materials in the TROI facilities," Heat Transfer Engineering, 29(8), 2008 (ID : 45, 46, 47, 48)</p> <p>[11] J.H.Kim, et al., "Steam explosion experiments using partially oxidized corium," Journal of Mechanical Science and Technology, 22, 2008 (ID : 51, 52)</p>	

泊発電所3号炉 有効性評価 比較表

付録3 重大事故等対策の有効性評価に係るシビアアクシデント解析コードについて（第3部 MAAP コード（MAAP 追加事項））

女川原子力発電所2号炉	泊発電所3号炉	相違理由
<p>【第5部 MAAP 添付2 3.1 FCI 実験の概要より抜粋】</p> <p>(6) SERENA 実験</p> <p>SERENA 実験は、OECD/NEA 主導のもと実施されている実験であり、2001年から2006年にかけて実施されたフェーズ1と、2007年から2012年にかけて実施されたフェーズ2に分かれている。フェーズ1では既存の実験に対する再現解析が行われた。また、フェーズ2ではKROTOS及びTROI装置を使用した実験と、その再現解析が行われた。さらに、両フェーズにおいて実機原子炉を想定した解析が行われた。フェーズ2で行われた実験の実験条件及び実験結果を表3-7に示す。</p> <p>フェーズ1、フェーズ2においてそれぞれ得られた知見は以下のとおりである。</p> <p>フェーズ1</p> <ul style="list-style-type: none"> <li>（解析）解析コードはアルミナを用いた実験によって調整されており、<math>UO_2 \cdot ZrO_2</math>コリウムの爆発による機械的エネルギー変換効率を過大評価する傾向にある。</li> <li>（解析）予測される炉内水蒸気爆発の最大荷重は原子炉圧力容器の破損強度と比べて十分小さい。</li> <li>（解析）予測される炉外水蒸気爆発の最大荷重は原子炉格納容器に影響を与える可能性があるが、解析コードの不確かさとばらつきが大きく、その程度を推定することは難しい。</li> </ul> <p>フェーズ2</p> <ul style="list-style-type: none"> <li>（実験）80%<math>UO_2 \cdot 20\%ZrO_2</math>コリウムは、70%<math>UO_2 \cdot 30\%ZrO_2</math>コリウムに比べて、やや爆発のエネルギーが大きい。これはフェーズ1の結果と逆の傾向であり、さらに考察が必要。</li> <li>（実験）<math>UO_2 \cdot ZrO_2</math>のみで構成されるコリウムは、アルミナと比べて爆発のエネルギーは小さい。</li> <li>（実験）コリウムの組成に酸化物以外（金属の単体など）が含まれる場合について、酸化と水素ガス生成による影響は定量化できなかった。</li> <li>（実験）全ての観測された爆発の機械的エネルギー変換効率は、従来観測されていたエネルギー変換効率と同様に、比較的小さい。これは、<math>UO_2</math>の密度が高いために溶融コリウムの粒子径が小さくなり、固化が促進されて水蒸気爆発への寄与が小さくなつたことと、粗混合段階のボイド率が上昇して爆発のエネルギーを低減したことによると推測されている。</li> </ul>	<p>【第3部 MAAP コード 添付2 3.1 FCI 実験の概要より抜粋】</p> <p>(6) SERENA 実験</p> <p>SERENA 実験はOECD/NEAの枠組みで実施された水蒸気爆発解明のためのプロジェクトであり、①2つの型の装置（TROI及びKROTOS）を使用した実験、②データの分析、解析コードの評価及び解析コードのベンチマークを支援するための実験前後の計算からなる解析検討、③実機プラントを想定した解析演習、を主要な目的としている。ここでは、SERENA実験で行われたTROI装置及びKROTOS装置を使用した実験に関する概要を整理する。</p> <p>表3.1-6にTROI (TS-1～TS-6) 及びKROTOS (KS-1～KS-6) 実験の条件及び結果を示す。実験で得られた主な知見を以下に記す。</p> <ul style="list-style-type: none"> <li>機械的エネルギー変換効率は小さく、典型的には0.1%程度、大きくとも0.7%程度である。TROI実験の方がKROTOS実験よりも大きくなっているが、KROTOSは1次元の装置、TROIは多次元の装置であることから、KROTOSの方が機械的エネルギー変換効率が高いことが予想されるため、直感に反する結果である。しかしながら、KROTOSの方がTROIよりも高いボイド率を示していることから、この観測結果は妥当であると考えられる。</li> <li>以前のTROI実験では70%<math>UO_2 + 30\%ZrO_2</math>燃料（いわゆる共晶物）を使用しており、この場合、80%<math>UO_2 + 20\%ZrO_2</math>燃料（いわゆる非共晶物）の場合よりも爆発の程度が大きくなっていることが観測された。したがって、水蒸気爆発の特徴は酸化コリウムの性質に紐づけられていると考えられていた。しかしながら、この知見はSERENAプロジェクトで否定された。実際、TROI及びKROTOSの両装置において、80%<math>UO_2 + 20\%ZrO_2</math>燃料の方が70%<math>UO_2 + 30\%ZrO_2</math>燃料よりもいくらか爆発の程度が大きい結果が観測されている。したがって、共晶物と非共晶物の間の挙動に相違があるという知見については、もはや支持されていない。</li> <li><math>UO_2</math>と<math>ZrO_2</math>からなる燃料は、模擬燃料に比べて爆発の程度が小さい。一方で、計算による爆発の程度は、SERENA実験におけるいくつかの実験よりも高くなっている。</li> <li>TROIとKROTOSの結果の相違は、十分に酸化されていない溶融物組成が原因ということで注目されている。TROI実験では、効果は定量化されていないが、酸化による水素生成が重要とされている。一方、KROTOS実験では、水素の役割については確実なことは言えていない。</li> <li>注目されるもう一つの相違は、これら2つの実験の間の機械的エネルギー変換効率についてである。厳密な制限下での実験（KROTOS）は、それほど厳密ではない制限下での実験（TROI）よりも機械的エネルギー変換効率が低く現れる。このような相違は直感に反することから、更なる検討が必要である。</li> <li>KROTOSとTROIの結果は、一般的に2つの異なる型のスケールでの矛盾しない挙動を示している。そして、その結果は、適切な不確実さの考慮によって、実機スケールへ外挿できる可能性があることを示している。</li> </ul>	<p>※女川の3.1相当となるよう「SERENA実験」に関する資料を新規作成</p>

赤字：設備、運用又は体制の相違（設計方針の相違）  
 青字：記載箇所又は記載内容の相違（記載方針の相違）  
 緑字：記載表現、設備名称の相違（実質的な相違なし）

泊発電所3号炉 有効性評価 比較表

付録3 重大事故等対策の有効性評価に係るシビアアクシデント解析コードについて（第3部 MAAP コード（MAAP 追加事項））

女川原子力発電所2号炉	泊発電所3号炉	相違理由
	<ul style="list-style-type: none"> <li>KROTOS 実験と TROI 実験は最新の計測装置を使用して計測されている。そして、解析コードの評価及び改良のために、局所的及び全体的なデータ、特に局所ボイド率及び溶融物分布がこれらの実験から得られた。しかし、これらの実験で得られた意義のあるデータはまだ十分に分析されていない。また、これまでに実験データの不確実さを定量化する試みや爆発エネルギーを計算する試みは行われていない。</li> </ul>	

赤字：設備、運用又は体制の相違（設計方針の相違）  
 青字：記載箇所又は記載内容の相違（記載方針の相違）  
 緑字：記載表現、設備名称の相違（実質的な相違なし）

### 泊発電所3号炉 有効性評価 比較表

付録3 重大事故等対策の有効性評価に係るシビアアクシデント解析コードについて（第3部 MAAP コード（MAAP 追加事項））

実験名	実験ケース	溶融物組成 (wt%)	溶融物質量 (kg)	溶融物温度 (K)	圧力 (MPa)	水温 (K)	水深 (m)	外部トリガーパー	水蒸気爆発発生	機械的エネルギー 変換効率(%)	相違理由
TS-1	UO <sub>2</sub> /ZrO <sub>2</sub> (73.4/26.6)	15.4	~3000	0.4	301	1.0	Yes	Yes	Yes	0.12	
TS-2	UO <sub>2</sub> /ZrO <sub>2</sub> (68.0/32.0)	12.5	3063	0.2	334	1.0	Yes	Yes	Yes	0.28	
TS-3	UO <sub>2</sub> /ZrO <sub>2</sub> (71.0/29.0)	15.9	3107	0.2	331	1.0	Yes	Yes	Yes	0.22	
TS-4	UO <sub>2</sub> /ZrO <sub>2</sub> (81.0/19.0)	14.3	3011	0.2	333	1.0	Yes	Yes	Yes	0.35	
TS-5	UO <sub>2</sub> /ZrO <sub>2</sub> /Zr/U (76.0/18.3/5.0/0.7)	17.9	2940	0.2	337	1.0	Yes	Steam Spike	0.06		
SERENA (TROI/ KROTOS)	UO <sub>2</sub> /ZrO <sub>2</sub> /Fe <sub>2</sub> O <sub>3</sub> /FP (73.3/18.5/4.9/3.3)	9.3	2910	0.2	338	1.0	Yes	Yes	Yes	0.66	
	UO <sub>2</sub> /ZrO <sub>2</sub> (70.0/30.0)	2.4	2969	0.4	302	1.1	Yes	Yes	Yes	0.10	
	UO <sub>2</sub> /ZrO <sub>2</sub> (70.0/30.0)	3.9	3049	0.2	333	1.1	Yes	Yes	Yes	0.08	
	UO <sub>2</sub> /ZrO <sub>2</sub> (70.0/30.0)	0.8	2850	—	332	1.1	Yes	— <sup>(注1)</sup>	— <sup>(注1)</sup>	— <sup>(注1)</sup>	
	UO <sub>2</sub> /ZrO <sub>2</sub> (80.0/20.0)	2.3	2958	0.2	332	1.1	Yes	Yes	Yes	0.18	
	UO <sub>2</sub> /ZrO <sub>2</sub> /Zr (80.1/11.4/8.5)	1.7	2864	0.2	327	1.1	Yes	Energetic event <sup>(注2)</sup>	— <sup>(注2)</sup>	— <sup>(注2)</sup>	
KS-6	UO <sub>2</sub> /ZrO <sub>2</sub> /Fe <sub>2</sub> O <sub>3</sub> /FP (73.0/20.4/4.1/2.5)	1.7	2853	0.2	340	1.1	Yes	Yes	Yes	~0	

(注1) 実験失敗  
 (注2) 計測失敗

表 3.1-6 SERENA 実験条件及び結果一覧<sup>[1]</sup>

実験 ID	溶融物ターゲット	UO <sub>3</sub> 質量割合	溶融物量 kg	溶融物温度 K	溶融物過熱度 K	外部炉内炉外の種類	水蒸気爆発発生の有無	機械的エネルギー変換効率 (%)
TS-1	73.4%UO <sub>3</sub> +26.6%ZrO <sub>2</sub>	0.734	15.4	~3000	145	115.9	○	○
TS-2	68.0%UO <sub>3</sub> +32.0%ZrO <sub>2</sub>	0.68	12.5	3063	228	61.7	○	○
TS-3	71.0%UO <sub>2</sub> +28.0%ZrO <sub>2</sub>	0.71	15.9	3107	272	65.1	○	○
TS-4	81.0%UO <sub>2</sub> +19.0%ZrO <sub>2</sub>	0.81	14.3	3011	171	64.0	○	○
TS-5	76.0%UO <sub>2</sub> +18.3%ZrO <sub>2</sub> +5.0%Zr+0.7%U	0.76	17.9	2940	140	57.7	○	○
TS-6	73.3%UO <sub>2</sub> +18.5%ZrO <sub>2</sub> +4.5%Fe <sub>2</sub> O <sub>3</sub> +3.3%FP	0.733	9.3	2910	239	56.9	○	○
KS-1	70%UO <sub>2</sub> +30%ZrO <sub>2</sub>	0.7	2.4	2958	109	118	○	○
KS-2	70%UO <sub>2</sub> +30%ZrO <sub>2</sub>	0.7	3.9	3049	189	60	○	○
KS-3	70%UO <sub>2</sub> +30%ZrO <sub>2</sub>	0.7	0.8	2850	—	—	—	—
KS-4	80%UO <sub>2</sub> +20%ZrO <sub>2</sub>	0.8	2.3	2958	98	62	○	○
KS-5	80.1%UO <sub>2</sub> +11.4%ZrO <sub>2</sub> +8.5%Zr	0.801	1.7	2864	64	67	○	—
KS-6	73%UO <sub>2</sub> +20.4%ZrO <sub>2</sub> +4.1%Fe <sub>2</sub> O <sub>3</sub> +2.5%FP	0.73	1.7	2853	182	54	○	~0

[1] OECD/SERENA Project Report - Summary and Conclusions, NEA/CSS/UR/2014/15.

泊発電所3号炉 有効性評価 比較表

付録3 重大事故等対策の有効性評価に係るシビアアクシデント解析コードについて（第3部 MAAP コード（MAAP 追加事項））

女川原子力発電所2号炉	泊発電所3号炉	相違理由
<p>【第5部 MAAP 添付2 3.2 FCI 実験の知見の整理より抜粋】</p> <p>(3) FCI と MCCI を考慮した格納容器下部水張りの考え方</p> <p>炉心溶融が進展し炉外に溶融炉心が流出する場合、FCI と MCCI の影響緩和において、格納容器下部への初期水張りが重要なマネジメントとなる。以下では格納容器下部への注水による初期水張りの考え方について示す。</p> <p>FCI の観点では、これまでの FCI 実験結果の知見から、BWR の実機条件では水蒸気爆発の発生リスクは十分小さいと考えられる。しかし、万が一水蒸気爆発が発生したと想定すると、水深が深いと、粗混合が促進され、水蒸気爆発の規模が大きくなる可能性がある。</p> <p>MCCI の観点では、種々の実験結果から、デブリ上面から除熱を向上させるため、格納容器下部への水張り水深を深くすることにより、溶融炉心が落下時に粒子化され、粒子状ベッドとして体積することにより、デブリ冷却性を向上させることができることが影響緩和のために重要である。</p> <p>以上より、水深が深い場合は、万が一水蒸気爆発が発生した場合の影響が大きくなる可能性があるが、MCCI の影響を緩和する観点からは有利である。したがって、水蒸気爆発の評価により原子炉格納容器の健全性に影響を与えないことを十分確認できる範囲で初期水張りの水深を深くし、溶融炉心の粒子化を促進し、MCCI を緩和する運用とすることが得策と考えられる。</p>	<p>【第3部 MAAP コード 添付2 3.2 FCI 実験の知見の整理より抜粋】</p> <p>(3) FCI と MCCI を考慮した原子炉下部キャビティ水張りの考え方</p> <p>炉心溶融後に原子炉容器破損に至り、溶融物が原子炉キャビティに移行する場合、溶融物を冷却するために、原子炉容器破損前に原子炉下部キャビティに注水する方策が検討されている（ウェットキャビティ）。ウェットキャビティ方策では、溶融物が細粒化することで崩壊熱除去が促進され、MCCI 防止に期待できる一方、FCI の観点では、水蒸気爆発や圧力スパイクによる原子炉格納容器の破損の可能性がある。以下では、原子炉下部キャビティに注水する水張りの考え方について整理する。</p> <p>FCI の観点では、これまでの実験的知見から、UO<sub>2</sub>を用いた各種実験において外部トリガリングがなければ水蒸気爆発の発生は観察されていないこと、また、実機感度解析において圧力スパイクによる原子炉格納容器圧力の上昇は軽微であることから、FCI による影響は小さいと言える。</p> <p>MCCI の観点では、水中に溶融物が落下する場合、溶融物の細粒化と固化が促進され、冷却面積が大きくなることから、MCCI によるコンクリート侵食防止にとって有利に働くと言える。</p> <p>以上から、ウェットキャビティ方策のメリットとデメリットを比較すると、MCCI によるコンクリート侵食防止のメリットが、FCI による原子炉格納容器破損の可能性のデメリットを上回ると判断できる。</p>	<p>※女川の3.2相当となるよう「FCI と MCCI を考慮した格納容器下部水張りの考え方」について追記</p>

泊発電所3号炉 有効性評価 比較表

付録3 重大事故等対策の有効性評価に係るシビアアクシデント解析コードについて（第3部 MAAP コード（MAAP 追加事項））

女川原子力発電所2号炉	泊発電所3号炉	相違理由
<p style="text-align: center;"><b>【第5部 MAAP 添付2より抜粋】</b></p> <p>付録1 FARO 実験による MAAP の圧力スパイクモデル妥当性確認</p> <p>1. FARO 実験の概要 FCI の代表的実験である FARO 実験は、UO<sub>2</sub>/ZrO<sub>2</sub>/Zr 溶融混合物を噴出させ、装置下部の冷却材との相互作用を検証する実験である。実験装置、実験条件及び実験結果の概要是 3.1 章（3） FARO 実験に記載している。</p> <p>2. MAAP コードによる FARO 実験の検証解析 MAAP コードでは、溶融炉心と冷却材の相互作用を計算し、圧力スパイクを取り扱うモデルに関するパラメータのうち、三つのモデルパラメータが FARO 実験のベンチマーク解析によって妥当性を評価されている。溶融炉心のエントレインメント係数、[REDACTED] 及び粒子径ファクタである。</p> <p>エントレインメント係数は、ジェット速度と密度比から溶融炉心のエントレインメント量を計算する際の係数であり、細粒化モデル（Ricou-Spalding モデル）に使用される。エントレインメント量はプール水への伝熱量に寄与する。また、エントレインメント速度（m/s）を求める下式からは、プール底部におけるジェット直径、ジェットの粒子化割合が求められる。</p> $m_{ent} = E_o \left( \frac{\rho_w}{\rho_{dj}} \right)^{1/2} u_{dj}$ <p>E<sub>o</sub> : エントレインメント係数 u<sub>dj</sub> : ジェット速度 [m/s] ρ<sub>dj</sub> : ジェット密度 [kg/m<sup>3</sup>] ρ<sub>w</sub> : 水密度 [kg/m<sup>3</sup>]</p> <p>[REDACTED]</p> <p>粒子径ファクタは、ジェット表面からエントレインメントを受けた粒子の直径を計算する際の係数である。計算された粒子径は、粒子の沈降速度やデブリ温度の計算に用いられる。 圧力スパイクモデルのベンチマーク解析における仮定を以下に示す。</p>	<p style="text-align: center;"><b>【第3部 MAAP コード 添付2より抜粋】</b></p> <p>添付2-1 FARO 実験における MAAP の圧力スパイクモデルの妥当性確認</p> <p>(1) FARO 実験の概要 FARO 実験装置は、150kg 程度のウラン酸化物及びジルコニウム酸化物からなる溶融物を水中に落下させる装置であり、そのときの FCI 挙動を観察するものである。</p> <p>(2) MAAP コードによる FARO 実験解析 FARO 実験解析を実施する際、MAAP コードにおいて FCI に影響する 3 つのモデルパラメータを感度係数として選定し、その感度解析結果と FARO 実験結果を比較することによって、圧力スパイクモデルの妥当性を確認する。 感度係数として選定したモデルパラメータは以下のとおりである。モデルパラメータの最小値、推奨値、最大値も併せて示している。</p> <ul style="list-style-type: none"> <li>• [REDACTED]</li> <li>• [REDACTED]</li> <li>• [REDACTED]</li> </ul> <p>MAAP コードによる実験解析を実施するにあたって、いくつかの簡略化を行っている。具体的な仮定を以下に記す。</p> <ul style="list-style-type: none"> <li>• [REDACTED]</li> <li>• [REDACTED]</li> <li>• [REDACTED]</li> </ul> <p style="text-align: right;">[REDACTED] 桁囲みの内容は機密情報に属しますので公開できません。</p>	<p>※女川の付録1相当である資料を新規作成</p>

泊発電所3号炉 有効性評価 比較表

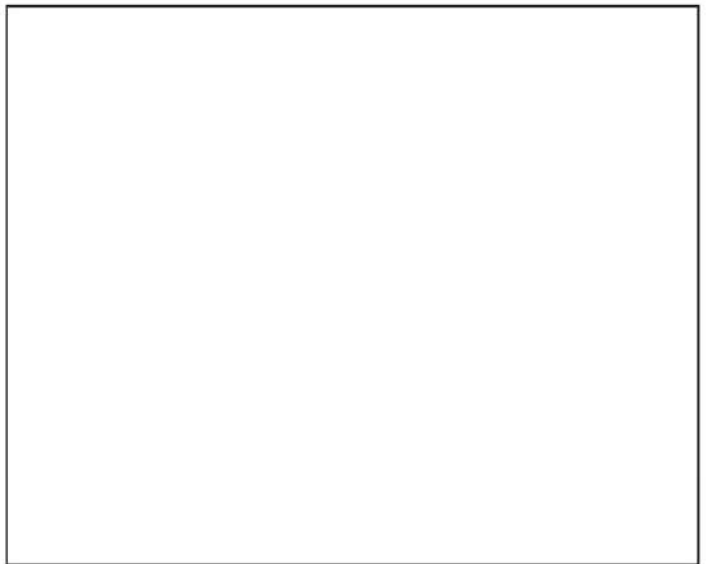
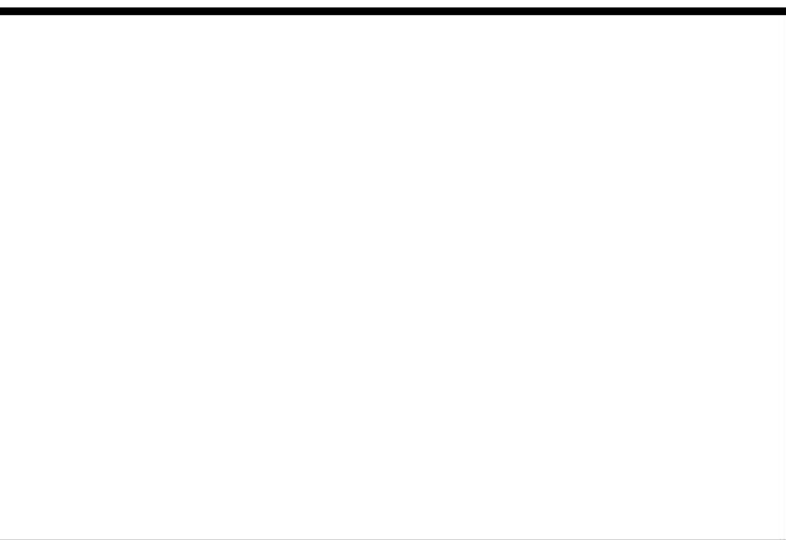
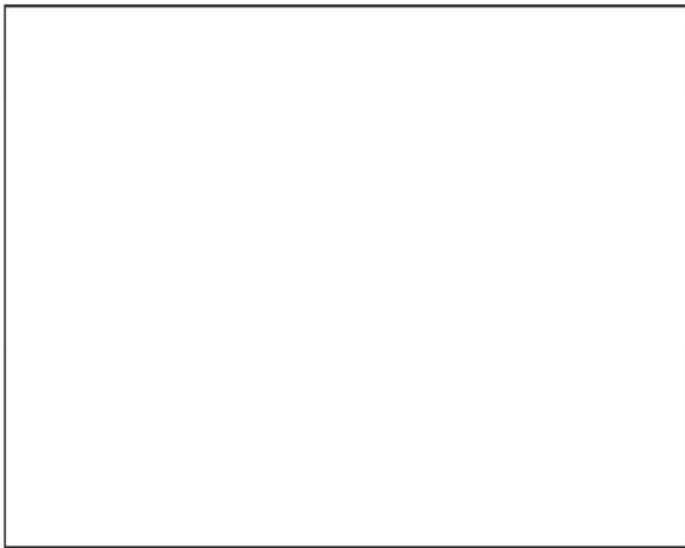
付録3 重大事故等対策の有効性評価に係るシビアアクシデント解析コードについて（第3部 MAAP コード（MAAP 追加事項））

女川原子力発電所2号炉	泊発電所3号炉	相違理由										
<p>上記の仮定によって、解析結果と実験結果の比較には制限があるが、ピーク圧力の上昇（すなわち、圧力スパイク挙動）と圧力の上昇速度については、比較が可能である。</p> <p>付図1、付図2、付図3、付図4、付図5、付図6、付図7、付図8、付図9、付図10、付図11及び付図12にL-06、L-08、L-14、L-11実験の圧力及びデブリ粒子径及び堆積デブリ質量の実験結果と、MAAP解析結果の比較図を示す。MAAP解析結果は、三つのパラメータに対して、最適値、最大値、最小値の組み合わせを用いて評価されている。また、付表1にL-06、L-08、L-14、L-11実験の過熱度を示す。</p> <p>付表1 FARO実験における過熱度<sup>[24]</sup></p> <table border="1"> <thead> <tr> <th>実験ケース</th><th>L-06</th><th>L-08</th><th>L-14</th><th>L-11</th></tr> </thead> <tbody> <tr> <td>過熱度[K]</td><td>63</td><td>163</td><td>263</td><td>100</td></tr> </tbody> </table> <p>いずれの実験の圧力挙動も、MAAP解析結果では再現をみた。</p> <p>また、デブリ粒子径及び堆積デブリ質量についても、実験結果のデータは、エントレインメント係数及び粒子径ファクタを変化させた場合のMAAP解析結果の範囲内によく再現されている。</p> <p style="text-align: center;">枠囲みの内容は商業機密に属しますので公開できません。</p>	実験ケース	L-06	L-08	L-14	L-11	過熱度[K]	63	163	263	100	<p>上記の仮定があるため解析結果と実験結果の比較には制限があるものの、ピーク圧力の上昇と圧力の上昇速度については比較可能である。</p> <p>以下では、実験L-06、L-08、L-11、L-14と解析の比較について、圧力（付図1-1～付図1-4）、堆積デブリ質量（付図1-5～付図1-8）、及びデブリ粒子径（付図1-9～付図1-12）を示す。いずれの実験の圧力挙動もMAAPコードによる解析結果とよく一致した。</p> <p style="text-align: center;">枠囲みの内容は機密情報に属しますので公開できません。</p>	
実験ケース	L-06	L-08	L-14	L-11								
過熱度[K]	63	163	263	100								

泊発電所3号炉 有効性評価 比較表

付録3 重大事故等対策の有効性評価に係るシビアアクシデント解析コードについて（第3部 MAAPコード（MAAP追加事項））

赤字：設備、運用又は体制の相違（設計方針の相違）
青字：記載箇所又は記載内容の相違（記載方針の相違）
緑字：記載表現、設備名称の相違（実質的な相違なし）

女川原子力発電所2号炉	泊発電所3号炉	相違理由
	 付図1-1 L-06 実験結果と解析結果の比較（圧力） 出典：MAAP4 User's Manual, EPRI	
 付図2-1 L-08 実験結果と解析結果の比較（圧力） 出典：MAAP4 User's Manual, EPRI	 付図1-2 L-08 実験結果と解析結果の比較（圧力） 出典：MAAP4 User's Manual, EPRI  枠囲みの内容は機密情報に属しますので公開できません。	

赤字：設備、運用又は体制の相違（設計方針の相違）  
青字：記載箇所又は記載内容の相違（記載方針の相違）  
緑字：記載表現、設備名称の相違（実質的な相違なし）

泊発電所3号炉 有効性評価 比較表

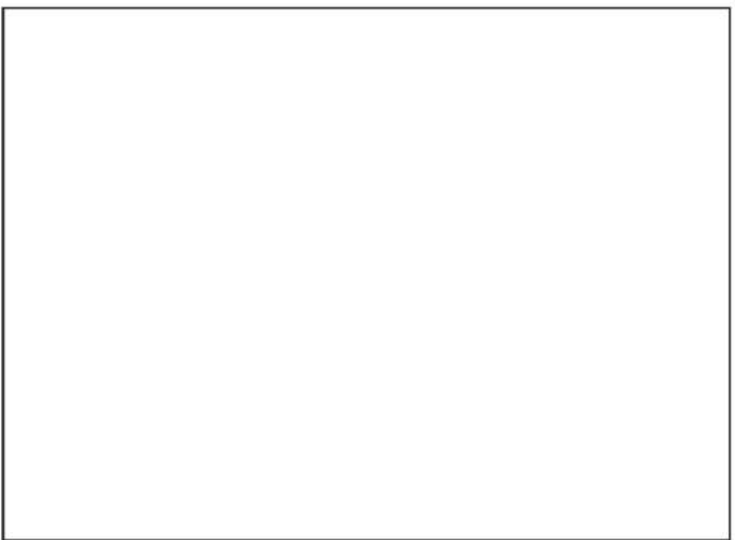
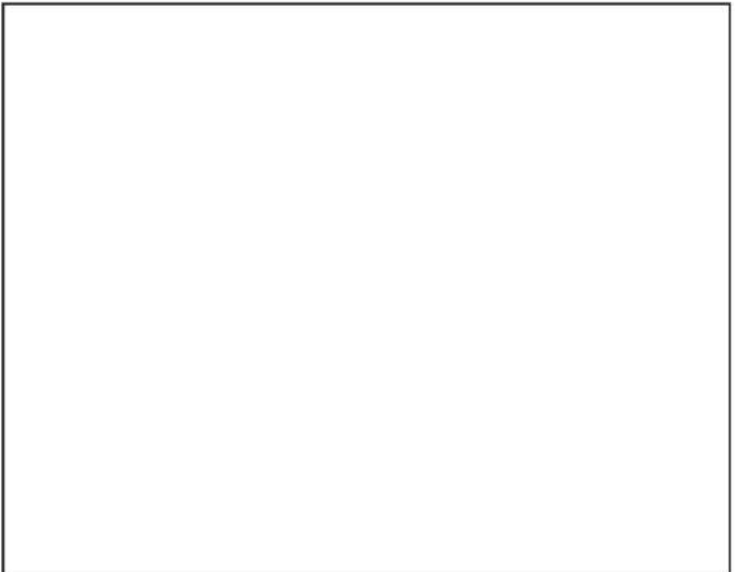
付録3 重大事故等対策の有効性評価に係るシビアアクシデント解析コードについて（第3部 MAAPコード（MAAP追加事項））

女川原子力発電所2号炉	泊発電所3号炉	相違理由
付図3 L-14 実験結果/解析結果比較（圧力スパイク） <sup>[23]</sup>	付図 1-3 L-11 実験結果と解析結果の比較（圧力） 出典：MAAP4 User's Manual, EPRI	
付図4 L-11 実験結果/解析結果比較（圧力スパイク） <sup>[23]</sup>	付図 1-4 L-14 実験結果と解析結果の比較（圧力） 出典：MAAP4 User's Manual, EPRI	
	 枠囲みの内容は機密情報に属しますので公開できません。	

赤字：設備、運用又は体制の相違（設計方針の相違）  
青字：記載箇所又は記載内容の相違（記載方針の相違）  
緑字：記載表現、設備名称の相違（実質的な相違なし）

泊発電所3号炉 有効性評価 比較表

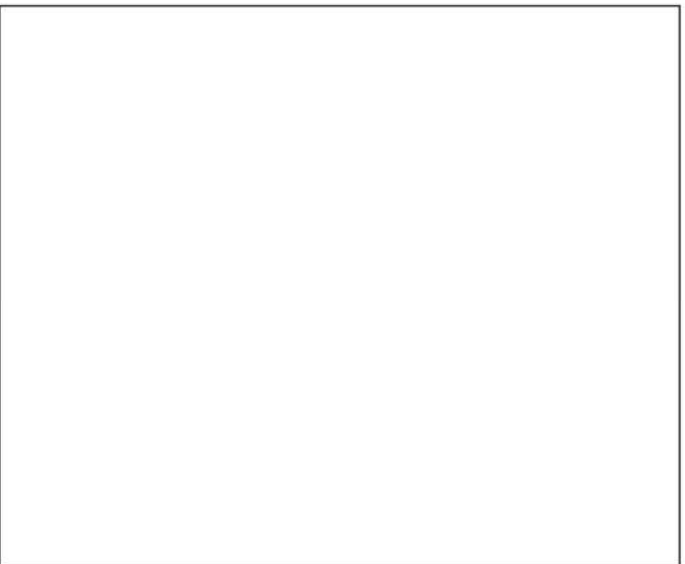
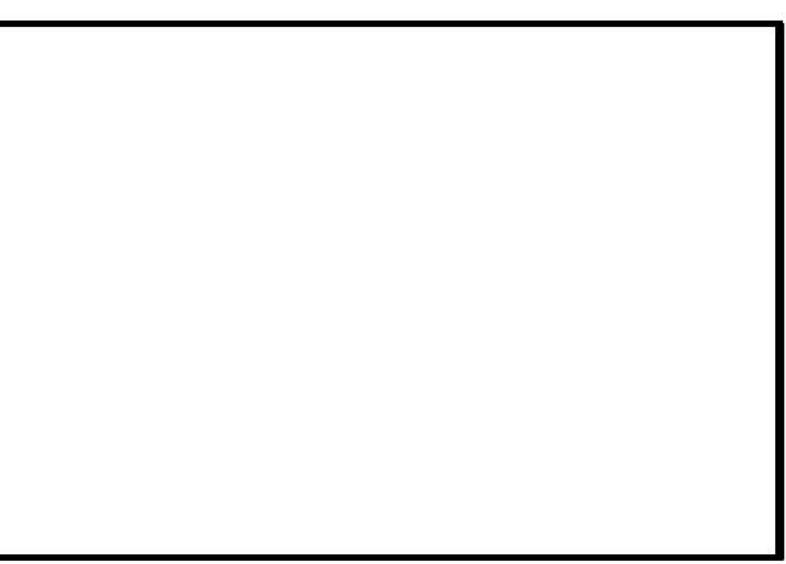
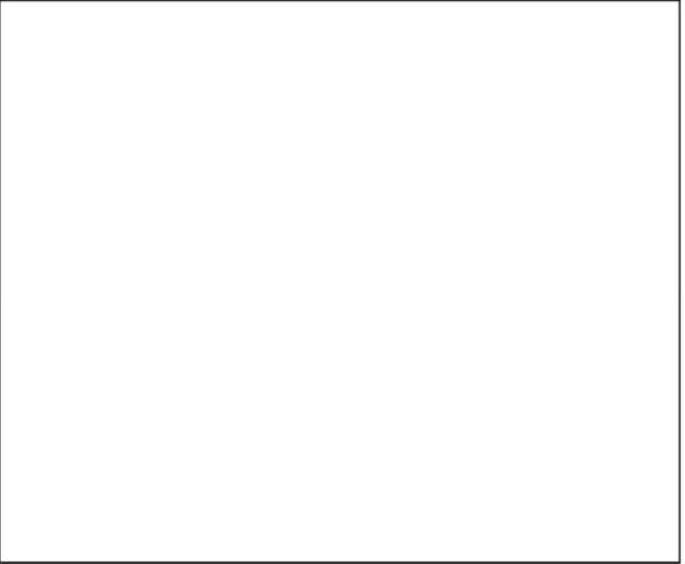
付録3 重大事故等対策の有効性評価に係るシビアアクシデント解析コードについて（第3部 MAAPコード（MAAP追加事項））

女川原子力発電所2号炉	泊発電所3号炉	相違理由
		
付図5 L-06 実験結果/解析結果比較（デブリ粒子径） <sup>[23]</sup>	付図1-5 L-06 実験結果と解析結果の比較（堆積デブリ質量） 出典：MAAP4 User's Manual, EPRI	
		
付図6 L-08 実験結果/解析結果比較（デブリ粒子径） <sup>[23]</sup>	付図1-6 L-08 実験結果と解析結果の比較（堆積デブリ質量） 出典：MAAP4 User's Manual, EPRI  枠囲みの内容は機密情報に属しますので公開できません。	

赤字：設備、運用又は体制の相違（設計方針の相違）  
青字：記載箇所又は記載内容の相違（記載方針の相違）  
緑字：記載表現、設備名称の相違（実質的な相違なし）

泊発電所3号炉 有効性評価 比較表

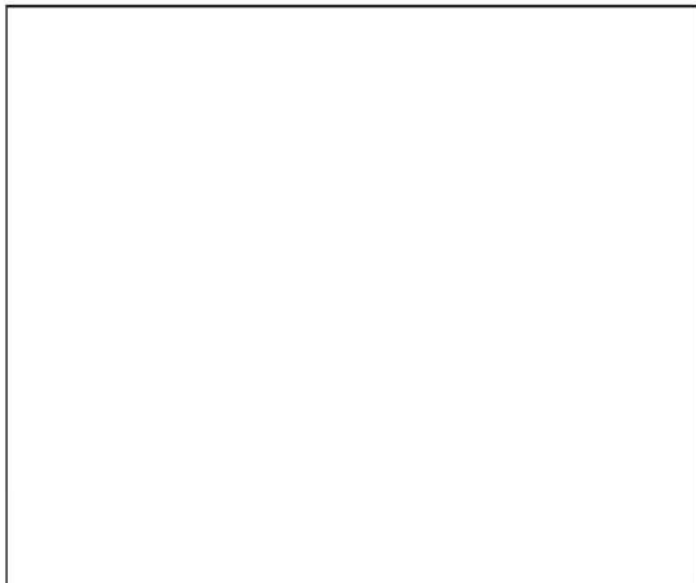
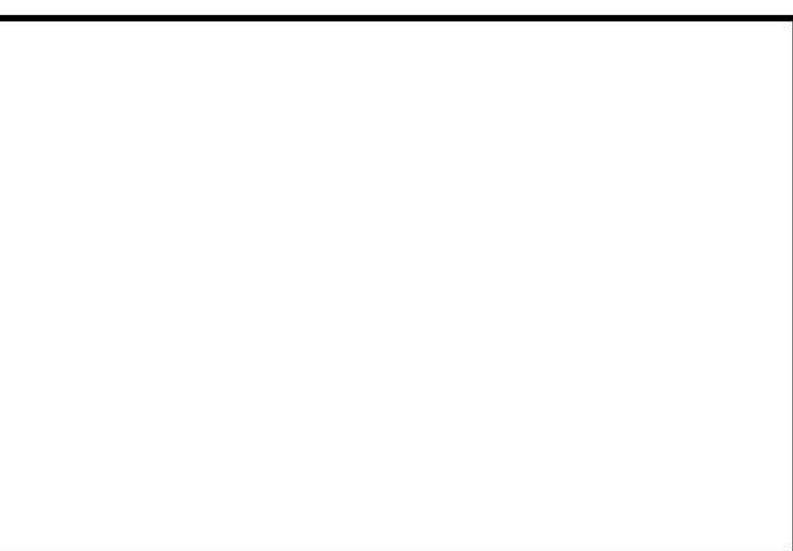
付録3 重大事故等対策の有効性評価に係るシビアアクシデント解析コードについて（第3部 MAAPコード（MAAP追加事項））

女川原子力発電所2号炉	泊発電所3号炉	相違理由
		
<p>付図7 L-14 実験結果/解析結果比較（デブリ粒子径）<sup>[23]</sup></p> 	<p>付図1-7 L-11 実験結果と解析結果の比較（堆積デブリ質量） 出典：MAAP4 User's Manual, EPRI</p> 	
<p>付図8 L-11 実験結果/解析結果比較（デブリ粒子径）<sup>[23]</sup></p>		<p>■ 條围みの内容は機密情報に属しますので公開できません。</p>

赤字：設備、運用又は体制の相違（設計方針の相違）  
青字：記載箇所又は記載内容の相違（記載方針の相違）  
緑字：記載表現、設備名称の相違（実質的な相違なし）

泊発電所3号炉 有効性評価 比較表

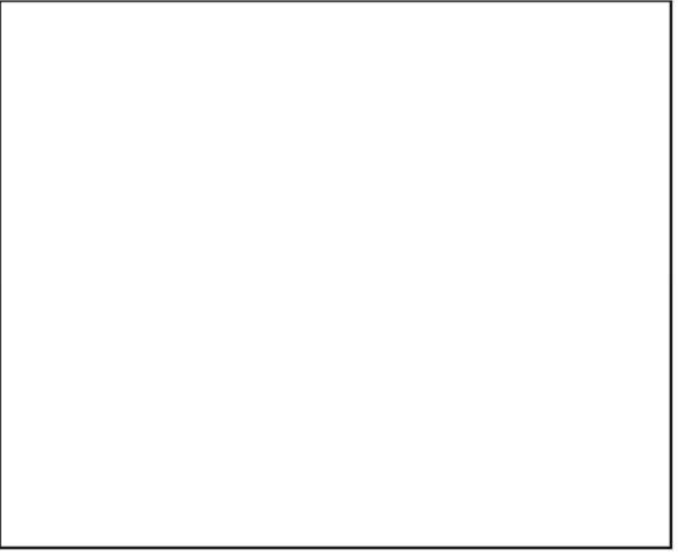
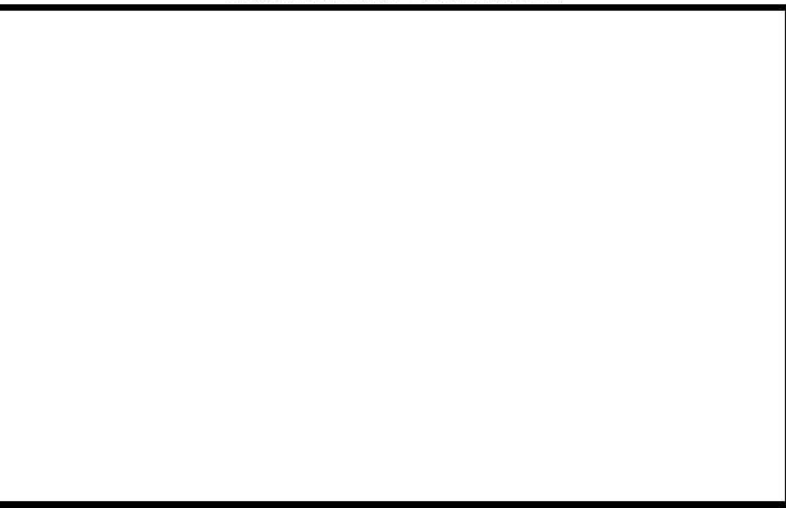
付録3 重大事故等対策の有効性評価に係るシビアアクシデント解析コードについて（第3部 MAAPコード（MAAP追加事項））

女川原子力発電所2号炉	泊発電所3号炉	相違理由
		<p>付図1-9 L-06 実験結果と解析結果の比較（堆積デブリ質量） 出典：MAAP4 User's Manual, EPRI</p>
		<p>付図1-10 L-08 実験結果と解析結果の比較（堆積デブリ質量） 出典：MAAP4 User's Manual, EPRI</p> <p>■ 框囲みの内容は機密情報に属しますので公開できません。</p>

赤字：設備、運用又は体制の相違（設計方針の相違）  
青字：記載箇所又は記載内容の相違（記載方針の相違）  
緑字：記載表現、設備名称の相違（実質的な相違なし）

泊発電所3号炉 有効性評価 比較表

付録3 重大事故等対策の有効性評価に係るシビアアクシデント解析コードについて（第3部 MAAPコード（MAAP追加事項））

女川原子力発電所2号炉	泊発電所3号炉	相違理由
	 付図 1-11 L-14 実験結果/解析結果比較（堆積デブリ質量） <sup>[23]</sup> 出典：MAAP4 User's Manual, EPRI	
 付図 12 L-11 実験結果/解析結果比較（堆積デブリ質量） <sup>[23]</sup>	 付図 1-12 L-14 実験結果/解析結果比較（堆積デブリ質量） <sup>[23]</sup> 出典：MAAP4 User's Manual, EPRI	<p>■ 桁囲みの内容は機密情報に属しますので公開できません。</p>

泊発電所3号炉 有効性評価 比較表

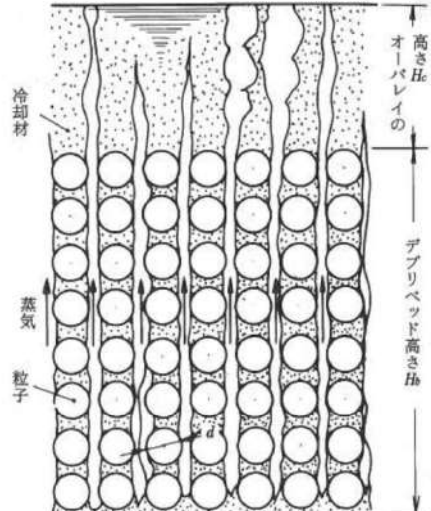
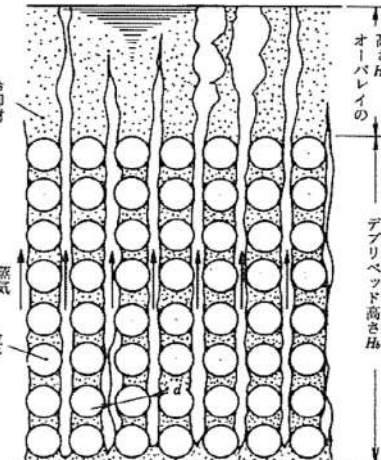
付録3 重大事故等対策の有効性評価に係るシビアアクシデント解析コードについて（第3部 MAAP コード（MAAP 追加事項））

女川原子力発電所2号炉	泊発電所3号炉	相違理由
<p>3. 結論</p> <p>MAAP コードでは、FCI に関する圧力スパイク挙動はデブリジェットモデルで制御されており、その妥当性確認は FARO 実験結果とのベンチマーク解析によって行われている。FARO 実験結果の示す圧力スパイク挙動のピーク圧力、圧力上昇及びデブリ粒子径について、MAAP コードはよく再現されており、その妥当性が確認されている。</p>	<p>(3)まとめ</p> <p>MAAP コードでは、FCI に関する圧力スパイク挙動はデブリジェットモデルで制御されており、その妥当性確認は FARO 実験とのベンチマーク解析によって行われている。FARO 実験結果の示す圧力スパイク挙動のピーク圧力、圧力上昇及びデブリ粒子径について、MAAP コードはよく再現されており、その妥当性が確認されている。</p>	

泊発電所3号炉 有効性評価 比較表

赤字	設備、運用又は体制の相違（設計方針の相違）
青字	記載箇所又は記載内容の相違（記載方針の相違）
緑字	記載表現、設備名称の相違（実質的な相違なし）

付録3 重大事故等対策の有効性評価に係るシビアアクシデント解析コードについて（第3部 MAAP コード（MAAP 追加事項））

女川原子力発電所2号炉	泊発電所3号炉	相違理由
<p>【第5部 MAAP 添付3より抜粋】</p> <p>付録5 粒子ベッドの冷却性実験と解析モデル</p> <p>粒子状ベッドの冷却性については、高速増殖炉の炉心損傷事故の評価において重要な評価となることから、従来から多くの実験的及び解析的研究が行われてきている<sup>[32]</sup>。また、TMI-2事故以降は、軽水炉を対象とした研究も進められている。</p> <p>デブリベッド冷却に関する研究の主要な焦点の一つは、デブリベッドの冷却限界が、崩壊熱を上回るかどうかであり、判断基準のパラメータはデブリベッドのドライアウト熱流束と考えられている。発熱する粒子状ベッドの内を流下する冷却水と上昇する蒸気の対向二相流がデブリベッド内で形成される。粒子状デブリベッドの流動状態の模式図を付図5-1に示す。崩壊熱が高いと、局所的にデブリベッド内でドライアウトが生じ、デブリベッドの温度が急激に高くなる。この時の熱流束がドライアウト熱流束となる。粒子状デブリベッドのドライアウト熱流束は、種々の実験が行われ、種々の相関式が提案されている。その中でも Lipinski 0-D モデル<sup>[24]</sup>（次頁参照）は、小さい粒径から大きい粒径まで適用可能とされており、広く使われている。MAAP コード内でも圧力容器下部プレナムの粒子状ベッドの冷却の評価に使用されている。Lipinski 0-D モデルでは、ドライアウト熱流束は、主に粒子径、ポロシティ、堆積高さ、圧力に依存する。</p>  <p>付図5-1 粒子状デブリベッドの流動状態の模式図<sup>[32]</sup></p>	<p>【第3部 MAAP コード 添付2より抜粋】</p> <p>添付3-2 粒子状ベッドの冷却性実験と解析モデル</p> <p>粒子状ベッドの冷却性については、高速増殖炉の炉心損傷事故の評価において重要な評価となることから、従来から多くの実験的及び解析的研究が行われてきている。また、TMI-2事故以降は、軽水炉を対象とした研究も進められている。</p> <p>デブリベッド冷却に関する研究の主要な焦点の一つは、デブリベッドの冷却限界が、崩壊熱を上回るかどうかであり、判断基準のパラメータはデブリベッドのドライアウト熱流束と考えられている。発熱する粒子状ベッドの内を流下する冷却水と上昇する蒸気の対向二相流がデブリベッド内で形成される。粒子状デブリベッドの流動状態の模式図を付図2-1に示す。崩壊熱が高いと、局所的にデブリベッド内でドライアウトが生じ、デブリベッドの温度が急激に高くなる。この時の熱流束がドライアウト熱流束となる。粒子状デブリベッドのドライアウト熱流束は、種々の実験が行われ、種々の相関式が提案されている。その中でも Lipinski 0-D モデル（表2-1参照）は、小さい粒径から大きい粒径まで適用可能とされており、広く使われている。MAAP コード内でも乱流域に対する Lipinski 0-D モデル粒子状ベッドの冷却の評価に使用されている。Lipinski 0-D モデルでは、ドライアウト熱流束は、主に粒子径、ポロシティ、堆積高さ、圧力に依存する。</p>  <p>付図2-1 粒子状ベッド冷却の流動モデル</p> <p>出展：日本機械学会編「沸騰熱伝達と冷却」日本工業出版（平成元年）</p>	<p>※女川の付録5相当である資料を新規作成</p>

付録3 重大事故等対策の有効性評価に係るシビアアクシデント解析コードについて（第3部 MAAP コード（MAAP 追加事項））

女川原子力発電所2号炉	泊発電所3号炉	相違理由			
<p>Lipinski 0-Dモデルについて（日本機械学会編「沸騰熱伝達と冷却」より抜粋）<sup>[32]</sup></p> <p>c. Lipinskiの0-Dモデル<sup>[11]</sup>          Lipinskiは多孔質の対向二相流の気液各相で、層流及び乱流に適用できる運動量の式を、連続の式、エネルギーの式と共に連立して解いた。          連続の式  <math>\rho_v U_v = \rho_l U_l</math> …(8.14)          運動量の式（気相）  <math>\rho_v U_v^2 / \eta \eta_v + \mu_v U_v / \kappa \kappa_v + \rho_v g = \Delta P_v / H_b</math> …(8.15)          運動量の式（液相）  <math>-\rho_l U_l^2 / \eta \eta_l - \mu_l U_l / \kappa \kappa_l + \rho_l g = \Delta P_l / H_b</math> …(8.16)          エネルギ式  <math>\rho_v U_v \Delta H_v = \dot{Q} H_b</math> …(8.17)          圧力の釣合<sup>[19][36]</sup>  <math>\Delta P_v - \Delta P_l = \sigma(\epsilon/5\kappa)^{1/2}</math> …(8.18)</p> <p>ここで、          U：見掛け流速  <math>\kappa</math>：層流での浸透率  <math>\eta</math>：乱流での浸透率  <math>\kappa_v, \kappa_l, \eta_v, \eta_l</math>：各々層流及び乱流での気液の比浸透率（無次元）          でデブリベッド内の平均液体存在割合 <math>s</math> の関数で、以下の上うに表わしている。<sup>[39]</sup>  <math>\kappa = (d^2/180) \epsilon^3 / (1-\epsilon)^2</math>  <math>\eta = (d/1.75) \epsilon^3 / (1-\epsilon)</math>  <math>\kappa_v = 1 - 1.11s, \kappa_l = s^3</math>  <math>\eta_v = (1-s)^3, \eta_l = s^3</math>          上述の関係を用いると、式(8.14)～式(8.18)からデブリベッド上面での熱流束 <math>q</math> (<math>= \dot{Q} H_b</math>) は下式で与えられる。</p> $q = \rho_v \Delta H_v u_l [ \{ 1 + (u_z/u_1)^2 \}^{1/2} - 1 ] \quad \dots(8.19)$ $u_1 = \frac{90(1-\epsilon)}{1.75 d} \left\{ \frac{\mu_v}{\rho_v(1-1.11s)} + \frac{\mu_l}{\rho_l s^3} \right\} / \left\{ \frac{1}{\rho_v(1-s)^3} + \frac{1}{\rho_l s^3} \right\}$ $u_z = \left[ \frac{d \epsilon^3 (\rho_l - \rho_v) g}{1.75(1-\epsilon)} \left\{ 1 + \frac{6\sigma(1-\epsilon)}{\epsilon d (\rho_l - \rho_v) g H_b} \right\} / \left\{ \frac{1}{\rho_v(1-s)^3} + \frac{1}{\rho_l s^3} \right\} \right]^{1/2}$ <p>ドライアウト熱流束は、式(8.19)が <math>s</math> (<math>0 \leq s \leq 1</math>) に関して極大値をとる条件として求まる。</p>	<p>泊発電所3号炉</p> <p>付表 2-1 Lipinski 0-D モデルについて          出展：日本機械学会編「沸騰熱伝達と冷却」日本工業出版（平成元年）</p> <table border="1"> <thead> <tr> <th>モデル</th> <th>実験との比較</th> </tr> </thead> <tbody> <tr> <td> <p>c. Lipinskiの0-Dモデル          Lipinskiは多孔質の対向二相流の気液各相で、層流及び乱流に適用できる運動量の式を、連続の式、エネルギーの式と共に連立して解いた。          連続の式  <math>\rho_v U_v = \rho_l U_l</math> …(8.14)          運動量の式（気相）  <math>\rho_v U_v^2 / \eta \eta_v + \mu_v U_v / \kappa \kappa_v + \rho_v g = \Delta P_v / H_b</math> …(8.15)          運動量の式（液相）  <math>-\rho_l U_l^2 / \eta \eta_l - \mu_l U_l / \kappa \kappa_l + \rho_l g = \Delta P_l / H_b</math> …(8.16)          エネルギ式  <math>\rho_v U_v \Delta H_v = \dot{Q} H_b</math> …(8.17)          圧力の釣合<sup>[19][36]</sup>  <math>\Delta P_v - \Delta P_l = \sigma(\epsilon/5\kappa)^{1/2}</math> …(8.18)</p> <p>ここで、          U：見掛け流速  <math>\kappa</math>：層流での浸透率  <math>\eta</math>：乱流での浸透率  <math>\kappa_v, \kappa_l, \eta_v, \eta_l</math>：各々層流及び乱流での気液の比浸透率（無次元）          でデブリベッド内の平均液体存在割合 <math>s</math> の関数で、以下の上うに表わしている。<sup>[39]</sup>  <math>\kappa = (d^2/180) \epsilon^3 / (1-\epsilon)^2</math>  <math>\eta = (d/1.75) \epsilon^3 / (1-\epsilon)</math>  <math>\kappa_v = 1 - 1.11s, \kappa_l = s^3</math>  <math>\eta_v = (1-s)^3, \eta_l = s^3</math>          上述の関係を用いると、式(8.14)～式(8.18)からデブリベッド上面での熱流束 <math>q</math> (<math>= \dot{Q} H_b</math>) は下式で与えられる。</p> <math display="block">q = \rho_v \Delta H_v u_l [ \{ 1 + (u_z/u_1)^2 \}^{1/2} - 1 ] \quad \dots(8.19)</math> <math display="block">u_1 = \frac{90(1-\epsilon)}{1.75 d} \left\{ \frac{\mu_v}{\rho_v(1-1.11s)} + \frac{\mu_l}{\rho_l s^3} \right\} / \left\{ \frac{1}{\rho_v(1-s)^3} + \frac{1}{\rho_l s^3} \right\}</math> <math display="block">u_z = \left[ \frac{d \epsilon^3 (\rho_l - \rho_v) g}{1.75(1-\epsilon)} \left\{ 1 + \frac{6\sigma(1-\epsilon)}{\epsilon d (\rho_l - \rho_v) g H_b} \right\} / \left\{ \frac{1}{\rho_v(1-s)^3} + \frac{1}{\rho_l s^3} \right\} \right]^{1/2}</math> <p>ドライアウト熱流束は、式(8.19)が <math>s</math> (<math>0 \leq s \leq 1</math>) に関して極大値をとる条件として求まる。</p> </td><td> <p>図 8-6 冷却材が水の場合の理論式・半実験式と実験結果との比較</p> </td></tr> </tbody> </table>	モデル	実験との比較	<p>c. Lipinskiの0-Dモデル          Lipinskiは多孔質の対向二相流の気液各相で、層流及び乱流に適用できる運動量の式を、連続の式、エネルギーの式と共に連立して解いた。          連続の式  <math>\rho_v U_v = \rho_l U_l</math> …(8.14)          運動量の式（気相）  <math>\rho_v U_v^2 / \eta \eta_v + \mu_v U_v / \kappa \kappa_v + \rho_v g = \Delta P_v / H_b</math> …(8.15)          運動量の式（液相）  <math>-\rho_l U_l^2 / \eta \eta_l - \mu_l U_l / \kappa \kappa_l + \rho_l g = \Delta P_l / H_b</math> …(8.16)          エネルギ式  <math>\rho_v U_v \Delta H_v = \dot{Q} H_b</math> …(8.17)          圧力の釣合<sup>[19][36]</sup>  <math>\Delta P_v - \Delta P_l = \sigma(\epsilon/5\kappa)^{1/2}</math> …(8.18)</p> <p>ここで、          U：見掛け流速  <math>\kappa</math>：層流での浸透率  <math>\eta</math>：乱流での浸透率  <math>\kappa_v, \kappa_l, \eta_v, \eta_l</math>：各々層流及び乱流での気液の比浸透率（無次元）          でデブリベッド内の平均液体存在割合 <math>s</math> の関数で、以下の上うに表わしている。<sup>[39]</sup>  <math>\kappa = (d^2/180) \epsilon^3 / (1-\epsilon)^2</math>  <math>\eta = (d/1.75) \epsilon^3 / (1-\epsilon)</math>  <math>\kappa_v = 1 - 1.11s, \kappa_l = s^3</math>  <math>\eta_v = (1-s)^3, \eta_l = s^3</math>          上述の関係を用いると、式(8.14)～式(8.18)からデブリベッド上面での熱流束 <math>q</math> (<math>= \dot{Q} H_b</math>) は下式で与えられる。</p> $q = \rho_v \Delta H_v u_l [ \{ 1 + (u_z/u_1)^2 \}^{1/2} - 1 ] \quad \dots(8.19)$ $u_1 = \frac{90(1-\epsilon)}{1.75 d} \left\{ \frac{\mu_v}{\rho_v(1-1.11s)} + \frac{\mu_l}{\rho_l s^3} \right\} / \left\{ \frac{1}{\rho_v(1-s)^3} + \frac{1}{\rho_l s^3} \right\}$ $u_z = \left[ \frac{d \epsilon^3 (\rho_l - \rho_v) g}{1.75(1-\epsilon)} \left\{ 1 + \frac{6\sigma(1-\epsilon)}{\epsilon d (\rho_l - \rho_v) g H_b} \right\} / \left\{ \frac{1}{\rho_v(1-s)^3} + \frac{1}{\rho_l s^3} \right\} \right]^{1/2}$ <p>ドライアウト熱流束は、式(8.19)が <math>s</math> (<math>0 \leq s \leq 1</math>) に関して極大値をとる条件として求まる。</p>	<p>図 8-6 冷却材が水の場合の理論式・半実験式と実験結果との比較</p>
モデル	実験との比較				
<p>c. Lipinskiの0-Dモデル          Lipinskiは多孔質の対向二相流の気液各相で、層流及び乱流に適用できる運動量の式を、連続の式、エネルギーの式と共に連立して解いた。          連続の式  <math>\rho_v U_v = \rho_l U_l</math> …(8.14)          運動量の式（気相）  <math>\rho_v U_v^2 / \eta \eta_v + \mu_v U_v / \kappa \kappa_v + \rho_v g = \Delta P_v / H_b</math> …(8.15)          運動量の式（液相）  <math>-\rho_l U_l^2 / \eta \eta_l - \mu_l U_l / \kappa \kappa_l + \rho_l g = \Delta P_l / H_b</math> …(8.16)          エネルギ式  <math>\rho_v U_v \Delta H_v = \dot{Q} H_b</math> …(8.17)          圧力の釣合<sup>[19][36]</sup>  <math>\Delta P_v - \Delta P_l = \sigma(\epsilon/5\kappa)^{1/2}</math> …(8.18)</p> <p>ここで、          U：見掛け流速  <math>\kappa</math>：層流での浸透率  <math>\eta</math>：乱流での浸透率  <math>\kappa_v, \kappa_l, \eta_v, \eta_l</math>：各々層流及び乱流での気液の比浸透率（無次元）          でデブリベッド内の平均液体存在割合 <math>s</math> の関数で、以下の上うに表わしている。<sup>[39]</sup>  <math>\kappa = (d^2/180) \epsilon^3 / (1-\epsilon)^2</math>  <math>\eta = (d/1.75) \epsilon^3 / (1-\epsilon)</math>  <math>\kappa_v = 1 - 1.11s, \kappa_l = s^3</math>  <math>\eta_v = (1-s)^3, \eta_l = s^3</math>          上述の関係を用いると、式(8.14)～式(8.18)からデブリベッド上面での熱流束 <math>q</math> (<math>= \dot{Q} H_b</math>) は下式で与えられる。</p> $q = \rho_v \Delta H_v u_l [ \{ 1 + (u_z/u_1)^2 \}^{1/2} - 1 ] \quad \dots(8.19)$ $u_1 = \frac{90(1-\epsilon)}{1.75 d} \left\{ \frac{\mu_v}{\rho_v(1-1.11s)} + \frac{\mu_l}{\rho_l s^3} \right\} / \left\{ \frac{1}{\rho_v(1-s)^3} + \frac{1}{\rho_l s^3} \right\}$ $u_z = \left[ \frac{d \epsilon^3 (\rho_l - \rho_v) g}{1.75(1-\epsilon)} \left\{ 1 + \frac{6\sigma(1-\epsilon)}{\epsilon d (\rho_l - \rho_v) g H_b} \right\} / \left\{ \frac{1}{\rho_v(1-s)^3} + \frac{1}{\rho_l s^3} \right\} \right]^{1/2}$ <p>ドライアウト熱流束は、式(8.19)が <math>s</math> (<math>0 \leq s \leq 1</math>) に関して極大値をとる条件として求まる。</p>	<p>図 8-6 冷却材が水の場合の理論式・半実験式と実験結果との比較</p>				